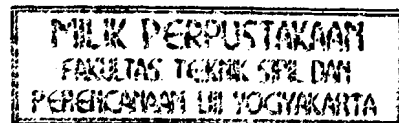
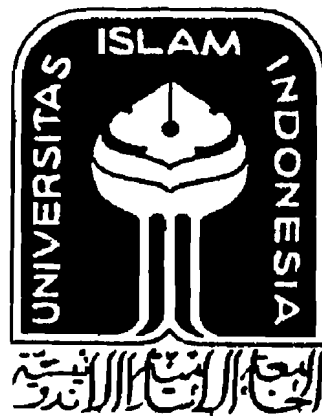


## TUGAS AKHIR

# RESPONS ELASTIK STRUKTUR MDOF DENGAN MEMPERHITUNGKAN ROTASI PONDASI

Diajukan Untuk Memenuhi Persyaratan  
Memperoleh Derajat Sarjana Teknik Sipil Pada Jurusan Teknik Sipil  
Fakultas Teknik Sipil dan Perencanaan  
Universitas Islam Indonesia



Disusun Oleh:

Nama : RIEFQI ZUHDAN PRIHANTORO  
No. Mhs. : 95 310 020  
Nirm. : 950051013114120020

Nama : BEBY KARMADY YOVIST  
No. Mhs. : 95 310 240  
NIRM. : 950051013114120237

JURUSAN TEKNIK SIPIL  
FAKULTAS TEKNIK SIPIL DAN PERENCANAAN  
UNIVERSITAS ISLAM INDONESIA  
YOGYAKARTA  
2002

*Tugas Akhir ini kupersembahkan untuk;*

➤ *Almamater tercinta Universitas Islam Indonesia*  
➤ *Teman-teman Teknik Sipil Universitas Islam Indonesia*

*Semoga Tugas Akhir ini bermanfaat dikemudian hari*

- *Bapak – Ibu yang tidak bosan-bosannya selalu membimbingku dari kecil hingga sekarang,*
- *Keluarga Mbak Noor – Mas Sigit  
Keluarga Mbak Nafie’ – Mas Pey yang selalu mengingatkan akan tanggung jawab tentang sekolah-ku*
- *Keponakanku Rasyda Dyah Utari Aditya yang selalu menggungguku dengan tingkah lucunya*
- *Kupu – Kupu Liarku Palupi Listyani yang selalu menemani dan memberikan inspirasi pada saat-saat jemuhan-ku*
- *Papa dan Mama yang selalu membimbing dan menasehatiku*
- *Adek-adekku Wiwin dan Wida yang selalu sabar dan tabah dalam menempuh kehidupan ini*
- *Matahari kecikku Ria Andrianti you’re my Inspiration*

*RERE*

*BEBY*

## TUGAS AKHIR

# RESPONS ELASTIK STRUKTUR MDOF DENGAN MEMPERHITUNGKAN ROTASI PONDASI

**Diajukan Sebagai Persyaratan Memperoleh  
Derajat Sarjana Teknik Sipil Pada Jurusan Teknik Sipil  
Fakultas Teknik Sipil dan Perencanaan  
Universitas Islam Indonesia  
Yogyakarta**

**Disusun Oleh:**

**Nama : RIEFQI ZUHDAN P  
No. Mhs. : 95 310 020  
Nirm. : 950051013114120020**

**Nama : BEBY KARMADY YOVIST  
No. Mhs. : 95 310 240  
NIRM. : 950051013114120237**

**Telah diperiksa dan disetujui oleh :**

**Ir. H. Widodo, MSCE, Ph.D  
Dosen Pembimbing I**



**tanggal, 12/4/2002**

**Ir. Helmi Akbar Bale, MT  
Dosen Pembimbing II**



**tanggal, 17/4 / 2002**

## KATA PENGANTAR

بِسْمِ اللَّهِ الرَّحْمَنِ الرَّحِيمِ

*Assalamu'alaikum Warahmatullah Wabarakatuh*

Puji syukur Alhamdulillah kami panjatkan kehadirat Allah SWT yang senantiasa melimpahkan nikmat, rahmat dan hidayah-Nya kepada kita semua, khususnya kepada kami sehingga dapat menyelesaikan tugas akhir ini. Tidak lupa sholawat serta salam kami panjatkan kehadirat Rasulullah SAW beserta keluarga, sahabat serta pengikutnya sampai akhir jaman.

Tugas akhir dengan judul “RESPONS ELASTIK STRUKTUR MDOF DENGAN MEMPERHITUNGKAN ROTASI PONDASI” diajukan sebagai syarat guna memperoleh derajat Sarjana Teknik Sipil pada Jurusan Teknik Sipil, Fakultas Teknik Sipil dan Perencanaan, Universitas Islam Indonesia, Yogyakarta.

Penulis menyadari bahwa dalam penulisan tugas akhir ini tidak lepas dari sumbangsih pemikiran dari berbagai pihak yang sangat membantu, sehingga penulis dapat menyelesaikan semua hambatan yang terjadi selama penyusunan hingga terselesaiannya Tugas Akhir ini. Maka pada kesempatan ini dengan penuh hormat dan kerendahan hati penyusun mengucapkan banyak terima kasih kepada pihak-pihak yang telah membantu, yaitu:

1. Bapak Ir. H. Widodo, MSCE, Ph.D. selaku Dekan Fakultas Teknik Sipil dan Perencanaan, Universitas Islam Indonesia, Yogyakarta, sekaligus sebagai Dosen Pembimbing I.

2. Bapak Ir. Helmi Akbar Bale, MT, selaku Dosen Pembimbing II Tugas Akhir pada Jurusan Teknik Sipil, Fakultas Teknik Sipil dan Perencanaan, Universitas Islam Indonesia, Yogyakarta.
3. Bapak Ir. H. Munadhir, MS, selaku Ketua Jurusan Teknik Sipil, Fakultas Teknik Sipil dan Perencanaan Universitas Islam Indonesia, Yogyakarta.
4. Staf Dosen dan Karyawan Jurusan Teknik Sipil, Fakultas Teknik Sipil dan Perencanaan, Universitas Islam Indonesia, Yogyakarta.
5. Kedua orang tua dan saudara-saudara kami yang telah banyak memberikan bantuan dan dorongan, baik moral maupun material dalam penyusunan Tugas Akhir ini.
6. Ria Andriani dan Sri Palupi Listyani yang tidak bosan-bosannya mengingatkan kami berdua untuk menyelesaikan Tugas Akhir ini.
7. Rekan-rekan F'95 Teknik Sipil Universitas Islam Indonesia, semoga persahabatan kita tetap terjalin terus.
8. Rekan-rekan Kost Sendowo A-7 atas dorongan dan pengertiannya selama penulisan Tugas Akhir ini.
9. Teman-teman dan semua pihak yang tidak dapat kami sebutkan satu persatu, yang telah banyak membantu kami dalam penyusunan Tugas Akhir ini.

Penyusun menyadari bahwa penulisan Tugas Akhir ini masih jauh dari sempurna, mengingat keketerbatasan ilmu, kemampuan dan pengalaman kami dalam penelitian dan penulisan. Untuk itu kritik dan saran yang sifatnya

membangun sangat kami harapkan guna perbaikan dan pengembangan selanjutnya.

Tidak ada yang dapat kami berikan selain ucapan terima kasih atas bantuan yang telah diberikan semoga dapat diterima sebagai amal baik disisi Allah SWT.

Akhir kata, penyusun berharap semoga Tugas Akhir ini bermanfaat dan memberikan tambahan ilmu bagi kita semua. Semoga allah meridhoi kita semua, amin

*Wassalamu 'alaikum Warahmatullah Wabarakatuh*

Yogyakarta, Maret 2002

*Rere & Beby*

## **DAFTAR ISI**

|   |           |
|---|-----------|
| HALAMAN JUDUL .....                                       | i         |
| HALAMAN PERSEMBAHAN .....                                 | ii        |
| HALAMAN PENGESAHAN .....                                  | iii       |
| KATA PENGANTAR.....                                       | iv        |
| DAFTAR ISI .....  | vii       |
| DAFTAR GAMBAR .....                                       | x         |
| DAFTAR TABEL .....  | xxii      |
| DAFTAR NOTASI .....                                       | xxv       |
| ABSTRAK .....   | xxvii     |
| <b>BAB I PENDAHULUAN .....</b>                            | <b>1</b>  |
| 1.1 Latar Belakang Masalah.....                           | 1         |
| 1.2 Rumusan Masalah .....                                 | 3         |
| 1.3 Tujuan.....   | 3         |
| 1.4 Manfaat Penelitian.....                               | 4         |
| 1.5 Batasan Masalah.....                                  | 4         |
| <b>BAB II TINJAUAN PUSTAKA .....</b>                      | <b>5</b>  |
| 2.1 Pendahuluan.....                                      | 5         |
| 2.2 Permasalahan Yang Akan Diteliti .....                 | 8         |
| <b>BAB III LANDASAN TEORI .....</b>                       | <b>10</b> |
| 3.1 Struktur dengan Derajat Kebebasan Tunggal (SDOF)..... | 10        |
| 3.1.1 Struktur (SDOF) Akibat Beban Dinamik .....          | 10        |

|   |           |
|---|-----------|
| 3.1.2 Struktur (SDOF) Akibat Gerakan Tanah.....                                 | 12        |
| 3.2 Struktur dengan Derajat Kebebasan Banyak (MDOF).....                        | 13        |
| 3.3 Massa Struktur.....   | 16        |
| 3.4 Kekakuan Struktur.....  | 18        |
| 3.5 Redaman Struktur.....   | 20        |
| 3.6 Struktur dengan Memperhitungkan Rotasi Pondasi Akibat<br>Gerakan Tanah..... | 26        |
| 3.7 Getaran Bebas pada Struktur Derajat Kebebasan Banyak.....                   | 30        |
| 3.7.1 Nilai Karakteristik ( <i>Eigenproblem</i> ).....                          | 31        |
| 3.7.2 Metode Polinomial .....   | 33        |
| 3.7.3 Metode Transformasi Jacobi .....  | 36        |
| 3.7.4 Metode Gauss Jordan .....   | 40        |
| 3.8 Metode $\beta$ -Newmark.....  | 41        |
| <b>BAB IV METODE PENELITIAN .....</b>   | <b>45</b> |
| 4.1 Pengumpulan Data.....   | 45        |
| 4.1.1 Data Struktur.....  | 45        |
| 4.1.2 Data Beban Gempa dan Kandungan Frekuensi<br>Beban Gempa.....              | 48        |
| 4.2 Tahapan Analisis .....  | 49        |
| 4.3 Pengujian .....   | 50        |
| <b>BAB V ANALISIS DAN PEMBAHASAN .....</b>                                      | <b>51</b> |
| 5.1. Pendahuluan.....   | 51        |
| 5.2. Pembebanan Struktur.....   | 52        |

|  |            |
|--|------------|
| 5.3. Perhitungan Massa dan Kekakuan.....               | 52         |
| 5.4. Analisis Respon Struktur Akibat Beban Gempa ..... | 54         |
| 5.4.1 Perhitungan Simpangan Netto.....                 | 55         |
| 5.4.2 Perhitungan Rotasi Pondasi.....                  | 60         |
| 5.4.3 Perhitungan Simpangan Rotasi .....               | 65         |
| 5.4.4 Perhitungan Simpangan Total.....                 | 70         |
| 5.4.5 Perhitungan Simpangan Antar Tingkat.....         | 75         |
| 5.4.6 Perhitungan Gaya Horisontal Tingkat.....         | 80         |
| 5.4.7 Perhitungan Gaya Geser Tingkat .....             | 85         |
| 5.4.8 Perhitungan Momen Guling.....                    | 90         |
| 5.5. Pembahasan .....                                  | 95         |
| 5.5.1 Simpangan Netto.....                             | 95         |
| 5.5.2 Rotasi Pondasi.....                              | 102        |
| 5.5.3 Simpangan Rotasi.....                            | 106        |
| 5.5.4 Simpangan Total .....                            | 111        |
| 5.5.5 Simpangan Antar Tingkat .....                    | 117        |
| 5.5.6 Gaya Horisontal Tingkat.....                     | 123        |
| 5.5.7 Gaya Geser Tingkat.....                          | 129        |
| 5.5.8 Momen Guling .....                               | 135        |
| 5.6 Perbandingan Penggunaan Nilai Redaman.....         | 141        |
| <b>BAB VI KESIMPULAN DAN SARAN.....</b>                | <b>151</b> |
| 6.1 Kesimpulan.....                                    | 151        |
| 6.2 Saran .....  | 152        |

## **DAFTAR PUSTAKA**

## **LAMPIRAN**

## DAFTAR GAMBAR

Hal.

|                       |  |    |
|-----------------------|--|----|
| 1. <b>Gambar 3.1</b>  | Model sistem SDOF akibat beban dinamik.....  | 11 |
| 2. <b>Gambar 3.2</b>  | Model sistem SDOF akibat gerakan tanah.....  | 12 |
| 3. <b>Gambar 3.3</b>  | Struktur MDOF .....  | 24 |
| 4. <b>Gambar 3.4</b>  | Struktur MDOF dengan rotasi pondasi .....  | 26 |
| 5. <b>Gambar 3.5</b>  | Struktur bangunan 3 derajat kebebasan.....   | 33 |
| 6. <b>Gambar 4.1</b>  | Denah model struktur 12 tingkat.....   | 46 |
| 7. <b>Gambar 4.2</b>  | Potongan portal D struktur 12 tingkat.....   | 46 |
| 8. <b>Gambar 5.1</b>  | Simpangan netto struktur 12 tingkat akibat<br>gempa Bucharest dengan $kh=2E+15$ , $kr=4E+15$ ..... | 56 |
| 9. <b>Gambar 5.2</b>  | Simpangan netto struktur 12 tingkat akibat<br>gempa Elcentro dengan $kh=2E+15$ , $kr=4E+15$ .....  | 56 |
| 10. <b>Gambar 5.3</b> | Simpangan netto struktur 12 tingkat akibat<br>gempa Koyna dengan $kh=2E+15$ , $kr=4E+15$ .....     | 56 |
| 11. <b>Gambar 5.4</b> | Simpangan netto struktur 12 tingkat akibat<br>gempa Bucharest dengan $kh=2E+07$ , $kr=4E+08$ ..... | 57 |
| 12. <b>Gambar 5.5</b> | Simpangan netto struktur 12 tingkat akibat<br>gempa Elcentro dengan $kh=2E+07$ , $kr=4E+08$ .....  | 57 |
| 13. <b>Gambar 5.6</b> | Simpangan netto struktur 12 tingkat akibat<br>gempa Koyna dengan $kh=2E+07$ , $kr=4E+08$ .....     | 57 |

|                        |   |    |
|------------------------|---|----|
| 14. <b>Gambar 5.7</b>  | Simpangan netto struktur 12 tingkat akibat gempa Bucharest dengan $kh=2E+07$ , $kr=2E+08$ ..... | 58 |
| 15. <b>Gambar 5.8</b>  | Simpangan netto struktur 12 tingkat akibat gempa Elcentro dengan $kh=2E+07$ , $kr=2E+08$ .....  | 58 |
| 16. <b>Gambar 5.9</b>  | Simpangan netto struktur 12 tingkat akibat gempa Koyna dengan $kh=2E+07$ , $kr=2E+08$ .....     | 58 |
| 17. <b>Gambar 5.10</b> | Simpangan netto struktur 12 tingkat akibat gempa Bucharest dengan $kh=1E+07$ , $kr=4E+08$ ..... | 59 |
| 18. <b>Gambar 5.11</b> | Simpangan netto struktur 12 tingkat akibat gempa Elcentro dengan $kh=1E+07$ , $kr=4E+08$ .....  | 59 |
| 19. <b>Gambar 5.12</b> | Simpangan netto struktur 12 tingkat akibat gempa Koyna dengan $kh=1E+07$ , $kr=4E+08$ .....     | 59 |
| 20. <b>Gambar 5.13</b> | Rotasi pondasi struktur 12 tingkat akibat gempa Bucharest dengan $kh=2E+15$ , $kr=4E+15$ .....  | 61 |
| 21. <b>Gambar 5.14</b> | Rotasi pondasi struktur 12 tingkat akibat gempa Elcentro dengan $kh=2E+15$ , $kr=4E+15$ .....   | 61 |
| 22. <b>Gambar 5.15</b> | Rotasi pondasi struktur 12 tingkat akibat gempa Koyna dengan $kh=2E+15$ , $kr=4E+15$ .....      | 61 |
| 23. <b>Gambar 5.16</b> | Rotasi pondasi struktur 12 tingkat akibat gempa Bucharest dengan $kh=2E+07$ , $kr=4E+08$ .....  | 62 |
| 24. <b>Gambar 5.17</b> | Rotasi pondasi struktur 12 tingkat akibat gempa Elcentro dengan $kh=2E+07$ , $kr=4E+08$ .....   | 62 |

|                        |   |    |
|------------------------|---|----|
| 25. <b>Gambar 5.18</b> | Rotasi pondasi struktur 12 tingkat akibat gempa<br>Koyna dengan $kh=2E+07$ , $kr=4E+08$ .....       | 62 |
| 26. <b>Gambar 5.19</b> | Rotasi pondasi struktur 12 tingkat akibat gempa<br>Bucharest dengan $kh=2E+07$ , $kr=2E+08$ .....   | 63 |
| 27. <b>Gambar 5.20</b> | Rotasi pondasi struktur 12 tingkat akibat gempa<br>Elcentro dengan $kh=2E+07$ , $kr=2E+08$ .....    | 63 |
| 28. <b>Gambar 5.21</b> | Rotasi pondasi struktur 12 tingkat akibat gempa<br>Koyna dengan $kh=2E+07$ , $kr=2E+08$ .....       | 63 |
| 29. <b>Gambar 5.22</b> | Rotasi pondasi struktur 12 tingkat akibat gempa<br>Bucharest dengan $kh=1E+07$ , $kr=4E+08$ .....   | 64 |
| 30. <b>Gambar 5.23</b> | Rotasi pondasi struktur 12 tingkat akibat gempa<br>Elcentro dengan $kh=1E+07$ , $kr=4E+08$ .....    | 64 |
| 31. <b>Gambar 5.24</b> | Rotasi pondasi struktur 12 tingkat akibat gempa<br>Koyna dengan $kh=1E+07$ , $kr=4E+08$ .....       | 64 |
| 32. <b>Gambar 5.25</b> | Simpangan rotasi struktur 12 tingkat akibat<br>gempa Bucharest dengan $kh=2E+15$ , $kr=4E+15$ ..... | 66 |
| 33. <b>Gambar 5.26</b> | Simpangan rotasi struktur 12 tingkat akibat<br>gempa Elcentro dengan $kh=2E+15$ , $kr=4E+15$ .....  | 66 |
| 34. <b>Gambar 5.27</b> | Simpangan rotasi struktur 12 tingkat akibat<br>gempa Koyna dengan $kh=2E+15$ , $kr=4E+15$ .....     | 66 |
| 35. <b>Gambar 5.28</b> | Simpangan rotasi struktur 12 tingkat akibat<br>gempa Bucharest dengan $kh=2E+07$ , $kr=4E+08$ ..... | 67 |

|                        |  |    |
|------------------------|--|----|
| 36. <b>Gambar 5.29</b> | Simpangan rotasi struktur 12 tingkat akibat gempa Elcentro dengan $kh=2E+07$ , $kr=4E+08$ .....  | 67 |
| 37. <b>Gambar 5.30</b> | Simpangan rotasi struktur 12 tingkat akibat gempa Koyna dengan $kh=2E+07$ , $kr=4E+08$ .....     | 67 |
| 38. <b>Gambar 5.31</b> | Simpangan rotasi struktur 12 tingkat akibat gempa Bucharest dengan $kh=2E+07$ , $kr=2E+08$ ..... | 68 |
| 39. <b>Gambar 5.32</b> | Simpangan rotasi struktur 12 tingkat akibat gempa Elcentro dengan $kh=2E+07$ , $kr=2E+08$ .....  | 68 |
| 40. <b>Gambar 5.33</b> | Simpangan rotasi struktur 12 tingkat akibat gempa Koyna dengan $kh=2E+07$ , $kr=2E+08$ .....     | 68 |
| 41. <b>Gambar 5.34</b> | Simpangan rotasi struktur 12 tingkat akibat gempa Bucharest dengan $kh=1E+07$ , $kr=4E+08$ ..... | 69 |
| 42. <b>Gambar 5.35</b> | Simpangan rotasi struktur 12 tingkat akibat gempa Elcentro dengan $kh=1E+07$ , $kr=4E+08$ .....  | 69 |
| 43. <b>Gambar 5.36</b> | Simpangan rotasi struktur 12 tingkat akibat gempa Koyna dengan $kh=1E+07$ , $kr=4E+08$ .....     | 69 |
| 44. <b>Gambar 5.37</b> | Simpangan total struktur 12 tingkat akibat gempa Bucharest dengan $kh=2E+15$ , $kr=4E+15$ .....  | 71 |
| 45. <b>Gambar 5.38</b> | Simpangan total struktur 12 tingkat akibat gempa Elcentro dengan $kh=2E+15$ , $kr=4E+15$ .....   | 71 |
| 46. <b>Gambar 5.39</b> | Simpangan total struktur 12 tingkat akibat gempa Koyna dengan $kh=2E+15$ , $kr=4E+15$ .....      | 71 |

|                        |   |    |
|------------------------|---|----|
| 47. <b>Gambar 5.40</b> | Simpangan total struktur 12 tingkat akibat gempa Bucharest dengan $kh=2E+07$ , $kr=4E+08$ .....   | 72 |
| 48. <b>Gambar 5.41</b> | Simpangan total struktur 12 tingkat akibat gempa Elcentro dengan $kh=2E+07$ , $kr=4E+08$ .....    | 72 |
| 49. <b>Gambar 5.42</b> | Simpangan total struktur 12 tingkat akibat gempa Koyna dengan $kh=2E+07$ , $kr=4E+08$ .....       | 72 |
| 50. <b>Gambar 5.43</b> | Simpangan total struktur 12 tingkat akibat gempa Bucharest dengan $kh=2E+07$ , $kr=2E+08$ .....   | 73 |
| 51. <b>Gambar 5.44</b> | Simpangan total struktur 12 tingkat akibat gempa Elcentro dengan $kh=2E+07$ , $kr=2E+08$ .....    | 73 |
| 52. <b>Gambar 5.45</b> | Simpangan total struktur 12 tingkat akibat gempa Koyna dengankh= $2E+07$ , $kr=2E+08$ .....       | 73 |
| 53. <b>Gambar 5.46</b> | Simpangan total struktur 12 tingkat akibat gempa Bucharest dengan $kh=1E+07$ , $kr=4E+08$ .....   | 74 |
| 54. <b>Gambar 5.47</b> | Simpangan total struktur 12 tingkat akibat gempa Elcentro dengan $kh=1E+07$ , $kr=4E+08$ .....    | 74 |
| 55. <b>Gambar 5.48</b> | Simpangan total struktur 12 tingkat akibat gempa Koyna dengan $kh=1E+07$ , $kr=4E+08$ .....       | 74 |
| 56. <b>Gambar 5.49</b> | Interstorey drift struktur 12 tingkat akibat gempa Bucharest dengan $kh=2E+15$ , $kr=4E+15$ ..... | 76 |
| 57. <b>Gambar 5.50</b> | Interstorey drift struktur 12 tingkat akibat gempa Elcentro dengan $kh=2E+15$ , $kr=4E+15$ .....  | 76 |

|                        |  |    |
|------------------------|--|----|
| <b>58. Gambar 5.51</b> | Interstorey drift struktur 12 tingkat akibat gempa<br>Koyna dengan $kh=2E+15$ , $kr=4E+15$ .....           | 76 |
| <b>59. Gambar 5.52</b> | Interstorey drift struktur 12 tingkat akibat gempa<br>Bucharest dengan $kh=2E+07$ , $kr=4E+08$ .....       | 77 |
| <b>60. Gambar 5.53</b> | Interstorey drift struktur 12 tingkat akibat gempa<br>Elcentro dengan $kh=2E+07$ , $kr=4E+08$ .....        | 77 |
| <b>61. Gambar 5.54</b> | Interstorey drift struktur 12 tingkat akibat gempa<br>Koyna dengan $kh=2E+07$ , $kr=4E+08$ .....           | 77 |
| <b>62. Gambar 5.55</b> | Interstorey drift struktur 12 tingkat akibat gempa<br>Bucharest dengan $kh=2E+07$ , $kr=2E+08$ .....       | 78 |
| <b>63. Gambar 5.56</b> | Interstorey drift struktur 12 tingkat akibat gempa<br>Elcentro dengan $kh=2E+07$ , $kr=2E+08$ .....        | 78 |
| <b>64. Gambar 5.57</b> | Interstorey drift struktur 12 tingkat akibat gempa<br>Koyna dengan $kh=2E+07$ , $kr=2E+08$ .....           | 78 |
| <b>65. Gambar 5.58</b> | Interstorey drift struktur 12 tingkat akibat gempa<br>Bucharest dengan $kh=1E+07$ , $kr=4E+08$ .....       | 79 |
| <b>66. Gambar 5.59</b> | Interstorey drift struktur 12 tingkat akibat gempa<br>Elcentro dengan $kh=1E+07$ , $kr=4E+08$ .....        | 79 |
| <b>67. Gambar 5.60</b> | Interstorey drift struktur 12 tingkat akibat gempa<br>Koyna dengan $kh=1E+07$ , $kr=4E+08$ .....           | 79 |
| <b>68. Gambar 5.61</b> | Gaya horisontal tingkat struktur 12 tingkat akibat<br>gempa Bucharest dengan $kh=2E+15$ , $kr=4E+15$ ..... | 81 |

|                        |   |    |
|------------------------|---|----|
| 69. <b>Gambar 5.62</b> | Gaya horisontal tingkat struktur 12 tingkat akibat gempa Elcentro dengan $kh=2E+15$ , $kr=4E+15$ .....  | 81 |
| 70. <b>Gambar 5.63</b> | Gaya horisontal tingkat struktur 12 tingkat akibat gempa Koyna dengan $kh=2E+15$ , $kr=4E+15$ .....     | 81 |
| 71. <b>Gambar 5.64</b> | Gaya horisontal tingkat struktur 12 tingkat akibat gempa Bucharest dengan $kh=2E+07$ , $kr=4E+08$ ..... | 82 |
| 72. <b>Gambar 5.65</b> | Gaya horisontal tingkat struktur 12 tingkat akibat gempa Elcentro dengan $kh=2E+07$ , $kr=4E+08$ .....  | 82 |
| 73. <b>Gambar 5.66</b> | Gaya horisontal tingkat struktur 12 tingkat akibat gempa Koyna dengan $kh=2E+07$ , $kr=4E+08$ .....     | 82 |
| 74. <b>Gambar 5.67</b> | Gaya horisontal tingkat struktur 12 tingkat akibat gempa Bucharest dengan $kh=2E+07$ , $kr=2E+08$ ..... | 83 |
| 75. <b>Gambar 5.68</b> | Gaya horisontal tingkat struktur 12 tingkat akibat gempa Elcentro dengan $kh=2E+07$ , $kr=2E+08$ .....  | 83 |
| 76. <b>Gambar 5.69</b> | Gaya horisontal tingkat struktur 12 tingkat akibat gempa Koyna dengan $kh=2E+07$ , $kr=2E+08$ .....     | 83 |
| 77. <b>Gambar 5.70</b> | Gaya horisontal tingkat struktur 12 tingkat akibat gempa Bucharest dengan $kh=1E+07$ , $kr=4E+08$ ..... | 84 |
| 78. <b>Gambar 5.71</b> | Gaya horisontal tingkat struktur 12 tingkat akibat gempa Elcentro dengan $kh=1E+07$ , $kr=4E+08$ .....  | 84 |
| 79. <b>Gambar 5.72</b> | Gaya horisontal tingkat struktur 12 tingkat akibat gempa Koyna dengan $kh=1E+07$ , $kr=4E+08$ .....     | 84 |

80. **Gambar 5.73** Gaya geser tingkat struktur 12 tingkat akibat gempa Bucharest dengan  $kh=2E+15$ ,  $kr=4E+15$  ..... 86
81. **Gambar 5.74** Gaya geser tingkat struktur 12 tingkat akibat gempa Elcentro dengan  $kh=2E+15$ ,  $kr=4E+15$  ..... 86
82. **Gambar 5.75** Gaya geser tingkat struktur 12 tingkat akibat gempa Koyna dengan  $kh=2E+15$ ,  $kr=4E+15$  ..... 86
83. **Gambar 5.76** Gaya geser tingkat struktur 12 tingkat akibat gempa Bucharest dengan  $kh=2E+07$ ,  $kr=4E+08$  ..... 87
84. **Gambar 5.77** Gaya geser tingkat struktur 12 tingkat akibat gempa Elcentro dengan  $kh=2E+07$ ,  $kr=4E+08$  ..... 87
85. **Gambar 5.78** Gaya geser tingkat struktur 12 tingkat akibat gempa Koyna dengan  $kh=2E+07$ ,  $kr=4E+08$  ..... 87
86. **Gambar 5.79** Gaya geser tingkat struktur 12 tingkat akibat gempa Bucharest dengan  $kh=2E+07$ ,  $kr=2E+08$  ..... 88
87. **Gambar 5.80** Gaya geser tingkat struktur 12 tingkat akibat gempa Elcentro dengan  $kh=2E+07$ ,  $kr=2E+08$  ..... 88
88. **Gambar 5.81** Gaya geser tingkat struktur 12 tingkat akibat gempa Koyna dengan  $kh=2E+07$ ,  $kr=2E+08$  ..... 88
89. **Gambar 5.82** Gaya geser tingkat struktur 12 tingkat akibat gempa Bucharest dengan  $kh=1E+07$ ,  $kr=4E+08$  ..... 89
90. **Gambar 5.83** Gaya geser tingkat struktur 12 tingkat akibat gempa Elcentro dengan  $kh=1E+07$ ,  $kr=4E+08$  ..... 89

|                         |  |    |
|-------------------------|--|----|
| 91. <b>Gambar 5.84</b>  | Gaya geser tingkat struktur 12 tingkat akibat gempa Koyna dengan $kh=1E+07$ , $kr=4E+08$ ..... | 89 |
| 92. <b>Gambar 5.85</b>  | Momen guling struktur 12 tingkat akibat gempa Bucharest dengan $kh=2E+15$ , $kr=4E+15$ .....   | 91 |
| 93. <b>Gambar 5.86</b>  | Momen guling struktur 12 tingkat akibat gempa Elcentro dengan $kh=2E+15$ , $kr=4E+15$ .....    | 91 |
| 94. <b>Gambar 5.87</b>  | Momen guling struktur 12 tingkat akibat gempa Koyna dengan $kh=2E+15$ , $kr=4E+15$ .....       | 91 |
| 95. <b>Gambar 5.88</b>  | Momen guling struktur 12 tingkat akibat gempa Bucharest dengan $kh=2E+07$ , $kr=4E+08$ .....   | 92 |
| 96. <b>Gambar 5.89</b>  | Momen guling struktur 12 tingkat akibat gempa Elcentro dengan $kh=2E+07$ , $kr=4E+08$ .....    | 92 |
| 97. <b>Gambar 5.90</b>  | Momen guling struktur 12 tingkat akibat gempa Koyna dengan $kh=2E+07$ , $kr=4E+08$ .....       | 92 |
| 98. <b>Gambar 5.91</b>  | Momen guling struktur 12 tingkat akibat gempa Bucharest dengan $kh=2E+07$ , $kr=2E+08$ .....   | 93 |
| 99. <b>Gambar 5.92</b>  | Momen guling struktur 12 tingkat akibat gempa Elcentro dengan $kh=2E+07$ , $kr=2E+08$ .....    | 93 |
| 100. <b>Gambar 5.93</b> | Momen guling struktur 12 tingkat akibat gempa Koyna dengan $kh=2E+07$ , $kr=2E+08$ .....       | 93 |
| 101. <b>Gambar 5.94</b> | Momen guling struktur 12 tingkat akibat gempa Bucharest dengan $kh=1E+07$ , $kr=4E+08$ .....   | 94 |

|                          |   |     |
|--------------------------|---|-----|
| <b>102. Gambar 5.85</b>  | Momen guling struktur 12 tingkat akibat gempa Elcentro dengan kh=1E+07, kr=4E+08..... | 94  |
| <b>103. Gambar 5.96</b>  | Momen guling struktur 12 tingkat akibat gempa Koyna dengan kh=1E+07, kr=4E+08.....    | 94  |
| <b>104. Gambar 5.97</b>  | Grafik simpangan netto maksimum akibat 3 gempa .....                                  | 96  |
| <b>105. Gambar 5.98</b>  | Grafik simpangan netto maksimum dengan 4 kombinasi .....                              | 97  |
| <b>106. Gambar 5.99</b>  | Grafik simpangan netto maksimum dengan 4 kombinasi lawan waktu.....                   | 98  |
| <b>107. Gambar 5.100</b> | Grafik rotasi pondasi akibat 3 gempa.....   | 103 |
| <b>108. Gambar 5.101</b> | Grafik rotasi pondasi dengan 4 kombinasi lawan waktu .....                            | 104 |
| <b>109. Gambar 5.102</b> | Grafik simpangan rotasi maksimum akibat 3 gempa .....                                 | 106 |
| <b>110. Gambar 5.103</b> | Grafik simpangan rotasi maksimum dengan 4 kombinasi .....                             | 107 |
| <b>111. Gambar 5.104</b> | Grafik simpangan rotasi maksimum dengan 4 kombinasi lawan waktu.....                  | 108 |
| <b>112. Gambar 5.105</b> | Grafik simpangan total maksimum akibat 3 gempa .....                                  | 112 |
| <b>113. Gambar 5.106</b> | Grafik simpangan total maksimum dengan 4 kombinasi .....                              | 113 |

|   |     |
|---|-----|
| 114. <b>Gambar 5.107</b> Grafik simpangan total maksimum dengan 4 kombinasi lawan waktu.....          | 114 |
| 115. <b>Gambar 5.108</b> Grafik simpangan antar tingkat maksimum akibat 3 gempa.....                  | 118 |
| 116. <b>Gambar 5.109</b> Grafik simpangan antar tingkat maksimum dengan 4 kombinasi.....              | 119 |
| 117. <b>Gambar 5.110</b> Grafik simpangan antar tingkat maksimum dengan 4 kombinasi lawan waktu ..... | 120 |
| 118. <b>Gambar 5.111</b> Grafik gaya horisontal tingkat maksimum akibat 3 gempa .....                 | 124 |
| 119. <b>Gambar 5.112</b> Grafik gaya horisontal tingkat maksimum dengan 4 kombinasi.....              | 125 |
| 120. <b>Gambar 5.113</b> Grafik gaya horisontal tingkat maksimum dengan 4 kombinasi lawan waktu ..... | 126 |
| 121. <b>Gambar 5.114</b> Grafik gaya geser tingkat maksimum akibat 3 gempa .....                      | 130 |
| 122. <b>Gambar 5.115</b> Grafik gaya geser tingkat maksimum dengan 4 kombinasi .....                  | 131 |
| 123. <b>Gambar 5.116</b> Grafik gaya geser tingkat maksimum dengan 4 kombinasi lawan waktu.....       | 132 |
| 124. <b>Gambar 5.117</b> Grafik momen guling maksimum akibat 3 gempa .....                            | 136 |
| 125. <b>Gambar 5.118</b> Grafik momen guling maksimum dengan 4 kombinasi .....                        | 137 |

|   |     |
|---|-----|
| 126. <b>Gambar 5.119</b> Grafik momen guling maksimum dengan 4 kombinasi lawan waktu..... | 138 |
| 127. <b>Gambar 5.120</b> Grafik simpangan netto dengan 3 kombinasi redaman.....           | 142 |
| 128. <b>Gambar 5.119</b> Grafik rotasi dengan 3 kombinasi redaman.....                    | 143 |
| 129. <b>Gambar 5.119</b> Grafik simpangan rotasi dengan 3 kombinasi redaman.....          | 144 |
| 130. <b>Gambar 5.119</b> Grafik simpangan total dengan 3 kombinasi redaman.....           | 145 |
| 131. <b>Gambar 5.119</b> Grafik simpangan antar tingkat dengan 3 kombinasi redaman.....   | 146 |
| 132. <b>Gambar 5.119</b> Grafik gaya horisontal tingkat dengan 3 kombinasi redaman.....   | 147 |
| 133. <b>Gambar 5.119</b> Grafik gaya geser tingkat dengan 3 kombinasi redaman.....        | 148 |
| 134. <b>Gambar 5.119</b> Grafik momen guling dengan 3 kombinasi redaman.....              | 149 |

## DAFTAR TABEL

|                      |   |      |
|----------------------|---|------|
|                      |   | hal. |
| 1. <b>Tabel 3.1</b>  | Nilai-nilai rasio redaman untuk berbagai jenis kondisi .....                | 21   |
| 2. <b>Tabel 4.1</b>  | Data dimensi kolom struktur 12 tingkat.....                                 | 47   |
| 3. <b>Tabel 4.2</b>  | Data dimensi balok struktur 12 tingkat .....                                | 47   |
| 4. <b>Tabel 4.3</b>  | Data kandungan frekuensi beban gempa (A/V rasio).....                       | 49   |
| 5. <b>Tabel 5.1</b>  | Hasil perhitungan beban pada struktur 12 tingkat.....                       | 52   |
| 6. <b>Tabel 5.2</b>  | Hasil perhitungan massa struktur 12 tingkat .....                           | 53   |
| 7. <b>Tabel 5.3</b>  | Hasil perhitungan kekakuan struktur 12 tingkat.....                         | 54   |
| 8. <b>Tabel 5.4</b>  | Simpangan netto maksimum struktur 12 tingkat<br>$kh=2E+15, kr=4E+15$ .....  | 99   |
| 9. <b>Tabel 5.5</b>  | Simpangan netto maksimum struktur 12 tingkat<br>$kh=2E+07, kr=4E+08$ .....  | 99   |
| 10. <b>Tabel 5.6</b> | Simpangan netto maksimum struktur 12 tingkat<br>$kh=2E+07, kr=2E+08$ .....  | 100  |
| 11. <b>Tabel 5.7</b> | Simpangan netto maksimum struktur 12 tingkat<br>$kh=1E+07, kr=4E+08$ .....  | 100  |
| 12. <b>Tabel 5.8</b> | Rotasi pondasi maksimum struktur 12 tingkat.....                            | 105  |
| 13. <b>Tabel 5.9</b> | Simpangan rotasi maksimum struktur 12 tingkat<br>$kh=2E+15, kr=4E+15$ ..... | 109  |

|                       |  |     |
|-----------------------|--|-----|
| <b>14. Tabel 5.10</b> | Simpangan rotasi maksimum struktur 12 tingkat<br><br>kh=2E+07, kr=4E+08 .....    | 109 |
| <b>15. Tabel 5.11</b> | Simpangan rotasi maksimum struktur 12 tingkat<br><br>kh=2E+07, kr=2E+08 .....    | 110 |
| <b>16. Tabel 5.12</b> | Simpangan rotasi maksimum struktur 12 tingkat<br><br>kh=1E+07, kr=4E+08 .....    | 110 |
| <b>17. Tabel 5.13</b> | Simpangan total maksimum struktur 12 tingkat<br><br>kh=2E+15, kr=4E+15 .....     | 115 |
| <b>18. Tabel 5.14</b> | Simpangan total maksimum struktur 12 tingkat<br><br>kh=2E+07, kr=4E+08 .....     | 115 |
| <b>19. Tabel 5.15</b> | Simpangan total maksimum struktur 12 tingkat<br><br>kh=2E+07, kr=2E+08 .....     | 116 |
| <b>20. Tabel 5.16</b> | Simpangan total maksimum struktur 12 tingkat<br><br>kh=1E+07, kr=4E+08 .....     | 116 |
| <b>21. Tabel 5.17</b> | Simpangan antar tingkat maksimum struktur 12<br>tingkat kh=2E+15, kr=4E+15 ..... | 121 |
| <b>22. Tabel 5.18</b> | Simpangan antar tingkat maksimum struktur 12<br>tingkat kh=2E+07, kr=4E+08 ..... | 121 |
| <b>23. Tabel 5.19</b> | Simpangan antar tingkat maksimum struktur 12<br>tingkat kh=2E+07, kr=2E+08 ..... | 122 |
| <b>24. Tabel 5.20</b> | Simpangan antar tingkat maksimum struktur 12<br>tingkat kh=1E+07, kr=4E+08 ..... | 122 |

|  |     |
|--|-----|
| <b>25. Tabel 5.21</b> Gaya horisontal tingkat maksimum struktur 12<br>tingkat kh=2E+15, kr=4E+15 ..... | 127 |
| <b>26. Tabel 5.22</b> Gaya horisontal tingkat maksimum struktur 12<br>tingkat kh=2E+07, kr=4E+08 ..... | 127 |
| <b>27. Tabel 5.23</b> Gaya horisontal tingkat maksimum struktur 12<br>tingkat kh=2E+07, kr=2E+08 ..... | 128 |
| <b>28. Tabel 5.24</b> Gaya horisontal tingkat maksimum struktur 12<br>tingkat kh=1E+07, kr=4E+08 ..... | 128 |
| <b>29. Tabel 5.25</b> Gaya geser tingkat maksimum struktur 12 tingkat<br>kh=2E+15, kr=4E+15 .....      | 133 |
| <b>30. Tabel 5.26</b> Gaya geser tingkat maksimum struktur 12 tingkat<br>kh=2E+07, kr=4E+08 .....      | 133 |
| <b>31. Tabel 5.27</b> Gaya geser tingkat maksimum struktur 12 tingkat<br>kh=2E+07, kr=2E+08 .....      | 134 |
| <b>32. Tabel 5.28</b> Gaya geser tingkat maksimum struktur 12 tingkat<br>kh=1E+07, kr=4E+08 .....      | 134 |
| <b>33. Tabel 5.29</b> Momen guling maksimum struktur 12 tingkat<br>kh=2E+15, kr=4E+15 .....            | 139 |
| <b>34. Tabel 5.30</b> Momen guling maksimum struktur 12 tingkat<br>kh=2E+07, kr=4E+08 .....            | 139 |
| <b>35. Tabel 5.31</b> Momen guling maksimum struktur 12 tingkat<br>kh=2E+07, kr=2E+08 .....            | 140 |
| <b>36. Tabel 5.32</b> Momen guling maksimum struktur 12 tingkat<br>kh=1E+07, kr=4E+08 .....            | 140 |

## **DAFTAR NOTASI**

- b : lebar
- c : redaman
- E : modulus elastisitas
- g : percepatan gravitasi
- h : tinggi
- I : inersia
- k : kekakuan
- $K_h$  : kekakuan horisontal tanah
- $K_r$  : kekakuan putar tanah
- $C_h$  : redaman horisontal tanah
- $C_r$  : redaman putar tanah
- l : panjang
- m : massa
- t : waktu
- w : berat
- [C] : matriks redaman
- [K] : matriks kekakuan
- [M] : matriks massa
- $P(t)$  : gaya luar
- $\Delta P_i$  : intensitas pembebanan
- $\Delta t$  : interval waktu

- $\Delta y$  : perubahan simpangan
- $\Delta \dot{y}$  : perubahan kecepatan
- $\Delta \ddot{y}$  : perubahan percepatan
- $M_g$  : momen guling ke-n
- $F_j$  : gaya horisonta tingkat ke-n
- $V$  : gaya geser tingkat
- $y$  : simpangan
- $yy$  : simpangan antar tingkat
- $\dot{y}$  :kecepatan
- $\ddot{y}$  : percepatan
- $\ddot{y}_b$  : percepatan tanah
- $\theta$  : sudut rotasi
- $\lambda$  : percepatan sudut
- $\omega$  : frekuensi sudut
- $\phi$  : mode shape
- $\xi$  : rasio redaman

## ABSTRAK

Perancangan struktur tahan gempa, pada prinsipnya adalah pengendalian simpangan struktur, yang meliputi *relative displacement* dan *inter story drift*. Representasi terbaik dari beban gempa adalah riwayat percepatan tanah (*Time History Acceleration*) dan dari riwayat percepatan tanah dapat diketahui kandungan frekuensi beban gempa. Pada kondisi beban yang sudah kompleks misalnya beban gempa, maka respon struktur tidak mungkin dihitung secara analitik, apalagi pada struktur dengan derajat kebebasan banyak baik pada respon *elastik* maupun *inelastik*. Untuk mengatasi kesulitan pemakaian cara analitik pada problema yang sudah kompleks, maka hitungan secara numerik sering dipakai. Proses perhitungan numerik yang digunakan adalah Metode Integrasi  $\beta$ -Newmark dan menjadi pokok bahasan dalam penulisan Tugas Akhir ini.

Metode Integrasi  $\beta$ -Newmark ini mempunyai dua pendekatan dasar yaitu: (1) percepatan dianggap bervariasi linier sepanjang selang waktu dan (2) karakteristik redaman dankekakuan dari struktur dievaluasi pada awal selang waktu dan dianggap tetap konstan sepanjang selang waktu tersebut. Proses perhitungan dengan menggunakan metode  $\beta$ -Newmark tanpa melalui perhitungan mode shape atau dengan kata lain proses perhitungan dilakukan dengan Integrasi Persamaan Differensial secara langsung. Untuk menyelesaikan persamaan-persamaan dalam Metode  $\beta$ -Newmark ini kami membuat program bantu dengan bahasa Microsoft Visual Basic 6.0 yang diberi nama PROGSIP 2002. Di samping itu untuk memvisualisasikan grafik dari *output* program tersebut digunakan Microsoft Excel.

Penclitian ini bcrtujuan untuk mengetahui pengaruh penggunaan beban gempa, kekakuan horisontal dan kekakuan putar tanah, redaman horisontal dan redaman putar tanah dan juga untuk mengetahui hubungan antara paramater gerakan tanah (percepatan tanah, waktu dan frekuensi) dengan respon struktur. Berdasarkan respon dari struktur 12 tingkat serta tiga beban gempa yang dibedakan menurut kandungan frekuensinya yaitu untuk frekuensi rendah dipakai gempa Bucharest, frekuensi sedang dipakai gempa Elcentro sedangkan untuk frekuensi tinggi gempa Koyna maka dapat disimpulkan sebagai berikut : 1) Gempa dengan percepatan tanah yang maksimum dan durasi waktu yang lama tidak menyebabkan respon struktur menjadi maksimum. 2) Gempa dengan kandungan frekuensi tinggi cenderung menyebabkan respon yang relatif kecil dibandingkan dengan respon akibat gempa dengan frekuensi sedang dan rendah. 3) Kekakuan putar tanah ( $kr$ ) lebih berpengaruh terhadap respon struktur, sedangkan kekakuan horizontal tanah ( $kh$ ) berpengaruh terhadap simpangan maksimum pondasi. 4) Struktur dengan dukungan tanah *fixed* memberi respon yang besar pada simpangan netto, simpangan antar tingkat, gaya horisontal tingkat, gaya geser tingkat dan momen guling. 5) Gaya horisontal tingkat beban gempa statik pada perencanaan mendekati sama dengan gaya horisontal tingkat akibat gempa Koyna pada kondisi *code level*.

## **BAB I**

### **PENDAHULUAN**

#### **1.1 Latar Belakang Masalah**

Tingkat pertambahan penduduk Indonesia yang cukup pesat dewasa ini menuntut antisipasi penyedian sarana dan prasarana berupa perumahan dalam skala besar, perkantoran, pertokoan dan pelayanan umum yang sangat kompleks terutama untuk memenuhi tuntutan di daerah perkotaan yang mempunyai keterbatasan lahan.

Sejalan dengan perkembangan dunia konstruksi modern dewasa ini yang semakin pesat dan cenderung menuju ke arah pembangunan struktur gedung bertingkat banyak. Untuk menjawab kecenderungan tersebut diperlukan pengetahuan analisis struktur yang baik dan memadai guna mengantisipasi hal tersebut. Analisis struktur dan disain dengan cara yang sistematis, cepat dan teliti semakin diperlukan.

Suatu struktur terutama gedung bertingkat akan banyak mengalami pembebanan. Dimana bukan hanya beban statis yang bekerja pada struktur tersebut tetapi juga terdapat beban dinamis seperti angin, mesin, pergerakan manusia dalam struktur, dan juga yang sangat penting adalah beban akibat gempa bumi. Beban-beban tersebut sangat mempengaruhi kekuatan struktur. Beban dinamis khususnya gempa bumi mempunyai kemampuan merusak yang sangat

besar. Jenis-jenis kerusakan akibat beban gempa antara lain adalah efek perlemahan tingkat, perilaku kolom dan balok pendek, perbesaran rotasi total joint, terjadinya rotasi pondasi dan benturan antara bangunan yang berdekatan yang diakibatkan oleh gaya geser tingkat.

Secara umum struktur bangunan gedung tidaklah selalu dinyatakan dalam suatu sistem yang mempunyai derajat kebebasan tunggal (*Single Degree Of Freedom*, SDOF). Struktur bangunan gedung justru banyak yang mempunyai derajat kebebasan banyak (*Multi Degree Of Freedom*, MDOF). Pada struktur gedung bertingkat banyak, umumnya massa struktur dapat digumpalkan ke tempat-tempat tertentu misalnya digumpalkan pada tiap-tiap muka lantai tingkat. Dengan demikian struktur yang mempunyai derajat kebebasan tak terhingga akan menjadi struktur dengan derajat kebebasan terbatas.

Pada kondisi beban yang sudah kompleks misalnya beban gempa maka respon struktur tidak mungkin dihitung secara analitik, apalagi pada struktur dengan derajat kebebasan banyak pada respon elastik maupun inelastik. Untuk mengatasi kesulitan pemakaian cara analitik pada masalah yang sudah kompleks maka hitungan secara numerik sering dipakai. Hitungan ini tidak lagi secara analitik tetapi proses hitungan dibuat sedemikian rupa sehingga persoalan dapat diselesaikan dengan menggunakan numerik, yaitu hitungan dengan menggunakan angka. Hitungan secara numerik ini dapat diwakilkan pada komputer melalui suatu program.

Pada penelitian-penelitian yang lalu dukungan suatu struktur dianggap jepit penuh, sehingga pada struktur tidak terjadi rotasi pondasi. Oleh karena itu

pada penelitian ini memperhitungkan pengaruh rotasi pondasi struktur, karena akibat gerakan tanah yang disebabkan gempa bumi dukungan struktur tidak jepit penuh karena dipengaruhi oleh kekakuan horizontal, kekakuan vertikal dan kekakuan putar tanah yang berbeda. Adapun respon struktur yang dianalisis dalam tugas akhir ini meliputi simpangan, rotasi pondasi, simpangan rotasi, simpangan total, simpangan antar tingkat, gaya horisontal tingkat, gaya geser tingkat dan momen guling.

## **1.2 Rumusan Masalah**

Berdasarkan latar belakang yang ada maka dalam tugas akhir ini merumuskan masalah sebagai berikut, yaitu:

1. Apakah terdapat hubungan antara parameter gerakan tanah (nilai maksimum percepatan tanah, durasi atau lamanya gempa serta kandungan frekuensi) dengan respon struktur.
2. Bagaimana pengaruh penggunaan kekakuan horisontal dan kekakuan putar tanah yang berbeda terhadap respon struktur.

## **1.3 Tujuan**

Berdasarkan rumusan masalah yang ada maka dalam tugas akhir ini menggunakan metode integrasi secara langsung menurut  $\beta$ -Newmark. Tujuan penulisan tugas akhir ini adalah :

1. Untuk mengetahui hubungan antara parameter gerakan tanah (nilai maksimum percepatan tanah, lamanya gempa serta kandungan frekuensi) dengan respon struktur.
2. Untuk mengetahui respon struktur jika kekakuan horisontal dan kekakuan putar tanah yang digunakan berbeda.

## 1.4 Manfaat Penelitian

Dengan memperhitungkan beban gempa yang terjadi maka hasil yang diperoleh dapat digunakan dalam mengestimasi efek rotasi pondasi dan gaya geser tingkat terhadap perencanaan suatu struktur.

## 1.5 Batasan Masalah

Beberapa batasan masalah yang dipakai dalam penyelesaian tugas akhir ini adalah sebagai berikut :

1. Analisa dan perhitungan diambil dari data struktur yang sudah ada.
2. Analisa massa struktur digunakan sistem massa dianggap menggumpal pada satu titik (*lumped mass*).
3. Untuk menghitung kekakuan kolom struktur berdasarkan prinsip *Shear Building*.
4. Nilai redaman horisontal tanah (ch) dan redaman putar (cr) tanah ditetapkan sebesar  $ch=525000 \text{ kg.dt/m}$ ,  $cr=993000 \text{ kg.dt/rad}$
5. Nilai kekakuan horisontal tanah (kh) dan kekakuan putar tanah (kr) ditetapkan sebesar,  $kh=2E+15 \text{ kg/m}$ ;  $kr=4E+15 \text{ kg/rad}$ ,  $kh=2E+07 \text{ kg/m}$ ;  $kr=4E+08 \text{ kg/rad}$ ,  $kh=2E+07 \text{ kg/m}$ ;  $kr=2E+08 \text{ kg/rad}$  dan  $kh=1E+07 \text{ kg/m}$ ;  $kr=4E+08 \text{ kg/rad}$ .
6. Kekakuan vertikal tanah tidak diperhitungkan.
7. Besarnya redaman dapat dihitung dengan 3 alternatif, sedangkan pada perhitungan analisis digunakan alternatif ke-1.
8. Percepatan tanah diambil dari data gempa yang sudah ada pada kondisi *code level*.
9. Pembuatan program dengan Microsoft Visual Basic 6.

## **BAB II**

### **TINJAUAN PUSTAKA**

Tinjauan pustaka merupakan sebuah tinjauan mengenai teori-teori dan hasil-hasil penelitian yang telah dilakukan sebelumnya yang mendukung pelaksanaan penelitian. Dengan demikian penelitian yang dilakukan mempunyai landasan teori yang kuat agar memberikan hasil yang optimal.

#### **2.1 Pendahuluan**

Dalam mendesain struktur bangunan penguasaan ilmu tentang struktur sangat mutlak diperlukan. Penggunaan komputer sebagai alat bantu dapat dirasakan manfaatnya, karena pemakaian komputer sangat membantu memudahkan dan mempercepat perhitungan-perhitungan dengan teliti, yang apabila dilakukan secara manual akan memerlukan waktu yang lama dengan tingkat ketelitian yang terbatas.

Banyak program bantu dalam perhitungan struktur yang dapat digunakan, seperti Matlab, Microsoft Visual Basic, Borland Delphi dan lain-lainnya. Dalam penelitian ini menggunakan bahasa Microsoft Visual Basic 6.0 untuk membuat program PROGSIP 2002.

Pada penyusunan tugas akhir ini menggunakan tinjauan pustaka penelitian-penelitian yang pernah dilakukan sebelumnya, antara lain :

### 1. Eddi Wahyudi dan Hamdi Buldan (1995).

Kedua peneliti ini mengambil topik *Analisa Dinamik pada Struktur Gedung Bertingkat Banyak*. Dalam penelitian ini kedua peneliti mencoba mencari metode yang tepat dalam perencanaan gedung bertingkat banyak yaitu menggunakan analisa dinamik. Dengan menggunakan metode ini hasil yang diperoleh akan dianalisa dan dibandingkan dengan hasil perencanaan apabila digunakan metode analisis statik ekuivalen yang telah umum digunakan. Sistem pembahasan yang dilakukan akan dimulai dari metode analisis menggunakan derajat kebebasan tunggal (SDOF) dan kemudian meningkat pada derajat kebebasan banyak (MDOF).

Pada penelitian ini percepatan tanah tidak diperhitungkan maka hasilnya selalu tetap, padahal semakin besar percepatan tanah semakin besar pula gaya geser gempa yang terjadi, dan selain itu gaya geser yang dihasilkan oleh metode ini tidak terdistribusi secara linier.

### 2. Dhani Prasetyo dan Jayadi Windu Armita (2000).

Kedua peneliti ini mengambil topik *Respon Seismik Struktur Beton Bertingkat Banyak Akibat Beban Gempa*. Pada penelitian ini kedua peneliti mencoba mengetahui sejauh mana pengaruh kandungan frekuensi beban gempa terhadap respon struktur bertingkat banyak dengan melihat hasil analisa simpangan relatif, simpangan antar tingkat, gaya geser tingkat dan gaya geser dasar. Untuk memperoleh rentang frekuensi atau rasio percepatan maksimum dan kecepatan

maksimum beban gempa yang cendrung menyebabkan respon struktur menjadi maksimum dengan melihat simpangan relatif tingkat, simpangan antar tingkat, gaya geser tingkat dan gaya geser dasar yang terjadi pada struktur.

Dalam penelitian ini kedua peneliti menggunakan model struktur dengan kekakuan, massa, rasio redaman yang sama, padahal dalam kenyataannya tidak semua struktur mempunyai kondisi seperti di atas.

### **3. Agung Febriarto dan Yesri Elrian (2000)**

Kedua peneliti ini mengambil topik *Respon Seismik Struktur Bangunan Bertingkat Dengan Integrasi Persamaan Differensial Secara Langsung*. Pada penelitian ini kedua peneliti menggunakan metode Wilson- $\theta$ , dimana perhitungan disajikan dalam bentuk Algoritma untuk solusi langkah demi langkah dari sistem suatu linear dengan menggunakan metode integrasi Wilson- $\theta$ . Tujuan dari penelitian yang dilakukan oleh kedua peneliti diatas adalah untuk mengetahui pengaruh penggunaan beban gempa terhadap respon struktur yang mempunyai beda tingkat dan sejauh mana hubungan antara parameter gerakan tanah (percepatan tanah, waktu, respon spektra dan frekuensi) dengan respon struktur.

Dari tiga beban gempa yang digunakan dibedakan menurut kandungan frekuensinya yaitu; frekuensi rendah digunakan gempa Bucharest, frekuensi sedang digunakan gempa Petrovac dan frekuensi

tinggi digunakan gempa Koyna, kedua penulis ini menyimpulkan: pola simpangan relatif maksimum dan gaya geser dasar berkebalikan dengan pola simpangan antar tingkat, percepatan tanah dengan magnitude yang maksimum tidak menyebabkan respon struktur menjadi maksimum pada waktu yang sama dan gempa dengan kandungan frekuensi tinggi cenderung menyebabkan respon yang relatif kecil dibandingkan dengan respon akibat gempa dengan frekuensi sedang dan tinggi.

## **2.2 Permasalahan Yang Akan Diteliti**

Berdasarkan tinjauan pustaka di atas maka perlu adanya penelitian dengan pokok-pokok permasalahan sebagai berikut :

1. Pada perencanaan struktur bertingkat banyak yang direncanakan dengan beban gempa perlu direncanakan dengan beban gempa yang mendekati kenyataan yang berupa riwayat waktu (*time story*) sehingga dapat diketahui perilaku dinamik struktur akibat beban gempa tersebut.
2. Untuk mengetahui sejauh mana beban gempa terhadap respon struktur maka akan ditinjau pengaruh kandungan frekuensi beban gempa terhadap respon struktur yang berupa rotasi pondasi, simpangan, simpangan maksimum, simpangan antar tingkat (*interstorey drift*), simpangan antar tingkat maksimum, gaya horisontal tingkat, gaya horisontal tingkat maksimum, gaya geser tingkat, gaya geser tingkat maksimum, momen guling dan momen guling maksimum.

3. Untuk mengetahui sejauh mana respon struktur jika kekakuan horisontal dan kekakuan putar tanah yang digunakan berbeda
4. Untuk mendapatkan hasil yang sesuai dengan sifat beban dinamik maka digunakan program komputer yang mampu menyelesaikan persoalan dinamik.

## **BAB III**

### **LANDASAN TEORI**

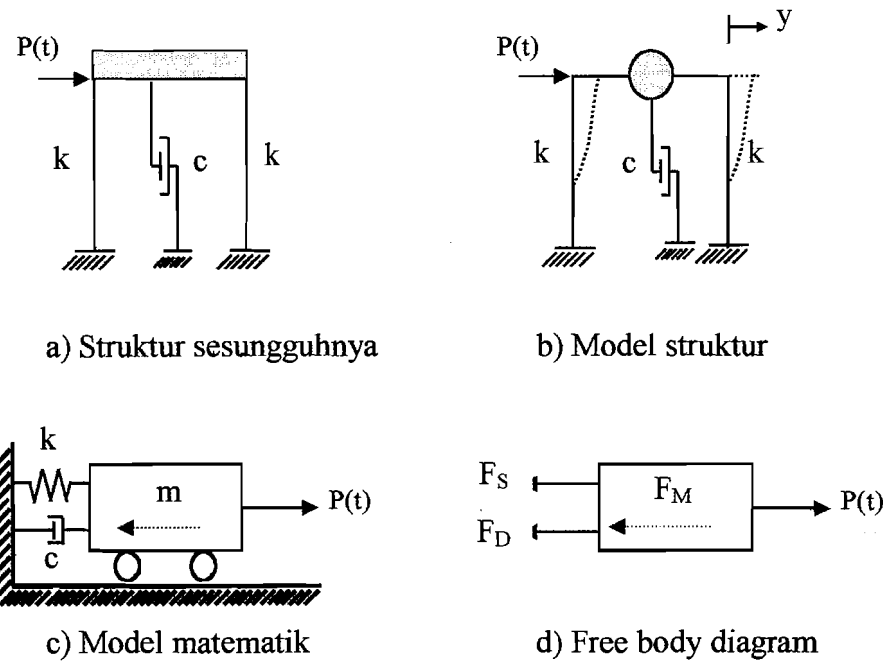
Landasan teori berupa teori-teori yang akan dipergunakan sebagai tuntunan untuk memecahkan masalah yang dihadapi. Landasan teori juga akan memuat teori-teori dinamika struktur, model-model matematik dan penjabarannya.

#### **3.1 Struktur dengan Derajat Kebebasan Tunggal (SDOF)**

##### **3.1.1 Struktur (SDOF) Akibat Beban Dinamik**

Dalam hal ini beban merupakan fungsi/berubah menurut waktu. Oleh karena itu penyelesaian persoalan ini merupakan fungsi dari waktu yang mana solusi selengkapnya dapat dikerjakan secara berulang-ulang bergantung pada fungsi waktu yang ditinjau.

Beban dinamik seperti beban akibat putaran mesin atau beban akibat beban angin akan membebani secara langsung pada struktur bangunan dan umumnya dianggap bekerja secara langsung pada elevasi lantai, misalnya beban akibat putaran mesin  $P_{(t)} = P_0 \sin \omega t$ . Model sistem dengan derajat kebebasan tunggal akibat beban dinamik ditunjukkan dalam Gambar 3.1.



**Gambar 3.1** Model sistem SDOF akibat beban dinamik

Berdasarkan keseimbangan dinamik dengan *free body diagram* sebagai mana terlihat dalam Gambar 3.1.d) maka keseimbangan gaya adalah sebagai berikut:

$$F_M + F_D + F_S = P(t) \quad (3.1)$$

dengan,

$$F_M = m \cdot \ddot{y} \quad F_D = c \cdot \dot{y} \quad F_S = k \cdot y \quad (3.2)$$

$F_M$ ,  $F_D$ ,  $F_S$  masing-masing adalah gaya inersia, gaya redam, gaya tarik/desak pegas yang mempersentasikan kekuan kolom,  $P(t)$  adalah beban dinamik, dan  $\ddot{y}$ ,  $\dot{y}$ ,  $y$  masing-masing adalah percepatan, kecepatan dan simpangan, dan  $m$ ,  $c$ ,  $k$  masing-masing adalah massa, redaman dan kekuan.

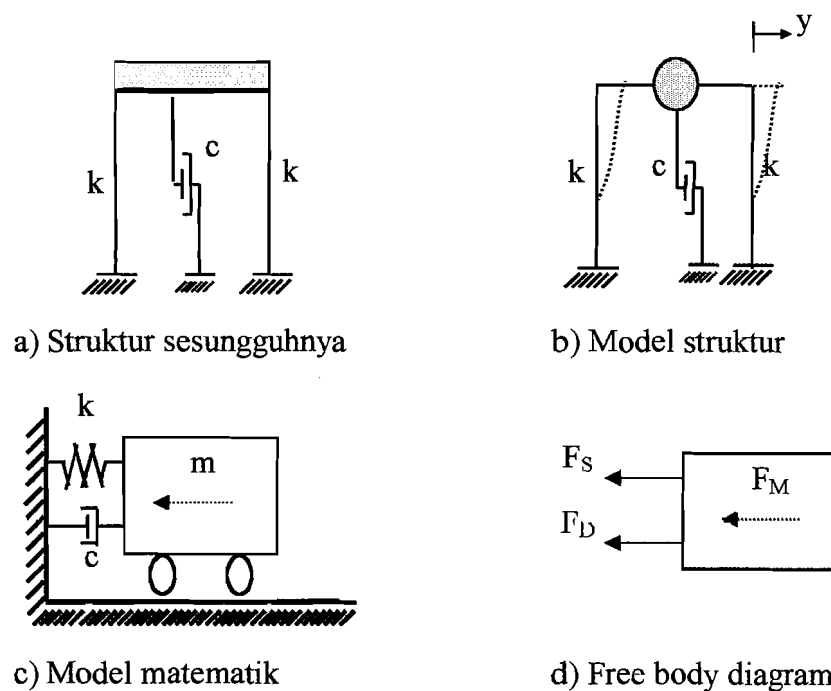
Subtitusi persamaan (3.2) kedalam persamaan (3.1), sehingga didapatkan persamaan

$$m \ddot{y} + c\dot{y} + ky = P_{(t)} \quad (3.3)$$

persamaan (3.3) disebut persamaan diferensial gerakan (*differential equation of motion*).

### 3.1.2 Struktur (SDOF) Akibat Gerakan Tanah

Beban dinamik yang umum diperhitungkan adalah beban gempa. Gempa bumi akan menyebabkan permukaan tanah menjadi bergetar. Tanah yang bergetar akan menyebabkan semua benda yang berada di atas tanah ikut bergetar termasuk struktur bangunan di atasnya. (Widodo, 2001)



**Gambar 3.2** Model sistem SDOF akibat gerakan tanah

Berdasarkan *free body diagram* yang ditunjukkan pada Gambar 3.2.d) maka persamaan differensial gerakan adalah

$$m\ddot{y}_1 + c\dot{y}_1 + ky_1 = 0 \quad (3.4)$$

Persamaan (3.4) merupakan kondisi khusus dari persamaan (3.3). Akibat gempa bumi, tanah mempunyai percepatan, kecepatan, simpangan masing-masing sebesar

$$\ddot{y}_l = \ddot{y}_b + \ddot{y}, \quad \dot{y}_l = \dot{y}_b + \dot{y}, \quad y_l = y_b + y \quad (3.5)$$

Dengan mendistribusikan persamaan (3.5) kedalam persamaan (3.4) maka persamaan (3.4) dapat ditulis menjadi

$$m\ddot{y} + c\dot{y} + ky = -m\ddot{y}_b - c\dot{y}_b - ky_b \quad (3.6)$$

Pada kondisi *rigid body motion* dianggap struktur tidak terjadi simpangan dan kecepatan antara tanah dengan struktur. Dengan demikian persamaan (3.6) menjadi

$$m\ddot{y} + c\dot{y} + ky = -m\ddot{y}_b \quad (3.7)$$

$$\ddot{y} + \frac{c}{m}\dot{y} + \frac{k}{m}y = -\ddot{y}_b \quad (3.8)$$

Dalam prinsip dinamika struktur diperoleh hubungan

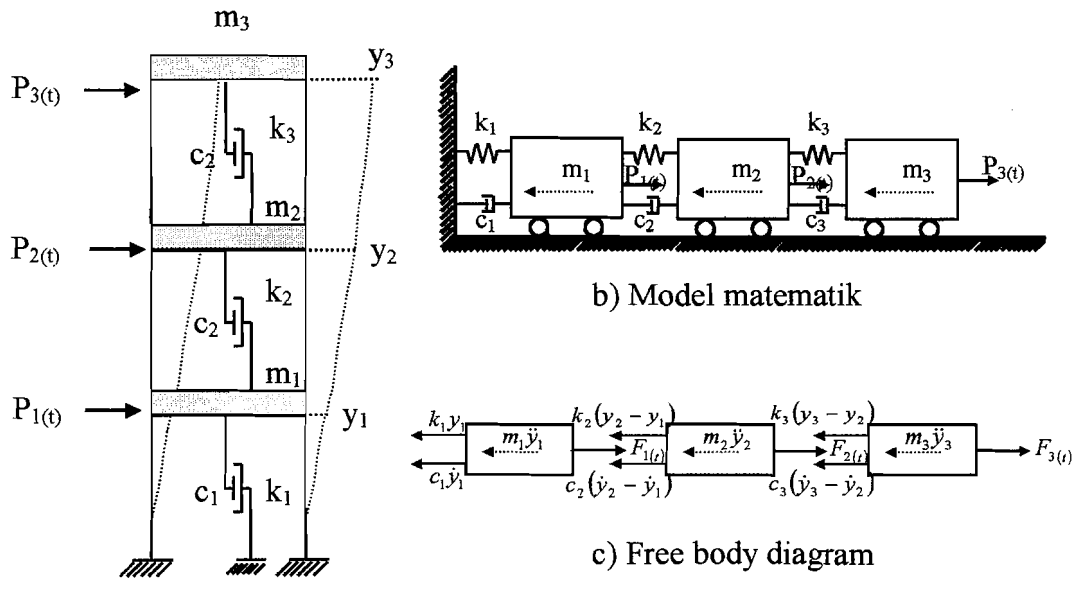
$$\begin{aligned} \frac{k}{m} &= \omega^2 & \frac{c}{m} &= 2\xi\omega \\ \omega &= \sqrt{\frac{k}{m}} \text{ (rad/dt)}, & \omega &= \text{angular frequency} \end{aligned} \quad (3.9)$$

$$T = \frac{2\pi}{\omega} \text{ (dt)}, \quad T = \text{periode} \quad (3.10)$$

### 3.2 Struktur dengan Derajat Kebebasan Banyak (MDOF)

Pada struktur bangunan gedung bertingkat banyak, umumnya massa struktur dapat digumpalkan pada setiap lantai (*lumped mass*), dengan demikian struktur yang semula mempunyai derajat kebebasan tak terhingga akan dapat

dipandang sebagai struktur dengan derajat kebebasan terbatas. Untuk memperoleh persamaan differensial gerakan pada struktur kebebasan banyak, maka dapat digunakan anggapan *shear building* sebagaimana pada struktur SDOF.



**Gambar 3.3 Struktur MDOF**

Pada struktur gedung bertingkat tiga seperti pada Gambar 3.3.a), struktur akan mempunyai tiga derajat kebebasan, sehingga struktur yang mempunyai  $n$ -tingkat akan mempunyai  $n$ -derajat kebebasan dan mempunyai  $n$ -modes. Untuk memperoleh persamaan differensial gerakan pada struktur MDOF umumnya digunakan goyangan senada untuk goyangan yang  $y_3 > y_2 > y_1$ . Berdasarkan keseimbangan dinamik seperti pada Gambar 3.3.c), maka akan diperoleh persamaan sebagai berikut:

$$\begin{aligned}
 m_1\ddot{y}_1 + c_1\dot{y}_1 + k_1y_1 - c_2(\dot{y}_2 - \dot{y}_1) - k_2(y_2 - y_1) &= F_{1(t)} \\
 m_2\ddot{y}_2 + c_2(\dot{y}_2 - \dot{y}_1) + k_2(y_2 - y_1) - c_3(\dot{y}_3 - \dot{y}_2) - k_3(y_3 - y_2) &= F_{2(t)} \\
 m_3\ddot{y}_3 + c_3(\dot{y}_3 - \dot{y}_2) + k_3(y_3 - y_2) &= F_{3(t)}
 \end{aligned} \tag{3.11}$$

Selanjutnya persamaan (3.34) dapat ditulis dalam bentuk matriks yang lebih ringkas

$$[M]\{\ddot{y}\} + [C]\{\dot{y}\} + [K]\{y\} = \{F_{(t)}\} \tag{3.12}$$

dengan  $[M]$ ,  $[C]$ ,  $[K]$ , berturut-turut adalah matriks massa, matriks redaman, matriks kekakuan;

$$\begin{aligned}
 [M] &= \begin{bmatrix} m_1 & 0 & 0 \\ 0 & m_2 & 0 \\ 0 & 0 & m_3 \end{bmatrix} \\
 [K] &= \begin{bmatrix} k_1 + k_2 & -k_2 & 0 \\ -k_2 & k_2 + k_3 & -k_3 \\ 0 & -k_3 & k_3 \end{bmatrix} \\
 [C] &= \begin{bmatrix} c_1 + c_2 & -c_2 & 0 \\ -c_2 & c_2 + c_3 & -c_3 \\ 0 & -c_3 & c_3 \end{bmatrix}
 \end{aligned} \tag{3.13}$$

$$\{\ddot{y}\} = \begin{bmatrix} \ddot{y}_1 \\ \ddot{y}_2 \\ \ddot{y}_3 \end{bmatrix}, \{\dot{y}\} = \begin{bmatrix} \dot{y}_1 \\ \dot{y}_2 \\ \dot{y}_3 \end{bmatrix}, \{y\} = \begin{bmatrix} y_1 \\ y_2 \\ y_3 \end{bmatrix} \text{ dan } \{F_{(t)}\} = \begin{bmatrix} F_1 \\ F_2 \\ F_3 \end{bmatrix} \tag{3.14}$$

$\{\ddot{y}\}$ ,  $\{\dot{y}\}$ ,  $\{y\}$  dan  $\{F_{(t)}\}$  adalah vektor percepatan, kecepatan, simpangan dan gaya.

### 3.3 Massa Struktur

Suatu struktur yang kontinyu akan mempunyai distribusi massa yang kontinyu pula sehingga terdapat beberapa derajat kebebasan pada setiap massa maka struktur tersebut akan mempunyai derajat kebebasan yang tak terhingga banyaknya. Hal ini akan menyulitkan analisis struktur karena banyaknya persamaan differensial yang perlu diselesaikan. Oleh karena itu perlu adanya asumsi-asumsi untuk menyederhanakan masalah. Terdapat dua pokok yang umumnya dilakukan untuk mendeskripsikan massa struktur.

#### 1. Model *lumped mass*

Pada model ini massa dianggap menggumpal pada tempat-tempat (*lumped mass*) join atau tempat-tempat tertentu. Dalam hal ini gerakan/*degree of freedom* suatu join sudah ditentukan. Untuk titik nodal yang hanya mempunyai satu derajat kebebasan/satu translasi maka nantinya elemen atau struktur yang bersangkutan akan mempunyai matrik yang isinya hanya bagian diagonal saja (Widodo, 2001). Clough dan Penzien (1993) dalam Widodo (2001) mengatakan bahwa bagian *off-diagonal* akan sama dengan nol karena gaya inersia hanya bekerja pada tiap-tiap massa. Selanjutnya dikatakan bahwa apabila terdapat gerakan rotasi massa (*rotation degree of freedom*) maka pada model *lumped mass* ini juga tidak akan ada *rotation moment of inertia*.

Jika prinsip tersebut dipakai maka hanya terdapat satu *degree of freedom* untuk setiap titik nodal/massa yaitu simpangan horisontal,

kondisi seperti ini pada prinsip bangunan geser (*shear building*). Untuk bangunan bertingkat banyak, konsentrasi beban akan terpusat pada tiap-tiap lantai tingkat bangunan. Sehingga untuk setiap tingkat hanya ada satu massa yang mewakili tingkat yang bersangkutan. Karena hanya terdapat satu derajat kebebasan yang terjadi pada setiap tingkat/massa maka jumlah derajat kebebasan pada suatu bangunan bertingkat banyak akan ditunjukkan oleh banyaknya tingkat bangunan yang bersangkutan.

Besar massa pada tiap tingkat dapat dihitung dengan rumus :

$$m_i = w/g \quad (3.15)$$

dimana  $m_i$ ,  $w$ ,  $g$  secara berurutan adalah massa, berat dan percepatan gravitasi.

## 2. Model *consistent mass matrix*

Pada prinsip ini elemen struktur akan berdeformasi menurut bentuk fungsi tertentu. Jika tiga derajat kebebasan (horisontal, vertikal dan rotasi) diperhitungkan pada setiap nodal maka standar *consistent mass matrix* akan menghasilkan *full populated consistent matrix* artinya suatu matrik yang *off-diagonal* matriknya tidak akan sama dengan nol. Clough dan Penzien (1993) dalam Widodo (2001) mengatakan bahwa pemakaian *consistent mass matrix* akan memerlukan hitungan yang lebih banyak. Dalam model *lumped mass* tidak akan terjadi ketergantungan antara massa (*mass coupling*) karena

matrik massa adalah diagonal. Apabila tidak demikian maka *mass of moment of inertia* akibat translasi dan rotasi harus diperhitungkan.

### 3.4 Kekakuan Struktur

Kekakuan adalah salah satu dinamik karakteristik struktur bangunan yang sangat penting disamping massa bangunan. Antara massa dan kekakuan struktur akan mempunyai hubungan yang unik yang umumnya disebut karakteristik diri atau eigenproblem. Hubungan tersebut akan menentukan nilai frekuensi sudut dan periode getar struktur T. Kedua nilai ini merupakan parameter yang sangat penting dan akan sangat mempengaruhi respon dinamik struktur.

Pada prinsip bagunan geser (*shear building*) balok lantai tingkat dianggap tetap horisontal baik sebelum maupun sesudah terjadinya penggoyangan. Adanya plat lantai yang menyatu secara kaku dengan balok diharapkan dapat membantu kekakuan balok sehingga anggapan tersebut tidak terlalu kasar. Plat dan balok lantai yang kaku dan tetap horisontal sebelum dan sesudah penggoyangan juga berarti bahwa balok mempunyai kekakuan tak terhingga. Sebelum dan sesudah penggoyangan join sama sekali tidak mengalami rotasi.

Pada disain struktur bangunan tahan gempa dikehendaki agar kolom lebih kuat dibandingkan dengan balok. Namun mungkin saja balok mempunyai kekakuan yang lebih besar dari kolomnya walaupun kekuatan yang ada harus sebaliknya. Dengan demikian, pada disain bangunan tahan gempa masih memungkinkan memakai model kekakuan yang dihitung menurut prinsip *shear building*, sekaligus memakai model *lumped mass*.

Pada prinsipnya semakin kaku balok maka semakin besar kemampuannya dalam menekan rotasi ujung kolom, sehingga akan menambah kekakuan kolom. Pada prinsip Muto (1975), kekakuan joint juga dapat diperhitungkan sehingga hitungan kekakuan baik kekakuan balok maupun kekakuan kolom akan menjadi lebih teliti.

Dalam penelitian ini besarnya kekakuan tiap tingkat dihitung dengan prinsip *shear building* sebagai berikut :

$$k_t = 12EI / H^3 \quad (3.16)$$

dengan  $I = bh^3 / 12$ , sehingga

$$k_t = E * bh^3 / H^3 \quad (3.17)$$

$I$  adalah momen inersia dan  $E$  adalah modulus elastisitas bahan, modulus elastisitas dari beton bertulang diambil  $200000 \text{ kg/cm}^2$ .

Dengan melihat data struktur maka kekakuan dihitung secara paralel yaitu kekakuan tiap tingkat merupakan jumlah total dari kekakuan kolom, secara matematis dapat dituliskan dengan rumus berikut :

$$k_t = \sum k_c \quad (3.18)$$

dengan  $k_t$  dan  $k_c$  adalah kekakuan tingkat dan kekakuan kolom, sehingga kekakuan tingkat ke- $i$  dapat dihitung dengan rumus berikut :

$$k_{t_i} = 2 * k_{clp_i} + \sum_{i=1}^n k_{ctg_i} \quad (3.19)$$

dimana  $k_{t_i}, k_{clp_i}, k_{ctg_i}$  adalah kekakuan tingkat ke- $i$ , kakakuan kolom tepi dan kekakuan kolom tengah.

### 3.5 Redaman Struktur

Redaman adalah peristiwa penyerapan energi (*energy dissipation*) oleh struktur akibat adanya berbagai macam sebab. Beberapa penyebab itu diantaranya adalah pelepasan energi oleh adanya gerakan antara molekul di dalam material, pelepasan energi oleh gesekan alat penyambung maupun sistem dukungan, pelepasan energi akibat gesekan dengan udara dan pada respon inelastik pelepasan energi juga terjadi akibat adanya rotasi sendi plastik. Karena redaman berfungsi menyerap energi maka hal tersebut akan mengurangi respon struktur.

Untuk memodel kemampuan struktur menyerap energi maka besaran yang dipakai umumnya adalah rasio redaman (*damping ratio*)  $\xi$ . Nilai rasio redaman untuk berbagai macam material dan tingkat respon struktur adalah seperti pada tabel 3.1.

**Tabel 3.1** Nilai-nilai rasio redaman untuk berbagai jenis kondisi

| No | Level tegangan<br>(stress level)                                   | Jenis dan kondisi<br>Struktur  | Rasio redaman<br>(damping ratio)                          |
|----|--|--|---|
| 1. | Tegangan elastik atau tegangan kurang $\frac{1}{2}$ tegangan leleh | <ul style="list-style-type: none"> <li>○ Struktur baja las, beton prestress, beton biasa retak rambut</li> <li>○ Beton biasa retak minor</li> <li>○ Struktur baja sambungan baut, keling, struktur kayu dengan sambungan baut/paku</li> </ul>  | 2 – 3 %<br>3 – 5 %<br>5 – 7 %                             |
| 2. | Tegangan sedikit di bawah leleh atau pada saat leleh               | <ul style="list-style-type: none"> <li>○ Struktur baja las, beton prestress tanpa loss of orestress secara total</li> <li>○ Beton prestress dengan tegangan lanjut</li> <li>○ Beton biasa</li> <li>○ Struktur baja dengan sambungan baut, keling, atau struktur kayu dengan sambungan baut</li> <li>○ Struktur kayu dengan sambungan paku</li> </ul> | 4 – 7 %<br>7 – 10 %<br>7 – 10 %<br>10 – 15 %<br>15 – 20 % |

Sumber Newmark N. M, Hall W. J (1982) dalam Widodo (2001)

Untuk memperoleh redaman ada tiga cara yang dapat digunakan, yaitu :

1. Redaman proporsional dengan massa (*mass proportional damping*)

Bentuk umum hubungan antara redaman dengan massa adalah,

$$[C] = \alpha[M] \quad (3.20)$$

apabila prinsip kondisi orthogonal diterapkan pada persamaan (3.20) di atas maka akan diperoleh,

$$\phi^T C \phi = \alpha \phi^T M \phi$$

$$C_j^* = \alpha M_j^*$$

$$2\xi_j \omega_j M_j^* = \alpha M_j^* \quad (3.21)$$

dari persamaan (3.21) akan diperoleh

$$\alpha = 2\xi_j \omega_j \quad (3.22)$$

persamaan (3.22) adalah suatu koefisien matrik massa apabila frekuensi sudut dan rasio redaman telah ditentukan. Untuk setiap mode juga akan mempunyai hubungan seperti pada persamaan (3.21). Oleh karena itu untuk mode ke-*i* akan diperoleh hubungan,

$$2\xi_i \omega_i M_i^* = \alpha M_i^* \quad (3.23)$$

subtitusi nilai  $\alpha$  dari persamaan (3.22) ke dalam persamaan (3.23) selanjutnya akan diperoleh,

$$2\xi_i \omega_i M_i^* = 2\xi_j \omega_j M_i^*$$

$$\xi_i = \frac{\xi_j \omega_j}{\omega_i} \quad (3.24)$$

2. Redaman proporsional dengan kekakuan (*stiffness proportional damping*)

Bentuk umum hubungan antara redaman dengan kekakuan adalah,

$$[C] = \beta [K] \quad (3.25)$$

apabila prinsip kondisi orthogonal diterapkan pada persamaan (3.25) di atas maka akan diperoleh,

$$\phi^T C \phi = \beta \phi^T K \phi$$

$$C_j^* \beta K_j^*$$

$$2\xi_j \omega_j M_j^* = \beta \omega_j^2 M_j^* \quad (3.26)$$

dari persamaan (3.26) akan diperoleh,

$$\beta = \frac{2\xi_j}{\omega_j} \quad (3.27)$$

persamaan (3.27) adalah suatu koefisien matrik kekakuan apabila frekuensi sudut dan rasio redaman telah ditentukan. Untuk setiap mode juga akan mempunyai hubungan seperti pada persamaan (3.26). oleh karena itu untuk mode ke-i akan diperoleh hubungan,

$$2\xi_i \omega_i M_i^* = \beta \omega_i^2 M_i^* \quad (3.28)$$

subtitusi nilai  $\beta$  dari persamaan (3.27) ke dalam persamaan (3.28) selanjutnya akan diperoleh,

$$2\xi_i \omega_i M_i^* = \frac{2\xi_j}{\omega_j} \omega_i^2 M_i^*$$

$$\xi_i = \frac{\xi_j \omega_i}{\omega_j} \quad (3.29)$$

3. Redaman proporsional terhadap massa dan kekakuan (*mass and stiffness proportional damping*)

Bentuk umum hubungan antara redaman, massa dan kekakuan tersebut adalah,

$$[C] = \alpha[M] + \beta[K] \quad (3.30)$$

apabila prinsip kondisi orthogonal diterapkan pada persamaan (3.30) di atas maka akan diperoleh,

$$\begin{aligned} \phi^T C \phi &= \alpha \phi^T M \phi + \beta \phi^T K \phi \\ C_j^* &= \alpha M_j^* + \beta \omega_j^2 M_j^* \\ 2\xi_j \omega_j &= \alpha + \beta \omega_j^2 \end{aligned} \quad (3.31)$$

untuk dua mode yang berurutan yaitu mode ke-i dan mode ke-j maka dari persamaan (3.31) akan menghasilkan,

$$2\xi_j \omega_j = \alpha + \beta \omega_j^2 \quad (3.32)$$

dan

$$2\xi_i \omega_i = \alpha + \beta \omega_i^2 \quad (3.33)$$

berdasarkan persamaan (3.32) dan (3.33) maka akan diperoleh nilai-nilai  $\beta$  dan  $\alpha$  sebagai berikut,

$$\begin{aligned} \beta &= \frac{2(\xi_j \omega_j - \xi_i \omega_i)}{\omega_j^2 - \omega_i^2} \\ \alpha &= 2\xi_j \omega_j - \beta \omega_j^2 \end{aligned} \quad (3.34)$$

persamaan (3.34) adalah suatu koefisien matriks massa dan matriks kekakuan apabila frekuensi sudut dan rasio redaman telah ditentukan.

Untuk setiap mode juga akan mempunyai hubungan seperti pada persamaan (3.32) dan persamaan (3.33). Untuk dua mode yang ditinjau, persamaan (3.32) dan persamaan (3.33) dapat ditulis menjadi,

$$\begin{aligned} \frac{\alpha}{2\omega_j} + \frac{\beta}{2}\omega_j &= \xi_j \\ \frac{\alpha}{2\omega_i} + \frac{\beta}{2}\omega_i &= \xi_i \end{aligned} \quad (3.35)$$

persamaan (3.35) adalah persamaan simultan yang mana nilai  $\alpha$  dan  $\beta$  perlu diperhitungkan. Dalam *mass and stiffness proportional damping*, frekuensi sudut dan ratio redaman untuk mode ke-i dan mode ke-j sudah ditentukan dan berfungsi sebagai nilai referensi. Apabila hal ini telah dilakukan maka sebenarnya nilai  $\alpha$  dan  $\beta$  dapat dicari melalui bentuk matrik persamaan (3.35) yaitu,

$$\frac{1}{2} \begin{bmatrix} 1 & \omega_j \\ \omega_j & 1 \\ \hline 1 & \omega_i \\ \omega_i & 1 \end{bmatrix} \begin{bmatrix} \alpha \\ \beta \end{bmatrix} = \begin{bmatrix} \xi_j \\ \xi_i \end{bmatrix} \quad (3.36)$$

melalui persamaan (3.36) apabila nilai-nilai frekuensi sudut dan rasio redaman untuk mode ke-i dan mode ke-j sudah ditentukan maka nilai  $\alpha$  dan  $\beta$  dapat dihitung. Selanjutnya nilai-nilai rasio redaman untuk setiap mode dapat dicari dengan mengambil salah satu dari persamaan (3.35) yaitu,

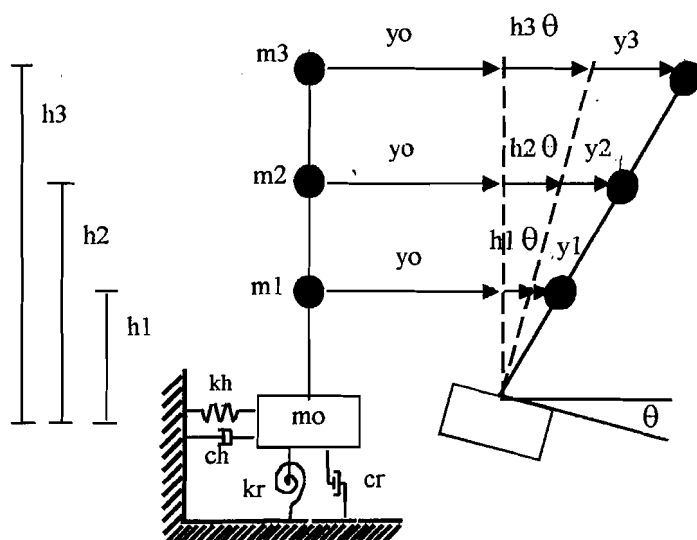
$$\frac{\alpha}{2\omega_i} + \frac{\beta}{2}\omega_i = \xi_i \quad (3.37)$$

dengan catatan nilai  $\alpha$  dan  $\beta$  dihitung menurut persamaan (3.36).

### 3.6 Struktur dengan Memperhitungkan Rotasi Pondasi Akibat Gerakan Tanah

Tanah pada dasar gedung (pondasi) tidak sepenuhnya kaku, karena tanah pada dasar pondasi akan terpengaruh apabila terjadi getaran gedung akibat gerakan tanah. Keadaan gedung akan mengalami getaran ke tiga arah, yaitu getaran arah horizontal, getaran arah vertikal dan getaran berputar. Akibat gerakan tanah tersebut maka pondasi gedung akan mengalami rotasi (perputaran), yang mana dipengaruhi oleh nilai kekakuan horizontal, kekakuan vertikal dan kekakuan putar tanah yang berbeda.

Pengaruh gerakan tanah yang mengakibatkan rotasi pondasi pada struktur bangunan karena mengalami getaran arah horisontal dan getaran berputar pada struktur MDOF dapat digambarkan sebagai berikut



Model struktur

**Gambar 3.4** Struktur MDOF dengan rotasi pondasi

Dari Gambar 3.4 dengan asumsi struktur bangunan bergeser kearah horisontal sedangkan arah vertikal diabaikan dan massa menggumpal (*lumped mass*). Jika

gaya inersia, gaya redam serta gaya kekakuan adalah  $F_I, F_C$  dan  $F_K$  maka diperoleh persamaan sebagai berikut:

$$\begin{aligned} F_I &= \begin{bmatrix} m_1 & 0 & 0 \\ 0 & m_2 & 0 \\ 0 & 0 & m_3 \end{bmatrix} \begin{bmatrix} 1 \\ 1 \\ 1 \end{bmatrix} \left\{ \ddot{y}_j + \ddot{y}_b + \ddot{y}_0 + h_j \ddot{\theta} \right\} = 0 \\ F_C &= \begin{bmatrix} c_1 & 0 & 0 \\ 0 & c_2 & 0 \\ 0 & 0 & c_3 \end{bmatrix} \begin{bmatrix} 1 \\ 1 \\ 1 \end{bmatrix} \left\{ \dot{y}_j + \dot{y}_b + \dot{y}_0 + h_j \dot{\theta} \right\} = 0 \quad (3.38) \\ F_K &= \begin{bmatrix} k_1 + k_2 & -k_2 & 0 \\ -k_2 & k_2 + k_3 & -k_3 \\ 0 & -k_3 & k_3 \end{bmatrix} \begin{bmatrix} 1 \\ 1 \\ 1 \end{bmatrix} \left\{ y_j + y_b + y_0 + h_j \theta \right\} = 0 \end{aligned}$$

Sedangkan untuk keseimbangan struktur untuk arah horisontal diperoleh persamaan sebagai berikut,

$$\begin{aligned} F_{I,h} &= \sum_{j=1}^N m_j \left\{ \ddot{y}_j + \ddot{y}_b + \ddot{y}_0 + h_j \ddot{\theta} \right\} + m_0 \left\{ \ddot{y}_b + \ddot{y}_0 \right\} = 0 \quad (3.39) \\ F_{C,h} &= \begin{bmatrix} c_1 & 0 & 0 \\ 0 & c_2 & 0 \\ 0 & 0 & c_3 \end{bmatrix} \begin{bmatrix} 1 \\ 1 \\ 1 \end{bmatrix} \left\{ \dot{y}_j + \dot{y}_b + \dot{y}_0 + h_j \dot{\theta} \right\} + C_h \cdot \dot{y}_0 = 0 \\ F_{K,h} &= \begin{bmatrix} k_1 + k_2 & -k_2 & 0 \\ -k_2 & k_2 + k_3 & -k_3 \\ 0 & -k_3 & k_3 \end{bmatrix} \begin{bmatrix} 1 \\ 1 \\ 1 \end{bmatrix} \left\{ y_j + y_b + y_0 + h_j \theta \right\} + K_h \cdot y_0 = 0 \end{aligned}$$

Sedangkan untuk keseimbangan struktur untuk arah putar diperoleh persamaan sebagai berikut,

$$F_{I,r} = \sum_{j=1}^N m_j h_j \left\{ \ddot{y}_j + \ddot{y}_b + \ddot{y}_0 + h_j \ddot{\theta} \right\} + I_G \ddot{\theta} = 0$$

$$F_{C,r} = \begin{bmatrix} c_1 & 0 & 0 \\ 0 & c_2 & 0 \\ 0 & 0 & c_3 \end{bmatrix} \begin{bmatrix} 1 \\ 1 \\ 1 \end{bmatrix} \left\{ \dot{y}_j + \dot{y}_b + \dot{y}_0 + h_j \dot{\theta} \right\} + Cr\dot{\theta} = 0 \quad (3.40)$$

$$F_{K,r} = \begin{bmatrix} k_1 + k_2 & -k_2 & 0 \\ -k_2 & k_2 + k_3 & -k_3 \\ 0 & -k_3 & k_3 \end{bmatrix} \begin{bmatrix} 1 \\ 1 \\ 1 \end{bmatrix} \left\{ y_j + y_b + y_0 + h_j \theta \right\} + Kr\theta = 0$$

dari persamaan (3.38), (3.39) dan (3.40) maka akan diperoleh,

$$\begin{aligned} & \begin{bmatrix} m_1 & 0 & 0 & m_1 & m_1 h_1 & \ddot{y}_1 \\ 0 & m_2 & 0 & m_2 & m_2 h_2 & \ddot{y}_2 \\ 0 & 0 & m_3 & m_3 & m_3 h_3 & \ddot{y}_3 \\ m_1 & m_2 & m_3 & m_0 + m_1 + m_2 + m_3 & m_1 h_1 + m_2 h_2 + m_3 h_3 & \ddot{y}_0 \\ m_1 h_1 & m_2 h_2 & m_3 h_3 & m_1 h_1 + m_2 h_2 + m_3 h_3 & I_G + m_1 h_1^2 + m_2 h_2^2 + m_3 h_3^2 & \ddot{\theta} \end{bmatrix} + \\ & \begin{bmatrix} c_1 & 0 & 0 & 0 & 0 & \dot{y}_1 \\ 0 & c_2 & 0 & 0 & 0 & \dot{y}_2 \\ 0 & 0 & c_3 & 0 & 0 & \dot{y}_3 \\ 0 & 0 & 0 & c_h & 0 & \dot{y}_0 \\ 0 & 0 & 0 & 0 & c_r & \dot{\theta} \end{bmatrix} + \begin{bmatrix} k_1 + k_2 & -k_2 & 0 & 0 & 0 \\ -k_2 & k_2 + k_3 & -k_3 & 0 & 0 \\ 0 & -k_3 & k_3 & 0 & 0 \\ 0 & 0 & 0 & k_h & 0 \\ 0 & 0 & 0 & 0 & k_r \end{bmatrix} \begin{bmatrix} y_1 \\ y_2 \\ y_3 \\ y_0 \\ \theta \end{bmatrix} \\ & = - \begin{Bmatrix} m_1 \ddot{y}_b \\ m_2 \ddot{y}_b \\ m_3 \ddot{y}_b \\ (m_0 + m_1 + m_2 + m_3) \ddot{y}_b \\ (m_1 h_1 + m_2 h_2 + m_3 h_3) \ddot{y}_b \end{Bmatrix} \quad (3.41) \end{aligned}$$

dimana dalam bentuk matriks adalah sebagai berikut:

$$[M] = \begin{bmatrix} m_1 & 0 & 0 & m_1 & m_1 h_1 \\ 0 & m_2 & 0 & 0 & m_2 h_2 \\ 0 & 0 & m_3 & 0 & m_3 h_3 \\ m_1 & m_2 & m_3 & m_0 + m_1 + m_2 + m_3 & m_1 h_1 + m_2 h_2 + m_3 h_3 \\ m_1 h_1 & m_2 h_2 & m_3 h_3 & m_1 h_1 + m_2 h_2 + m_3 h_3 & I_G + m_1 h_1^2 + m_2 h_2^2 + m_3 h_3^2 \end{bmatrix}$$

$$\begin{aligned}
 [C] &= \begin{bmatrix} c_1 & 0 & 0 & 0 & 0 \\ 0 & c_2 & 0 & 0 & 0 \\ 0 & 0 & c_3 & 0 & 0 \\ 0 & 0 & 0 & c_h & 0 \\ 0 & 0 & 0 & 0 & c_r \end{bmatrix} \\
 [K] &= \begin{bmatrix} k_1 + k_2 & -k_2 & 0 & 0 & 0 \\ -k_2 & k_2 + k_3 & -k_3 & 0 & 0 \\ 0 & -k_3 & k_3 & 0 & 0 \\ 0 & 0 & 0 & k_h & 0 \\ 0 & 0 & 0 & 0 & k_r \end{bmatrix} \\
 \ddot{\mathbf{y}} &= \begin{bmatrix} \ddot{y}_1 \\ \ddot{y}_2 \\ \ddot{y}_3 \\ \ddot{y}_0 \\ \ddot{\theta} \end{bmatrix} \quad \dot{\mathbf{y}} = \begin{bmatrix} \dot{y}_1 \\ \dot{y}_2 \\ \dot{y}_3 \\ \dot{y}_0 \\ \dot{\theta} \end{bmatrix} \quad \mathbf{y} = \begin{bmatrix} y_1 \\ y_2 \\ y_3 \\ y_0 \\ \theta \end{bmatrix} \quad (3.42)
 \end{aligned}$$

Untuk matriks redaman pada struktur atas dapat dihitung dengan tiga cara yaitu, redaman proposisional dengan massa, redaman proposisional dengan kekakuan dan redaman proposisional dengan massa dan kekakuan. Sehingga matriks redaman berturut-turut menjadi,

$$[C] = \begin{bmatrix} \alpha.m_1 & 0 & 0 & 0 & 0 \\ 0 & \alpha.m_2 & 0 & 0 & 0 \\ 0 & 0 & \alpha.m_3 & 0 & 0 \\ 0 & 0 & 0 & c_h & 0 \\ 0 & 0 & 0 & 0 & c_r \end{bmatrix} \quad (3.43)$$

$$[C] = \begin{bmatrix} \beta.(k_1 + k_2) & \beta.-k_2 & 0 & 0 & 0 \\ \beta.-k_2 & \beta.(k_2 + k_3) & \beta.-k_3 & 0 & 0 \\ 0 & \beta.-k_3 & \beta.k_3 & 0 & 0 \\ 0 & 0 & 0 & c_h & 0 \\ 0 & 0 & 0 & 0 & c_r \end{bmatrix} \quad (3.44)$$

$$[C] = \begin{bmatrix} \alpha.m_1 + \beta.(k_1 + k_2) & \beta.-k_2 & 0 & 0 & 0 \\ \beta.-k_2 & \alpha.m_2 + \beta.(k_2 + k_3) & \beta.-k_3 & 0 & 0 \\ 0 & \beta.-k_3 & \alpha.m_3 + \beta.k_3 & 0 & 0 \\ 0 & 0 & 0 & c_h & 0 \\ 0 & 0 & 0 & 0 & c_r \end{bmatrix} \quad (3.45)$$

dengan:

$I_G$  = *Inertia polar moment*

$C_h$  = Redaman horisontal tanah

$C_r$  = Redaman horisontal tanah

$K_h$  = Kekakuan horizontal tanah

$K_r$  = Kekakuan putar (rotasi) tanah

### 3.7 Getaran Bebas pada Struktur Derajat Kebebasan Banyak

Suatu struktur akan bergoyang apabila memperoleh pembebanan dari luar misalnya akibat beban angin maupun akibat beban gerakan tanah/gempa. Getaran-getaran seperti ini dikelompokkan sebagai getaran dipaksa atau *force vibration system*. Membahas tentang getaran bebas pada struktur dengan derajat kebebasan banyak akan diperoleh beberapa karakter struktur yang penting dan sangat bermanfaat pada analisa dinamika struktur. Karakter-karakter itu adalah frekuensi sudut, periode getar dan frekuensi alam. Pembahasan getaran bebas ini masih diikuti dengan penyederhanaan permasalahan yaitu dengan menganggap struktur tidak mempunyai redaman (*undamped system*).

### 3.7.1 Nilai Karakteristik (*Eigenproblem*)

Getaran bebas (*free vibration system*) pada kenyataan jarang terjadi pada struktur MDOF, namun membahas jenis getaran ini akan diperoleh suatu besaran/karakteristik dari struktur yang bersangkutan yang selanjutnya sangat berguna untuk pembahasan-pembahasan respon struktur berikutnya.

Pada getaran bebas untuk struktur dengan derajat kebebasan banyak maka persamaan differensial geraknya adalah seperti persamaan berikut ini dengan nilai ruas kanan sama dengan nol,

$$[M]\{\ddot{y}\} + [C]\{\dot{y}\} + [K]\{y\} = 0 \quad (3.46)$$

Frekuensi sudut pada struktur dengan redaman (*damped frequency*) nilainya hampir sama dengan frekuensi sudut pada struktur tanpa redaman, apabila nilai damping ratio relatif kecil. Jika hal ini diadopsi untuk struktur dengan derajat kebebasan banyak maka untuk nilai  $C = 0$ , persamaan (3.46) menjadi,

$$[M]\{\ddot{y}\} + [K]\{\dot{y}\} = \{0\} \quad (3.47)$$

Karena persamaan (3.47) adalah persamaan diferensial pada struktur MDOF yang dianggap tidak mempunyai redaman maka sebagaimana penyelesaian persamaan diferensial yang sejenis maka penyelesaian persamaan tersebut diharapkan dalam fungsi harmonik menurut bentuk,

$$Y = \{\phi\}_i \sin(\omega t)$$

$$\dot{Y} = \omega \{\phi\}_i \cos(\omega t) \quad (3.48)$$

$$\ddot{Y} = -\omega^2 \{\phi\}_i \sin(\omega t)$$

dimana  $\{\phi\}_i$  adalah suatu ordinat massa pada mode ke-i. Persamaan (3.48) disubtitusikan ke dalam persamaan (3.47) maka akan diperoleh,

$$\begin{aligned} -\omega^2 [M]\{\phi\}_i \sin(\omega t) + [K]\{\phi\}_i \sin(\omega t) &= 0 \\ \{[K] - \omega^2 [M]\}\{\phi\}_i &= 0 \end{aligned} \quad (3.49)$$

Persamaan (3.49) adalah suatu persamaan yang sangat penting dan biasanya disebut dengan persamaan *eigenproblem* atau karakteristik problem atau ada juga yang menyebut *eigenvalue* problem. Persamaan (3.49) tersebut adalah persamaan simultan yang harus dicari penyelesaiannya. Salah satu cara yang dapat digunakan untuk menyelesaikan persamaan simultan tersebut adalah dengan memakai dalil Cramer (1704 – 1752). Dalil tersebut menyatakan bahwa penyelesaian persamaan simultan yang homogen akan ada nilainya apabila determinan dari matriks yang merupakan koefisien dari vektor  $\{\phi\}_i$  adalah nol, sehingga,

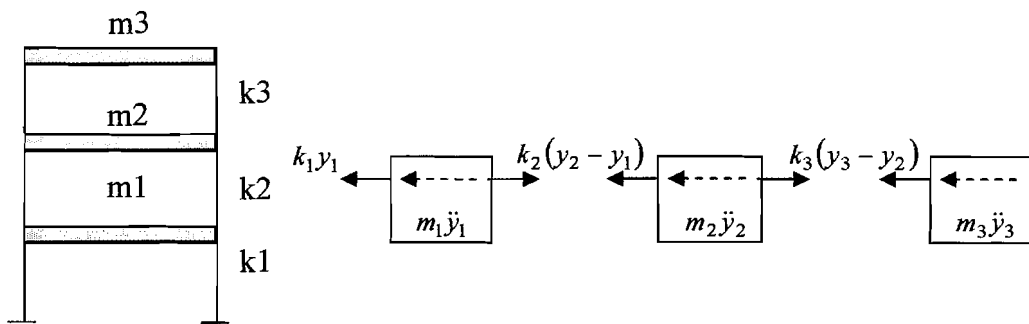
$$\{[K] - \omega^2 [M]\} = 0 \quad (3.50)$$

Dengan adanya hubungan antara jumlah mode dengan jumlah massa struktur maka struktur yang mempunyai n-tingkat maka akan mempunyai n-derajat kebebasan. Persamaan (3.50) akan menghasilkan suatu polinomial pangkat-n yang selanjutnya akan menghasilkan nilai  $\omega_i^2$  untuk  $i = 1, 2, 3, \dots, n$ . Selanjutnya subtitusi masing-masing frekuensi sudut  $\omega_i$  kedalam persamaan (3.49) maka akan diperoleh nilai-nilai *mode shape*.

### 3.7.2 Metode Polinomial

Metode polinomial pada dasarnya masih menggunakan persamaan *eigenproblem*. Untuk mencari atau menghitung *eigenvalue* (nilai-nilai frekuensi sudut) tidak dapat lagi digunakan cara determinan. Cara yang dipakai adalah dengan mentransfer persamaan simultan *eigenproblem* menjadi suatu persamaan polinomial pangkat banyak. Akar-akar persamaan polinomial inilah yang akan dicari yang seterusnya akan menghasilkan nilai-nilai *eigenvektor*.

Untuk membahas cara polinomial ini maka dapat ditinjau suatu struktur dengan tingkat seperti pada Gambar 3.5



**Gambar 3.5** Struktur bangunan 3 derajat kebebasan

Berdasarkan keseimbangan gaya-gaya *free body diagram* maka dapat disusun persamaan simultan gerakan dibawah ini,

$$\begin{aligned} m_1\ddot{y}_1 + k_1y_1 - k_2(y_2 - y_1) &= 0 \\ m_2\ddot{y}_2 + k_2(y_2 - y_1) - k_3(y_3 - y_2) &= 0 \\ m_3\ddot{y}_3 + k_3(y_3 - y_2) &= 0 \end{aligned} \quad (3.51)$$

Persamaan (3.51) dapat disederhanakan menjadi seperti dibawah ini,

$$\begin{aligned} m_1\ddot{y}_1 + (k_1 + k_2)y_1 - k_2y_2 &= 0 \\ m_2\ddot{y}_2 - k_2y_1 + (k_2 + k_3)y_2 - k_3y_3 &= 0 \\ m_3\ddot{y}_3 - k_3y_2 + k_3y_3 &= 0 \end{aligned} \quad (3.52)$$

persamaan (3.52) dapat ditulis dalam bentuk matriks sebagai berikut,

$$\begin{bmatrix} m_1 & 0 & 0 \\ 0 & m_2 & 0 \\ 0 & 0 & m_3 \end{bmatrix} \begin{bmatrix} \ddot{y}_1 \\ \ddot{y}_2 \\ \ddot{y}_3 \end{bmatrix} + \begin{bmatrix} (k_1 + k_2) & -k_2 & 0 \\ -k_2 & (k_2 + k_3) & -k_3 \\ 0 & -k_3 & k_3 \end{bmatrix} \begin{bmatrix} y_1 \\ y_2 \\ y_3 \end{bmatrix} = \begin{bmatrix} 0 \\ 0 \\ 0 \end{bmatrix} \quad (3.53)$$

untuk lebih jelasnya mengenai metode polinomial maka diambil contoh hitungan seperti struktur pada Gambar 3.5.

Data struktur:  $m_1=1,0 \text{ kg.dt}^2/\text{cm}$ ;  $m_2=1,5 \text{ kg.dt}^2/\text{cm}$ ;  $m_3=2,0 \text{ kg.dt}^2/\text{cm}$

$k_1=1800 \text{ kg/cm}$  (2 kolom);  $k_2=1200 \text{ kg/cm}$  (2 kolom);

$k_3=600 \text{ kg/cm}$  (2 kolom)

maka matriks massa dan matriks kekakuan untuk struktur tersebut jika dipakai unit massa  $m=1 \text{ kg.dt}^2/\text{cm}$  dan unit kekakuan  $k=600 \text{ kg/cm}$  adalah,

$$[M] = \begin{bmatrix} 2m & 0 & 0 \\ 0 & 1,5m & 0 \\ 0 & 0 & m \end{bmatrix} \quad [K] = \begin{bmatrix} 5k & -2k & 0 \\ -2k & 3k & -k \\ 0 & -k & k \end{bmatrix} \quad (3.54)$$

Dengan memperhatikan matriks-matriks di atas maka persamaan *eigenproblem* yang dapat disusun adalah sebagai berikut,

$$\begin{bmatrix} 5k - 2\omega^2 m & -2k & 0 \\ -2k & 3k - 1,5\omega^2 m & -k \\ 0 & -k & k - \omega^2 m \end{bmatrix} \begin{bmatrix} \phi_1 \\ \phi_2 \\ \phi_3 \end{bmatrix} = \begin{bmatrix} 0 \\ 0 \\ 0 \end{bmatrix} \quad (3.55)$$

Persamaan (3.25) dapat ditulis menjadi,

$$\begin{bmatrix} 5 - 2\frac{\omega^2}{k/m} & -2 & 0 \\ -2 & 3 - 1,5\frac{\omega^2}{k/m} & -1 \\ 0 & -1 & 1 - \frac{\omega^2}{k/m} \end{bmatrix} \begin{bmatrix} \phi_1 \\ \phi_2 \\ \phi_3 \end{bmatrix} = \begin{bmatrix} 0 \\ 0 \\ 0 \end{bmatrix} \quad (3.56)$$

Apabila diambil suatu notasi

$$\lambda = \frac{\omega^2}{k/m} \quad (3.57)$$

maka persamaan (3.56) menjadi

$$\begin{aligned} (5 - 2\lambda)\phi_1 - 2\phi_2 &= 0 \\ -2\phi_1 + (3 - 1,5\lambda)\phi_2 - \phi_3 &= 0 \\ \phi_2 + (1 - \lambda)\phi_3 &= 0 \end{aligned} \quad (3.58)$$

Penyelesaian persamaan simultan homogen tidaklah memberikan nilai-nilai yang pasti, tetapi hasil-hasil yang diperoleh hanya merupakan perbandingan antara yang satu dengan yang lain. Oleh karena itu dengan mengambil nilai,

$$\phi_1 = 1 \quad (3.59)$$

Dengan mensubtitusi nilai persamaan (3.59) ke dalam baris pertama persamaan (3.58) akan diperoleh,

$$\phi_2 = (2,5 - \lambda) \quad (3.60)$$

Selanjutnya subtitusi persamaan (3.60) ke dalam baris ke-2 persamaan (3.58) maka akan diperoleh,

$$\phi_1 = 1,5\lambda^2 - 6,75\lambda + 5,5 \quad (3.61)$$

Selanjutnya subtitusi persamaan (3.60) dan (3.61) ke dalam persamaan (3.58), setelah disusun akan diperoleh,

$$1,5\lambda^3 - 8,25\lambda^2 + 11,25\lambda - 3 = 0 \quad (3.62)$$

Persamaan (3.62) adalah persamaan polinomial pangkat 3 dan nilai yang akan dicari adalah nilai-nilai  $\lambda$  yang merupakan akar persamaan tersebut. Untuk mencari akar-akar persamaan (3.62) adalah dengan cara yang paling sederhana

yaitu dengan cara coba-coba. Setelah nilai-nilai  $\lambda$  diperoleh maka nilai percepatan sudut dapat dicari dengan menggunakan persamaan (3.57). nilai akar-akar dari persamaan (3.62) berikut nilai percepatan sudutnya adalah,

$$\begin{aligned}\lambda_1 &= 0,3515 \text{ maka } \omega_1 = \sqrt{0,3515 * \frac{600}{1}} = 14,5224 \text{ rad/s} \\ \lambda_2 &= 1,6066 \text{ maka } \omega_2 = \sqrt{1,6066 * \frac{600}{1}} = 31,0500 \text{ rad/s} \\ \lambda_3 &= 3,5419 \text{ maka } \omega_3 = \sqrt{3,5419 * \frac{600}{1}} = 46,0992 \text{ rad/s}\end{aligned}\quad (3.63)$$

Pada struktur yang memiliki derajat kebebasan banyak maka akan diperoleh persamaan polinomial yang berpangkat banyak pula sehingga akan kesulitan untuk mencari koefisien persamaan-persamaan polinomial. Selain itu untuk mencari akar-akar persamaan yang jumlahnya bergantung pada jumlah DOF.

### 3.7.3 Metode Transformasi Jacobi

Metode solusi dasar Jacobi telah dikembangkan untuk menyelesaikan masalah-masalah matriks yang riil dan simetris. Metode Jacobi berusaha mentransformasi suatu matrik A menjadi matriks diagonal  $A_{k+1}$ . Dalam keadaan ini elemen-elemen diagonal utama matriks  $A_{k+1}$  adalah harga-harga *eigen* yang dicari.

Untuk merubah matriks A menjadi matriks diagonal  $A_{k+1}$  dilakukan transformasi ortogonal. Oleh sebab itu hubungan antara matriks A dan  $A_{k+1}$  adalah serupa *ortogonal similiar orthogonal*, sehingga harga-harga *eigen* dari matriks  $A_{k+1}$  adalah juga harga-harga eigen dari matriks A.

Andaikan  $A_0 = A$  dan  $U_i$  adalah matriks ortogonal yang memenuhi hubungan,

$$A_1 = U_1^{-1} * A_0 * U_1 \quad (3.64)$$

atau dalam bentuk umum

$$A_{k+1} = U_{k+1}^{-1} * A_k * U_{k+1} \quad (3.65)$$

yang mana  $U_k = U_1, U_2, U_3, \dots, U_k$ . Untuk  $k = \alpha$ , matriks  $A_{k+1}$  menjadi matriks diagonal.

Masalahnya sekarang bagaimana mentransformasikan matriks  $A$  menjadi matriks diagonal  $A_{k+1}$ . Jacobi memperkenalkan cara untuk mentransformasikan tersebut yang sering disebut matriks rotasi. Matriks rotasi  $U_{k+1}$  adalah sebuah matriks diagonal yang diubah menjadi,

$$U_{k+1} = \begin{bmatrix} & i & j \\ 1 & 0 & 0 & - & 0 \\ 0 & \cos \alpha & -\sin \alpha & - & 0 \\ 0 & \sin \alpha & \cos \alpha & - & 0 \\ - & - & - & - & - \\ 0 & 0 & 0 & - & 0 \end{bmatrix} \quad (3.66)$$

Elemen-elemen untuk baris ke  $i$  dan  $j$  maupun kolom ke  $i$  dan  $j$  diganti dengan  $\cos \alpha$  dan  $\sin \alpha$  seperti pada persamaan berikut,

$$\begin{aligned} U_{ii} &= \cos \alpha & U_{ij} &= -\sin \alpha \\ U_{ji} &= \sin \alpha & U_{ji} &= \cos \alpha \end{aligned} \quad (3.67)$$

Sudut  $\alpha$  dicari dari persamaan,

$$\operatorname{tg} 2\alpha = 2 \frac{a_{ij}^{(k)}}{a_{ii}^{(k)} - a_{jj}^{(k)}} \quad (3.68)$$

Jadi dengan demikian dapat diperoleh elemen-elemen dari matriks  $U_{k+1}$  karena matriksnya dalam bentuk ortogonal sehingga  $U_{k+1}^{-1} = U_{k+1}^T$ . Dari sini dapat dihitung  $A_{k+1} = U_{k+1}^{-1} * A_k * U_{k+1}$  untuk  $k=0$

Untuk  $k$  besar matriks  $A_{k+1}$  akan berubah menjadi,

$$A_{k+1} = \begin{bmatrix} a_{11}^{(k)} & 0 & - & 0 \\ 0 & a_{22}^{(k)} & - & 0 \\ - & - & - & - \\ 0 & 0 & - & a_{nn}^{(k)} \end{bmatrix} \quad (3.69)$$

dimana harga-harga eigen dari matriks  $A_k$  atau  $A_{k+1}$  adalah,

$$\lambda_1 = a_{11}^{(k)}, \lambda_2 = a_{22}^{(k)}, \lambda_n = a_{nn}^{(k)} \quad (3.70)$$

Untuk lebih jelas mengenai metode Jacobi diambil contoh matrik di bawah ini,

$$A = \begin{bmatrix} 5 & 2 & 6 \\ 2 & 4 & 3 \\ 6 & 3 & 2 \end{bmatrix} \quad (3.71)$$

Pertama diusahakan untuk mengenolkan elemen yang bukan diagonal, misalnya  $a_{12}$  atau  $a_{21}$ . Dalam hal ini  $k=0$ ,  $i=1$  dan  $j=2$  maka diperoleh,

$$\alpha = \frac{1}{2} \operatorname{arctg} \frac{2 * a_{12}^{(0)}}{a_{11}^{(0)} - a_{22}^{(0)}} \quad (3.72)$$

$$\alpha = \frac{1}{2} \operatorname{arctg} \frac{2 * 2}{5 - 4} = 37,98$$

Setelah nilai  $\alpha$  diperoleh maka persamaan (3.67) yang merupakan elemen-elemen matriks  $U_{k+1}$  persamaan (3.66) adalah,

$$U_{11} = \cos \alpha = 0,7882 \quad U_{12} = -\sin \alpha = -0,6154 \quad (3.73)$$

$$U_{21} = \sin \alpha = 0,6154 \quad U_{22} = \cos \alpha = 0,7882$$

maka matriks persamaan (3.66) menjadi,

$$\begin{aligned} U_1 &= \begin{bmatrix} 0,7882 & -0,6154 & 0 \\ 0,6154 & 0,7882 & 0 \\ 0 & 0 & 1 \end{bmatrix} \\ U_1^{-1} = U_1^T &= \begin{bmatrix} 0,7882 & 0,6154 & 0 \\ -0,6154 & 0,7882 & 0 \\ 0 & 0 & 1 \end{bmatrix} \end{aligned} \quad (3.74)$$

Dengan diketahuinya nilai dari persamaan (3.71) dan persamaan (3.74) maka dari persamaan (3.65) diperoleh,

$$A_1 = \begin{bmatrix} 6,5614 & 0,0000 & 6,5754 \\ 0,0000 & 2,4384 & -1,3278 \\ 6,5754 & -1,3278 & 2,0000 \end{bmatrix} \quad (3.75)$$

Terlihat bahwa  $a_{12}$  dan  $a_{21}$  telah menjadi nol, selanjutnya kita mengenolkan elemen non diagonal yang lain, misalnya  $a_{13}$  kemudian langkah selanjutnya sama seperti pada saat mengenolkan  $a_{12}$  maka akan diperoleh,

$$A_2 = \begin{bmatrix} 11,2406 & -0,7648 & 0,0001 \\ 0,7648 & 2,4384 & -1,0819 \\ 0,0001 & -1,0819 & -2,6790 \end{bmatrix} \quad (3.76)$$

Terlihat bahwa  $a_{13}$  dan  $a_{31}$  telah mendekati nol maka selanjutnya mengenolkan  $a_{23}$ . Adapun langkahnya sama seperti pada saat mengenolkan  $a_{12}$  dan  $a_{13}$ , maka akan diperoleh,

$$A_3 = \begin{bmatrix} 11,2403 & -0,7544 & -0,1528 \\ 0,7544 & 2,6574 & 0,0000 \\ 0,1528 & 0,0000 & -2,8980 \end{bmatrix} \quad (3.77)$$

Sampai dengan tahap ini baru dilakukan satu kali putaran. Untuk putaran selanjutnya mengikuti prosedur yang dilakukan pada puratan pertama. Terlihat

bahwa elemen-elemen non diagonal makin mendekati nol. Proses ini dilanjutkan sampai matriks A berubah menjadi matriks diagonal. Dalam hal ini untuk 3 kali putaran diperoleh matriks diagonal A sebagai berikut,

$$A = \begin{bmatrix} 11,30 & 0,00 & 0,00 \\ 0,00 & 2,59 & 0,00 \\ 0,00 & 0,00 & -2,90 \end{bmatrix} \quad (3.78)$$

sehingga dapat disimpulkan,

$$\lambda_1 = 11,30 \quad \lambda_2 = 2,59 \quad \lambda_3 = -2,90$$

Pembahasan di atas tampak bahwa metode Jacobi membutuhkan ketelitian dalam setiap rotasi/putaran, sebab hasil matriks putaran sebelumnya mempengaruhi nilai matriks selanjutnya.

### 3.7.4 Metode Gauss Jordan

Metode eliminasi Gauss mempergunakan operasi baris elementer untuk menghapus semua elemen-elemen matriks yang berada di sebelah kiri diagonal utama matriks  $A(n \times n)$ . Dalam pelaksanaan metode Gauss Jordan, matriks  $A(n \times n)$  terlebih dahulu dijadikan  $A(n \times n+1)$  karena vektor pada kolom  $\Delta\dot{P}_i$  diletakkan di dalam kolom  $n+1$ .

Secara simbolis, metode Gauss Jordan dapat diterangkan sebagai berikut. Misalnya suatu persamaan linier simultan ditulis dalam bentuk persamaan matriks sebagai berikut:

$$\begin{bmatrix} a_{11} & a_{12} & a_{13} \\ a_{21} & a_{22} & a_{23} \\ a_{31} & a_{32} & a_{33} \end{bmatrix} \begin{Bmatrix} \Delta y_1 \\ \Delta y_2 \\ \Delta y_3 \end{Bmatrix} = \begin{Bmatrix} \Delta \dot{P}_1 \\ \Delta \dot{P}_2 \\ \Delta \dot{P}_3 \end{Bmatrix} \quad (3.79)$$

Untuk mencari harga-harga  $\Delta y_1$ ,  $\Delta y_2$ ,  $\Delta y_3$  maka langkah-langkah yang harus dilakukan adalah menggabungkan matriks A dan vektor  $\Delta \dot{P}_i$  sehingga matriks  $A(n \times n)$  menjadi  $A(n \times n+1)$ .

$$\begin{bmatrix} a_{11} & a_{12} & a_{13} & \Delta \dot{P}_1 \\ a_{21} & a_{22} & a_{23} & \Delta \dot{P}_2 \\ a_{31} & a_{32} & a_{33} & \Delta \dot{P}_3 \end{bmatrix} = \begin{bmatrix} a_{11} & a_{12} & a_{13} & a_{14} \\ a_{21} & a_{22} & a_{23} & a_{24} \\ a_{31} & a_{32} & a_{33} & a_{34} \end{bmatrix} \quad (3.80)$$

selanjutnya nilai matriks tersebut diubah menjadi

$$\begin{bmatrix} 1 & b_{12} & b_{13} & b_{14} \\ 0 & b_{22} & b_{23} & b_{24} \\ 0 & b_{32} & b_{33} & b_{34} \end{bmatrix} \text{ kemudian menjadi } \begin{bmatrix} 1 & 0 & c_{13} & c_{14} \\ 0 & 1 & c_{23} & c_{24} \\ 0 & 0 & c_{33} & c_{34} \end{bmatrix} \quad (3.81)$$

yang akhirnya menjadi

$$\begin{bmatrix} 1 & 0 & 0 & d_{14} \\ 0 & 1 & 0 & d_{24} \\ 0 & 0 & 1 & d_{34} \end{bmatrix} \quad (3.82)$$

maka akan diperoleh nilai-nilai  $\Delta y_1 = d_{14}$ ,  $\Delta y_2 = d_{24}$  dan  $\Delta y_3 = d_{34}$

### 3.8 Metode $\beta$ -Newmark

Metode  $\beta$ -Newmark dapat dipakai untuk menyelesaikan integrasi persamaan diferensial *coupled* struktur MDOF secara langsung. Metode  $\beta$ -Newmark yang dimaksud misalnya adalah metode yang berdasarkan pada incremental method, sedangkan untuk struktur yang berperilaku linear inelastik maupun non linear inelastik maka perlu dikembangkan model integrasi yang dapat mensimulasikan perubahan kekakuan menurut fungsi dan waktu.

Persamaan differensial yang berlaku saat interval yang ditinjau pada metode  $\beta$ -Newmark adalah

$$m \Delta \ddot{y}_i + c \Delta \dot{y}_i + k \Delta y_i = \Delta P_i \quad (3.83)$$

Apabila beban dinamik yang dipakai adalah beban gempa maka untuk struktur MDOF persamaan differensialnya adalah

$$[M] \Delta \ddot{y}_i + [C] \Delta \dot{y}_i + [K] \Delta y_i = \{M\} \Delta \ddot{y}_{b,i} \quad (3.84)$$

Pada metode  $\beta$ -Newmark memakai perjanjian notasi untuk perubahan simpangan  $\Delta y$ , perubahan kecepatan  $\Delta \dot{y}$  dan perubahan percepatan  $\Delta \ddot{y}$  adalah

$$\Delta y = y_{i+1} - y_i, \Delta \dot{y} = \dot{y}_{i+1} - \dot{y}_i, \Delta \ddot{y} = \ddot{y}_{i+1} - \ddot{y}_i \quad (3.85)$$

Sedangkan perubahan intensitas pembebahan pada interval yang ditinjau adalah

$$\Delta P_i = \Delta P_{i+1} - P_i \quad (3.86)$$

Untuk struktur MDOF akibat gempa bumi maka persamaan differensial yang digunakan

$$\Delta P_i = \{M\} (\ddot{y}_{b,i+1} - y_{b,i}) \quad (3.87)$$

Untuk memulai integrasi numerik tersebut digunakan persamaan

$$\Delta \ddot{y}_i = \frac{1}{\beta(\Delta t)^2} \Delta y_i - \frac{1}{\beta(\Delta t)} \dot{y}_i - \frac{1}{2\beta} \ddot{y}_i \quad (3.88)$$

dengan  $\Delta \ddot{y}_i$  adalah perubahan percepatan pada langkah ke-i, sedangkan perubahan kecepatan pada langkah yang sama  $\Delta \dot{y}_i$  adalah

$$\Delta \dot{y}_i = \frac{\gamma}{\beta(\Delta t)} \Delta y_i - \frac{\gamma}{\beta} \dot{y}_i + (\Delta t) \left( 1 - \frac{1}{2\beta} \right) \ddot{y}_i \quad (3.89)$$

Kemudian untuk perubahan simpangan dapat dicari dengan persamaan

$$\Delta y = \frac{\Delta \hat{P}_i}{k} \quad (3.90)$$

yang mana

$$k = \left\{ K + \frac{\gamma}{\beta(\Delta t)} C + \frac{1}{\beta(\Delta t)^2} M \right\} \quad (3.91)$$

$$\Delta \hat{P}_i = (P_{i+1} - P_i) + a \dot{y}_i + b \ddot{y}_i \quad (3.92)$$

Sedangkan untuk struktur MDOF akibat beban gempa bumi maka persamaan (3.88) akan menjadi

$$\Delta \hat{P}_i = \{M\}(\ddot{y}_{b,i+1} - \ddot{y}_{b,i}) + a \dot{y}_i + b \ddot{y}_i \quad (3.93)$$

dimana nilai a dan b pada persamaan diatas adalah

$$a = \left\{ \frac{1}{\beta(\Delta t)} m + \frac{\gamma}{\beta} c \right\} \quad b = \left\{ \frac{1}{2\beta} m + \Delta t \left( \frac{\gamma}{2\beta} - 1 \right) c \right\} \quad (3.94)$$

Pada metode  $\beta$ -Newmark terdapat perbedaan nilai koefisien berdasarkan metode yang digunakan, yaitu :

1. Metode percepatan rata-rata, dengan nilai koefisien  $\gamma = \frac{1}{2}$  dan

$$\beta = \frac{1}{4}.$$

2. Metode percepatan linier, dengan nilai koefisien  $\gamma = \frac{1}{2}$  dan  $\beta = \frac{1}{6}$ .

Selanjutnya simpangan, kecepatan, dan percepatan pada akhir interval adalah

$$y_{i+1} = y_i + \Delta y_i$$

$$\dot{y}_{i+1} = \dot{y}_i + \Delta \dot{y}_i$$

$$\ddot{y}_{i+1} = \ddot{y}_i + \Delta \ddot{y}_i \quad (3.95)$$

Tahap-tahapan integrasi numerik berdasarkan interval waktu pada metode  $\beta$ -Newmark adalah sebagai berikut:

1. Nilai matriks  $k$ ,  $m$ ,  $\xi$  dan  $dt$  diketahui terlebih dahulu.
2. Disusun matriks  $[M]$ , matriks redaman  $[C]$  dan matriks kekakuan
3. Dihitung nilai  $k$  pada persamaan (3.91) nilai  $a$  dan  $b$  pada persamaan (3.94)
4. Dihitung nilai  $\Delta P_i$  pada persamaan (3.87),  $\Delta \hat{P}_i$  pada persamaan (3.93),  $\Delta y_i$  pada persamaan (3.90),  $\Delta \dot{y}_i$  pada persamaan (3.89) dan  $\Delta \ddot{y}_i$  pada persamaan (3.88).
5. Dihitung nilai simpangan, kecepatan dan percepatan struktur pada akhir interval menurut persamaan (3.95).
6. Untuk hitungan selanjutnya kembali kelangkah ke-4.

## **BAB IV**

### **METODE PENELITIAN**

Metode penelitian adalah tata cara pelaksanaan penelitian dalam rangka mencari jawaban atas permasalahan yang diuraikan menurut suatu urutan yang sistematis. Metode yang digunakan dalam penelitian tugas akhir ini meliputi penggunaan data yang diperlukan dan analisis pengolahan data. Dalam tugas akhir ini dibuat program komputer dengan menggunakan Microsoft Visual Basic 6, untuk mempermudah perhitungan struktur yang digunakan sebagai obyek.

#### **4.1 Pengumpulan Data**

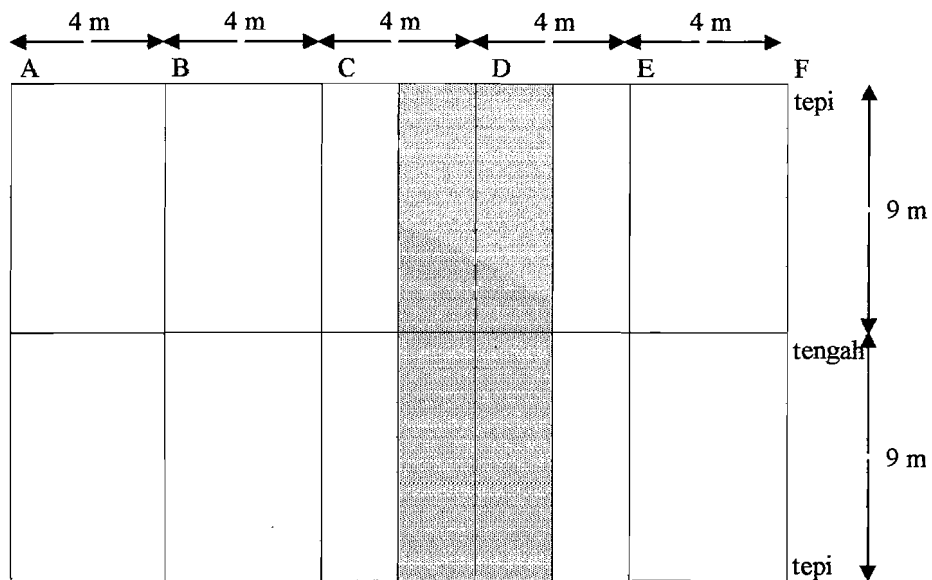
Pada tugas akhir ini data-data yang diperlukan meliputi data struktur dan data beban gempa. Data struktur diambil dari suatu model struktur shear building 12 tingkat, sedangkan data beban gempa diambil rekaman percepatan tanah akibat gempa yang berupa riwayat waktu percepatan tanah. Secara rinci data-data yang dipergunakan adalah sebagai berikut.

##### **4.1.1 Data Struktur**

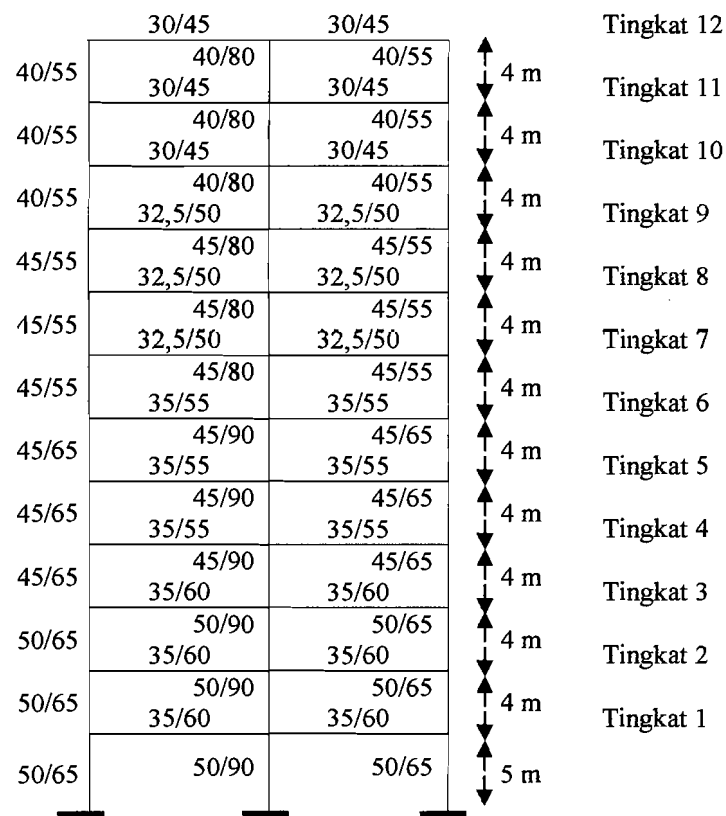
Struktur yang ditinjau merupakan suatu model *shear building* 12 tingkat dari struktur beton bertulang. Struktur diasumsikan sebagai bangunan untuk perkantoran dengan dimensi kolom dan dimensi balok ditentukan secara langsung, secara lengkap dapat dilihat pada Gambar 4.1 dan 4.2.



Data struktur diambil dari tugas akhir Utama Sahala K. S



**Gambar 4.1** Denah model struktur 12 tingkat



**Gambar 4.2** Potongan portal D struktur 12 tingkat

Dimensi kolom yang digunakan dalam model struktur ditentukan secara langsung, lebih lengkapnya seperti tersaji pada Tabel 4.1

**Tabel 4.1** Data dimensi kolom struktur 12 tingkat

| No. | Kolom          | Dimensi (cm) |
|-----|----------------|--------------|
| 1   | tp. 1, 2, 3    | 50/65        |
| 2   | tp. 4, 5, 6    | 45/65        |
| 3   | tp. 7, 8, 9    | 45/55        |
| 4   | tp. 10, 11, 12 | 40/55        |
| 5   | tg. 1, 2, 3    | 50/90        |
| 6   | tg. 4, 5, 6    | 45/90        |
| 7   | tg. 7, 8, 9    | 45/80        |
| 8   | tg. 10, 11, 12 | 40/80        |

Dimensi balok yang digunakan dalam model struktur ditentukan secara langsung, lebih lengkapnya seperti tersaji pada Tabel 4.2

**Tabel 4.2** Data dimensi balok struktur 12 tingkat

| No. | Balok      | Dimensi (cm) |
|-----|------------|--------------|
| 1   | 1, 2, 3    | 35/60        |
| 2   | 4, 5, 6    | 35/55        |
| 3   | 7, 8, 9    | 32,5/50      |
| 4   | 10, 11, 12 | 30/45        |

#### 4.1.2 Data Beban Gempa dan Kandungan Frekuensi Beban Gempa

Beban gempa yang digunakan pada tugas akhir ini diambil dari beban gempa yang telah ada sebagaimana terdapat dalam lampiran. Pembebanan dilakukan pada batas *code level limit state* dengan percepatan tanah maksimum sebesar  $70,4 \text{ cm/dt}^2$  yang merupakan batas dalam perencanaan struktur dimana bangunan masih dalam batas elastik murni.

Data kandungan frekuensi beban gempa (A/V rasio) merupakan perbandingan antara percepatan maksimum (Amaks) dengan kecepatan maksimum (Vmaks) gerakan tanah akibat gempa.

Percepatan tanah maksimum langsung didapat dari data percepatan tanah akibat gempa, sedangkan kecepatan tanah maksimum sebagian didapat langsung dari data kecepatan tanah akibat gempa dan sebagian didapat dengan cara mengintegralkan data percepatan tanah. A/V rasio merupakan harga pendekatan karena besarnya kemungkinan kesalahan dalam integrasi sehingga hasil akhir dari penelitian ini tidak memberikan harga mutlak, tetapi kecenderungan dalam batas yang dapat diterima.

Data kandungan frekuensi beban gempa (A/V rasio) dikelompokan ke dalam tiga kelompok yaitu, kandungan frekuensi rendah, sedang dan tinggi. Selanjutnya data gempa yang digunakan dalam penelitian secara keseluruhan disajikan pada Tabel 4.3.

**Tabel 4.3** Data kandungan frekuensi beban gempa (A/V rasio)

| No. | Beban Gempa    | A maks<br>(cm/dt <sup>2</sup> ) | V maks<br>(cm/dt) | A/V Rasio<br>(g/m/dt) | Keterangan |
|-----|----------------|---------------------------------|-------------------|-----------------------|------------|
| 1.  | Bucharest      | 225,4                           | 75,1              | 0,30595               | Dari data  |
| 2.  | Tlahuac Bombas | 130,4625                        | 40,2011           | 0,33081               | Dari data  |
| 3.  | Ulcinj         | 258,5                           | 34,0712           | 0,7734                | Dari data  |
| 4.  | Miyagi         | 202,6549                        | 26,559            | 0,8605                | Dari data  |
| 5.  | Bar Montenegro | 371,1                           | 42,93             | 0,86443               | Dari data  |
| 6.  | Coalinga       | 440,56                          | 49,96             | 0,88182               | Dari data  |
| 7.  | Petrovac       | 441,7                           | 40,402            | 1,09876               | Dari data  |
| 8.  | Elcentro       | 342,02                          | 33,4              | 1,04385               | Dari data  |
| 9.  | Parkfield      | 407,4                           | 42,6573           | 1,1241                | Dari data  |
| 10. | Corint         | 281,4                           | 25,10723          | 1,1425                | Dari data  |
| 11. | Coralitos      | 436,1                           | 38,44726          | 1,15625               | Dari data  |
| 12. | Gilroy         | 401,8                           | 20,56445          | 1,9917                | Dari data  |
| 13. | St. Cruz       | 392                             | 15,26268          | 2,6181                | Dari data  |
| 14. | Koyna India    | 548,79                          | 16,13209          | 3,46774               | Dari data  |

## 4.2 Tahapan Analisa

Tahapan analisa meliputi langkah-langkah sebagai berikut :

1. Menghitung massa balok dengan prinsip “*lump mass*”
2. Menghitung nilai inersia (I)
3. Menghitung nilai kekakuan (K)
4. Menghitung frekuensi sudut ( $\omega$ )
5. Menghitung matrik redaman (C)
6. Menghitung konstanta-konstanta a, b, k

7. Menghitung gaya efektif ( $P_t$ )
8. Menghitung  $\Delta p$ ,  $\Delta y$ ,  $\Delta \dot{y}$ ,  $\Delta \ddot{y}$ ,  $\Delta \theta$ ,  $\Delta \dot{\theta}$ ,  $\Delta \ddot{\theta}$
9. Menghitung  $y$ ,  $\dot{y}$ ,  $\ddot{y}$ ,  $\theta$
10. Menghitung simpangan rotasi
11. Menghitung simpangan total
12. Menghitung simpangan antar tingkat (*interstorey drift*)
13. Menghitung gaya horisontal tingkat
14. Menghitung gaya geser tingkat
15. Menghitung momen guling.

Pengolahan data dilakukan dengan menggunakan komputer PROGSIP 2002 yang dibuat dengan software Microsoft Visual Basic 6 untuk mempermudah dan mempercepat analisa perhitungan dan selanjutnya output dari program tersebut diplotkan ke Microsoft Excel untuk menampilkan grafik secara teliti.

#### **4.3 Pengujian**

Pengujian yang dilakukan pada tugas akhir ini mencakup pengaruh beberapa macam beban gempa yang berupa riwayat waktu, terhadap respon struktur dengan parameter nilai simpangan, rotasi pondasi, simpangan antar tingkat, gaya horisontal tingkat, gaya geser tingkat serta momen guling yang terjadi. Pada pengujian ini beban gempa digunakan pada kondisi *code level* dengan interval waktu 0,01 detik selama beban gempa berlangsung. Struktur mempunyai rasio redaman sebesar 5%.

## **BAB V**

### **ANALISIS DAN PEMBAHASAN**

#### **5.1 Pendahuluan**

Perhitungan dinamik menggunakan fasilitas yang tersedia pada program PROGSIP 2002 yang dibuat dengan bahasa Microsoft Visual Basic 6, dengan cara mengaplikasikan tahapan hitungan manual. Input dalam analisa adalah berupa massa, kekakuan, selang waktu (detik), waktu maksimum, jumlah tingkat, tinggi tingkat dan data percepatan tanah. Perhitungan analisa dinamik meliputi perhitungan simpangan, kecepatan, percepatan, rotasi pondasi, simpangan rotasi, simpangan total, simpangan antar tingkat (*interstorey drift*), gaya horizontal tingkat, gaya geser tingkat dan momen guling yang semuanya merupakan respon struktur akibat beban dinamik berupa percepatan tanah.

## 5.2 Pembebanan Struktur

Diambil dari data struktur tugas akhir Utama Sahala K. S

**Tabel 5.1** Hasil perhitungan beban pada struktur 12 tingkat

| No. | Lantai | Beban tiap lantai (kg) |
|-----|--------|------------------------|
| 1.  | 1,2    | 87648                  |
| 2.  | 3      | 86904                  |
| 3.  | 4, 5   | 84900                  |
| 4.  | 6      | 84036                  |
| 5.  | 7, 8   | 81228                  |
| 6.  | 9      | 80580                  |
| 7.  | 10, 11 | 78168                  |
| 8.  | 12     | 48480                  |

## 5.3 Perhitungan Massa dan Kekakuan

Anggapan yang dipakai dalam analisa ini adalah *lumped mass* dan prinsip *shear building*, sehingga massa dihitung pada tiap tingkat dan menggumpal di tengah bentang. Kekakuan dihitung secara paralel dimana besarnya kekakuan tiap lantai merupakan jumlah dari kekakuan tiap kolomnya.

Massa tingkat dihitung dengan rumus pada persamaan (3.11) dimana massa adalah berat dibagi gravitasi. Dalam perhitungan ini percepatan gravitasi diambil sebesar  $9.80 \text{ m/dt}^2$ .

Dari rumus tersebut maka hasil perhitungan massa tiap lantai dapat dilihat pada Tabel 5.2.

**Tabel 5.2** Hasil perhitungan massa struktur 12 tingkat

| No. | Lantai | Massa (kg.dt <sup>2</sup> /m) |
|-----|--------|-------------------------------|
| 1.  | 1, 2   | 8943,67347                    |
| 2.  | 3      | 8867,75510                    |
| 3.  | 4, 5   | 8663,26531                    |
| 4.  | 6      | 8575,10204                    |
| 5.  | 7, 8   | 8288,57143                    |
| 6.  | 9      | 8222,44898                    |
| 7.  | 10, 11 | 7976,32653                    |
| 8.  | 12     | 4946,93878                    |

Perhitungan kekakuan menggunakan prinsip *shear building* dimana kekakuan kolom tidak dipengaruhi oleh balok yang menghubungkan kolom-kolom yang ada. Kekakuan tiap kolom dapat dihitung dengan rumus pada persamaan (3.12).

Dengan melihat data struktur maka kekakuan dihitung secara paralel yaitu kekakuan tiap lantai merupakan jumlah dari kekakuan kolom. Dari rumus pada persamaan (3.12) maka kekakuan tingkat satu dapat dihitung menggunakan persamaan (3.15).

$$K_{tp} = 2E+09 * 0,50 * 0,65^3 / 5^3 = 2197000 \text{ kg/m}$$

$$K_{tg} = 2E+09 * 0,50 * 0,90^3 / 5^3 = 5832000 \text{ kg/m}$$

$$k_{tot} = 2 * 2197000 + 5832000 = 10226000 \text{ kg/m}$$

Selanjutnya hasil perhitungan tiap tingkat disajikan dalam bentuk Tabel 5.3.

**Tabel 5.3** Hasil perhitungan kekakuan struktur 12 tingkat

| No. | Lantai     | Kekakuan (kg/m) |
|-----|------------|-----------------|
| 1.  | 1          | 10226000,00000  |
| 2.  | 2, 3       | 19972656,25000  |
| 3.  | 4, 5, 6    | 17975390,62500  |
| 4.  | 7, 8, 9    | 11879296,87500  |
| 5.  | 10, 11, 12 | 10559375,00000  |

#### 5.4 Analisis Respon Struktur Akibat Beban Gempa

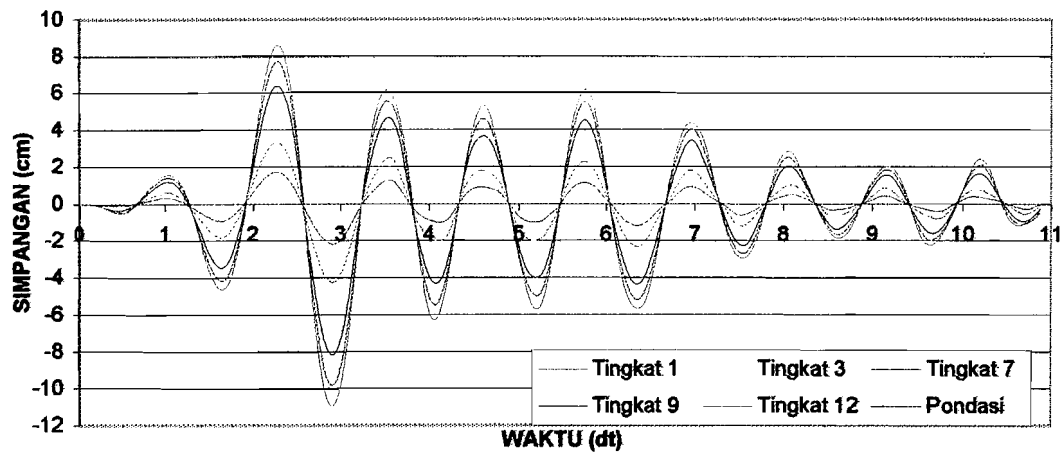
Analisis respon struktur akibat beban gempa merupakan plot grafik nilai-nilai yang dihasilkan oleh program Progsip 2002 selama waktu terjadinya gempa. Data gempa yang digunakan pada analisis adalah gempa Bucharest mewakili jenis gempa dengan frekuensi rendah, gempa Elcentro mewakili jenis gempa frekuensi sedang dan gempa Koyna mewakili jenis gempa frekuensi tinggi.

Analisis meliputi Simpangan Netto, Rotasi Pondasi, Simpangan Rotasi, Simpangan Total, Simpangan Antar Tingkat (*Interstorey Drift*), Gaya Horisontal Tingkat, Gaya Geser Tingkat dan Moment Guling pada struktur 12 tingkat dengan mengkombinasikan kekakuan horisontal tanah (kh) dan kekakuan putar tanah (kr). Adapun nilai-nilai kh dan kr yang dikombinasikan adalah sebagai berikut :

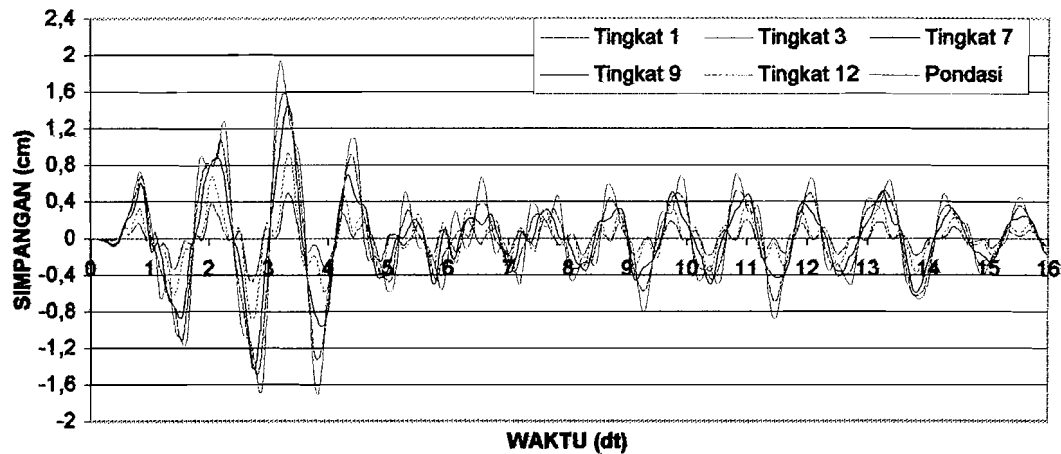
1. kh = 2E+15, kr = 4E+15
2. kh = 2E+07, kr = 4E+08
3. kh = 2E+07, kr = 2E+08
4. kh = 1E+07, kr = 4E+08

#### **5.4.1 Perhitungan Simpangan Netto**

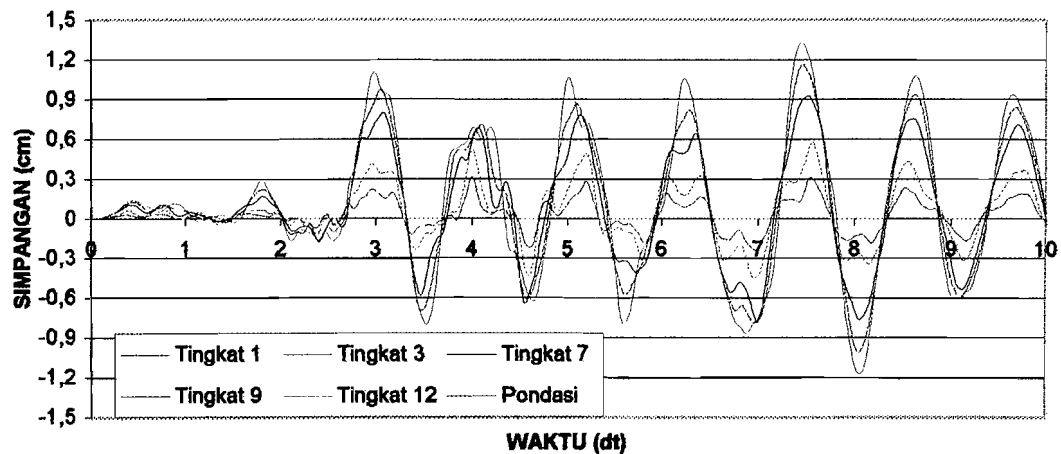
Simpangan netto merupakan simpangan bersih struktur akibat beban gempa. Hasil analisis ditampilkan dalam bentuk grafik antara simpangan struktur lawan waktu, dapat dilihat pada gambar berikut :



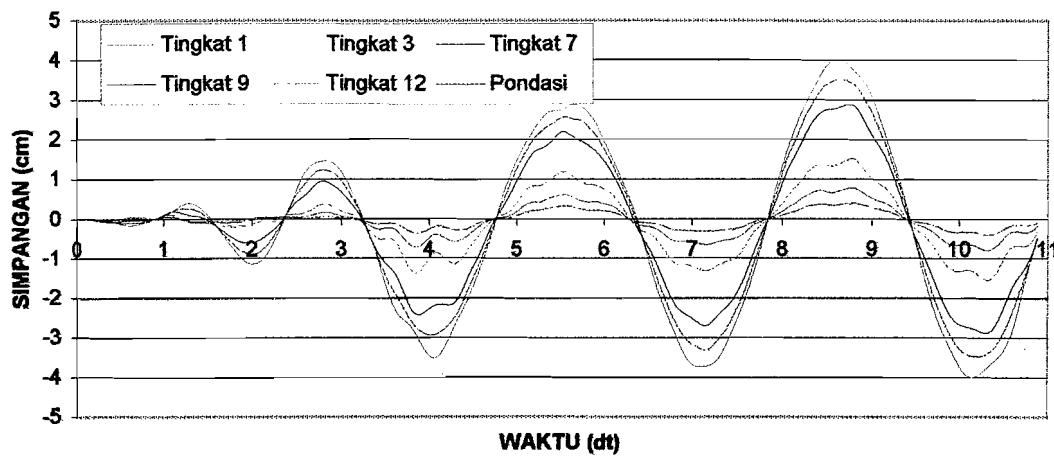
**Gambar 5.1 Simpangan netto struktur 12 tk akibat gempa Bucharest**  
 $kh=2E+15$ ,  $kr=4E+15$



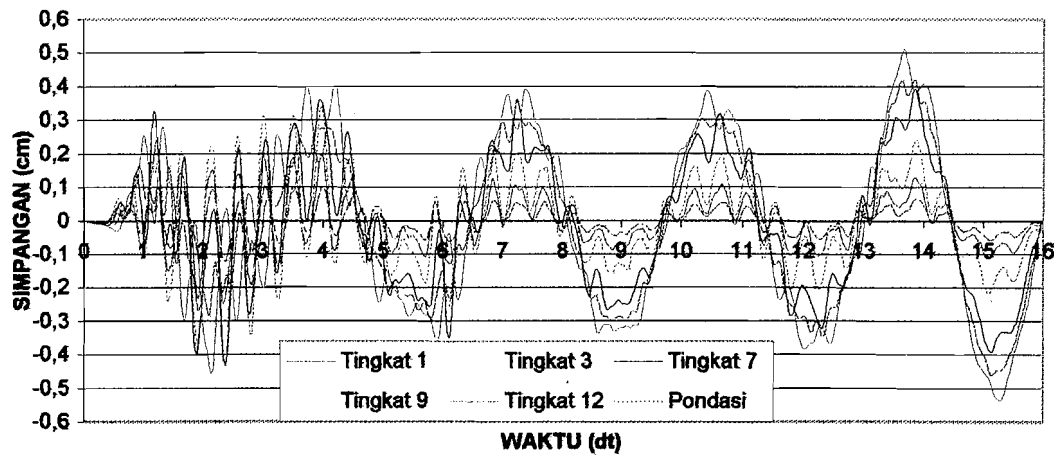
**Gambar 5.2 Simpangan netto struktur 12 tk akibat gempa Elcentro**  
 $kh=2E+15$ ,  $kr=4E+15$



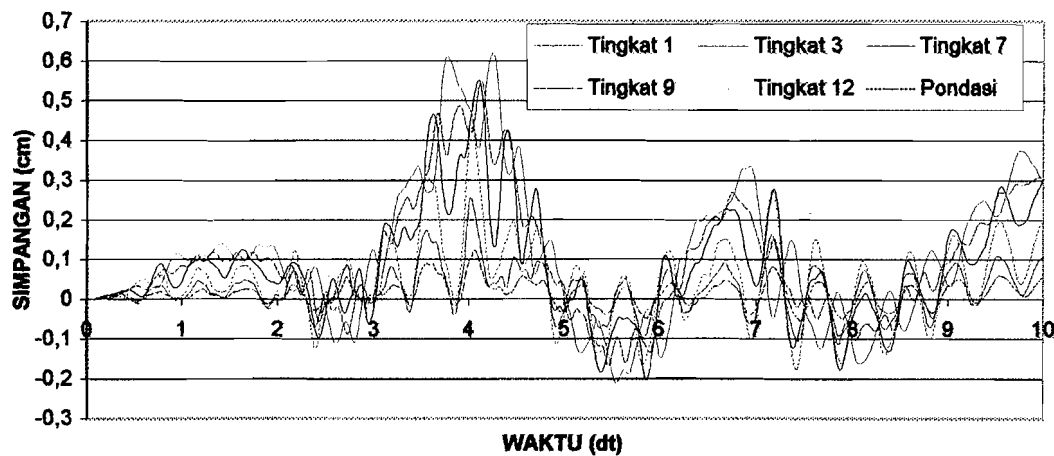
**Gambar 5.3 Simpangan netto struktur 12 tk akibat gempa Koyna**  
 $kh=2E+15$ ,  $kr=4E+15$



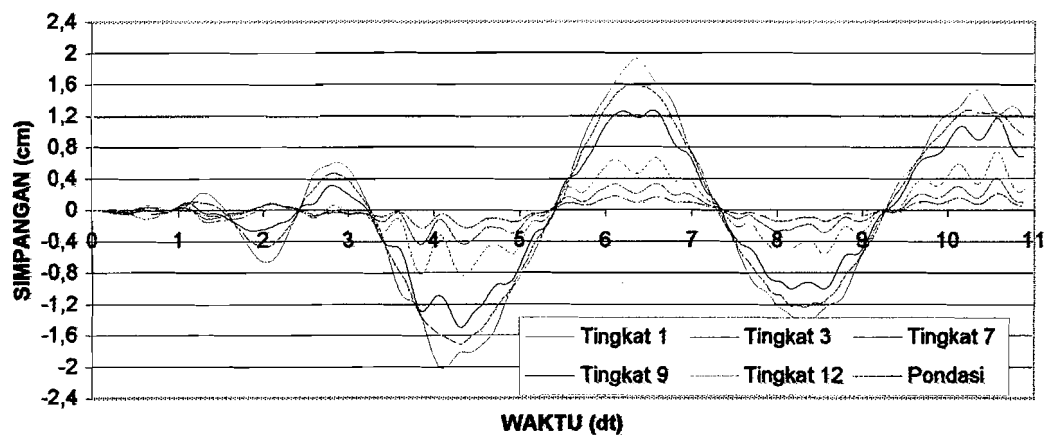
**Gambar 5.4** Simpangan netto struktur 12 tk akibat gempa Bucharest  
 $kh=2E+07$ ,  $kr=4E+08$



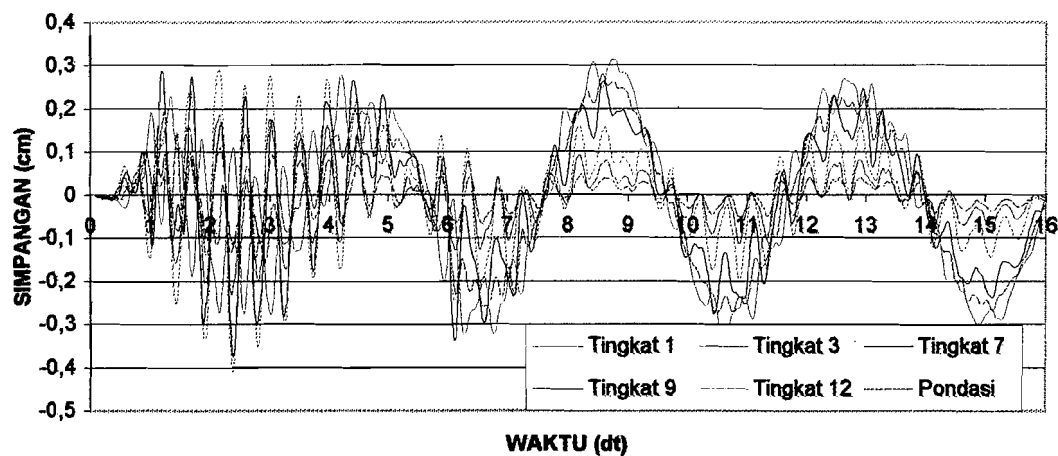
**Gambar 5.5** Simpangan netto struktur 12 tk akibat gempa Elcentro  
 $kh=2E+07$ ,  $kr=4E+08$



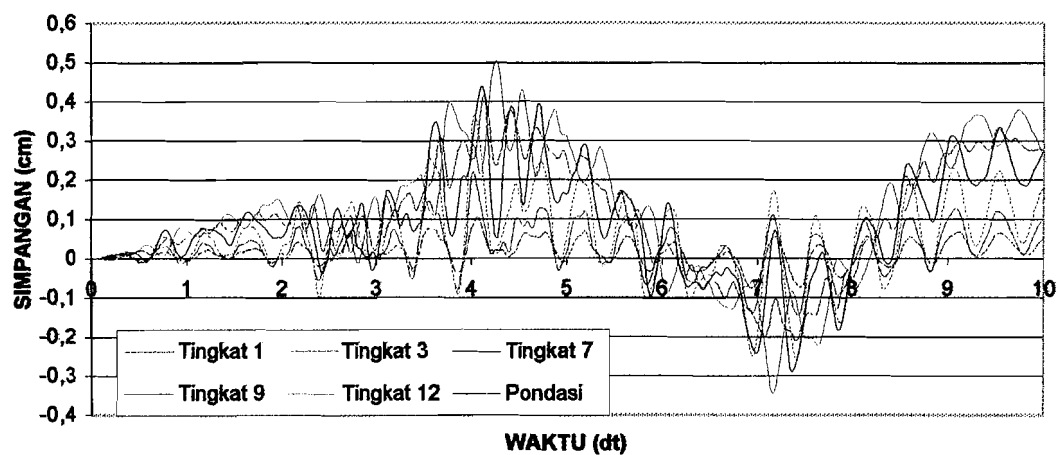
**Gambar 5.6** Simpangan netto struktur 12 tk akibat gempa Koyna  
 $kh=2E+07$ ,  $kr=4E+08$



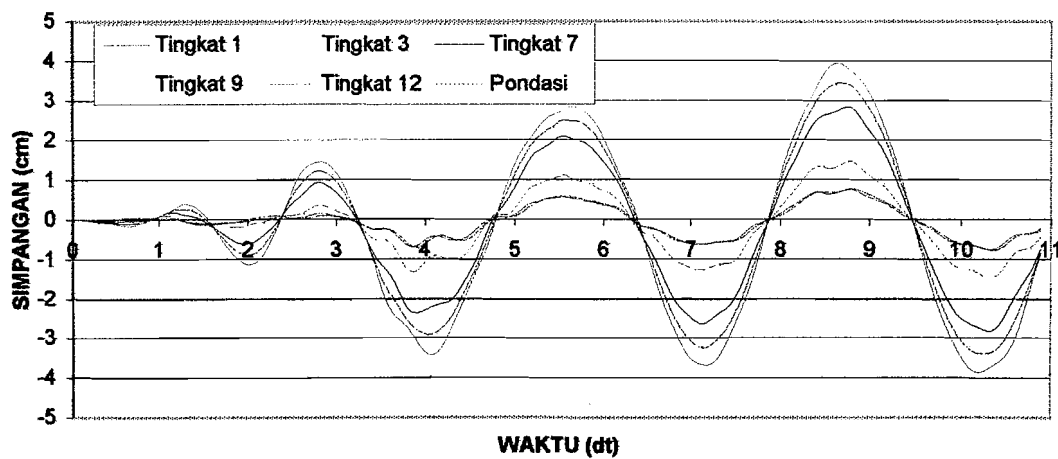
**Gambar 5.7 Simpangan netto struktur 12 tk akibat gempa Bucharest**  
 $kh=2E+07$ ,  $kr=2E+08$



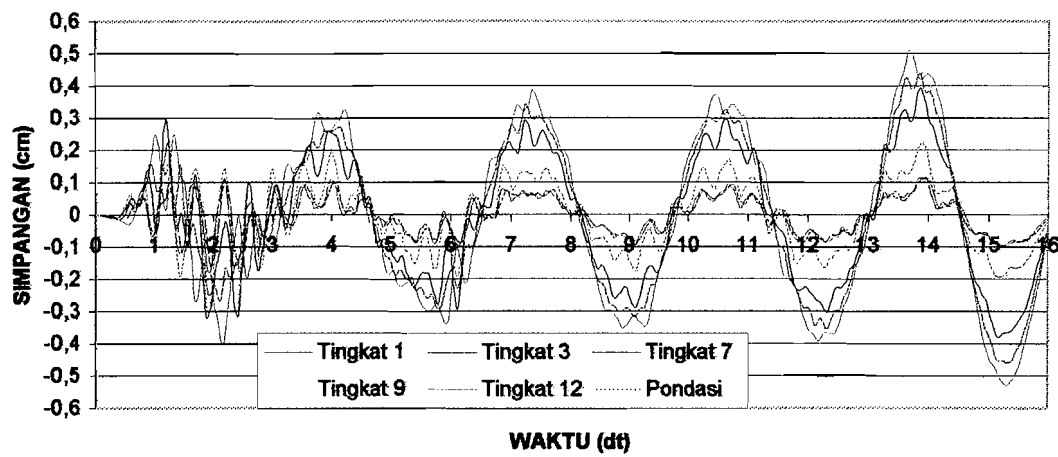
**Gambar 5.8 Simpangan netto struktur 12 tk akibat gempa Elcentro**  
 $kh=2E+07$ ,  $kr=2E+08$



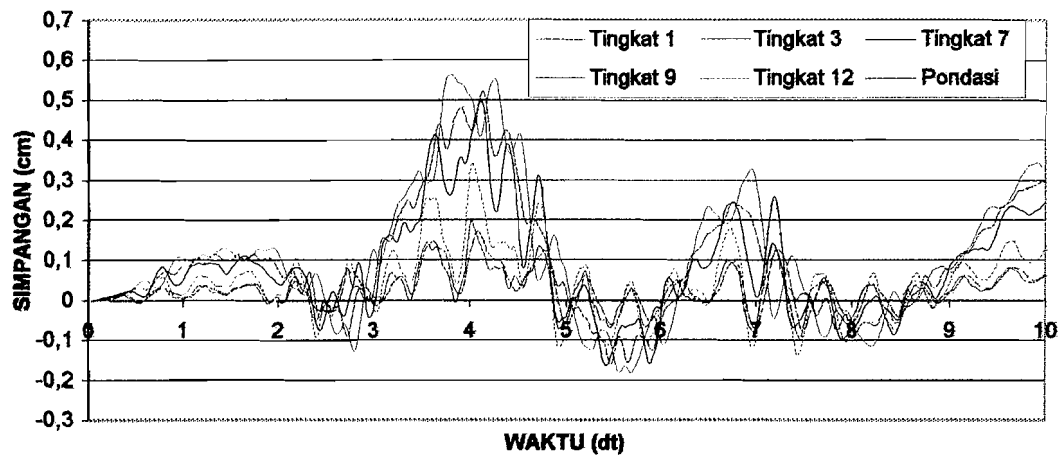
**Gambar 5.9 Simpangan netto struktur 12 tk akibat gempa Koyna**  
 $kh=2E+07$ ,  $kr=2E+08$



**Gambar 5.10** Simpangan netto struktur 12 tk akibat gempa Bucharest  
 $kh=1E+07$ ,  $kr=4E+08$



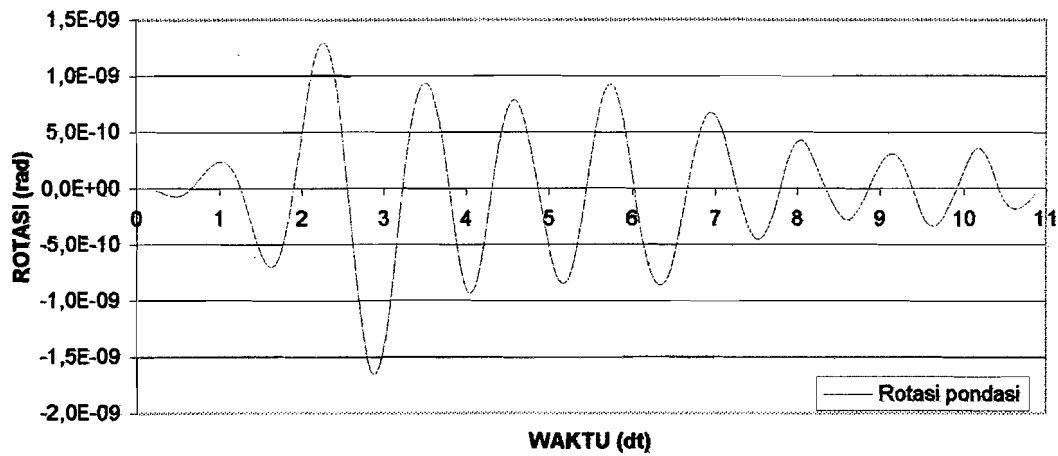
**Gambar 5.11** Simpangan netto struktur 12 tk akibat gempa Elcentro  
 $kh=1E+07$ ,  $kr=4E+08$



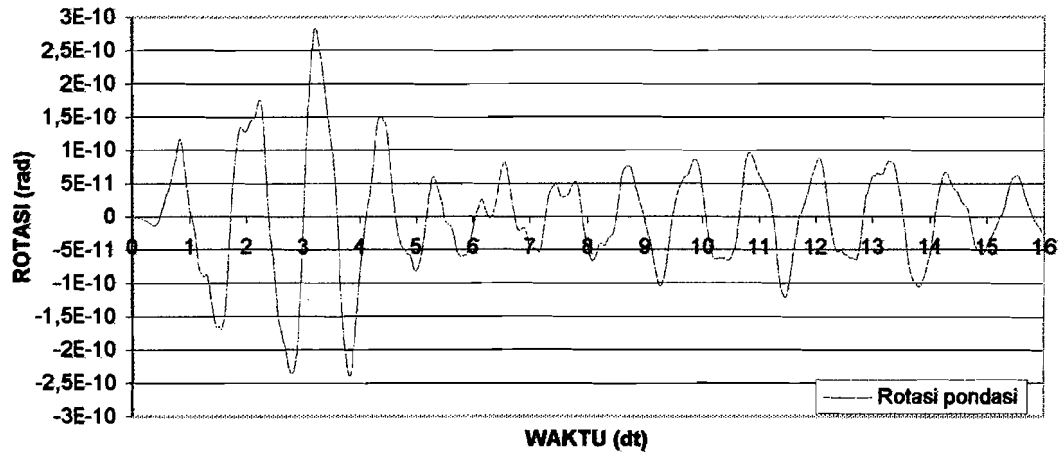
**Gambar 5.12** Simpangan netto struktur 12 tk akibat gempa Koyna  
 $kh=1E+07$ ,  $kr=4E+08$

#### **5.4.2 Perhitungan Rotasi Pondasi**

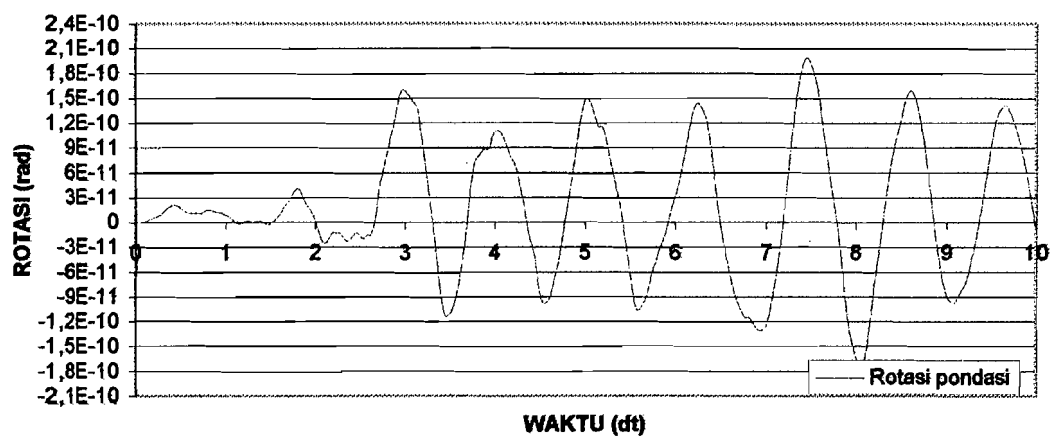
Rotasi pondasi adalah nilai sudut yang terjadi pada pondasi yang dipengaruhi oleh kekakuan horisontal tanah  $k_h$ , dan kekakuan putar tanah  $k_r$ . Hasil analisis ditampilkan dalam bentuk grafik antara nilai sudut rotasi lawan waktu, dapat dilihat pada gambar berikut :



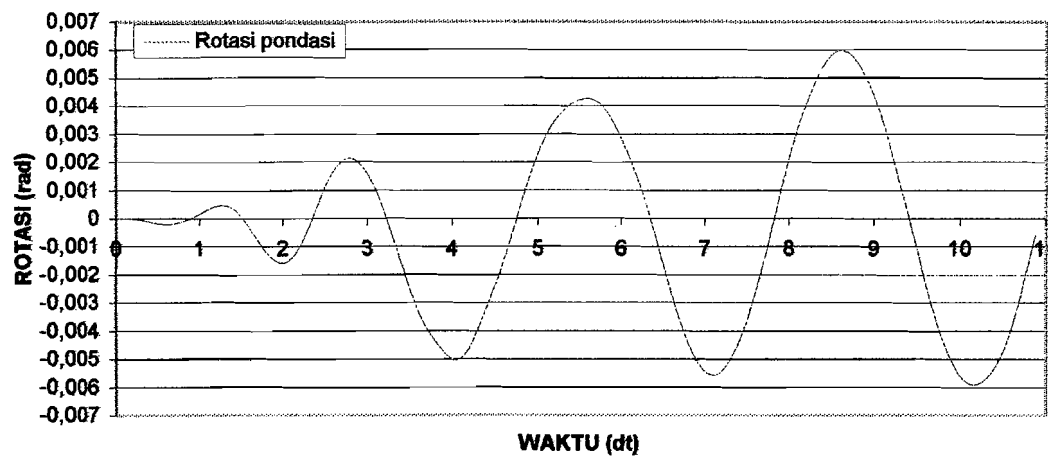
**Gambar 5.13** Rotasi pondasi struktur 12 tk akibat gempa Bucharest  
 $kh=2E+15$ ,  $kr=4E+15$



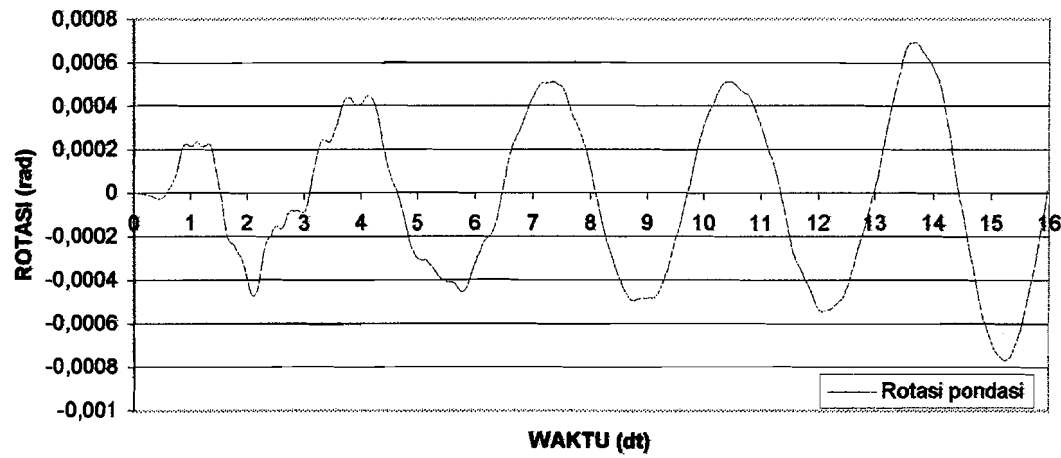
**Gambar 5.14** Rotasi pondasi struktur 12 tk akibat gempa Elcentro  
 $kh=2E+15$ ,  $kr=4E+15$



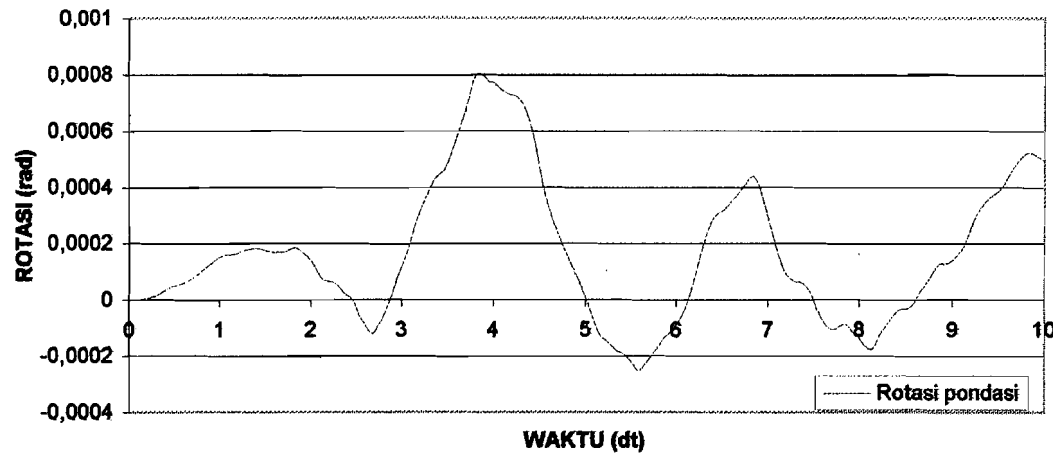
**Gambar 5.15** Rotasi pondasi struktur 12 tk akibat gempa Koyna  
 $kh=2E+15$ ,  $kr=4E+15$



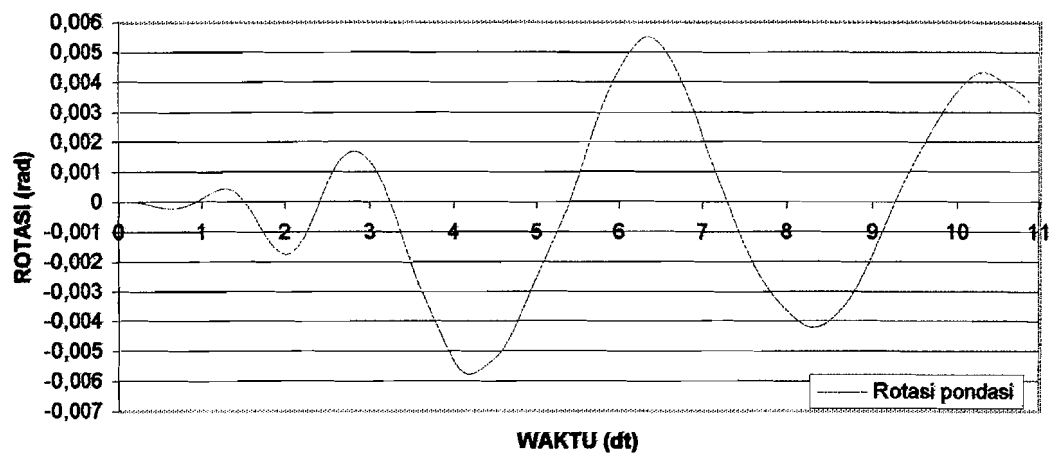
**Gambar 5.16** Rotasi pondasi struktur 12 tk akibat gempa Bucharest  
 $kh=2E+07$ ,  $kr=4E+08$



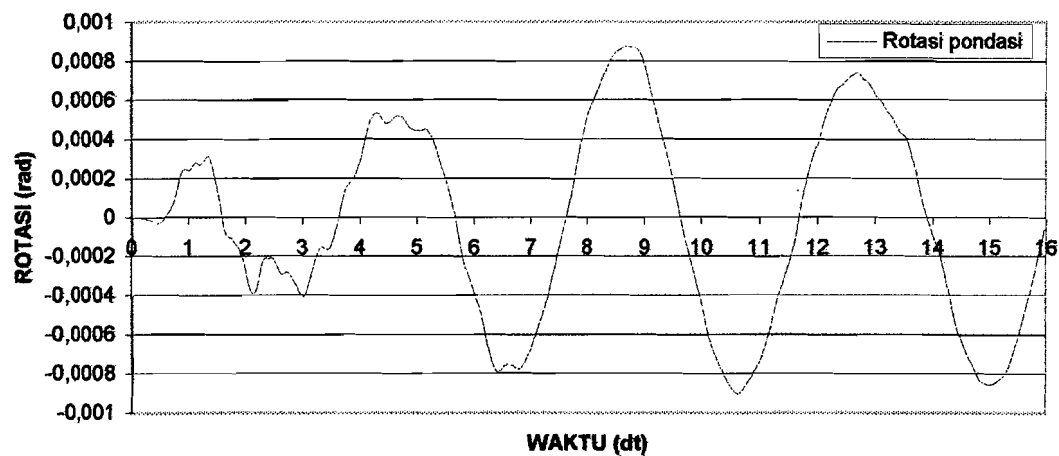
**Gambar 5.17** Rotasi pondasi struktur 12 tk akibat gempa Elcentro  
 $kh=2E+07$ ,  $kr=4E+08$



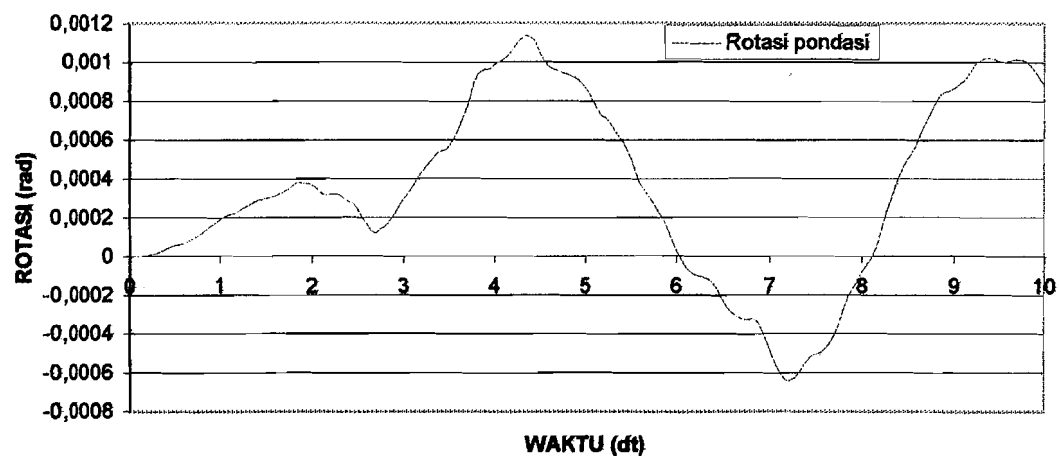
**Gambar 5.18** Rotasi pondasi struktur 12 tk akibat gempa Koyna  
 $kh=2E+07$ ,  $kr=4E+08$



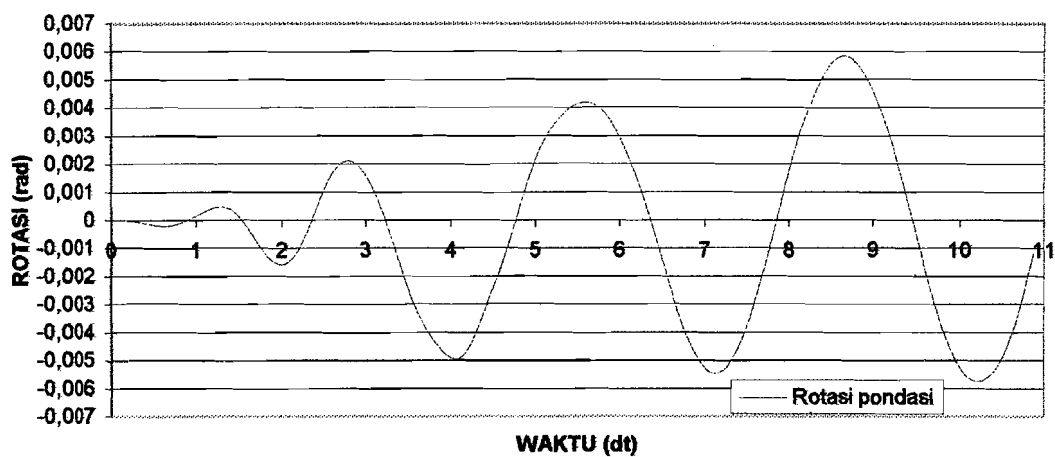
**Gambar 5.19** Rotasi pondasi struktur 12 tk akibat gempa Bucharest  
 $kh=2E+07$ ,  $kr=2E+08$



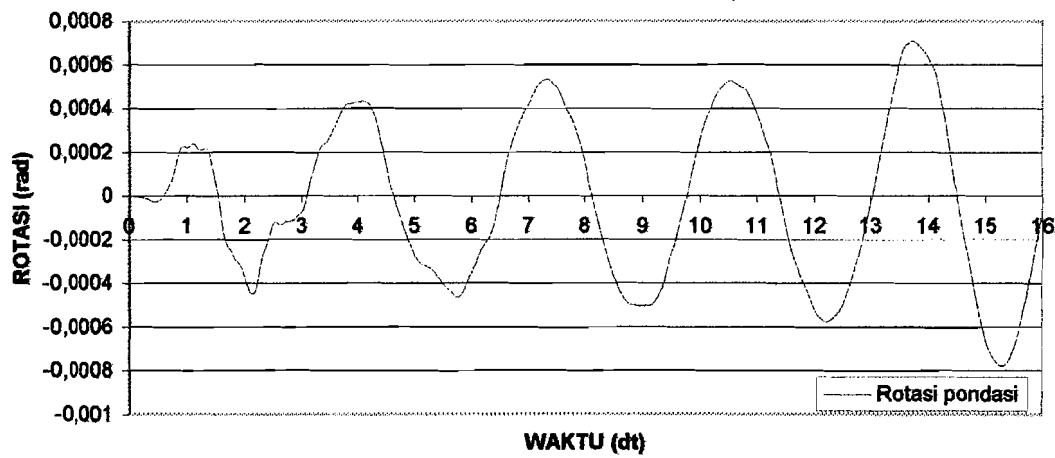
**Gambar 5.20** Rotasi pondasi struktur 12 tk akibat gempa Elcentro  
 $kh=2E+07$ ,  $kr=2E+08$



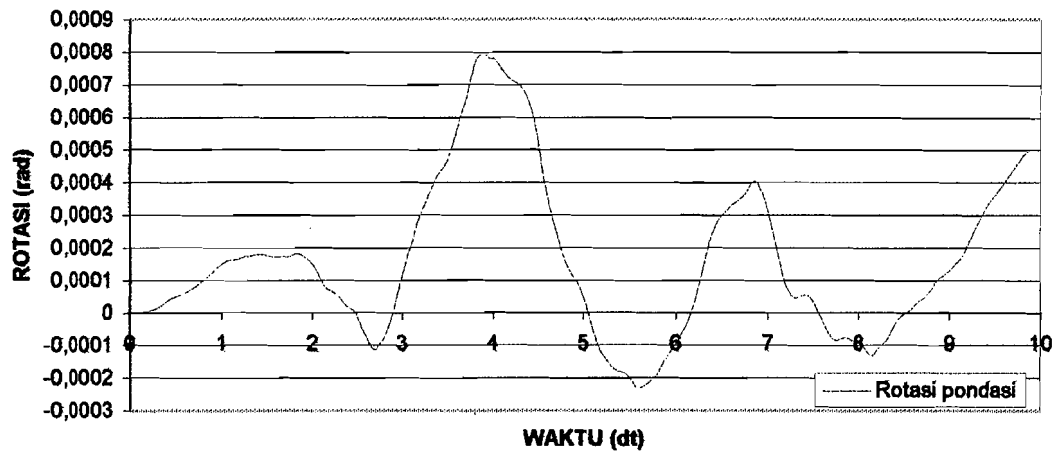
**Gambar 5.21** Rotasi pondasi struktur 12 tk akibat gempa Koyna  
 $kh=2E+07$ ,  $kr=2E+08$



**Gambar 5.22** Rotasi pondasi struktur 12 tk akibat gempa Bucharest  
 $kh=1E+07$ ,  $kr=4E+08$



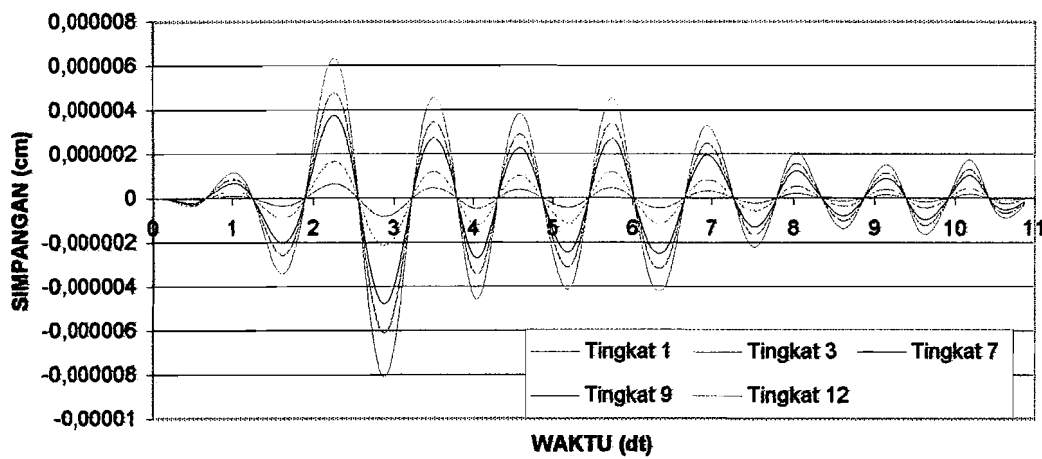
**Gambar 5.23** Rotasi pondasi struktur 12 tk akibat gempa Elcentro  
 $kh=1E+07$ ,  $kr=4E+08$



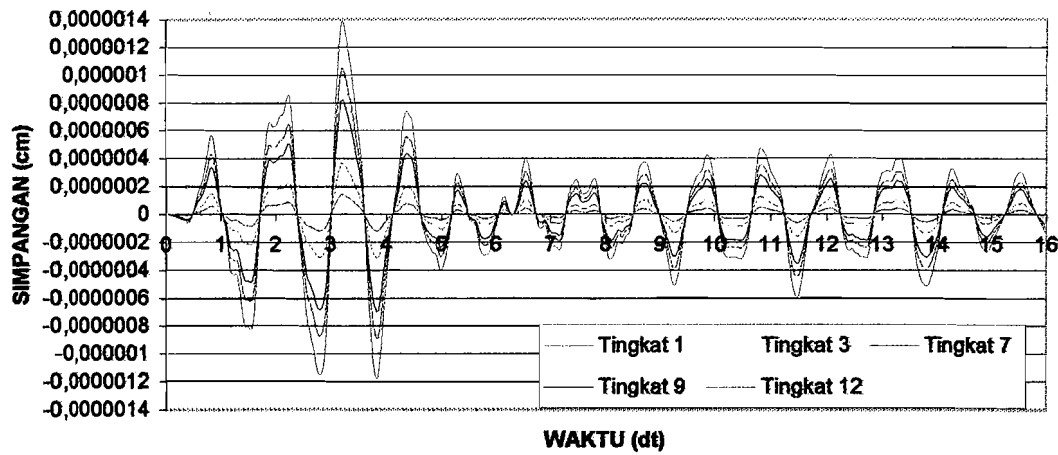
**Gambar 5.24** Rotasi pondasi struktur 12 tk akibat gempa Koyna  
 $kh=1E+07$ ,  $kr=4E+08$

### 5.4.3 Perhitungan Simpangan Rotasi

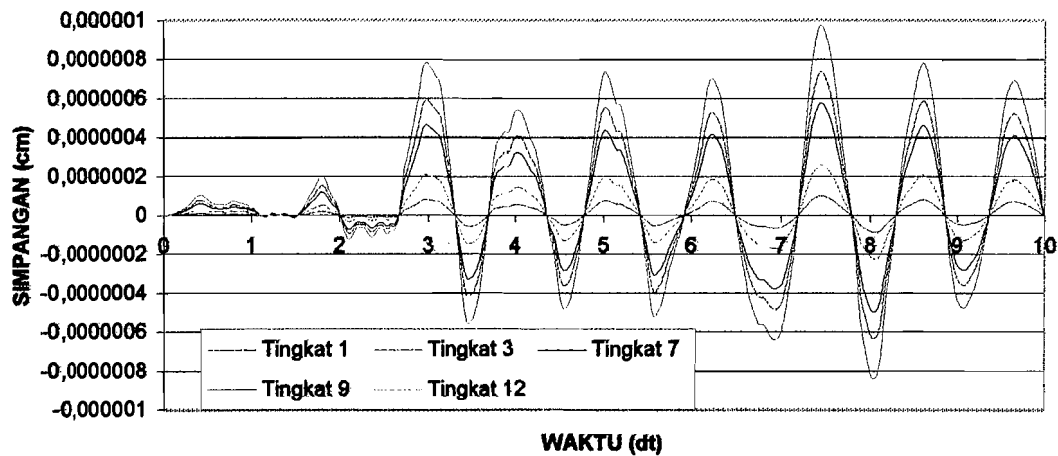
Simpangan rotasi merupakan simpangan struktur yang disebabkan terjadinya rotasi pada pondasi akibat beban gempa. Hasil analisis ditampilkan dalam bentuk grafik antara simpangan struktur lawan waktu, dapat dilihat pada gambar berikut :



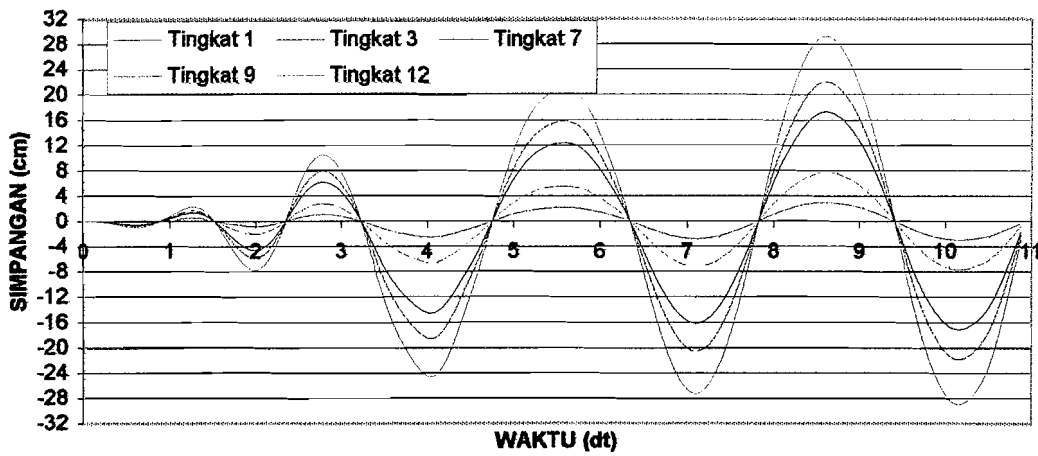
**Gambar 5.25** Simpangan rotasi struktur 12 tk akibat gempa Bucharest  
 $kh=2E+15$ ,  $kr=4E+15$



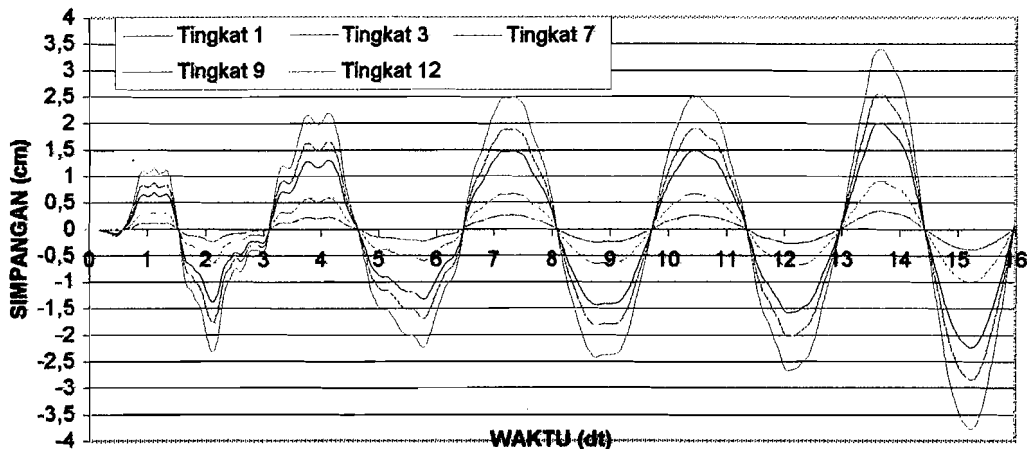
**Gambar 5.26** Simpangan rotasi struktur 12 tk akibat gempa Elcentro  
 $kh=2E+15$ ,  $kr=4E+15$



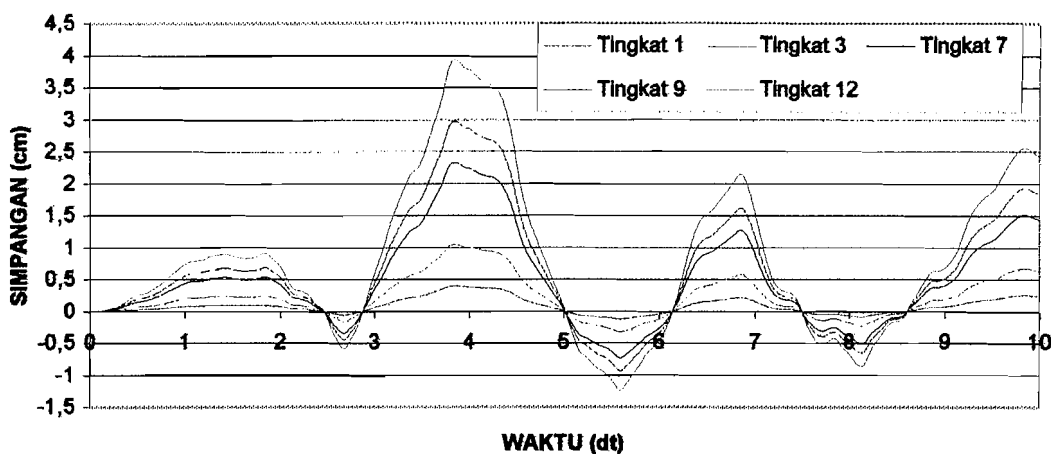
**Gambar 5.27** Simpangan rotasi struktur 12 tk akibat gempa Koyna  
 $kh=2E+15$ ,  $kr=4E+15$



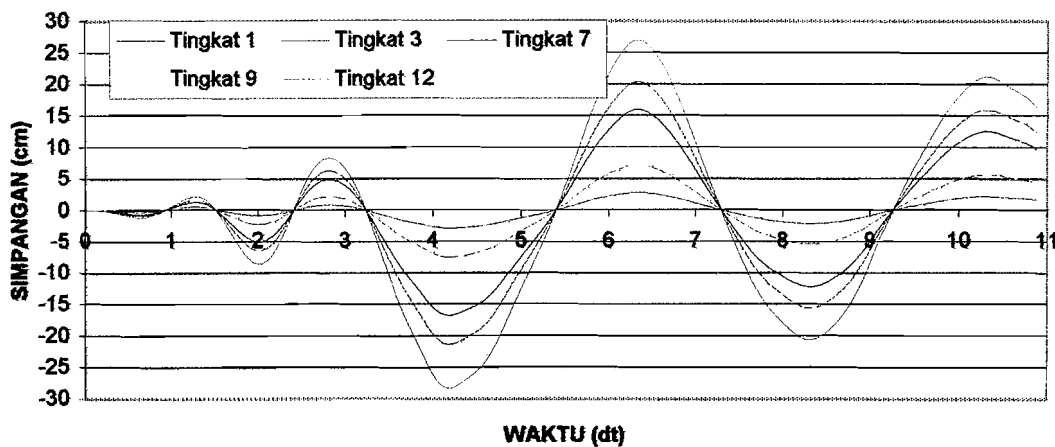
**Gambar 5.28** Simpangan rotasi struktur 12 tk akibat gempa Bucharest  
 $kh=2E+07$ ,  $kr=4E+08$



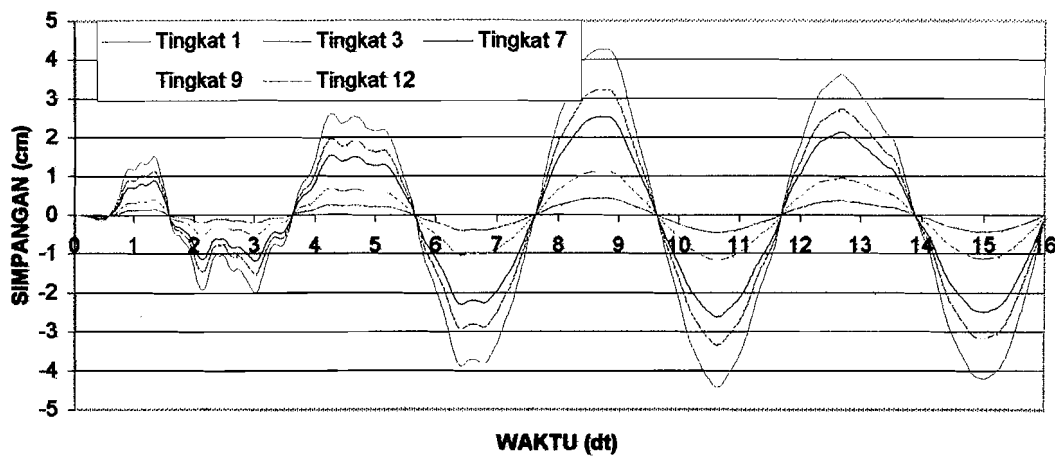
**Gambar 5.29** Simpangan rotasi struktur 12 tk akibat gempa Elcentro  
 $kh=2E+07$ ,  $kr=4E+08$



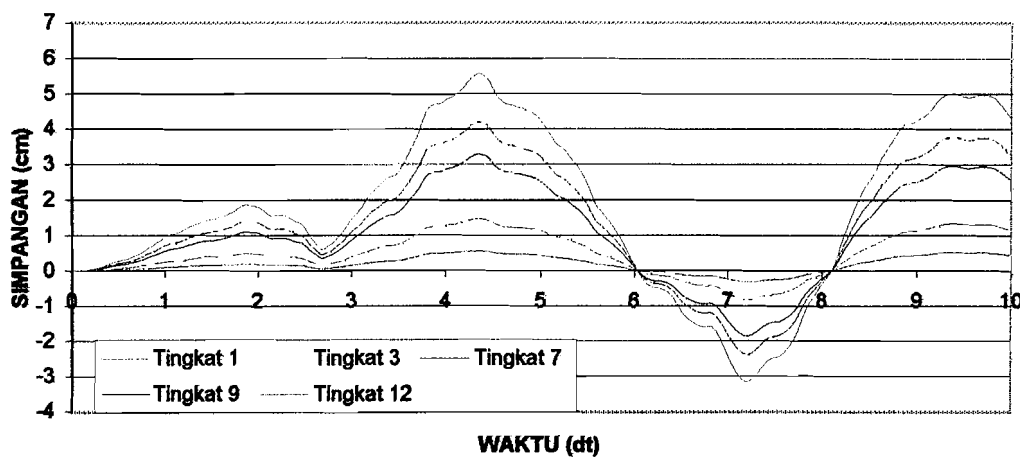
**Gambar 5.30** Simpangan rotasi struktur 12 tk akibat gempa Koyna  
 $kh=2E+07$ ,  $kr=4E+08$



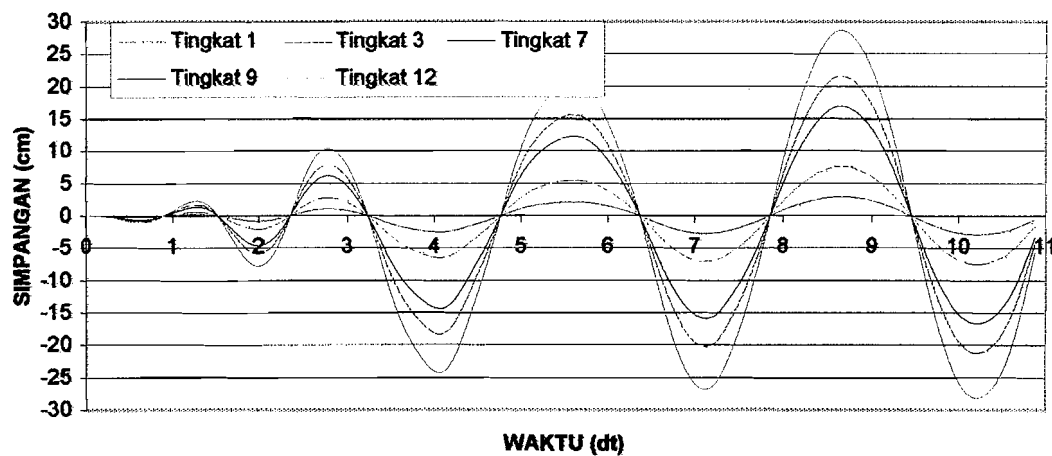
**Gambar 5.31** Simpangan rotasi struktur 12 tk akibat gempa Bucharest  
 $kh=2E+07$ ,  $kr=2E+08$



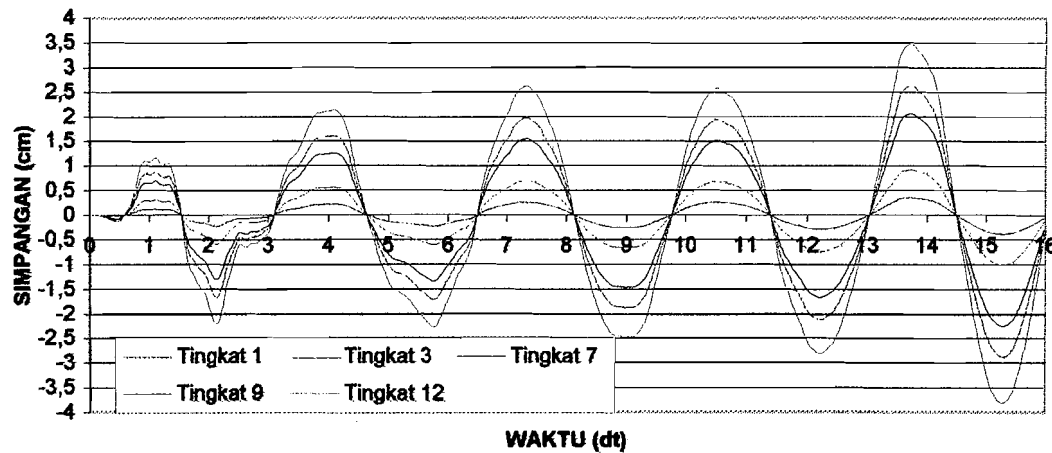
**Gambar 5.32** Simpangan rotasi struktur 12 tk akibat gempa Elcentro  
 $kh=2E+07$ ,  $kr=2E+08$



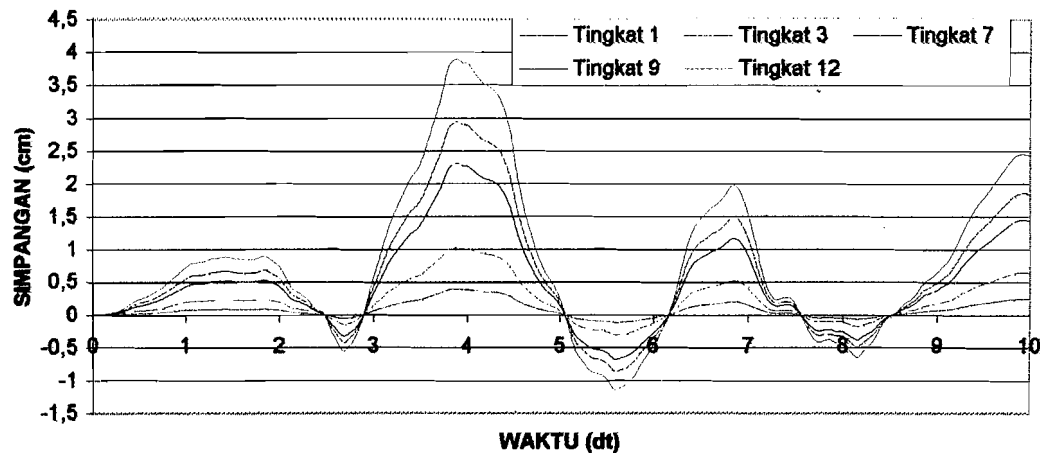
**Gambar 5.33** Simpangan rotasi struktur 12 tk akibat gempa Koyna  
 $kh=2E+07$ ,  $kr=2E+08$



**Gambar 5.34** Simpangan rotasi struktur 12 tk akibat gempa Bucharest  
 $kh=1E+07$ ,  $kr=4E+08$



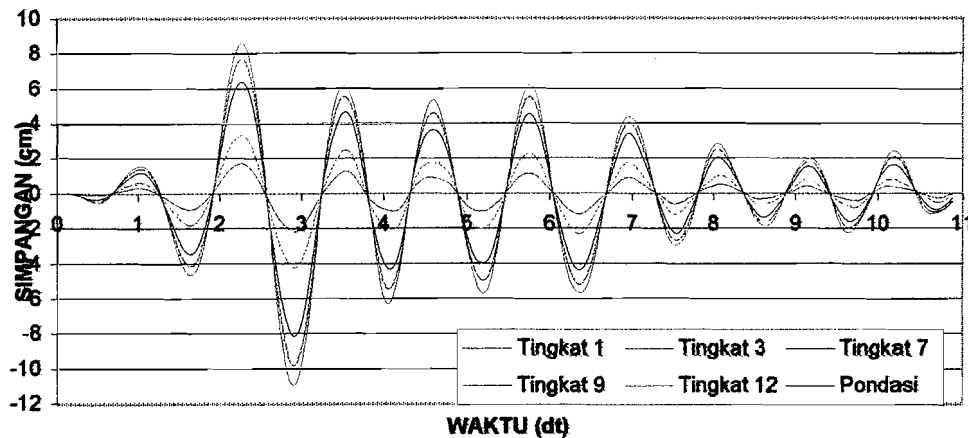
**Gambar 5.35** Simpangan rotasi struktur 12 tk akibat gempa Elcentro  
 $kh=1E+07$ ,  $kr=4E+08$



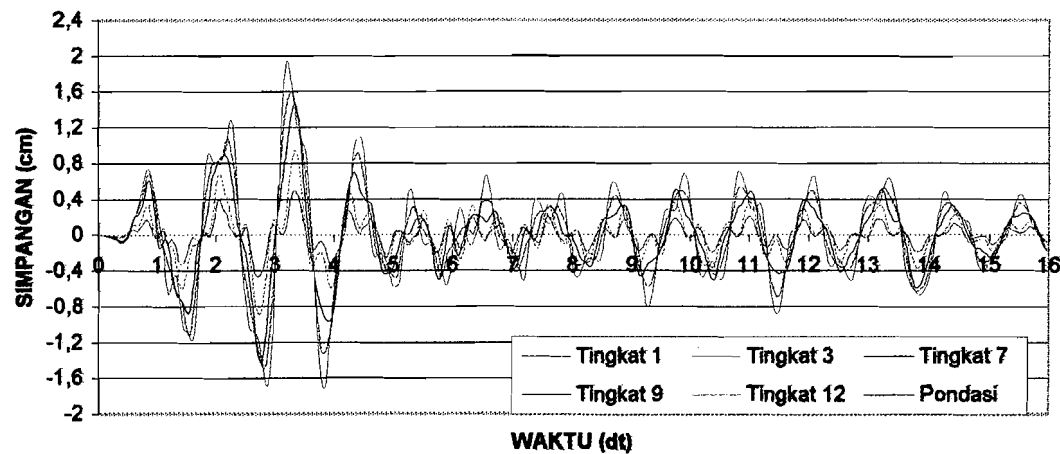
**Gambar 5.36** Simpangan rotasi struktur 12 tk akibat gempa Koyna  
 $kh=1E+07$ ,  $kr=4E+08$

#### 5.4.4 Perhitungan Simpangan Total

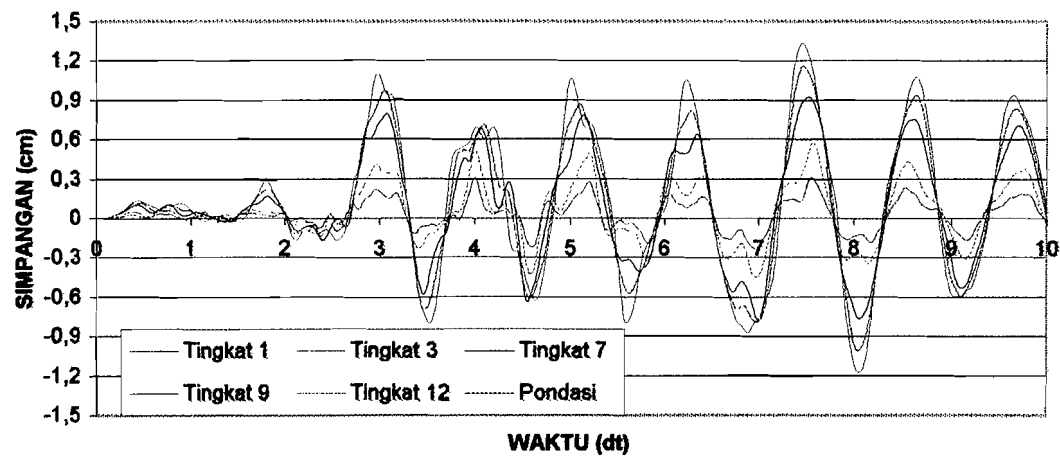
Simpangan total merupakan jumlah dari simpangan bersih struktur (simpangan netto) ditambah simpangan struktur yang diakibat terjadinya rotasi pada pondasi (simpangan rotasi) dan ditambah simpangan pada pondasi akibat beban gempa. Hasil analisis ditampilkan dalam bentuk grafik antara simpangan total struktur lawan waktu, dapat dilihat pada gambar berikut :



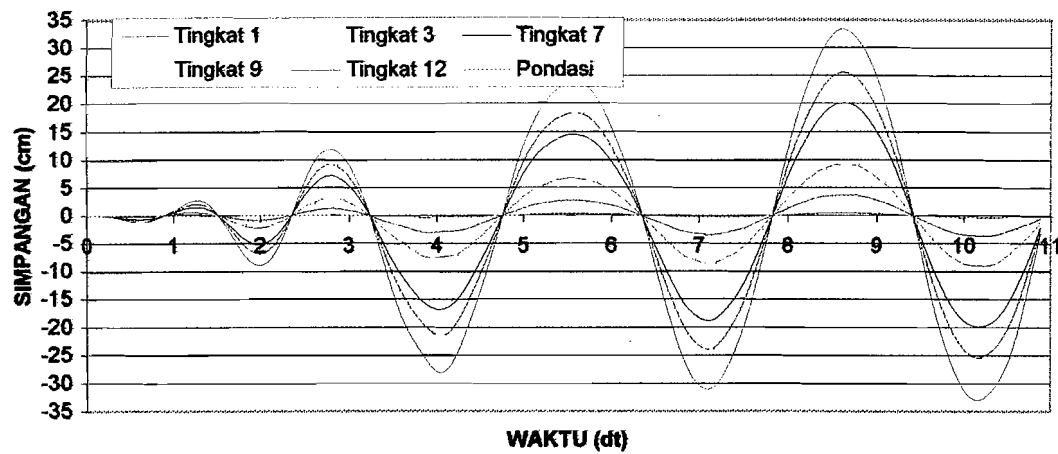
**Gambar 5.37** Simpangan total struktur 12 tk akibat gempa Bucharest  
 $kh=2E+15$ ,  $kr=4E+15$



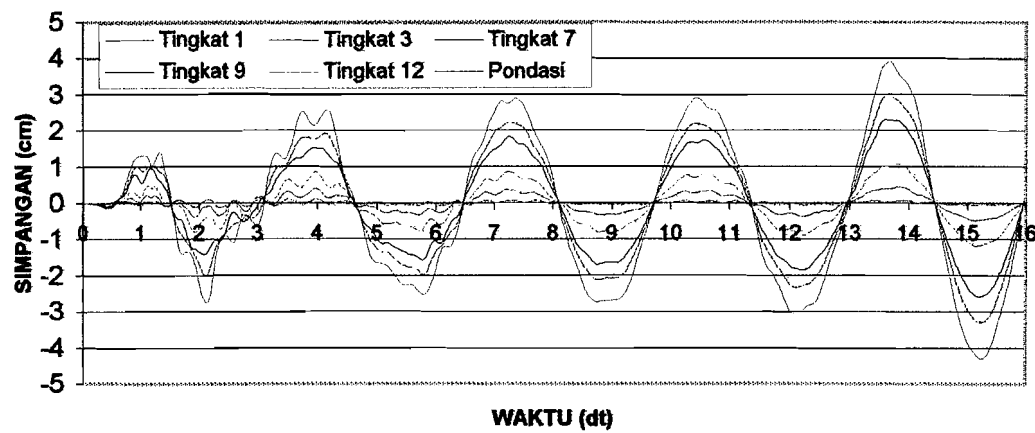
**Gambar 5.38** Simpangan total struktur 12 tk akibat gempa Elcentro  
 $kh=2E+15$ ,  $kr=4E+15$



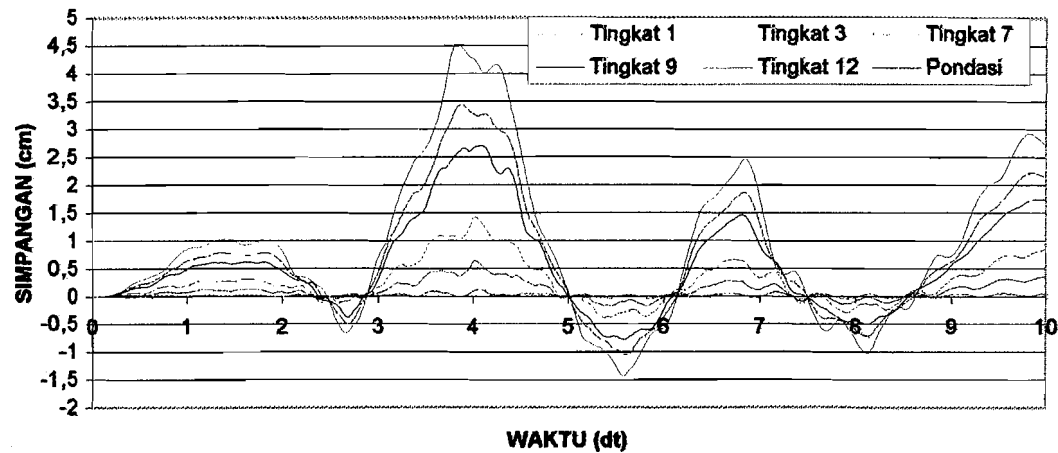
**Gambar 5.39** Simpangan total struktur 12 tk akibat gempa Koyna  
 $kh=2E+15$ ,  $kr=4E+15$



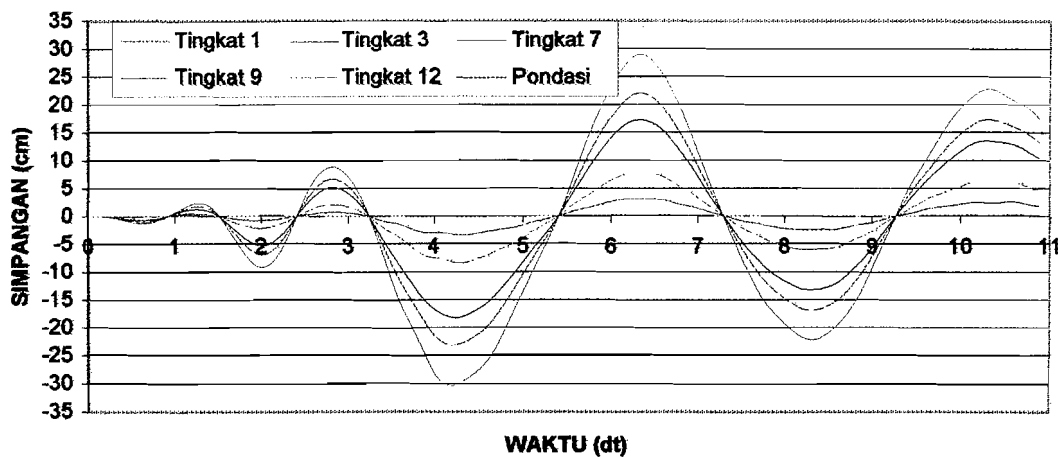
**Gambar 5.40** Simpangan total struktur 12 tk akibat gempa Bucharest  
 $kh=2E+07$ ,  $kr=4E+08$



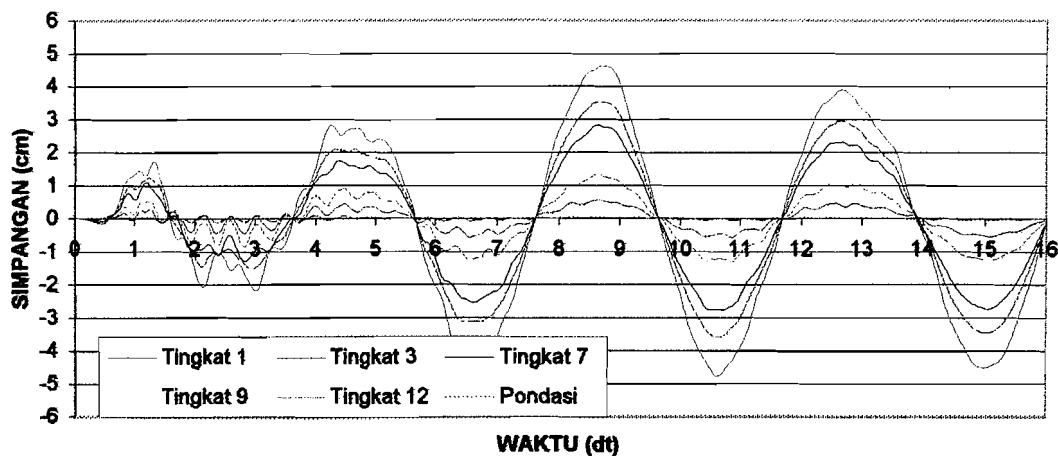
**Gambar 5.41** Simpangan total struktur 12 tk akibat gempa Elcentro  
 $kh=2E+07$ ,  $kr=4E+08$



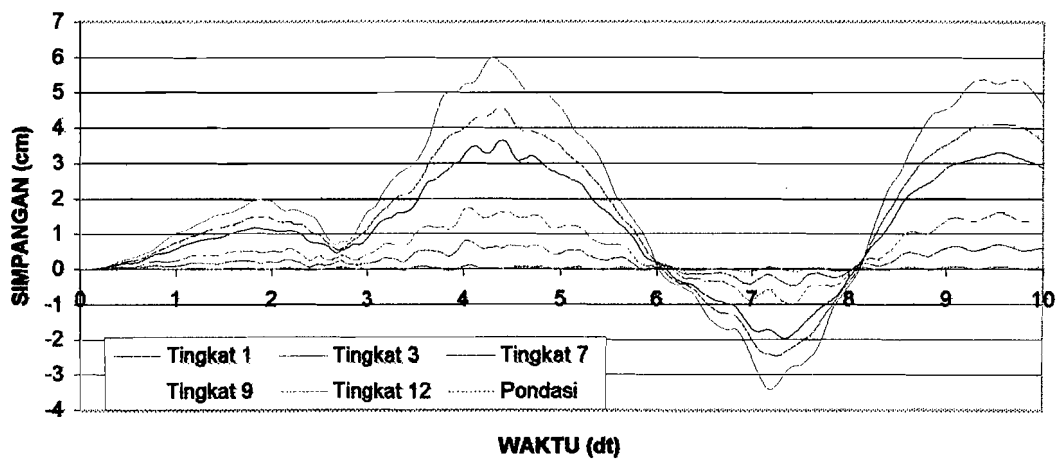
**Gambar 5.42** Simpangan total struktur 12 tk akibat gempa Koyna  
 $kh=2E+07$ ,  $kr=4E+08$



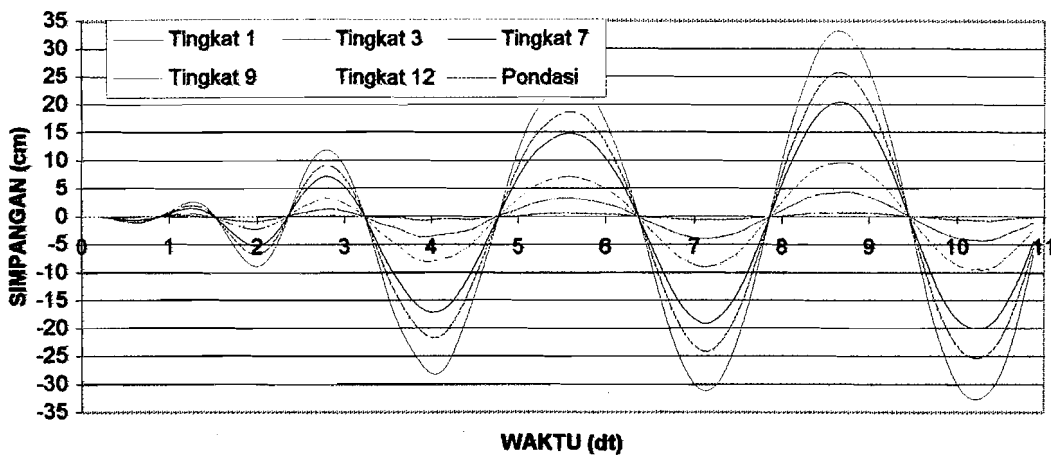
**Gambar 5.43** Simpangan total struktur 12 tk akibat gempa Bucharest  
 $kh=2E+07$ ,  $kr=2E+08$



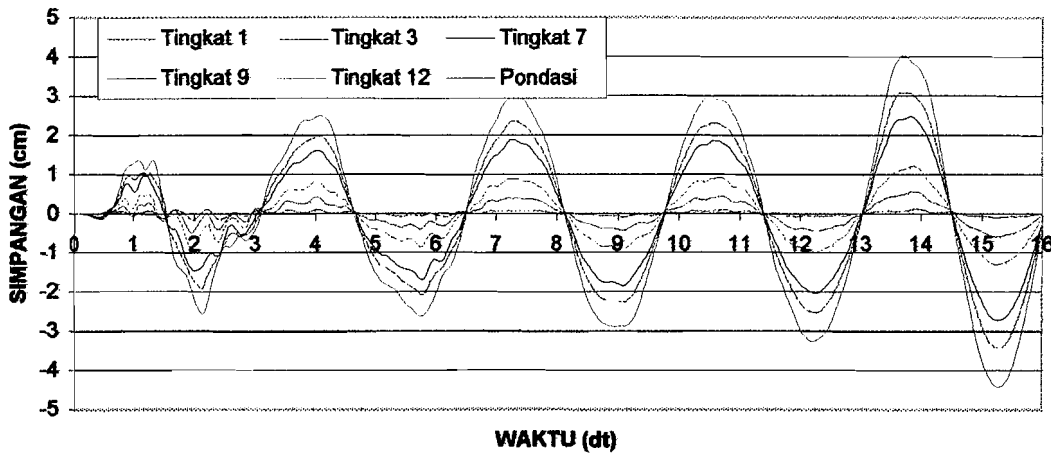
**Gambar 5.44** Simpangan total struktur 12 tk akibat gempa Elcentro  
 $kh=2E+07$ ,  $kr=2E+08$



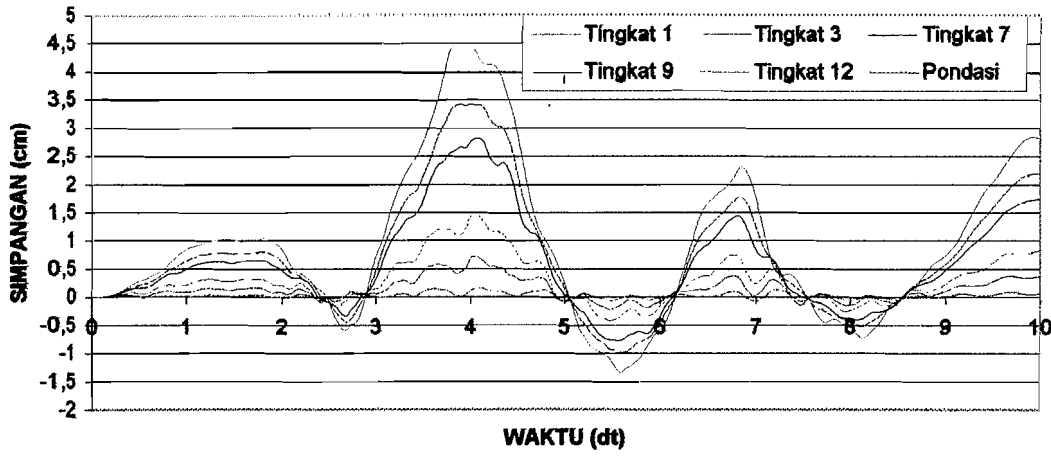
**Gambar 5.45** Simpangan total struktur 12 tk akibat gempa Koyna  
 $kh=2E+07$ ,  $kr=2E+08$



**Gambar 5.46** Simpangan total struktur 12 tk akibat gempa Bucharest  
 $kh=1E+07$ ,  $kr=4E+08$



**Gambar 5.47** Simpangan total struktur 12 tk akibat gempa Elcentro  
 $kh=1E+07$ ,  $kr=4E+08$



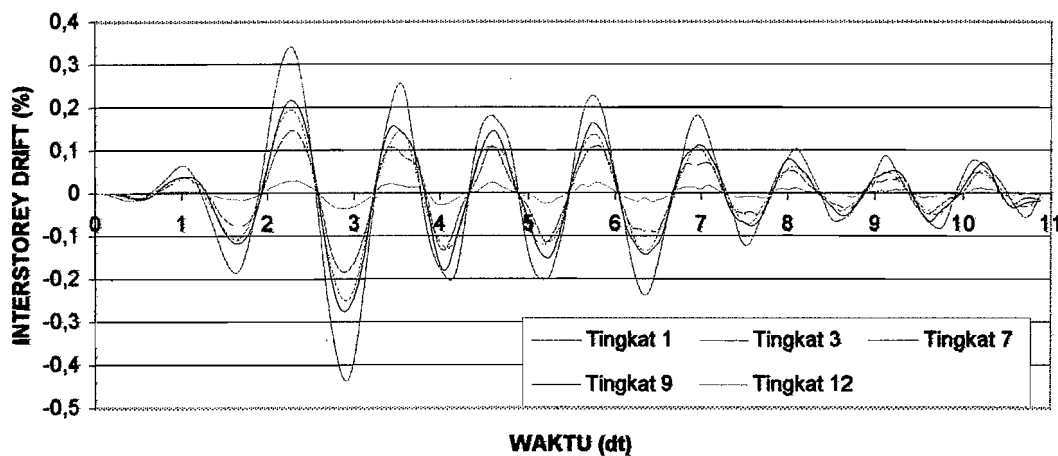
**Gambar 5.48** Simpangan total struktur 12 tk akibat gempa Koyna  
 $kh=1E+07$ ,  $kr=4E+08$

#### **5.4.5 Perhitungan Simpangan Antar Tingkat (*Interstorey Drift*)**

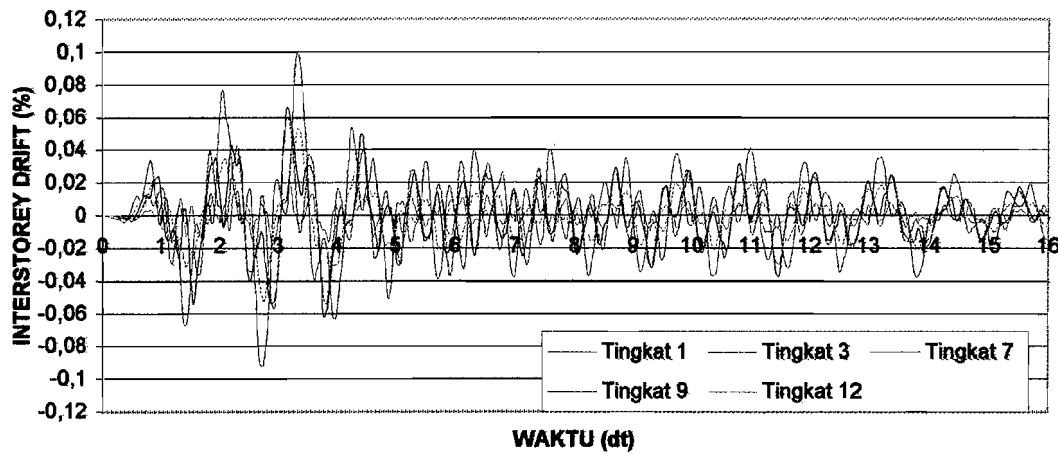
Simpangan antar tingkat adalah selisih simpangan netto suatu tingkat dengan simpangan netto tingkat dibawahnya yang dibagi tinggi tingkat, pada waktu yang bersamaan. Besarnya nilai simpangan antar tingkat dihitung dengan :

dimana  $yy(t)$  dan  $y(t)$  adalah simpangan antar tingkat (*interstorey drift*) dan simpangan netto yang terjadi pada tingkat ke- $j$  yang merupakan fungsi dari waktu serta  $h$  adalah tinggi tingkat.

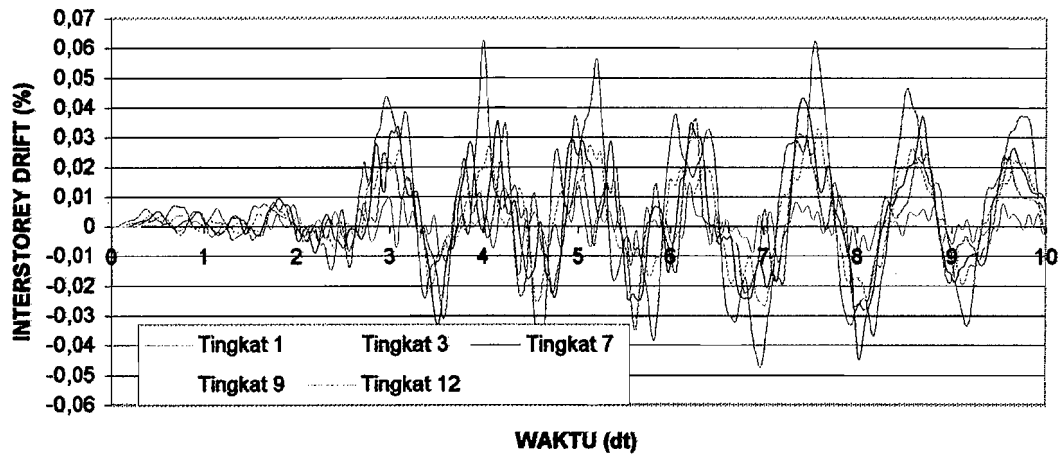
Hasil analisis ditampilkan dalam bentuk grafik antara simpangan antar tingkat (*interstorey drift*) lawan waktu, dapat dilihat pada gambar berikut :



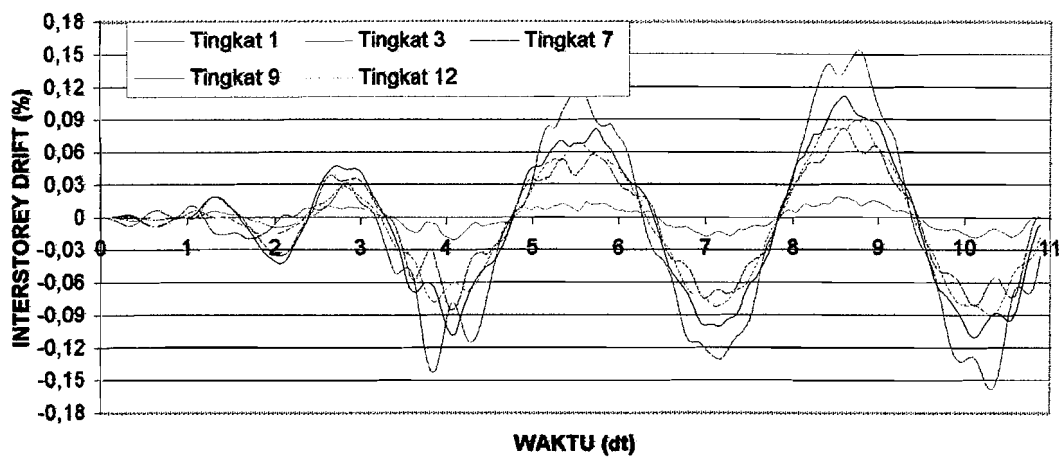
**Gambar 5.49** Interstorey drift struktur 12 tk akibat gempa Bucharest  
 $kh=2E+15$ ,  $kr=4E+15$



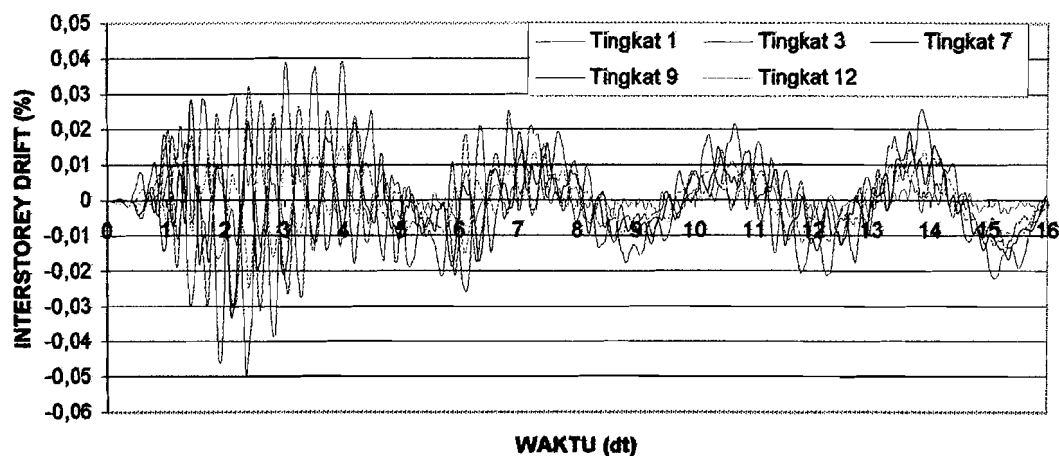
**Gambar 5.50** Interstorey drift struktur 12 tk akibat gempa Elcentro  
 $kh=2E+15$ ,  $kr=4E+15$



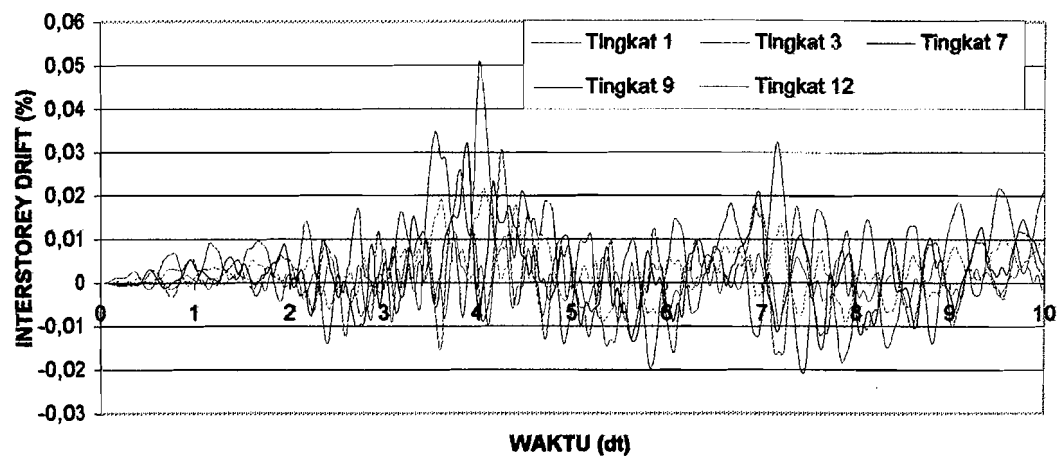
**Gambar 5.51** Interstorey drift struktur 12 tk akibat gempa Koyna  
 $kh=2E+15$ ,  $kr=4E+15$



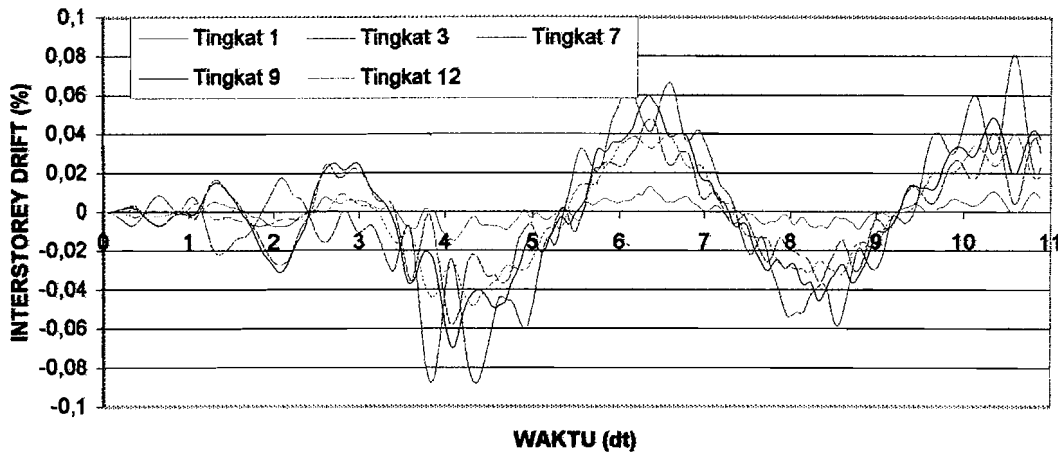
**Gambar 5.52** Interstorey drift struktur 12 tk akibat gempa Bucharest  
 $kh=2E+07$ ,  $kr=4E+08$



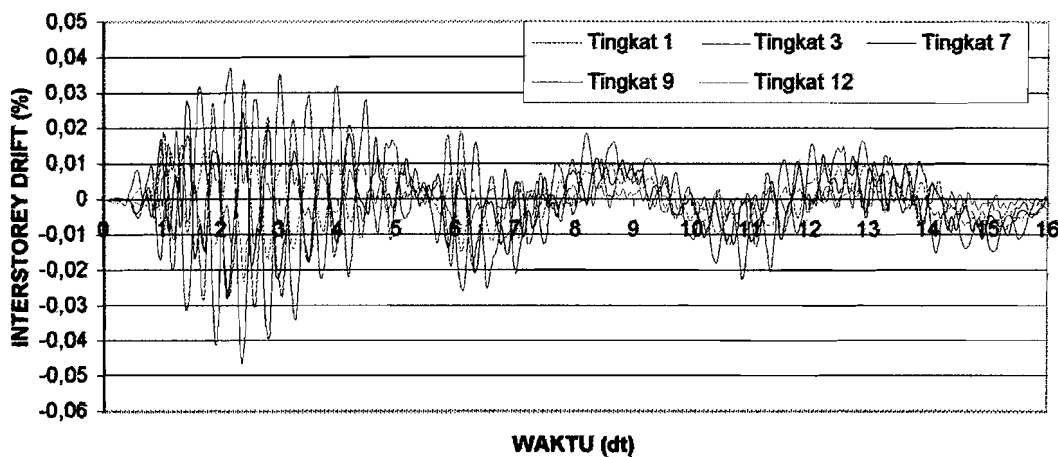
**Gambar 5.53** Interstorey drift struktur 12 tk akibat gempa Elcentro  
 $kh=2E+07$ ,  $kr=4E+08$



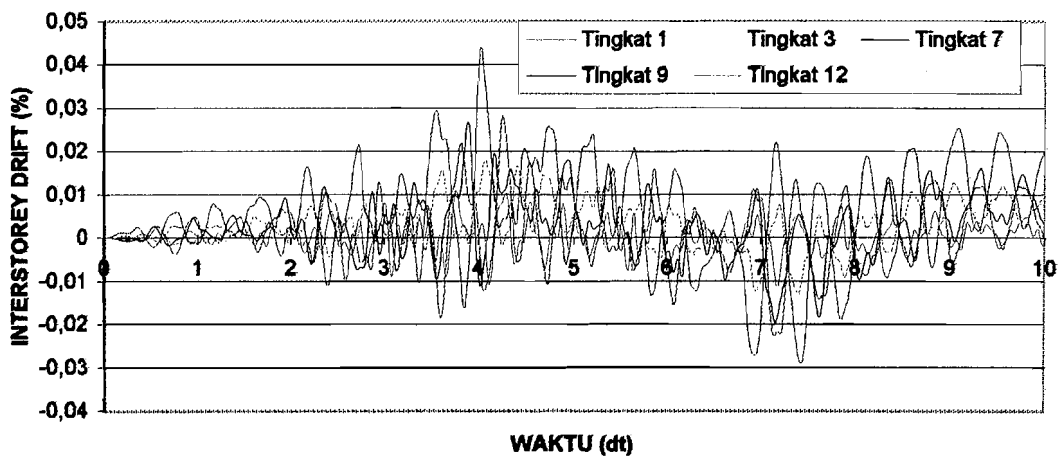
**Gambar 5.54** Interstorey drift struktur 12 tk akibat gempa Koyna  
 $kh=2E+07$ ,  $kr=4E+08$



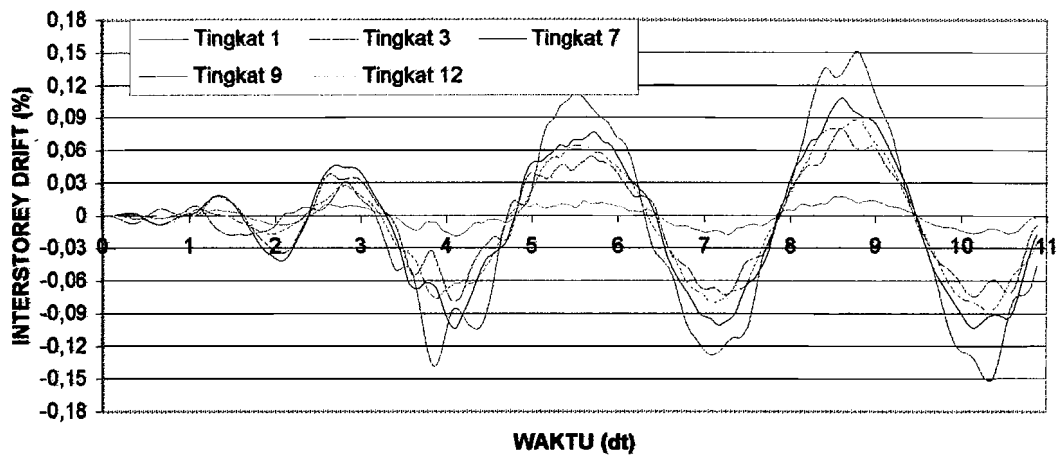
**Gambar 5.55** Interstorey drift struktur 12 tk akibat gempa Bucharest  
 $kh=2E+07$ ,  $kr=2E+08$



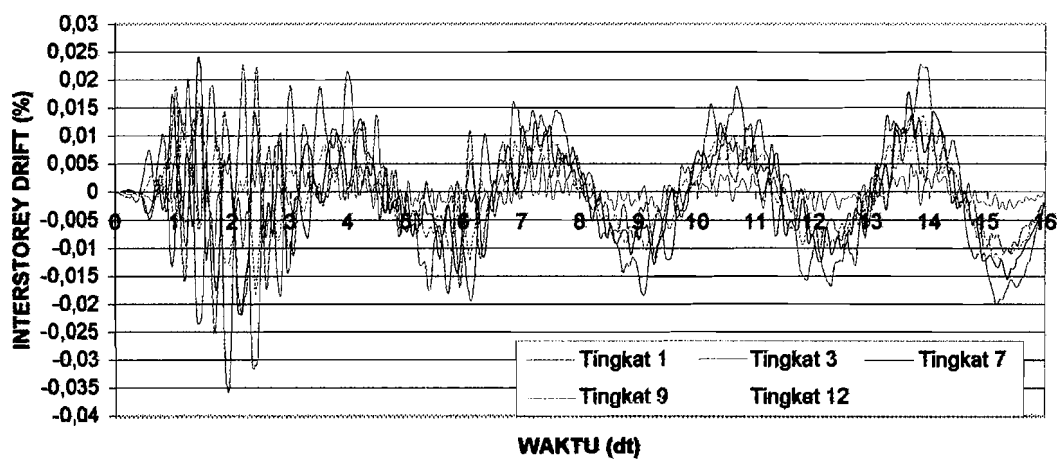
**Gambar 5.56** Interstorey drift struktur 12 tk akibat gempa Elcentro  
 $kh=2E+07$ ,  $kr=2E+08$



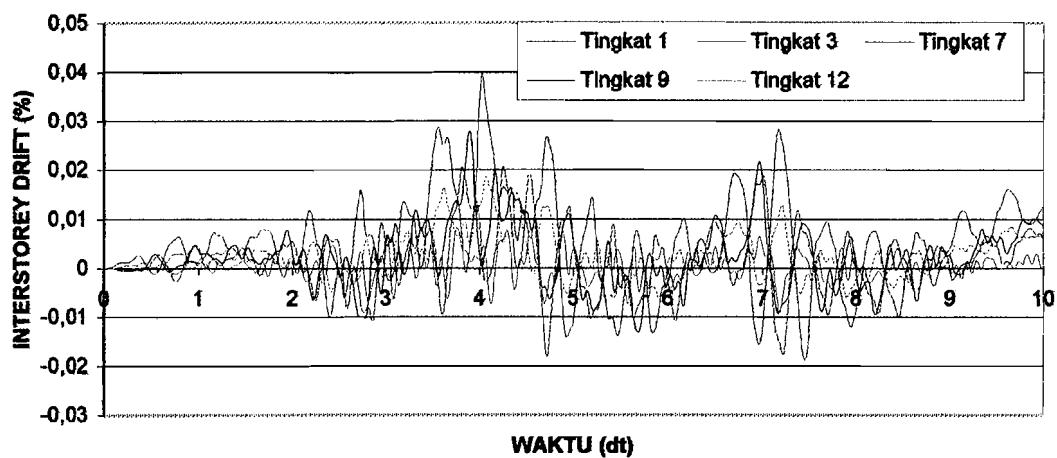
**Gambar 5.57** Interstorey drift struktur 12 tk akibat gempa Koyna  
 $kh=2E+07$ ,  $kr=2E+08$



**Gambar 5.58** Interstorey drift struktur 12 tk akibat gempa Bucharest  
 $kh=1E+07$ ,  $kr=4E+08$



**Gambar 5.59** Interstorey drift struktur 12 tk akibat gempa Elcentro  
 $kh=1E+07$ ,  $kr=4E+08$



**Gambar 5.60** Interstorey drift struktur 12 tk akibat gempa Koyna  
 $kh=1E+07$ ,  $kr=4E+08$

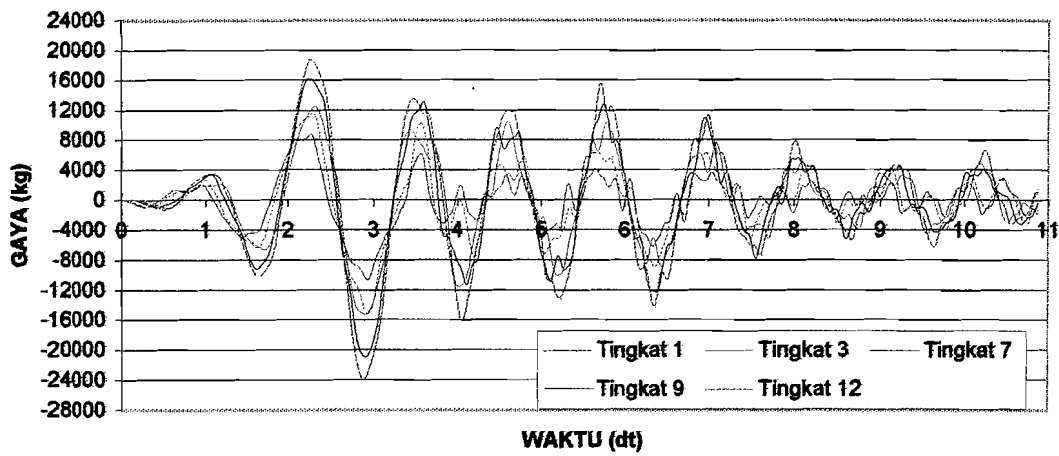
#### **5.4.6 Perhitungan Gaya Horisontal Tingkat**

Gaya horisontal tingkat dihitung dengan mengalikan simpangan netto dan kekakuan struktur. Besarnya nilai gaya horisontal tingkat dihitung dengan :

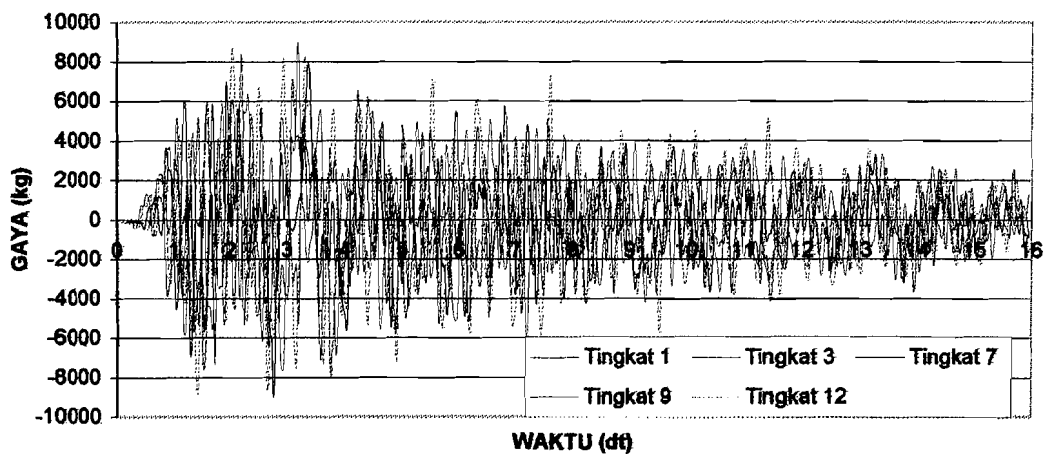
$$F_j(t) = y_j(t)^* k_j \dots \quad (5.2)$$

dimana,  $F$ ,  $y$ , dan  $k$  adalah gaya horisontal tingkat, simpangan netto dan kekakuan tiap tingkat yang merupakan fungsi dari waktu.

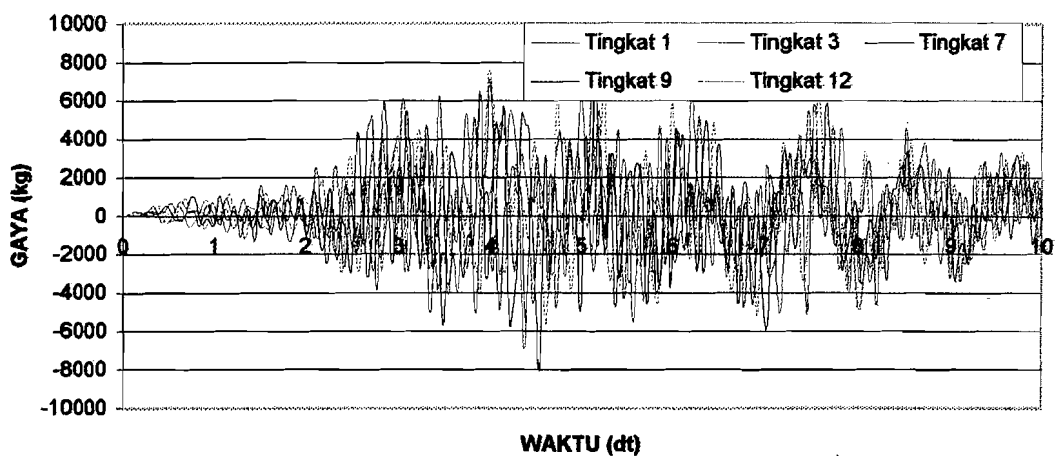
Hasil analisis ditampilkan dalam bentuk grafik antara gaya horisontal tingkat lawan waktu, dapat dilihat pada gambar berikut :



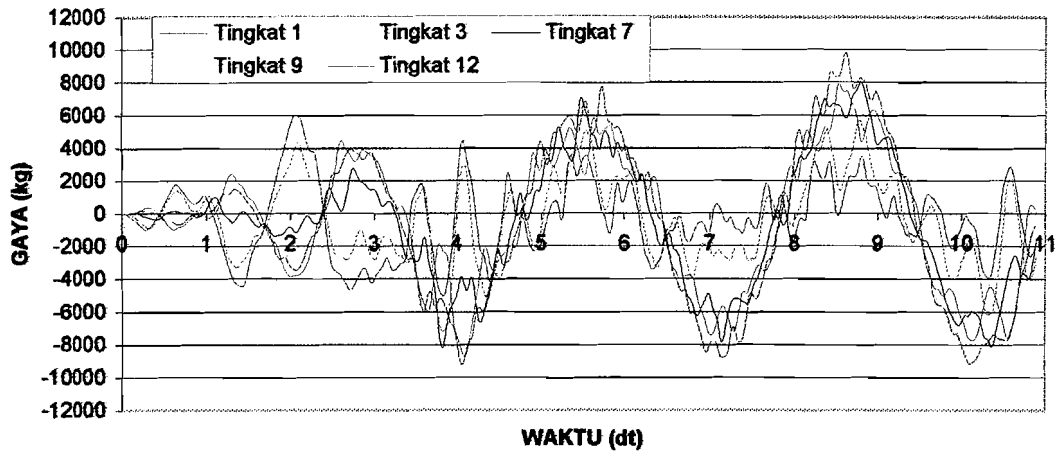
**Gambar 5.61** Gaya horisontal tk struktur 12 tk akibat gempa Bucharest  
 $kh=2E+15$ ,  $kr=4E+15$



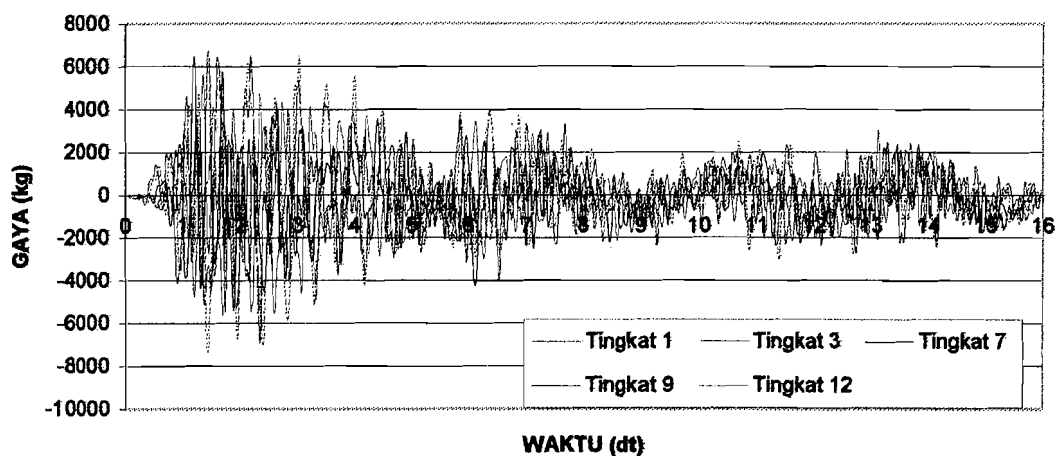
**Gambar 5.62** Gaya horisontal tk struktur 12 tk akibat gempa Elcentro  
 $kh=2E+15$ ,  $kr=4E+15$



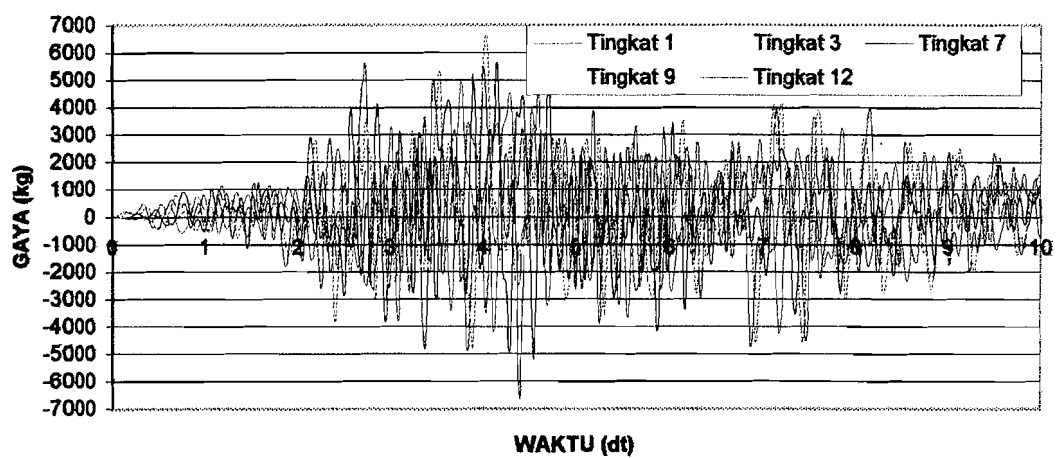
**Gambar 5.63** Gaya horisontal tk struktur 12 tk akibat gempa Koyna  
 $kh=2E+15$ ,  $kr=4E+15$



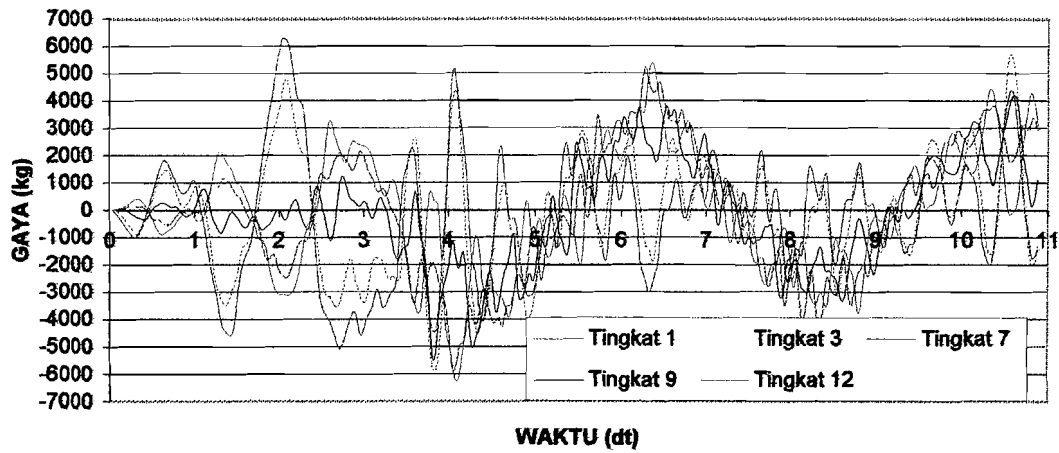
**Gambar 5.64** Gaya horisontal tk struktur 12 tk akibat gempa Bucharest  
 $kh=2E+07$ ,  $kr=4E+08$



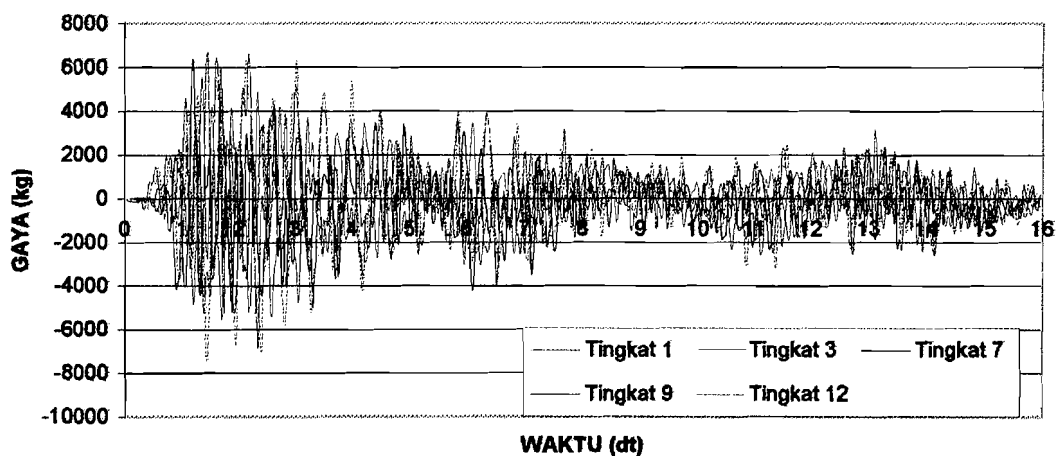
**Gambar 5.65** Gaya horisontal tk struktur 12 tk akibat gempa Elcentro  
 $kh=2E+07$ ,  $kr=4E+08$



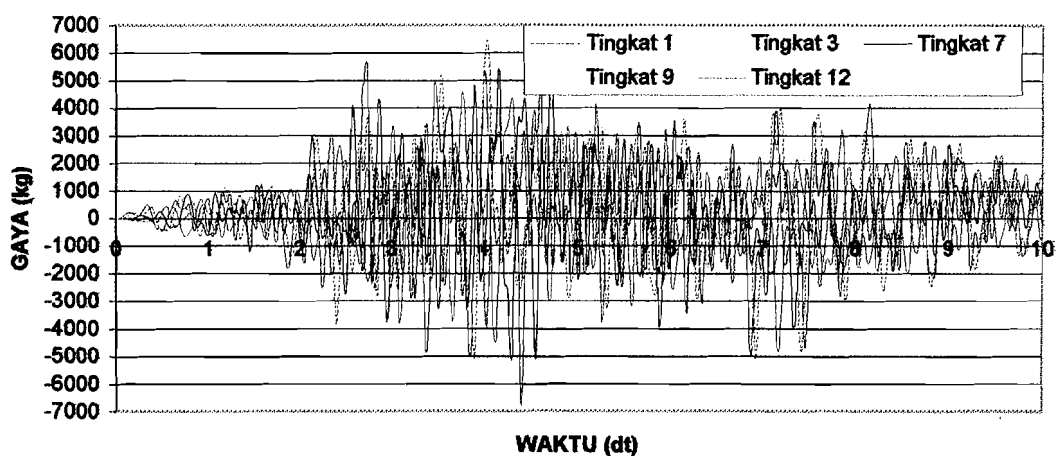
**Gambar 5.66** Gaya horisontal tk struktur 12 tk akibat gempa Koyna  
 $kh=2E+07$ ,  $kr=4E+08$



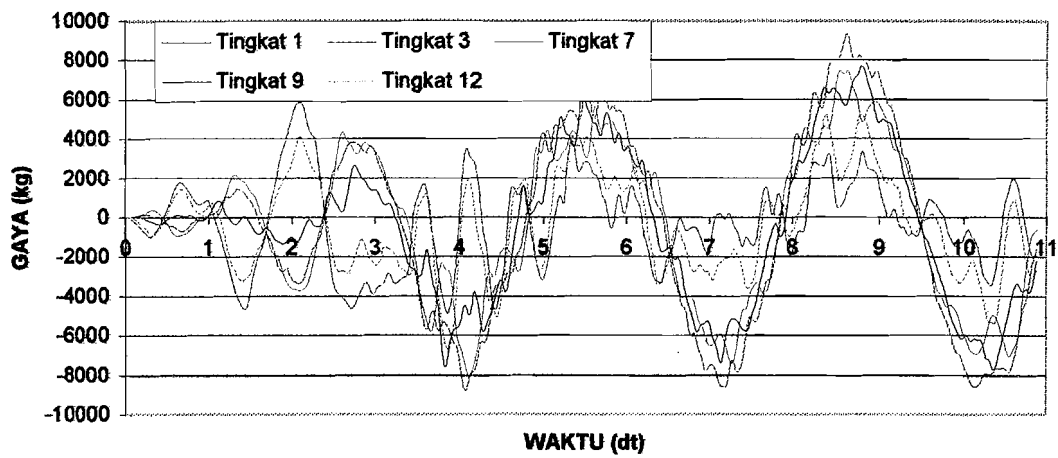
**Gambar 5.67** Gaya horisontal tk struktur 12 tk akibat gempa Bucharest  
 $kh=2E+07$ ,  $kr=2E+08$



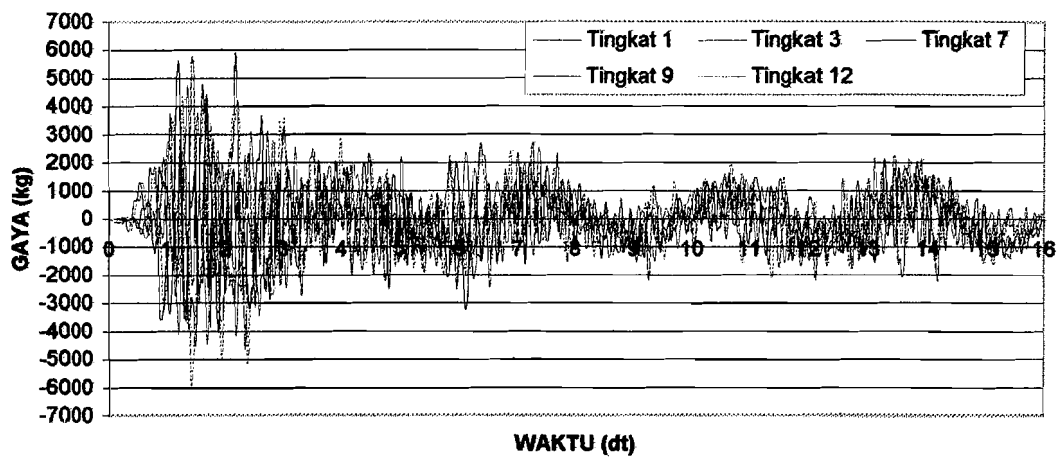
**Gambar 5.68** Gaya horisontal tk struktur 12 tk akibat gempa Elcentro  
 $kh=2E+07$ ,  $kr=2E+08$



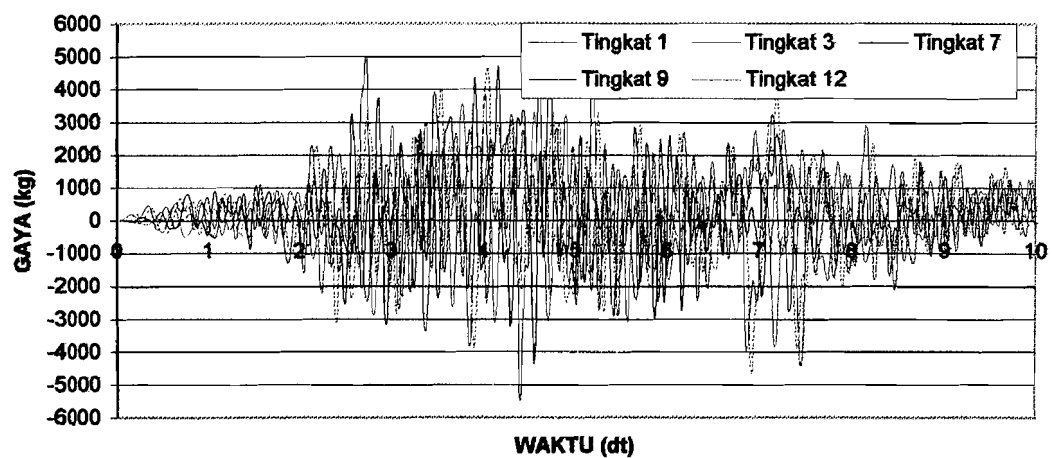
**Gambar 5.69** Gaya horisontal tk struktur 12 tk akibat gempa Koyna  
 $kh=2E+07$ ,  $kr=2E+08$



**Gambar 5.70** Gaya horisontal tk struktur 12 tk akibat gempa Bucharest  
 $kh=1E+07$ ,  $kr=4E+08$



**Gambar 5.71** Gaya horisontal tk struktur 12 tk akibat gempa Elcentro  
 $kh=1E+07$ ,  $kr=4E+08$



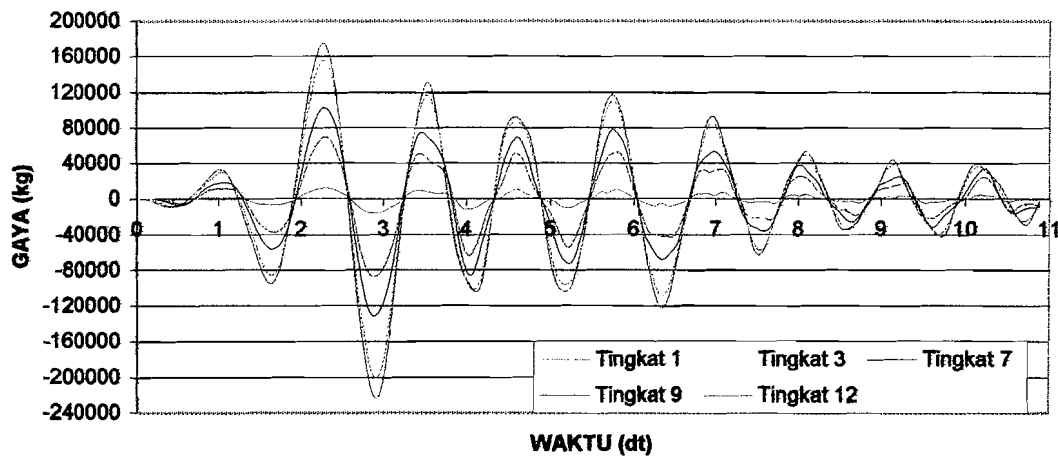
**Gambar 5.72** Gaya horisontal tk struktur 12 tk akibat gempa Koyna  
 $kh=1E+07$ ,  $kr=4E+08$

#### **5.4.7 Perhitungan Gaya Geser Tingkat**

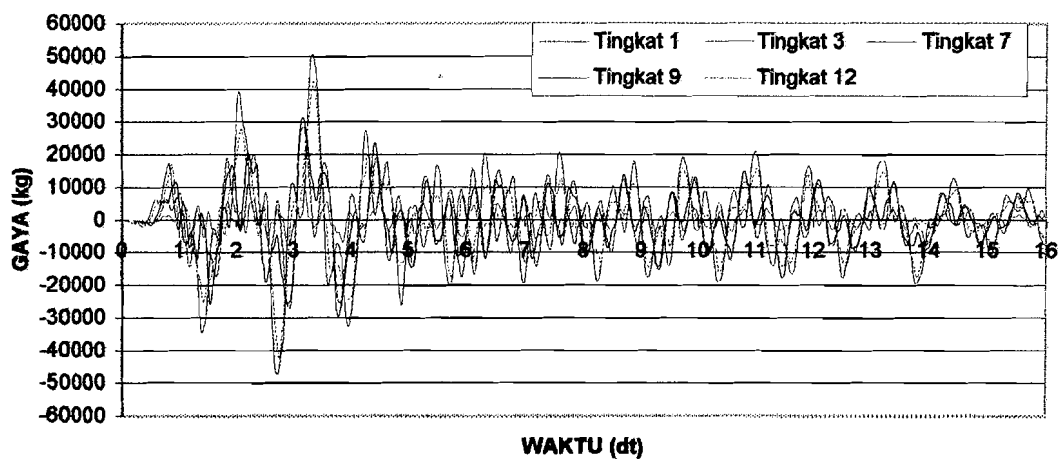
Gaya geser tingkat diperoleh dengan menjumlahkan gaya horisontal tiap tingkat. Besarnya nilai gaya geser tingkat dihitung dengan :

dimana,  $V$  dan  $F$  adalah gaya geser tingkat dan gaya horisontal tingkat yang merupakan fungsi waktu.

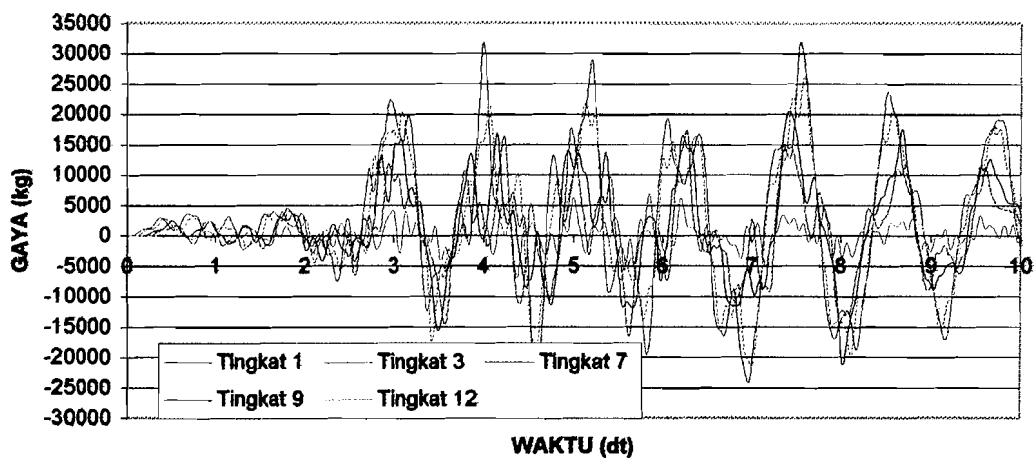
Hasil analisis ditampilkan dalam bentuk grafik antara gaya geser tingkat lawan waktu, dapat dilihat pada gambar berikut :



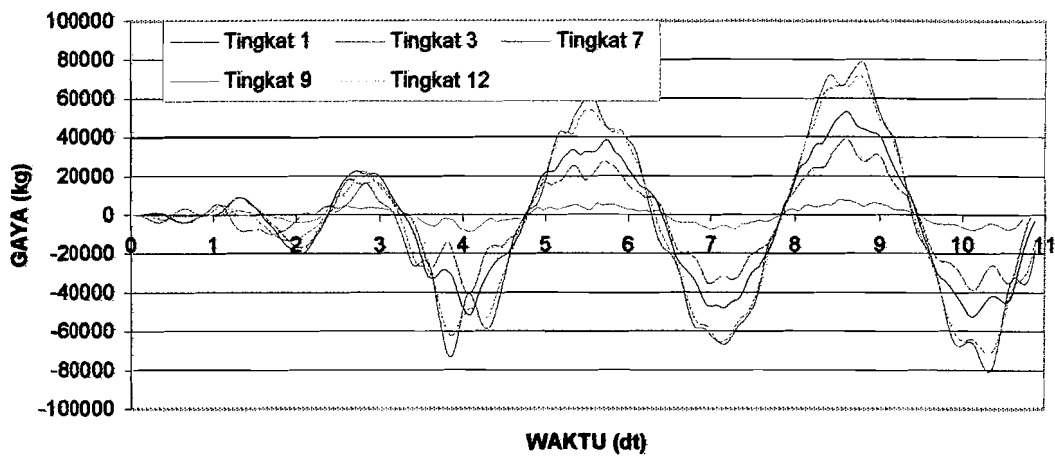
**Gambar 5.73** Gaya geser tingkat struktur 12 tk akibat gempa Bucharest  
 $kh=2E+15$ ,  $kr=4E+15$



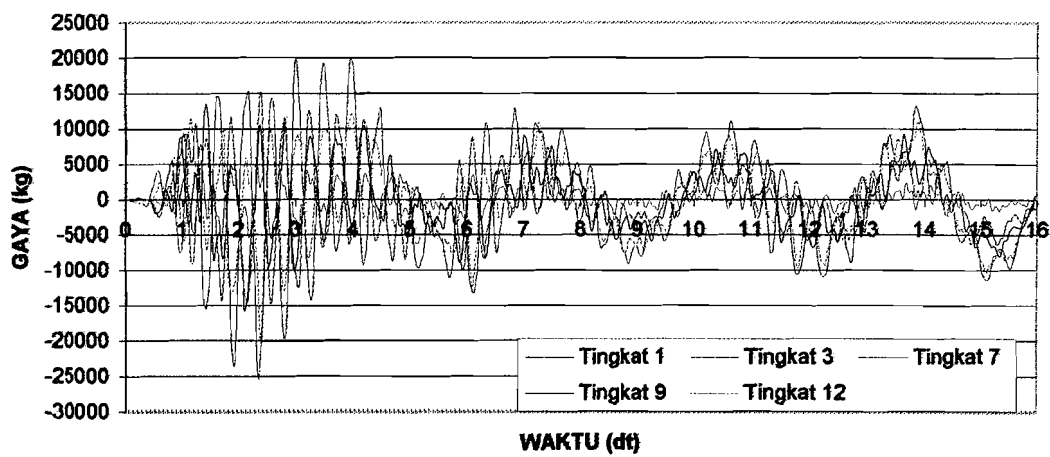
**Gambar 5.74** Gaya geser tingkat struktur 12 tk akibat gempa Elcentro  
 $kh=2E+15$ ,  $kr=4E+15$



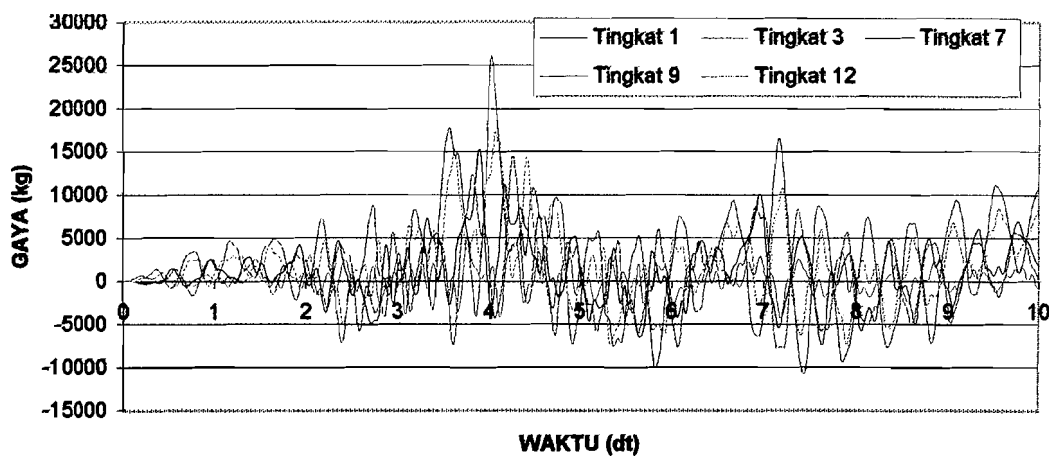
**Gambar 5.75** Gaya geser tingkat struktur 12 tk akibat gempa Koyna  
 $kh=2E+15$ ,  $kr=4E+15$



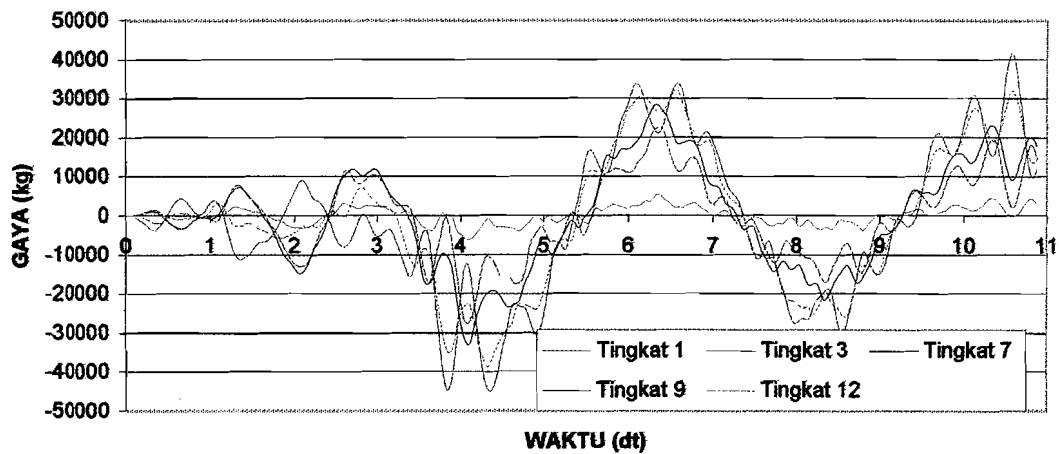
**Gambar 5.76** Gaya geser tingkat struktur 12 tk akibat gempa Bucharest  
 $kh=2E+07$ ,  $kr=4E+08$



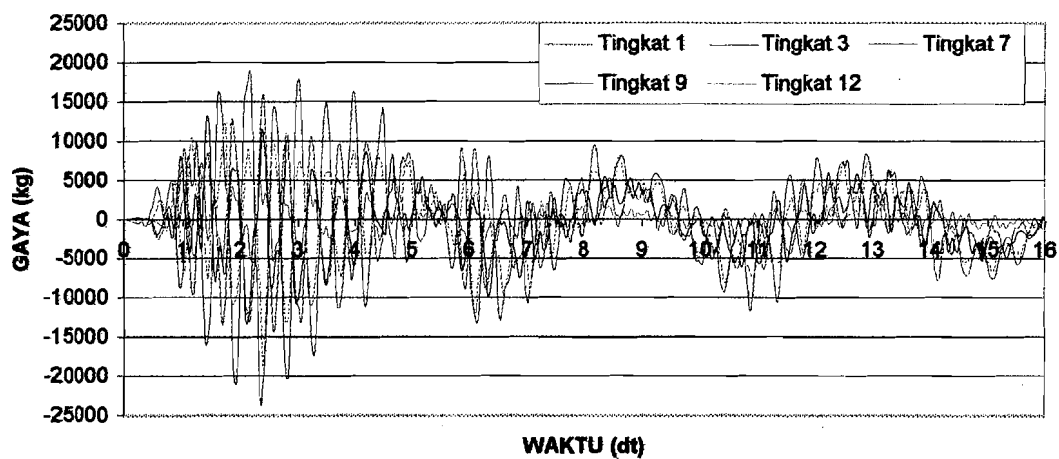
**Gambar 5.77** Gaya geser tingkat struktur 12 tk akibat gempa Elcentro  
 $kh=2E+07$ ,  $kr=4E+08$



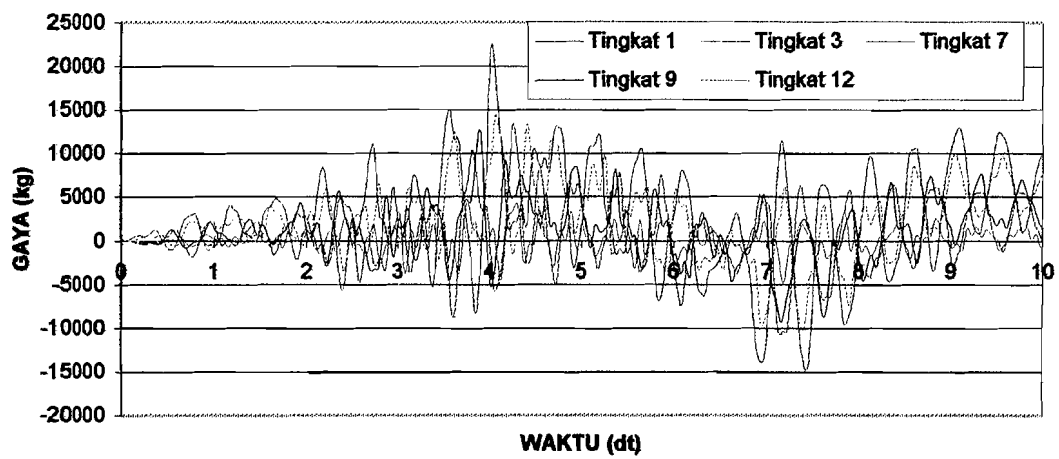
**Gambar 5.78** Gaya geser tingkat struktur 12 tk akibat gempa Koyna  
 $kh=2E+07$ ,  $kr=4E+08$



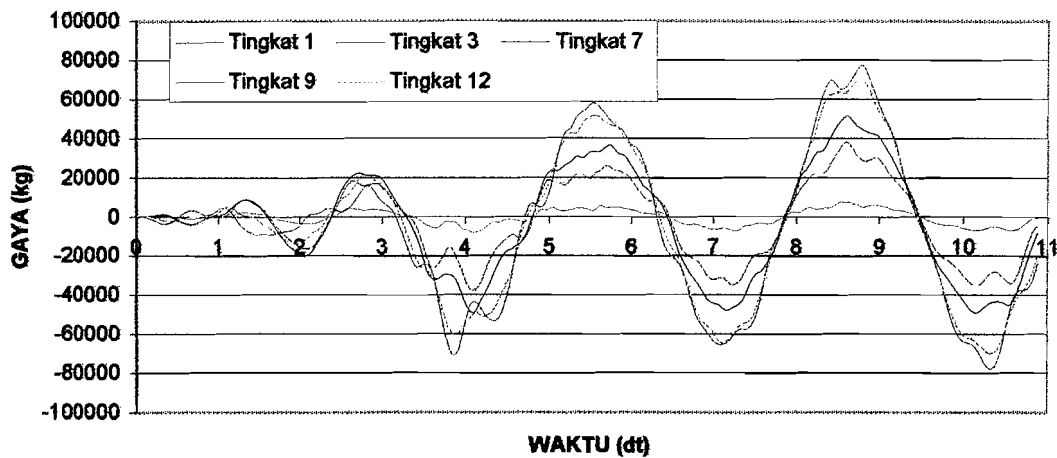
**Gambar 5.79** Gaya geser tingkat struktur 12 tk akibat gempa Bucharest  
 $kh=2E+07$ ,  $kr=2E+08$



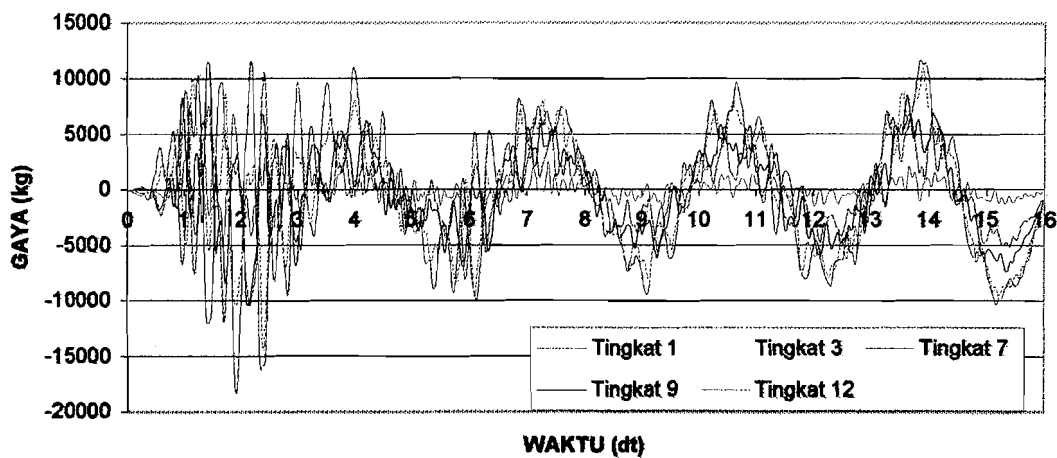
**Gambar 5.80** Gaya geser tingkat struktur 12 tk akibat gempa Elcentro  
 $kh=2E+07$ ,  $kr=2E+08$



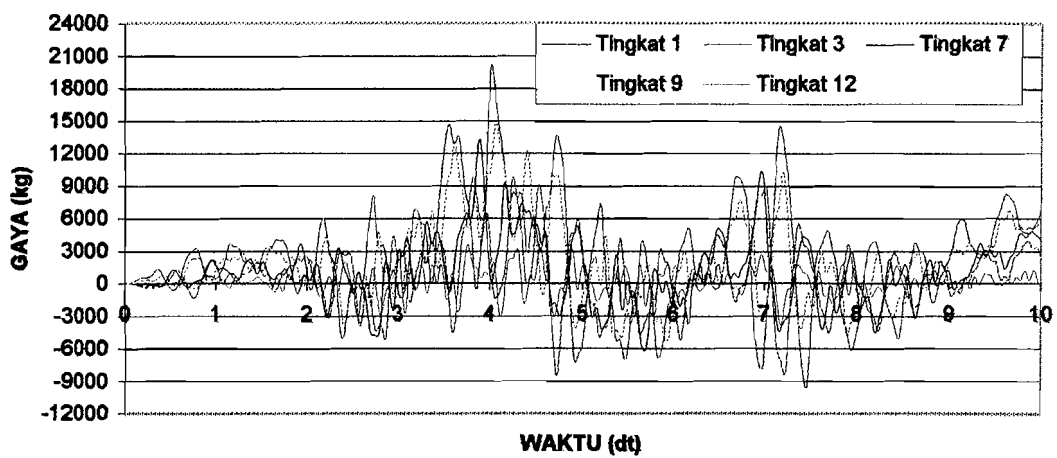
**Gambar 5.81** Gaya geser tingkat struktur 12 tk akibat gempa Koyna  
 $kh=2E+07$ ,  $kr=2E+08$



**Gambar 5.82** Gaya geser tingkat struktur 12 tk akibat gempa Bucharest  
 $kh=1E+07$ ,  $kr=4E+08$



**Gambar 5.83** Gaya geser tingkat struktur 12 tk akibat gempa Elcentro  
 $kh=1E+07$ ,  $kr=4E+08$



**Gambar 5.84** Gaya geser tingkat struktur 12 tk akibat gempa Koyna  
 $kh=1E+07$ ,  $kr=4E+08$

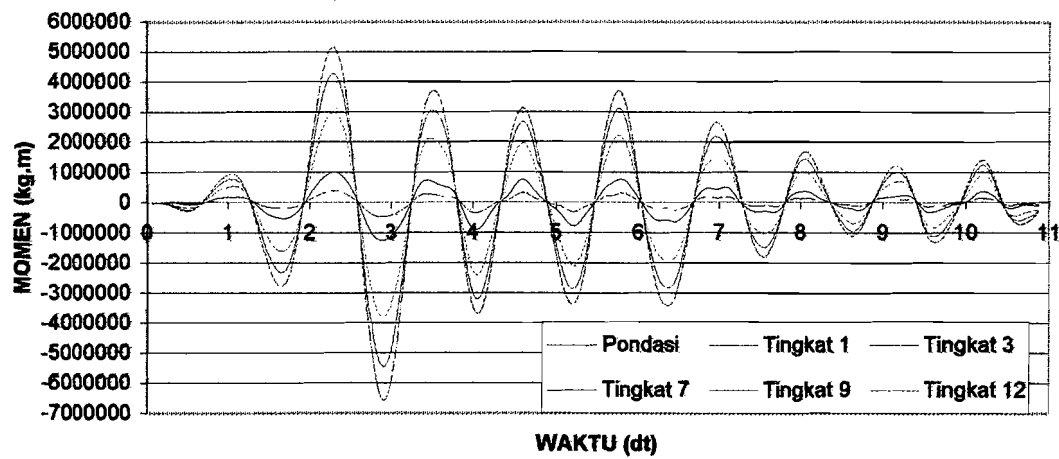
#### **5.4.8 Perhitungan Momen Guling**

Momen Guling diperoleh dengan mengalikan gaya horisontal tingkat dan tinggi tingkat yang bersangkutan. Besarnya nilai momen guling dihitung dengan :

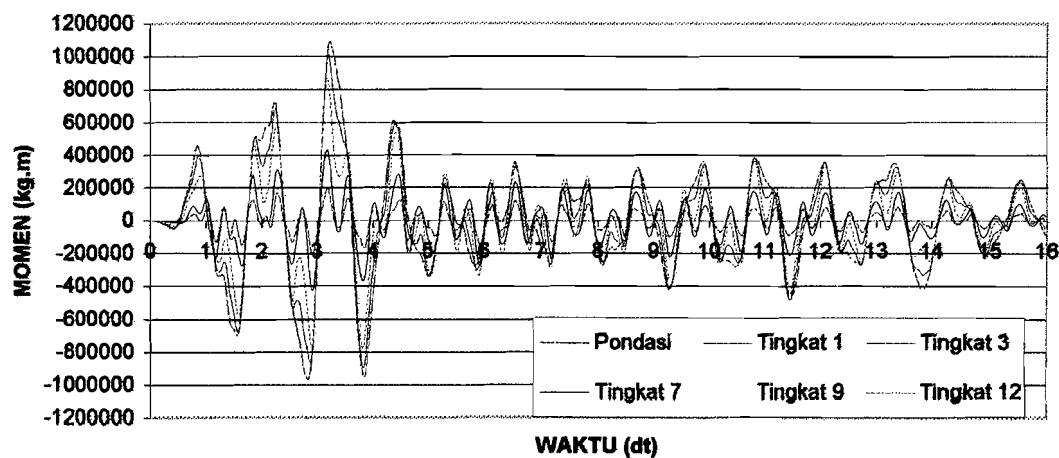
$$M_g = F_l(t)^* H \dots \quad (5.4)$$

dimana  $M_g$  dan  $F$  adalah Momen Guling dan Gaya Horisontal tingkat yang merupakan fungsi waktu sedangkan  $H$  adalah tinggi tingkat.

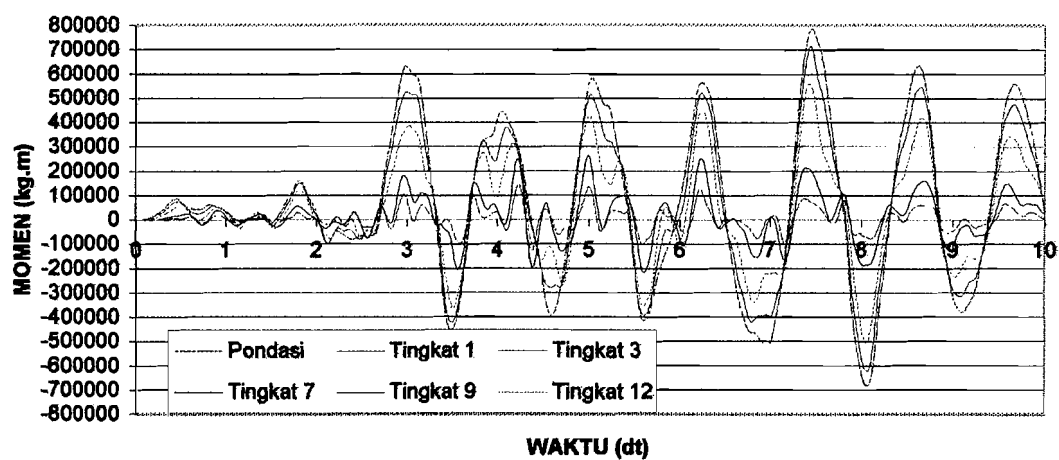
Hasil analisis ditampilkan dalam bentuk grafik antara momen guling lawan waktu, dapat dilihat pada gambar berikut :



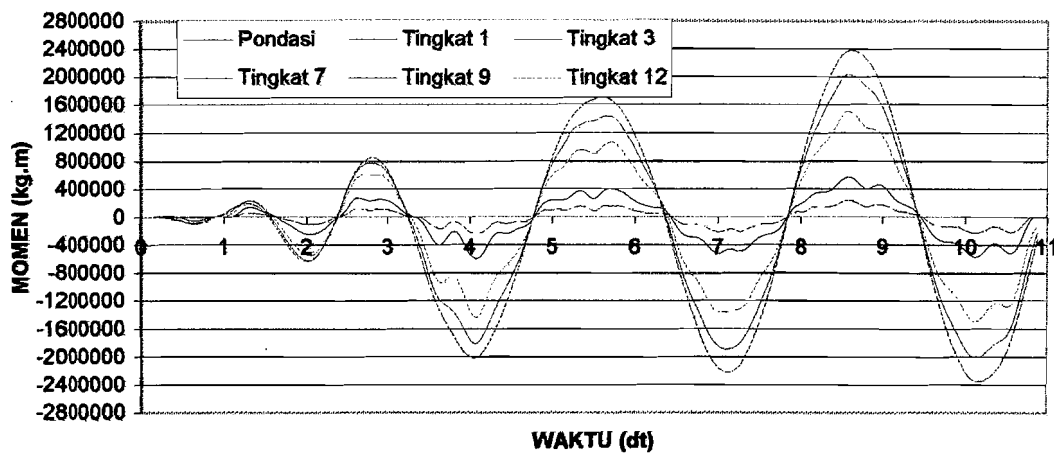
**Gambar 5.85** Momen guling struktur 12 tk akibat gempa Bucharest  
 $kh=2E+15$ ,  $kr=4E+15$



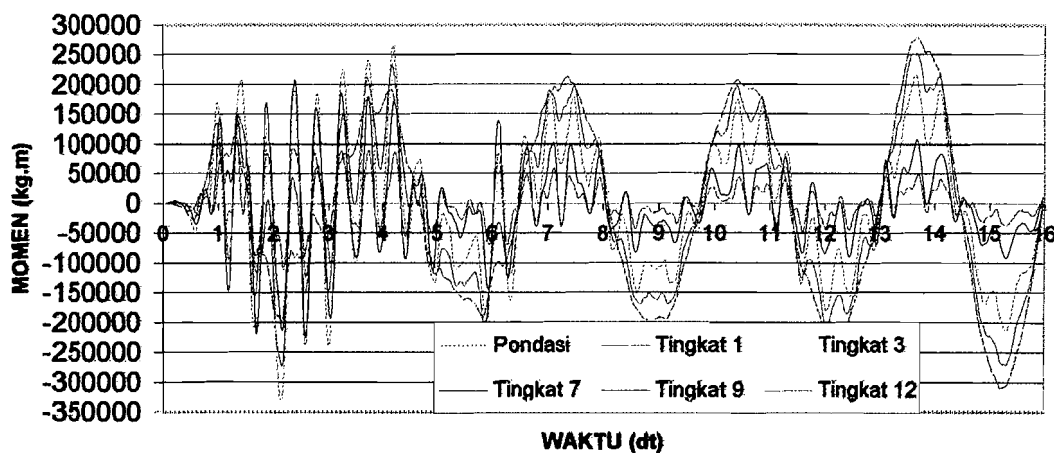
**Gambar 5.86** Momen guling struktur 12 tk akibat gempa Elcentro  
 $kh=2E+15$ ,  $kr=4E+15$



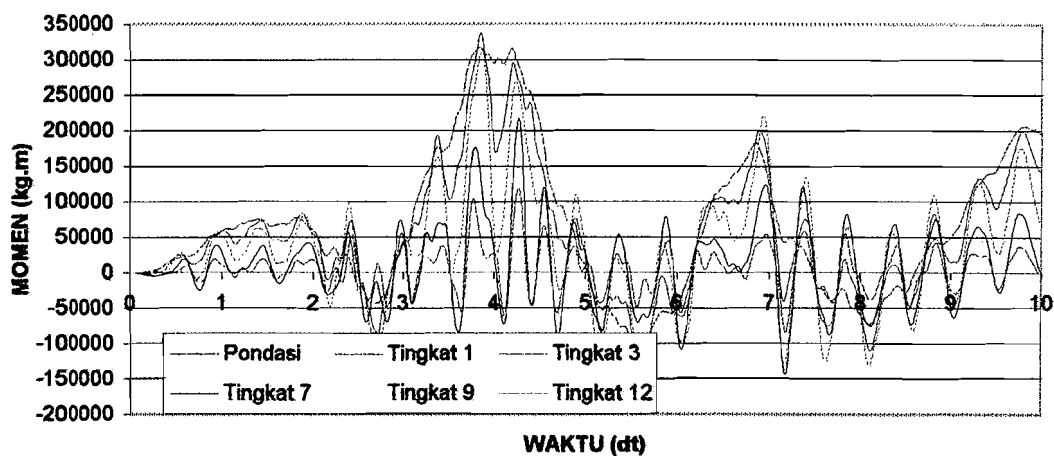
**Gambar 5.87** Momen guling struktur 12 tk akibat gempa Koyna  
 $kh=2E+15$ ,  $kr=4E+15$



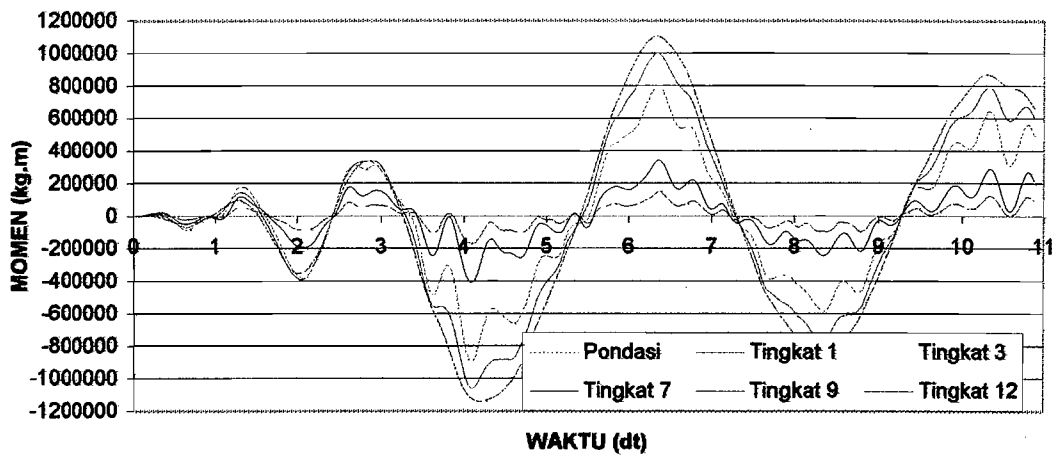
**Gambar 5.88** Momen guling struktur 12 tk akibat gempa Bucharest  
 $kh=2E+07$ ,  $kr=4E+08$



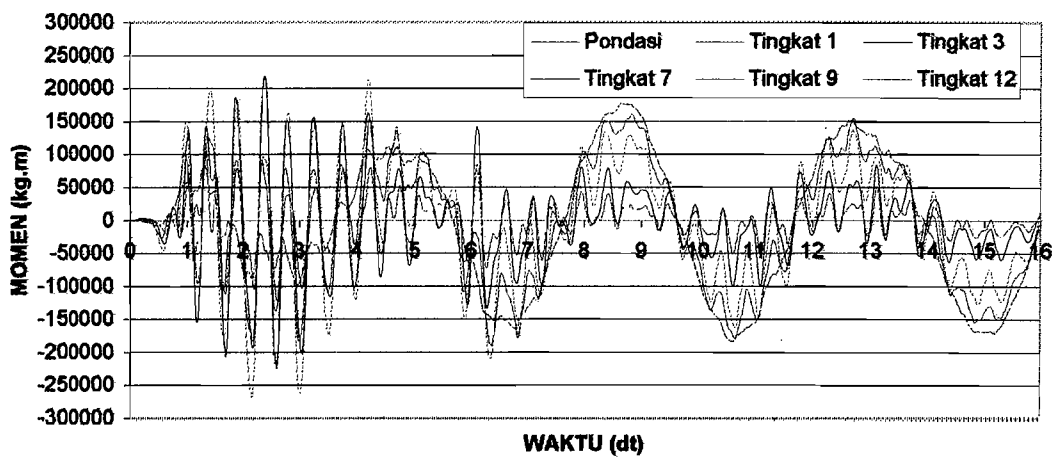
**Gambar 5.89** Momen guling struktur 12 tk akibat gempa Elcentro  
 $kh=2E+07$ ,  $kr=4E+08$



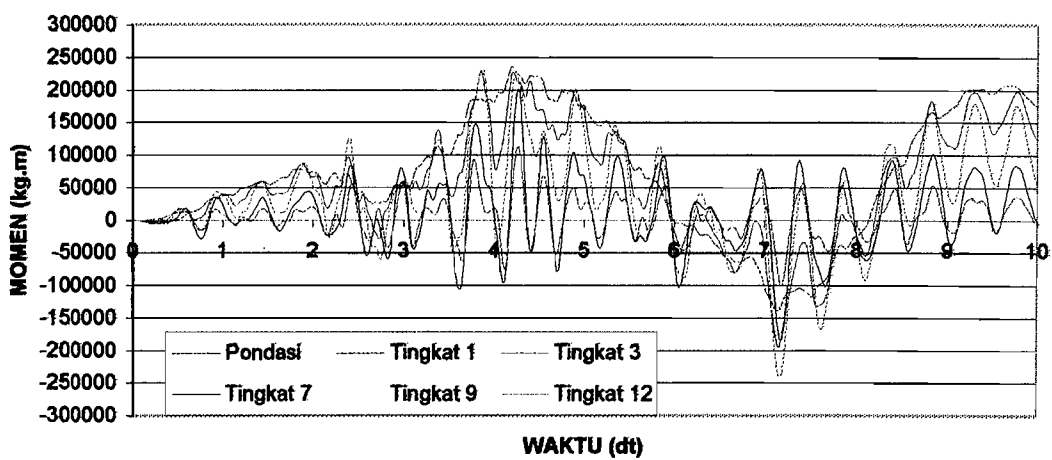
**Gambar 5.90** Momen guling struktur 12 tk akibat gempa Koyna  
 $kh=2E+07$ ,  $kr=4E+08$



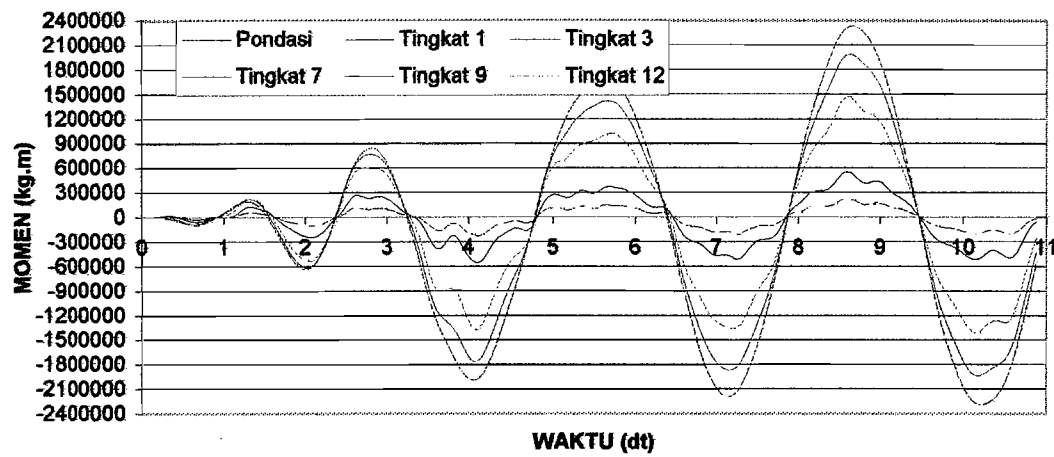
**Gambar 5.91** Momen guling struktur 12 tk akibat gempa Bucharest  
 $kh=2E+07$ ,  $kr=2E+08$



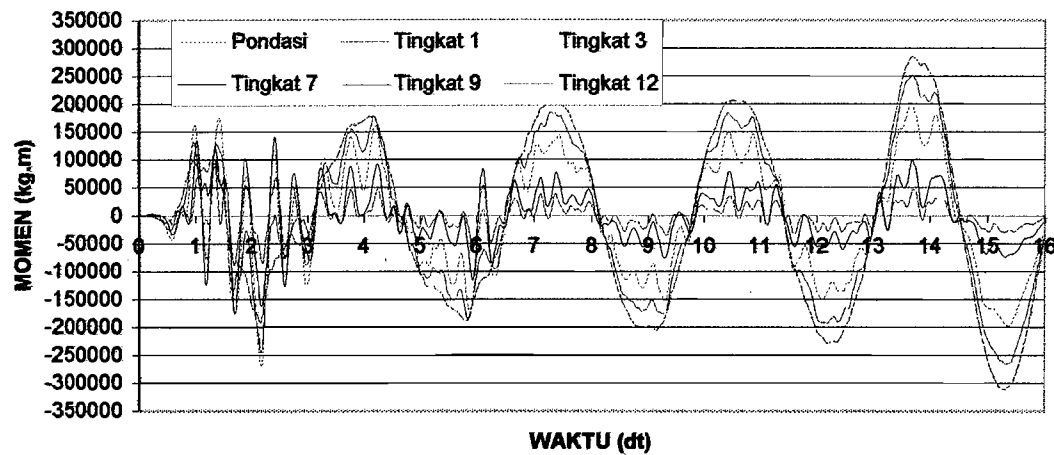
**Gambar 5.92** Momen guling struktur 12 tk akibat gempa Elcentro  
 $kh=2E+07$ ,  $kr=2E+08$



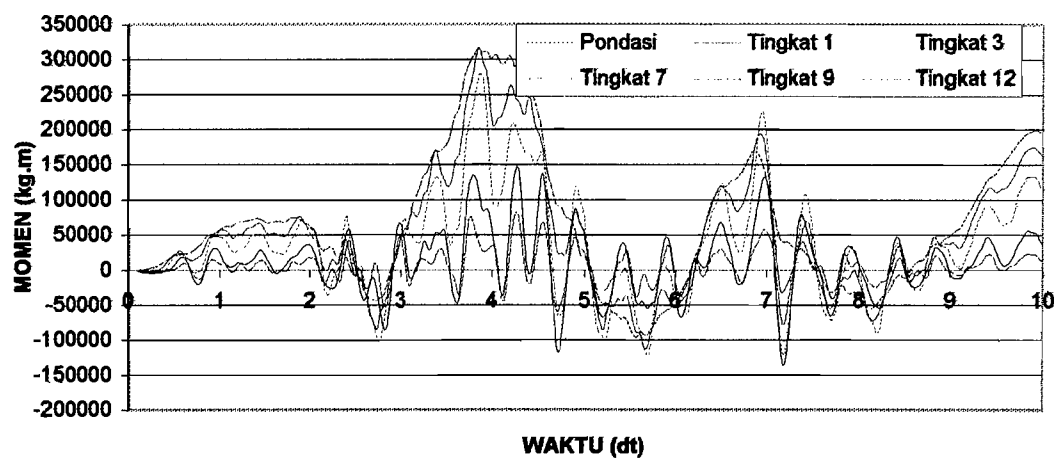
**Gambar 5.93** Momen guling struktur 12 tk akibat gempa Koyna  
 $kh=2E+07$ ,  $kr=2E+08$



**Gambar 5.94** Momen guling struktur 12 tk akibat gempa Bucharest  
 $kh=1E+07$ ,  $kr=4E+08$



**Gambar 5.95** Momen guling struktur 12 tk akibat gempa Elcentro  
 $kh=1E+07$ ,  $kr=4E+08$



**Gambar 5.96** Momen guling struktur 12 tk akibat gempa Koyna  
 $kh=1E+07$ ,  $kr=4E+08$

## 5.5 Pembahasan

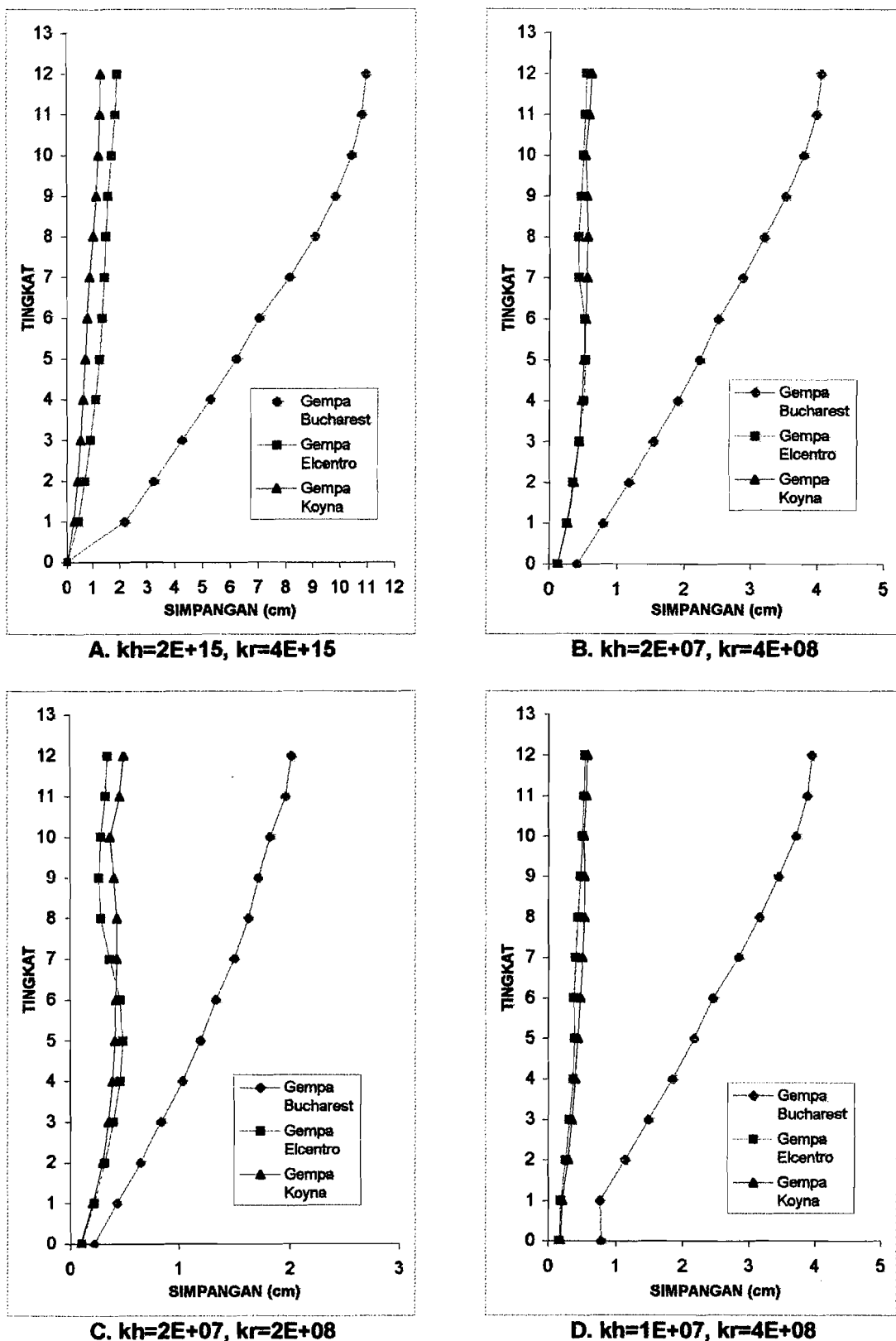
Pembahasan respon struktur yang ditinjau meliputi simpangan netto maksimum, rotasi pondasi, simpangan rotasi maksimum, simpangan total maksimum, simpangan antar tingkat maksimum, gaya horisontal tingkat maksimum, gaya geser tingkat maksimum dan momen guling maksimum akibat beban gempa Bucharest, gempa Elcentro dan gempa Koyna pada *code level*.

Nilai kekakuan horisontal tanah ( $kh$ ) dan kekakuan putar tanah ( $kr$ ) dibagi menjadi 4 jenis kombinasi. Adapun nilai-nilai  $kh$  dan  $kr$  yang dikombinasikan adalah sebagai berikut :

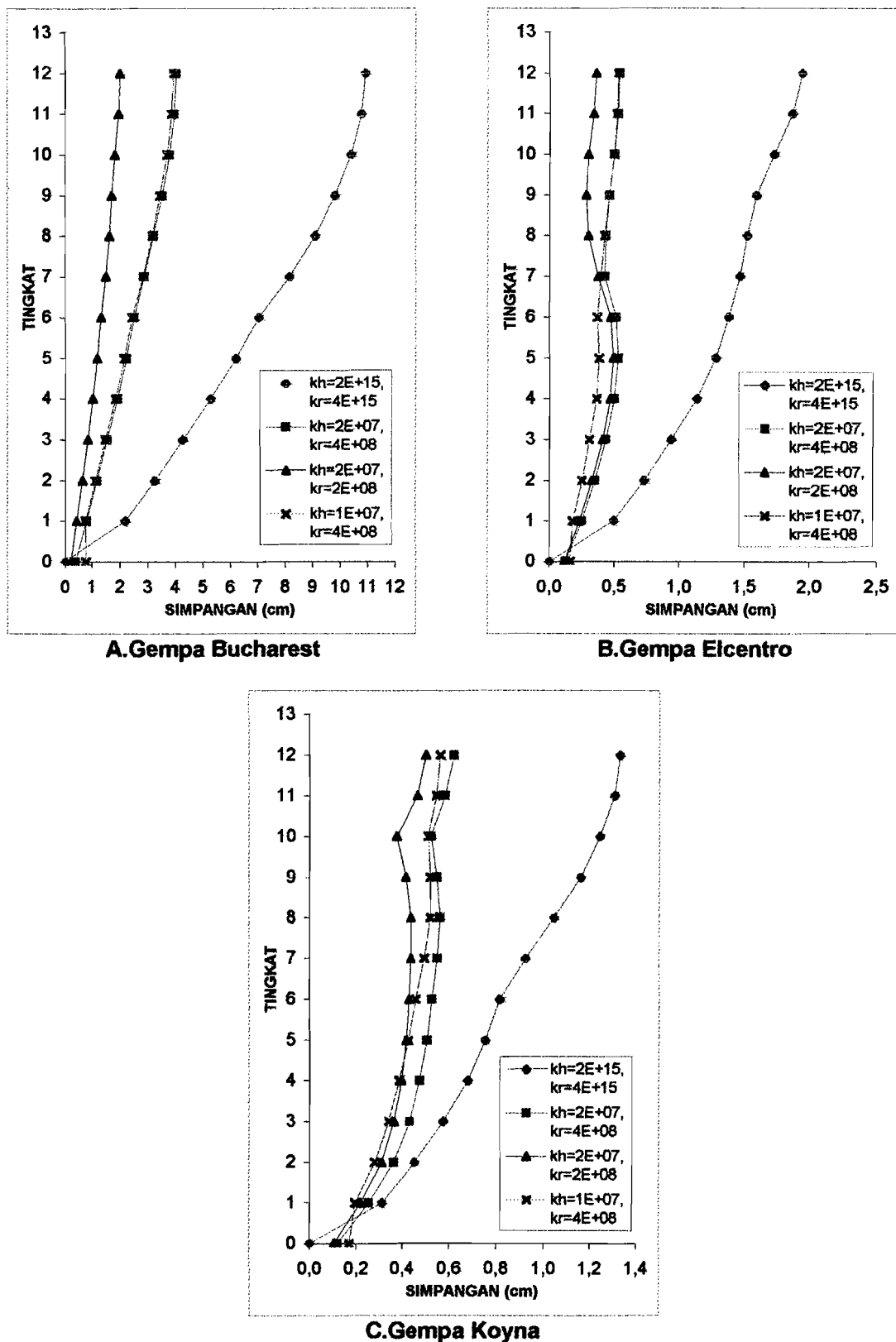
1.  $kh = 2E+15, kr = 4E+15$  (jepit penuh kombinasi I)
2.  $kh = 2E+07, kr = 4E+08$  (tidak jepit penuh kombinasi II)
3.  $kh = 2E+07, kr = 2E+08$  (tidak jepit penuh kombinasi III)
4.  $kh = 1E+07, kr = 4E+08$  (tidak jepit penuh kombinasi IV)

### 5.5.1 Simpangan Netto

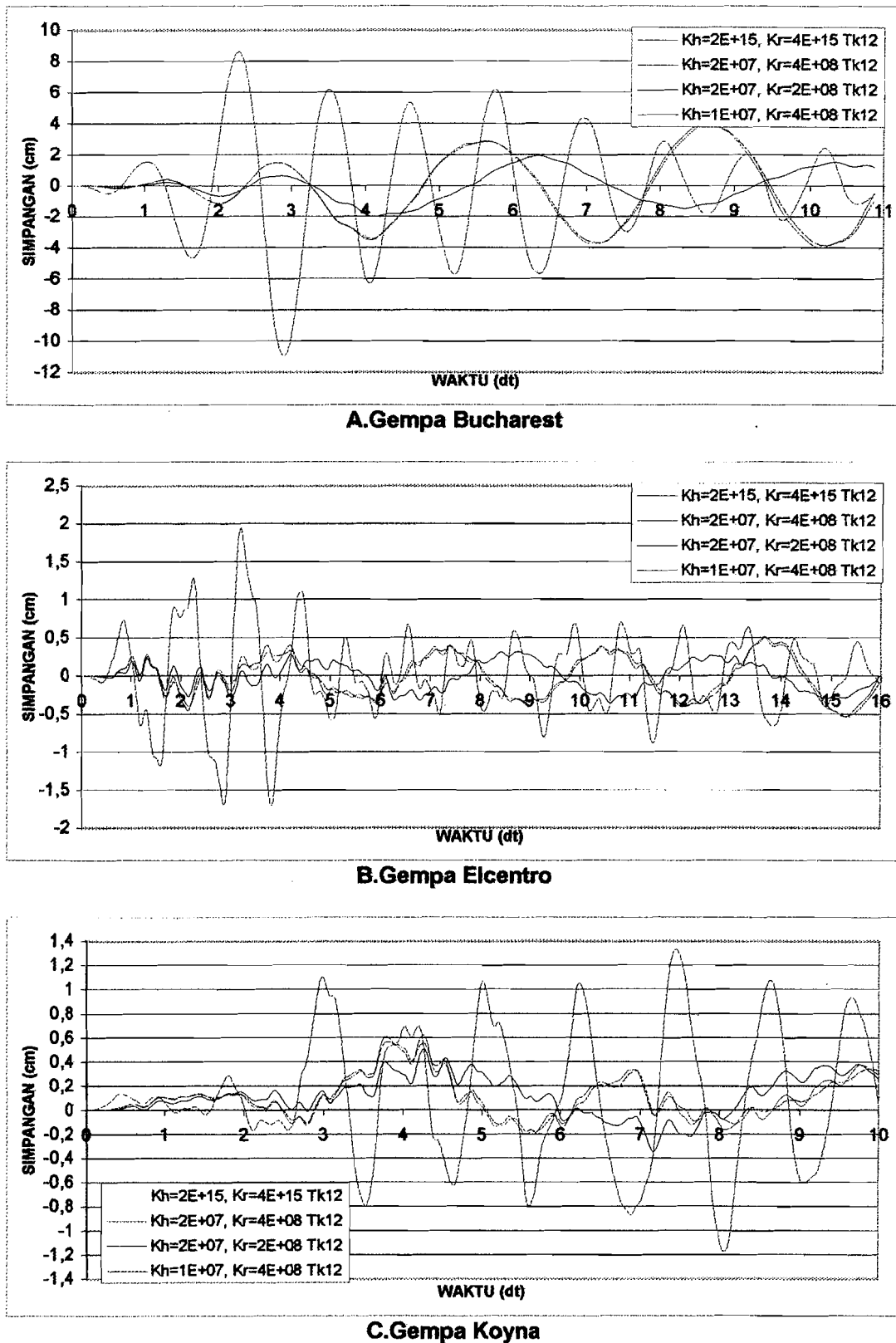
Pembahasan simpangan netto berdasarkan gambar 5.97 sampai dengan gambar 5.99 dan tabel 5.4 sampai dengan tabel 5.7 dengan 3 beban gempa dan 4 kombinasi kekakuan horisontal dan kekakuan putar tanah di bawah ini.



Gambar 5.97 Grafik simpangan netto maksimum akibat 3 gempa



Gambar 5.98 Grafik simpangan netto maksimum dengan 4 kombinasi



Gambar 5.99 Grafik simpangan netto maks dengan 4 kombinasi lawan waktu

**Tabel 5.4** Simpangan netto maksimum struktur 12 tingkat kh=2E+15, kr=4E+15

| Tingkat | Simpangan (cm)  |                |             |
|---------|-----------------|----------------|-------------|
|         | Gempa Bucharest | Gempa Elcentro | Gempa Koyna |
| 0       | 0,00000         | 0,00000        | 0,00000     |
| 1       | 2,18633         | 0,49568        | 0,31265     |
| 2       | 3,25338         | 0,73141        | 0,45575     |
| 3       | 4,25546         | 0,94120        | 0,57776     |
| 4       | 5,28540         | 1,13897        | 0,68217     |
| 5       | 6,22290         | 1,28216        | 0,75454     |
| 6       | 7,05838         | 1,37853        | 0,81514     |
| 7       | 8,16095         | 1,46491        | 0,92348     |
| 8       | 9,08774         | 1,51943        | 1,04430     |
| 9       | 9,82266         | 1,59193        | 1,16100     |
| 10      | 10,42389        | 1,72884        | 1,24440     |
| 11      | 10,79869        | 1,86547        | 1,30672     |
| 12      | 10,94285        | 1,94121        | 1,33110     |

**Tabel 5.5** Simpangan netto maksimum struktur 12 tingkat kh=2E+07, kr=4E+08

| Tingkat | Simpangan (cm)  |                |             |
|---------|-----------------|----------------|-------------|
|         | Gempa Bucharest | Gempa Elcentro | Gempa Koyna |
| 0       | 0,40803         | 0,12316        | 0,12186     |
| 1       | 0,79187         | 0,24839        | 0,25529     |
| 2       | 1,17760         | 0,34923        | 0,36213     |
| 3       | 1,53746         | 0,43306        | 0,43223     |
| 4       | 1,90305         | 0,50089        | 0,47826     |
| 5       | 2,22969         | 0,53024        | 0,50919     |
| 6       | 2,51427         | 0,51471        | 0,52996     |
| 7       | 2,88011         | 0,42533        | 0,55049     |
| 8       | 3,20325         | 0,43032        | 0,56186     |
| 9       | 3,52069         | 0,46002        | 0,54820     |
| 10      | 3,79390         | 0,49737        | 0,52536     |
| 11      | 3,97130         | 0,52590        | 0,58551     |
| 12      | 4,04173         | 0,53622        | 0,62111     |

**Tabel 5.6** Simpangan netto maksimum struktur 12 tingkat kh=2E+07, kr=2E+08

| Tingkat | Simpangan (cm)  |                |             |
|---------|-----------------|----------------|-------------|
|         | Gempa Bucharest | Gempa Elcentro | Gempa Koyna |
| 0       | 0,23158         | 0,11604        | 0,10537     |
| 1       | 0,44035         | 0,23205        | 0,21999     |
| 2       | 0,65031         | 0,32703        | 0,31062     |
| 3       | 0,84277         | 0,40905        | 0,36458     |
| 4       | 1,03226         | 0,47037        | 0,39808     |
| 5       | 1,19628         | 0,49314        | 0,41862     |
| 6       | 1,33340         | 0,47106        | 0,43122     |
| 7       | 1,50031         | 0,37399        | 0,43843     |
| 8       | 1,62755         | 0,29502        | 0,43919     |
| 9       | 1,71569         | 0,27930        | 0,41582     |
| 10      | 1,82248         | 0,29774        | 0,37718     |
| 11      | 1,95876         | 0,33718        | 0,46966     |
| 12      | 2,01734         | 0,35909        | 0,50430     |

**Tabel 5.7** Simpangan netto maksimum struktur 12 tingkat kh=1E+07, kr=4E+08

| Tingkat | Simpangan (cm)  |                |             |
|---------|-----------------|----------------|-------------|
|         | Gempa Bucharest | Gempa Elcentro | Gempa Koyna |
| 0       | 0,77703         | 0,15948        | 0,17115     |
| 1       | 0,76037         | 0,17947        | 0,19741     |
| 2       | 1,13238         | 0,25322        | 0,28254     |
| 3       | 1,48199         | 0,30732        | 0,34150     |
| 4       | 1,84085         | 0,36213        | 0,38890     |
| 5       | 2,16557         | 0,38203        | 0,42861     |
| 6       | 2,45540         | 0,36780        | 0,46187     |
| 7       | 2,83659         | 0,39310        | 0,49723     |
| 8       | 3,15971         | 0,42472        | 0,52106     |
| 9       | 3,43919         | 0,45889        | 0,52075     |
| 10      | 3,70108         | 0,49530        | 0,51311     |
| 11      | 3,87270         | 0,51901        | 0,54786     |
| 12      | 3,94336         | 0,52949        | 0,56335     |

Dari hasil grafik simpangan netto maksimum pada gambar 5.97 sampai dengan gambar 5.99 dan tabel 5.4 sampai dengan 5.7 maka,

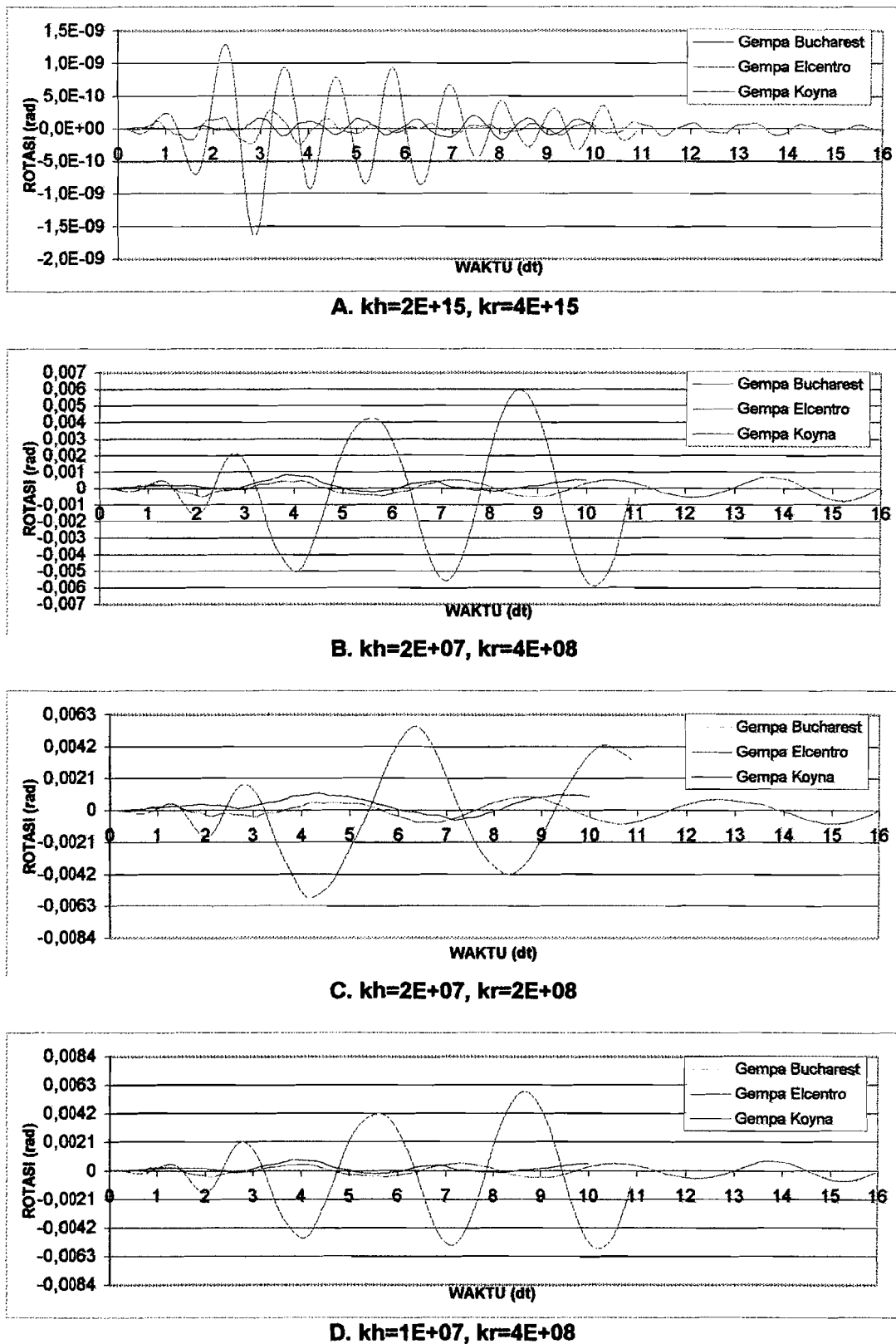
1. Simpangan netto maksimum tiap tingkat akan semakin besar pada tingkat yang lebih tinggi.

2. Simpangan pada kondisi tanah dianggap jepit penuh (*fixed*, kombinasi I) akan lebih besar dari simpangan pada struktur yang mengalami rotasi (kombinasi II, III dan IV).
3. Pondasi (lantai dasar) pada kombinasi I tidak terjadi simpangan sedangkan simpangan pondasi (lantai dasar) pada kombinasi IV akan lebih besar dari simpangan pada kombinasi II dan III.
4. Simpangan terbesar pada semua tingkat adalah simpangan akibat gempa Bucharest.
5. Untuk frekuensi gempa rendah (gempa Bucharest), perubahan nilai kekakuan horisontal tanah (kh) memberikan simpangan yang lebih besar dibanding akibat perubahan nilai kekakuan putar tanah (kr).
6. Untuk frekuensi gempa sedang (gempa Elcentro), perubahan nilai kekakuan horisontal tanah (kh) memberikan simpangan yang lebih besar pada pondasi, tingkat 7 sampai dengan tingkat 12. Sedangkan perubahan nilai kekakuan putar tanah (kr), memberikan simpangan yang lebih besar pada tingkat 1 sampai dengan tingkat 6.
7. Untuk frekuensi gempa tinggi (gempa Koyna), perubahan nilai kekakuan horisontal tanah (kh) memberikan simpangan yang lebih besar pada pondasi, tingkat 5 sampai dengan tingkat 12. Sedangkan perubahan nilai kekakuan putar tanah (kr), memberikan simpangan yang lebih besar pada tingkat 1 sampai dengan tingkat 4.

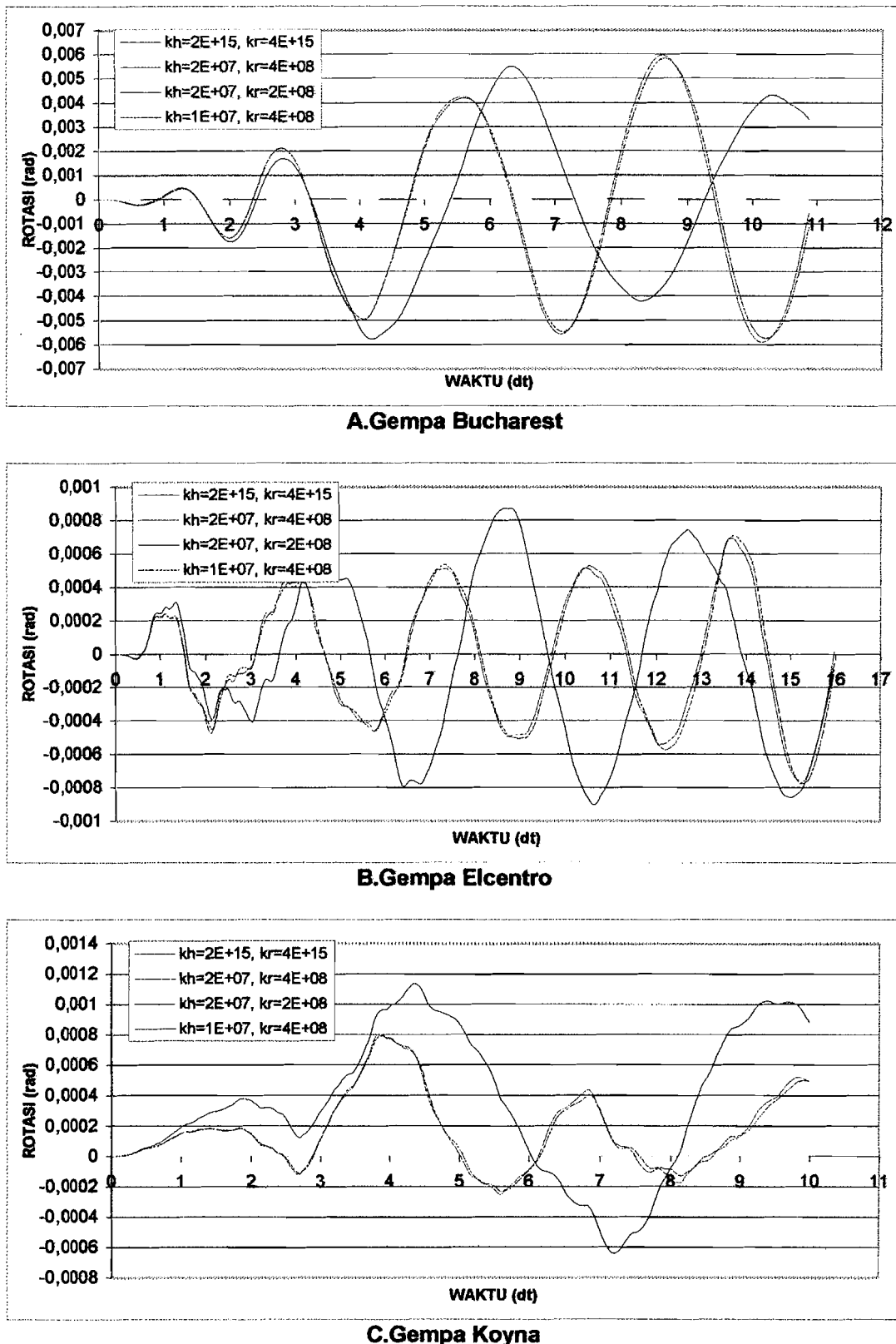
8. Perubahan nilai kekakuan putar tanah ( $k_r$ ) lebih besar mempengaruhi perubahan simpangan dibanding dengan perubahan nilai kekakuan horisontal tanah ( $k_h$ ).

### **5.5.2 Rotasi Pondasi**

Pembahasan rotasi pondasi berdasarkan gambar 5.100 sampai dengan gambar 5.101 dan tabel 5.8 dengan 3 beban gempa dan 4 kombinasi kekakuan horisontal dan kekakuan putar tanah di bawah ini.



Gambar 5.100 Grafik rotasi pondasi akibat 3 gempa



Gambar 5.101 Grafik rotasi pondasi dengan 4 kombinasi lawan waktu

**Tabel 5.8** Rotasi pondasi maksimum struktur 12 tingkat

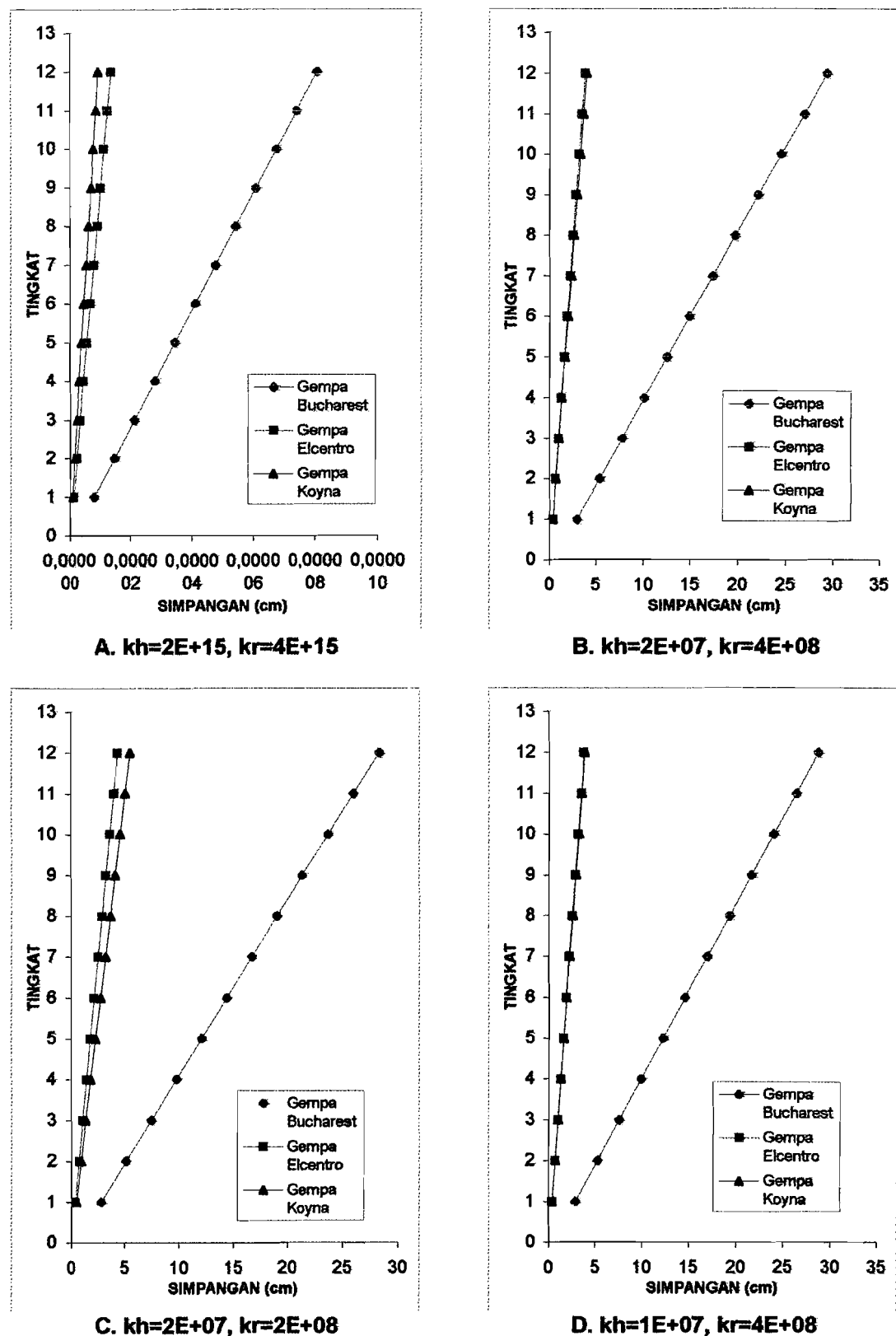
| <b>Gempa</b> | <b>Rotasi (Rad)</b>          |                              |                              |                              |
|--------------|------------------------------|------------------------------|------------------------------|------------------------------|
|              | <b>kh=2E+15<br/>kr=4E+15</b> | <b>kh=2E+07<br/>kr=4E+08</b> | <b>kh=2E+07<br/>Kr=2E+08</b> | <b>kh=1E+07<br/>kr=4E+08</b> |
| Bucharest    | 0,00000000165                | 0,00596                      | 0,00578                      | 0,00584                      |
| Elcentro     | 0,00000000028                | 0,00077                      | 0,00090                      | 0,00078                      |
| Koyna        | 0,00000000020                | 0,00080                      | 0,00114                      | 0,00079                      |

Dari hasil grafik rotasi pondasi pada gambar 5.100 dan gambar 5.101 dan tabel 5.8 maka,

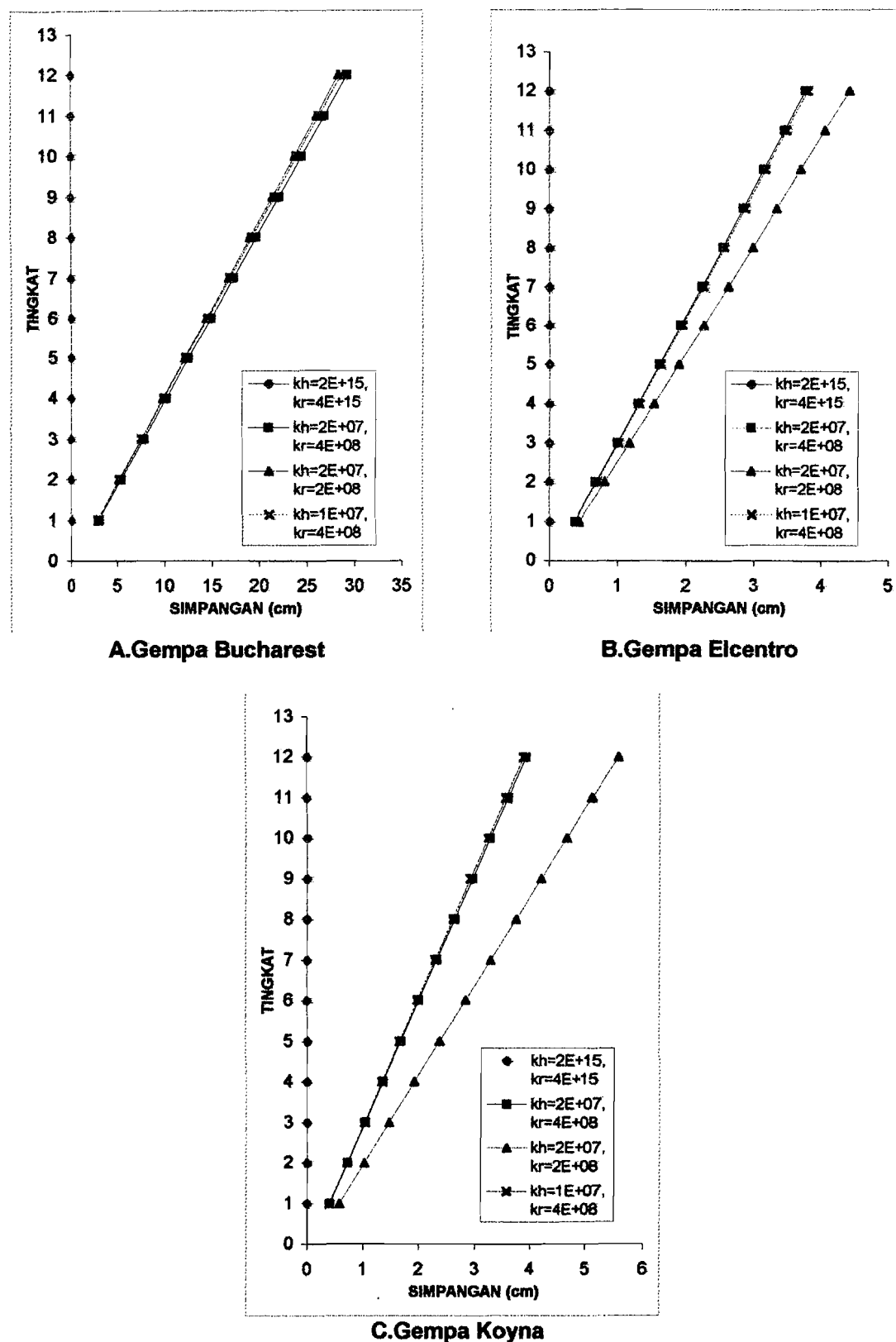
1. Sudut rotasi pada kombinasi I (tanah dianggap jepit penuh) memberikan nilai sudut paling kecil atau mendekati nol.
2. Gempa Bucharest memberikan nilai sudut rotasi paling besar dibandingkan dengan gempa Elcentro dan gempa Koyna.
3. Perubahan nilai kekakuan putar tanah (kr) lebih mempengaruhi perubahan sudut rotasi dibanding dengan perubahan nilai kekakuan horisontal tanah (kh).

### 5.5.3 Simpangan Rotasi

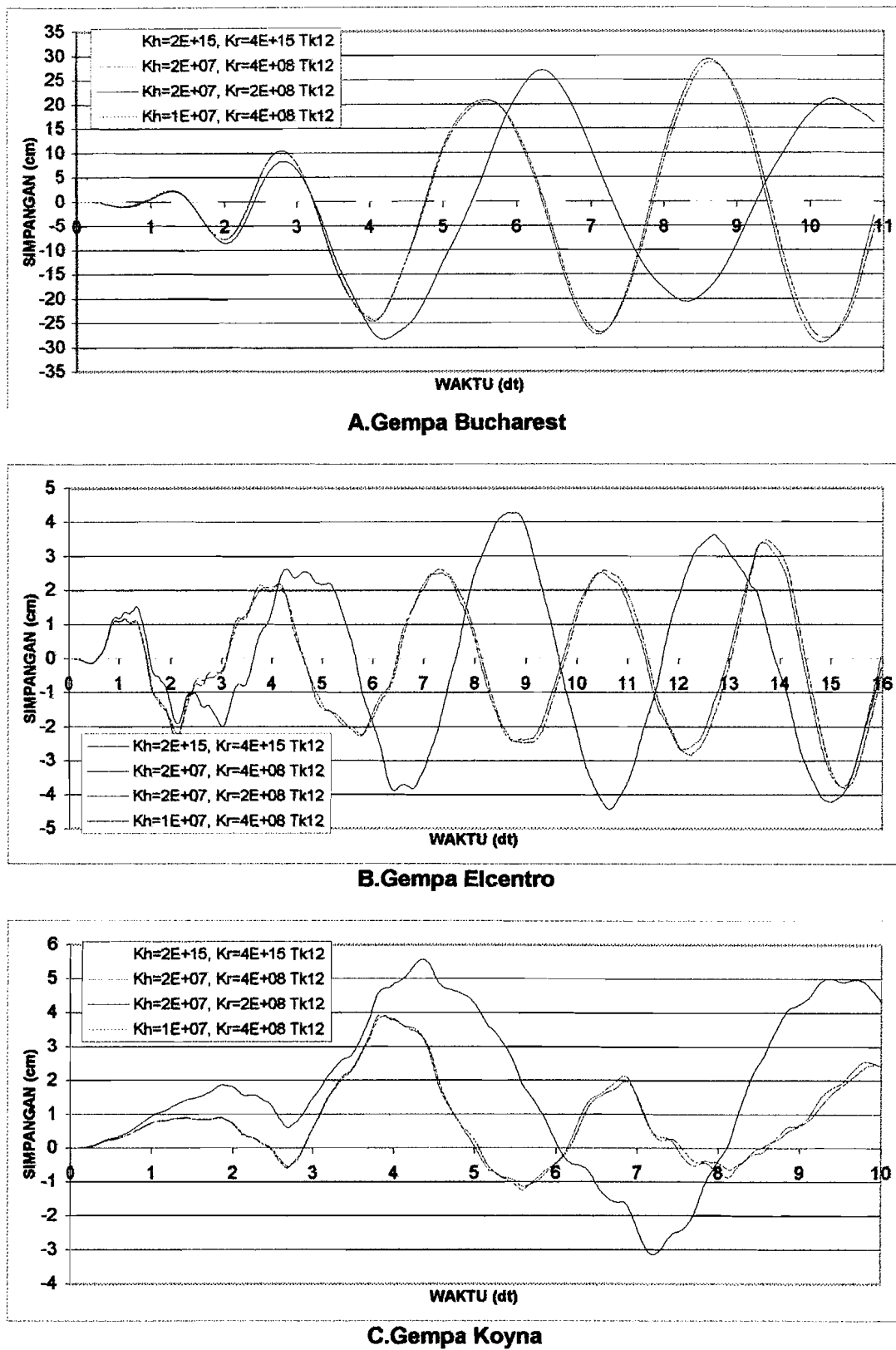
Pembahasan simpangan rotasi berdasarkan gambar 5.102 sampai dengan gambar 5.104 dan tabel 5.9 sampai dengan tabel 5.12 dengan 3 beban gempa dan 4 kombinasi kekakuan horisontal dan kekakuan putar tanah di bawah ini.



**Gambar 3.102** Grafik simpangan rotasi maksimum akibat 3 gempa



Gambar 5.103 Grafik simpangan rotasi maksimum dengan 4 kombinasi



Gambar 5.104 Grafik simpangan rotasi maks dengan 4 kombinasi lawan waktu

**Tabel 5.9** Simpangan rotasi maksimum struktur 12 tingkat kh=2E+15, kr=4E+15

| Tingkat | Simpangan (cm)  |                |             |
|---------|-----------------|----------------|-------------|
|         | Gempa Bucharest | Gempa Elcentro | Gempa Koyna |
| 1       | 8,25405E-07     | 1,41715E-07    | 9,96295E-08 |
| 2       | 1,48573E-06     | 2,55088E-07    | 1,79333E-07 |
| 3       | 2,14605E-06     | 3,68460E-07    | 2,59037E-07 |
| 4       | 2,80638E-06     | 4,81832E-07    | 3,38740E-07 |
| 5       | 3,46670E-06     | 5,95204E-07    | 4,18444E-07 |
| 6       | 4,12702E-06     | 7,08577E-07    | 4,98148E-07 |
| 7       | 4,78735E-06     | 8,21949E-07    | 5,77851E-07 |
| 8       | 5,44767E-06     | 9,35321E-07    | 6,57555E-07 |
| 9       | 6,10800E-06     | 1,04869E-06    | 7,37258E-07 |
| 10      | 6,76832E-06     | 1,16207E-06    | 8,16962E-07 |
| 11      | 7,42864E-06     | 1,27544E-06    | 8,96666E-07 |
| 12      | 8,08897E-06     | 1,38881E-06    | 9,76369E-07 |

**Tabel 5.10** Simpangan rotasi maksimum struktur 12 tingkat kh=2E+07, kr=4E+08

| Tingkat | Simpangan (cm)  |                |             |
|---------|-----------------|----------------|-------------|
|         | Gempa Bucharest | Gempa Elcentro | Gempa Koyna |
| 1       | 2,98115         | 0,38499        | 0,40119     |
| 2       | 5,36606         | 0,69298        | 0,72214     |
| 3       | 7,75098         | 1,00097        | 1,04310     |
| 4       | 10,13590        | 1,30897        | 1,36405     |
| 5       | 12,52082        | 1,61696        | 1,68500     |
| 6       | 14,90573        | 1,92495        | 2,00595     |
| 7       | 17,29065        | 2,23294        | 2,32691     |
| 8       | 19,67557        | 2,54094        | 2,64786     |
| 9       | 22,06049        | 2,84893        | 2,96881     |
| 10      | 24,44540        | 3,15692        | 3,28976     |
| 11      | 26,83032        | 3,46491        | 3,61072     |
| 12      | 29,21524        | 3,77291        | 3,93167     |

**Tabel 5.11** Simpangan rotasi maksimum struktur 12 tingkat kh=2E+07, kr=2E+08

| Tingkat | Simpangan (cm)  |                |             |
|---------|-----------------|----------------|-------------|
|         | Gempa Bucharest | Gempa Elcentro | Gempa Koyna |
| 1       | 2,89065         | 0,45161        | 0,56833     |
| 2       | 5,20317         | 0,81289        | 1,02300     |
| 3       | 7,51569         | 1,17417        | 1,47766     |
| 4       | 9,82822         | 1,53546        | 1,93233     |
| 5       | 12,14074        | 1,89674        | 2,38700     |
| 6       | 14,45326        | 2,25803        | 2,84166     |
| 7       | 16,76578        | 2,61931        | 3,29633     |
| 8       | 19,07830        | 2,98059        | 3,75099     |
| 9       | 21,39082        | 3,34188        | 4,20566     |
| 10      | 23,70334        | 3,70316        | 4,66032     |
| 11      | 26,01586        | 4,06445        | 5,11499     |
| 12      | 28,32839        | 4,42573        | 5,56966     |

**Tabel 5.12** Simpangan rotasi maksimum struktur 12 tingkat kh=1E+07, kr=4E+08

| Tingkat | Simpangan (cm)  |                |             |
|---------|-----------------|----------------|-------------|
|         | Gempa Bucharest | Gempa Elcentro | Gempa Koyna |
| 1       | 2,91767         | 0,38813        | 0,39668     |
| 2       | 5,25181         | 0,69864        | 0,71403     |
| 3       | 7,58594         | 1,00915        | 1,03138     |
| 4       | 9,92008         | 1,31965        | 1,34872     |
| 5       | 12,25422        | 1,63016        | 1,66607     |
| 6       | 14,58835        | 1,94067        | 1,98342     |
| 7       | 16,92249        | 2,25117        | 2,30076     |
| 8       | 19,25662        | 2,56168        | 2,61811     |
| 9       | 21,59076        | 2,87219        | 2,93545     |
| 10      | 23,92490        | 3,18270        | 3,25280     |
| 11      | 26,25903        | 3,49320        | 3,57015     |
| 12      | 28,59317        | 3,80371        | 3,88749     |

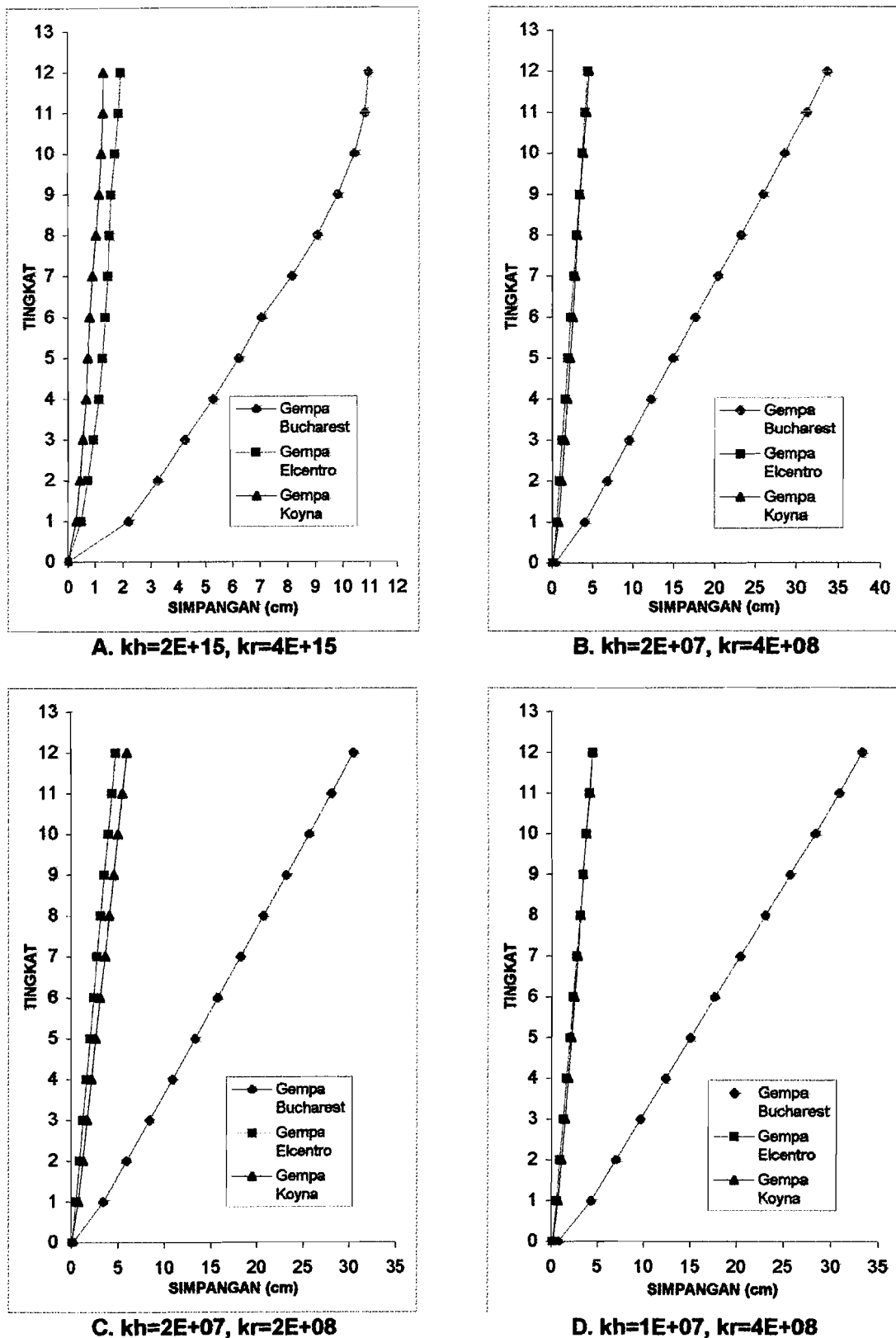
Dari hasil grafik simpangan rotasi maksimum pada gambar 5.102 sampai dengan gambar 5.104 dengan 4 kombinasi kekakuan horisontal tanah dan kekakuan putar tanah maka,

1. Gempa Bucharest memberikan simpangan akibat rotasi paling besar dibanding dengan gempa Elcentro dan gempa Koyna.

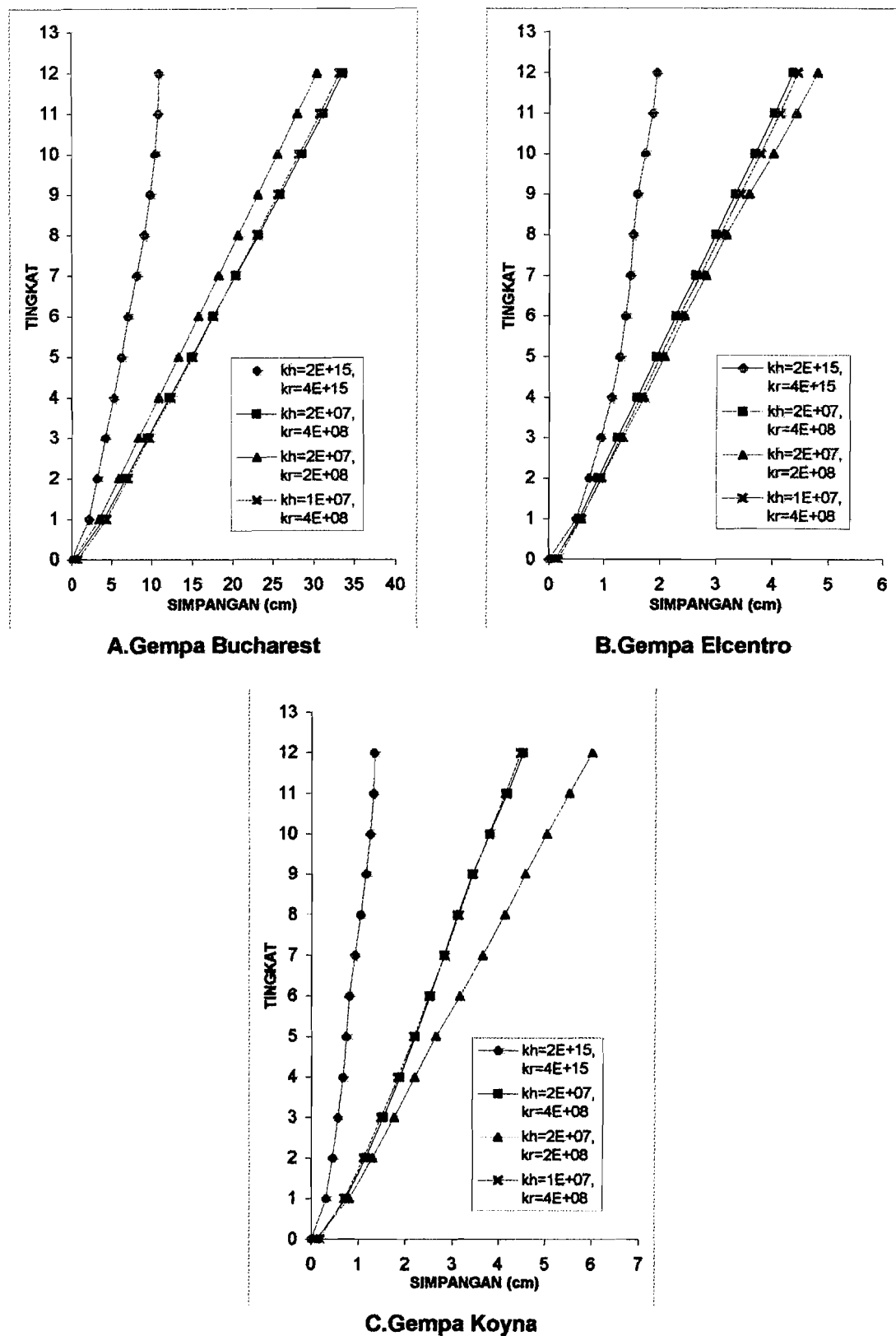
2. Simpangan akibat rotasi berbanding lurus dengan sudut rotasi dan tinggi struktur.
3. Untuk gempa Bucharest (frekuensi rendah) perubahan nilai kekakuan horisontal tanah ( $kh$ ) memberikan simpangan yang lebih besar dibanding dengan perubahan nilai kekakuan putar tanah ( $kr$ ).
4. Untuk gempa Elcentro dan gempa Koyna, perubahan nilai kekakuan putar tanah ( $kr$ ) memberikan simpangan yang lebih besar dibanding dengan perubahan nilai kekakuan horisontal tanah ( $kh$ ).
5. Perubahan nilai kekakuan putar tanah lebih besar mempengaruhi perubahan simpangan dibanding dengan perubahan nilai kekakuan horisontal tanah.

#### **5.5.4 Simpangan Total**

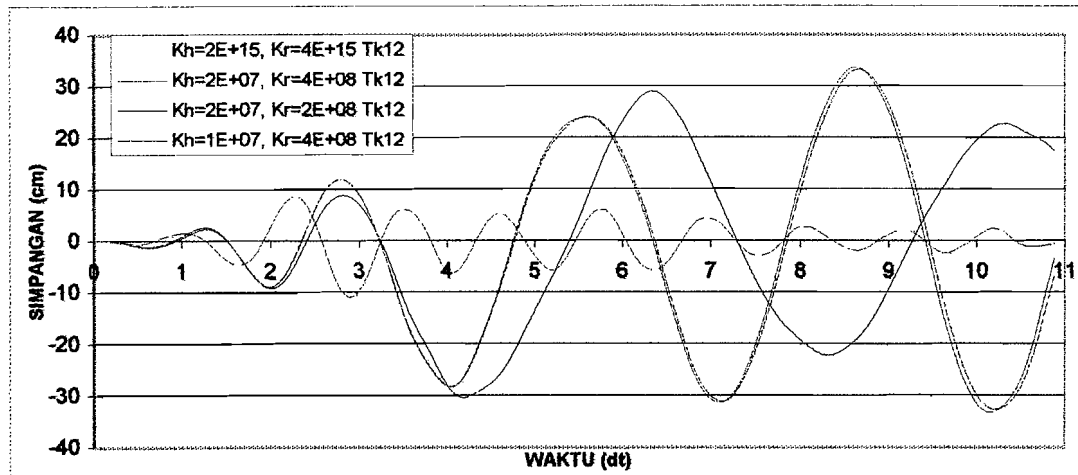
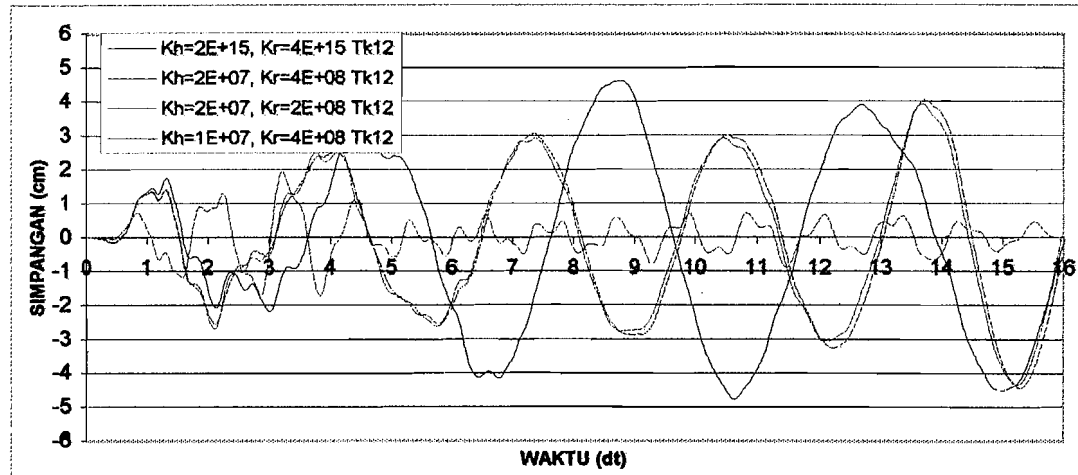
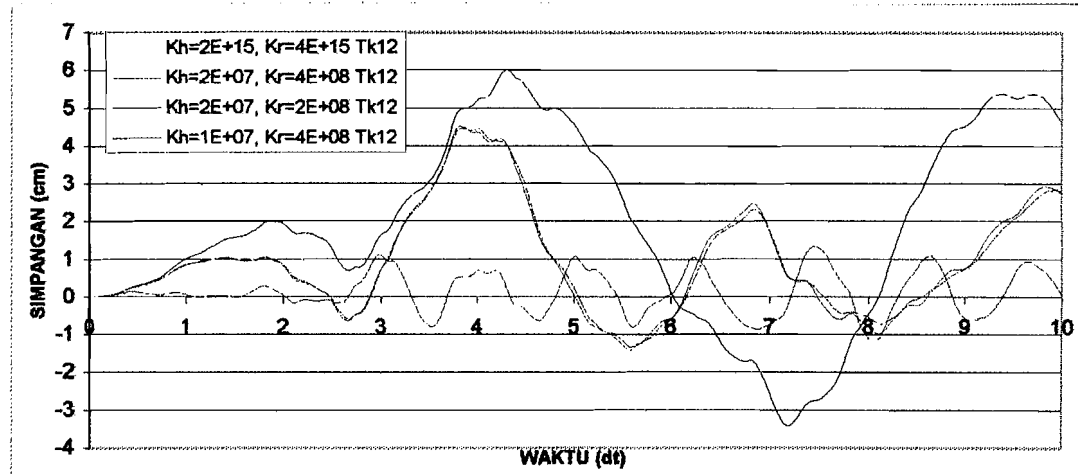
Pembahasan simpangan total berdasarkan gambar 5.105 sampai dengan gambar 5.107 dan tabel 5.13 sampai dengan tabel 5.16 dengan 3 beban gempa dan 4 kombinasi kekakuan horisontal dan kekakuan putar tanah di bawah ini.



**Gambar 5.105** Grafik simpangan total maksimum akibat 3 gempa



Gambar 5.106 Grafik simpangan total maksimum dengan 4 kombinasi

**A.Gempa Bucharest****B.Gempa Elcentro****C.Gempa Koyna**

**Gambar 5.107** Grafik simpangan total maks dengan 4 kombinasi lawan waktu

**Tabel 5.13** Simpangan total maksimum struktur 12 tingkat kh=2E+15, kr=4E+15

| Tingkat | Simpangan (cm)  |                |              |
|---------|-----------------|----------------|--------------|
|         | Gempa Bucharest | Gempa Elcentro | Gempa Koyna  |
| 0       | 0,0000000114    | 0,0000000026   | 0,0000000015 |
| 1       | 2,18633         | 0,49568        | 0,31265      |
| 2       | 3,25338         | 0,73141        | 0,45575      |
| 3       | 4,25546         | 0,94120        | 0,57776      |
| 4       | 5,28541         | 1,13897        | 0,68217      |
| 5       | 6,22290         | 1,28216        | 0,75454      |
| 6       | 7,05839         | 1,37853        | 0,81514      |
| 7       | 8,16095         | 1,46491        | 0,92348      |
| 8       | 9,08775         | 1,51943        | 1,04430      |
| 9       | 9,82267         | 1,59193        | 1,16100      |
| 10      | 10,42390        | 1,72884        | 1,24440      |
| 11      | 10,79870        | 1,86547        | 1,30673      |
| 12      | 10,94285        | 1,94121        | 1,33111      |

**Tabel 5.14** Simpangan total maksimum struktur 12 tingkat kh=2E+07, kr=4E+08

| Tingkat | Simpangan (cm)  |                |             |
|---------|-----------------|----------------|-------------|
|         | Gempa Bucharest | Gempa Elcentro | Gempa Koyna |
| 0       | 0,40803         | 0,12316        | 0,12186     |
| 1       | 4,05134         | 0,54081        | 0,74517     |
| 2       | 6,77164         | 0,89348        | 1,15892     |
| 3       | 9,48172         | 1,24065        | 1,53463     |
| 4       | 12,21238        | 1,58901        | 1,88545     |
| 5       | 14,92397        | 1,93772        | 2,21359     |
| 6       | 17,61608        | 2,28296        | 2,52487     |
| 7       | 20,43698        | 2,64245        | 2,82478     |
| 8       | 23,21406        | 2,99351        | 3,10675     |
| 9       | 25,92401        | 3,33945        | 3,42376     |
| 10      | 28,58300        | 3,68898        | 3,79879     |
| 11      | 31,14545        | 4,02486        | 4,17264     |
| 12      | 33,60080        | 4,34316        | 4,51144     |

**Tabel 5.15** Simpangan total maksimum struktur 12 tingkat kh=2E+07, kr=2E+08

| Tingkat | Simpangan (cm)  |                |             |
|---------|-----------------|----------------|-------------|
|         | Gempa Bucharest | Gempa Elcentro | Gempa Koyna |
| 0       | 0,23158         | 0,11604        | 0,10537     |
| 1       | 3,46068         | 0,57367        | 0,80819     |
| 2       | 5,92918         | 0,95038        | 1,29825     |
| 3       | 8,39030         | 1,32596        | 1,75799     |
| 4       | 10,86092        | 1,71003        | 2,20358     |
| 5       | 13,31696        | 2,08512        | 2,65211     |
| 6       | 15,75577        | 2,45250        | 3,15209     |
| 7       | 18,24056        | 2,81632        | 3,65016     |
| 8       | 20,70469        | 3,18214        | 4,11967     |
| 9       | 23,16299        | 3,58368        | 4,56561     |
| 10      | 25,62143        | 4,00253        | 5,03035     |
| 11      | 28,03626        | 4,40655        | 5,50981     |
| 12      | 30,39186        | 4,78749        | 5,99823     |

**Tabel 5.16** Simpangan total maksimum struktur 12 tingkat kh=1E+07, kr=4E+08

| Tingkat | Simpangan (cm)  |                |             |
|---------|-----------------|----------------|-------------|
|         | Gempa Bucharest | Gempa Elcentro | Gempa Koyna |
| 0       | 0,77703         | 0,15948        | 0,17115     |
| 1       | 4,35173         | 0,58232        | 0,72133     |
| 2       | 7,01005         | 0,94004        | 1,11548     |
| 3       | 9,66951         | 1,29631        | 1,48672     |
| 4       | 12,35017        | 1,65460        | 1,84333     |
| 5       | 15,00833        | 2,00786        | 2,18346     |
| 6       | 17,63959        | 2,35596        | 2,50642     |
| 7       | 20,38142        | 2,71626        | 2,82672     |
| 8       | 23,07538        | 3,07345        | 3,12880     |
| 9       | 25,71158        | 3,42668        | 3,43080     |
| 10      | 28,30679        | 3,77563        | 3,78572     |
| 11      | 30,81071        | 4,10985        | 4,12803     |
| 12      | 33,21408        | 4,42879        | 4,45450     |

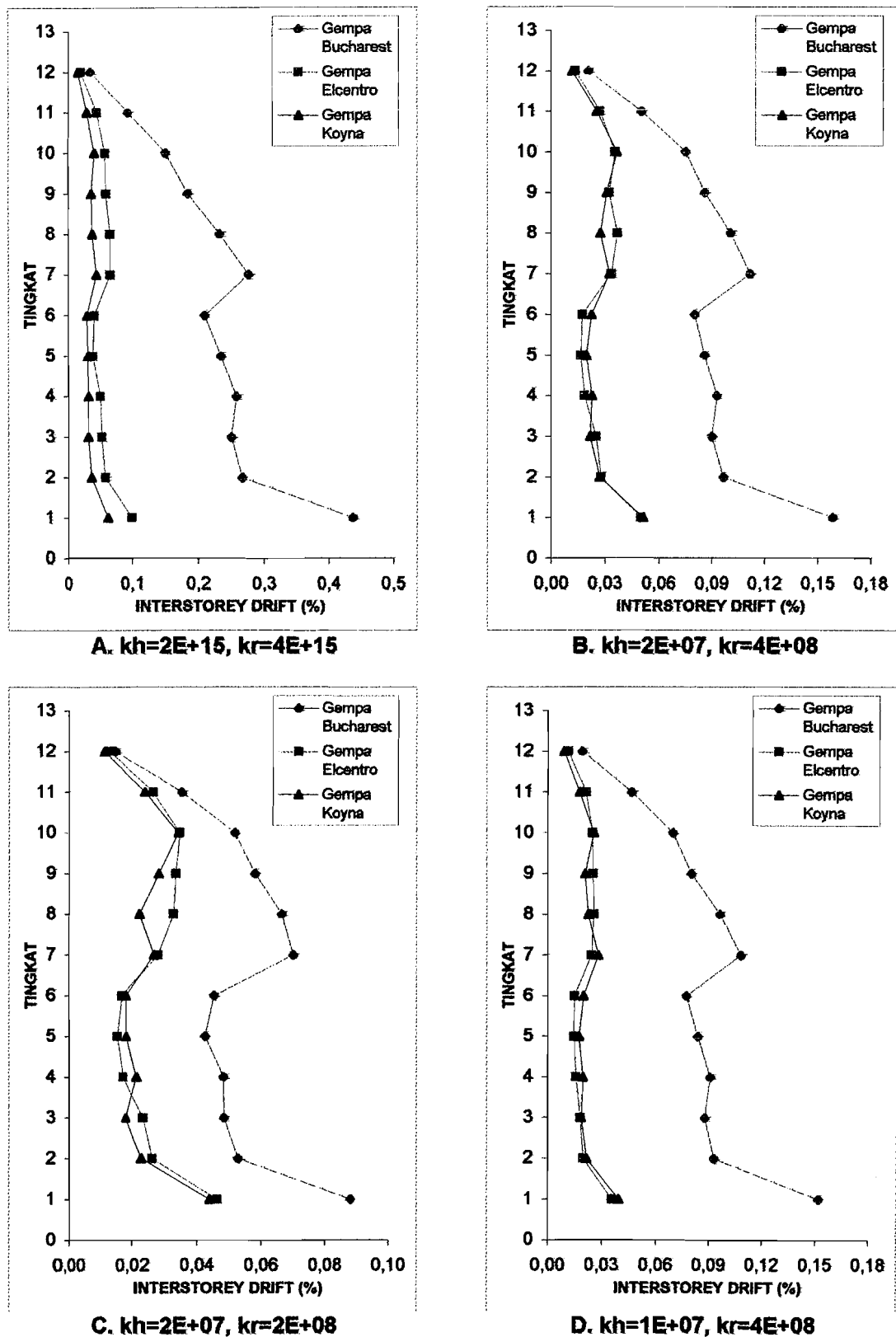
Dari hasil grafik simpangan total maksimum pada gambar 5.105 sampai dengan gambar 5.107 dan tabel 5.13 sampai dengan 5.16 maka,

1. Gempa Bucharest memberikan simpangan total yang lebih besar dibanding dengan gempa Elcentro dan gempa Koyna.

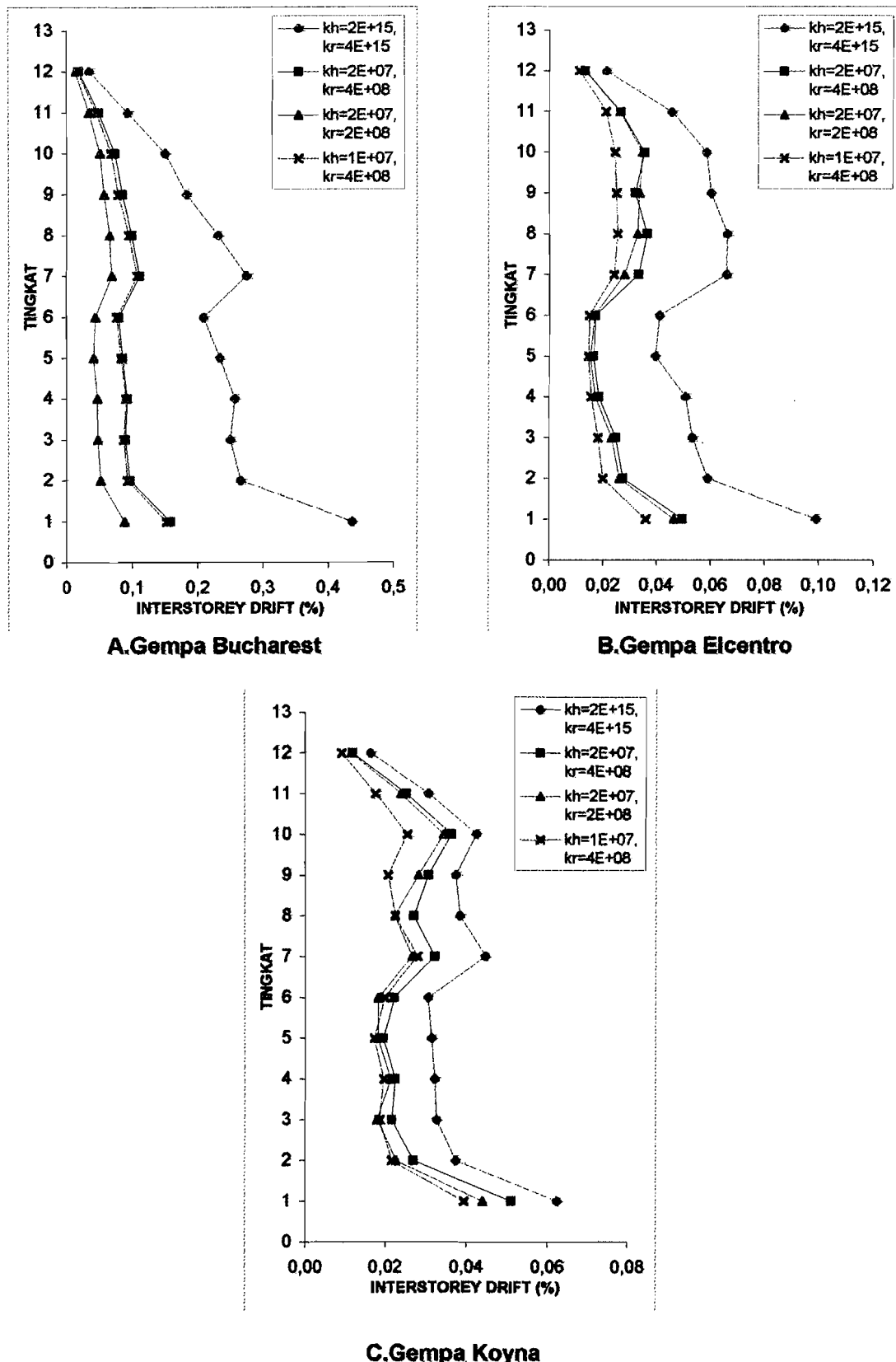
2. Simpangan total pada kombinasi I (tanah jepit penuh) lebih kecil dibanding dengan simpangan total apabila struktur mengalami rotasi (kombinasi II, III dan IV).
3. Untuk gempa frekuensi rendah (gempa Bucharest), perubahan nilai kekakuan horisontal tanah ( $kh$ ) memberikan simpangan yang lebih besar dibanding dengan perubahan nilai kekakuan putar tanah ( $kr$ ).
4. Untuk gempa frekuensi sedang dan tinggi (gempa Elcentro dan gempa Koyna), perubahan nilai kekakuan putar tanah ( $kr$ ) memberikan simpangan yang lebih besar dibanding dengan perubahan nilai kekakuan horisontal tanah ( $kh$ ).
5. Perubahan nilai kekakuan putar tanah ( $kr$ ) lebih besar mempengaruhi perubahan simpangan total dibanding dengan perubahan nilai kekakuan horisontal tanah ( $kh$ ).

#### **5.5.5 Simpangan Antar Tingkat**

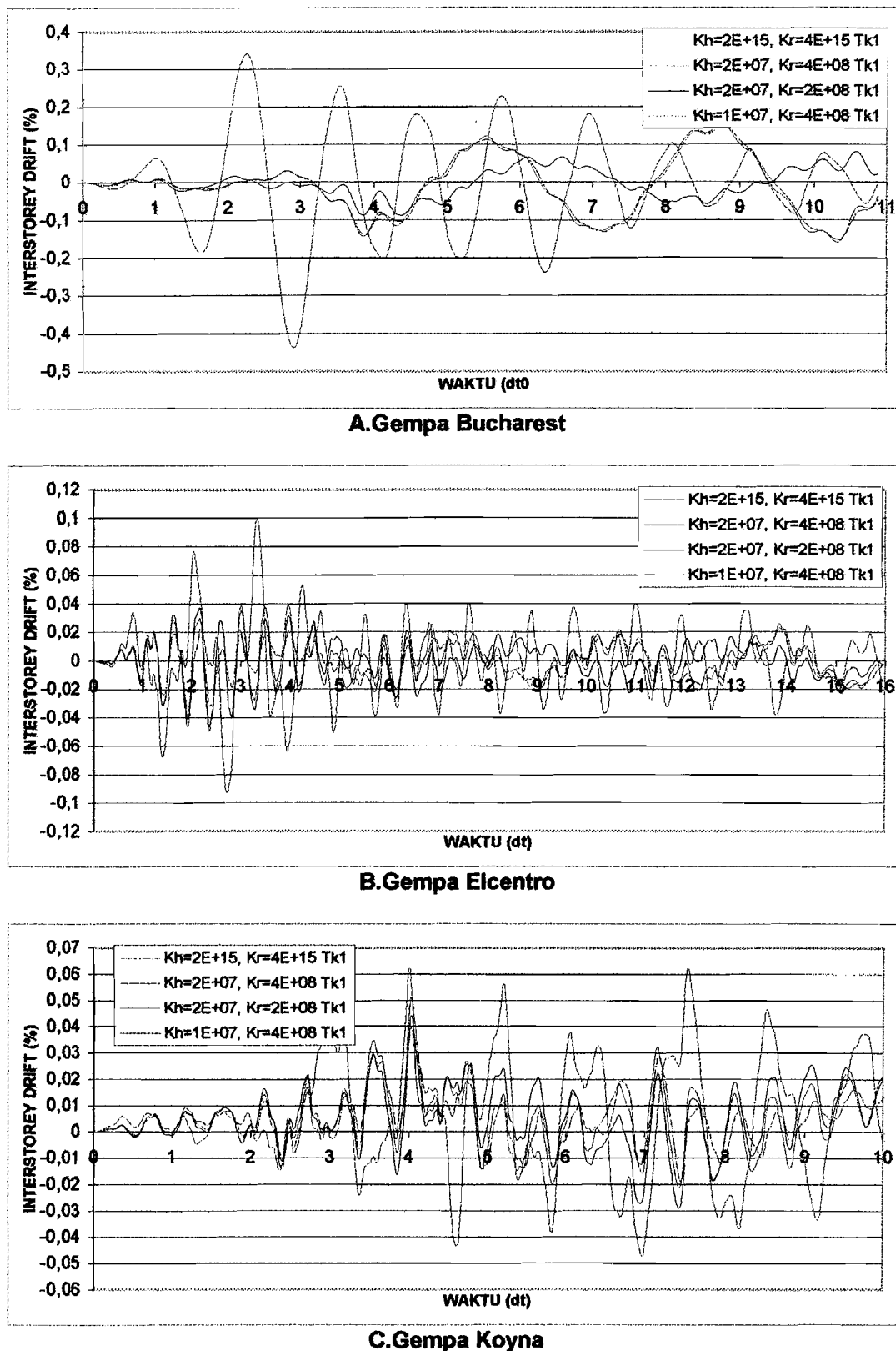
Pembahasan simpangan antar tingkat berdasarkan gambar 5.108 sampai dengan gambar 5.110 tabel 5.17 sampai dengan tabel 5.20 dengan 3 beban gempa dan 4 kombinasi kekakuan horisontal dan kekakuan putar tanah di bawah ini.



**Gambar 5.108** Grafik interstorey drift maksimum akibat 3 gempa



Gambar 5.109 Grafik simpangan antar tingkat maksimum dengan 4 kombinasi



**Gambar 5.110** Grafik simpangan antar tk maks dengan 4 kombinasi lawan waktu

**Tabel 5.17 Simpangan antar tingkat maksimum struktur 12 tingkat**

kh=2E+15, kr=4E+15

| Tingkat | Simpangan Antar Tingkat (%) |                |             |
|---------|-----------------------------|----------------|-------------|
|         | Gempa Bucharest             | Gempa Elcentro | Gempa Koyna |
| 1       | 0,43727                     | 0,09914        | 0,06253     |
| 2       | 0,26676                     | 0,05893        | 0,03746     |
| 3       | 0,25052                     | 0,05324        | 0,03275     |
| 4       | 0,25772                     | 0,05088        | 0,03233     |
| 5       | 0,23479                     | 0,03955        | 0,03152     |
| 6       | 0,20957                     | 0,04115        | 0,03065     |
| 7       | 0,27621                     | 0,06609        | 0,04465     |
| 8       | 0,23216                     | 0,06610        | 0,03828     |
| 9       | 0,18415                     | 0,06013        | 0,03730     |
| 10      | 0,15051                     | 0,05844        | 0,04234     |
| 11      | 0,09371                     | 0,04562        | 0,03062     |
| 12      | 0,03604                     | 0,02132        | 0,01638     |

**Tabel 5.18 Simpangan antar tingkat maksimum struktur 12 tingkat**

kh=2E+07, kr=4E+08

| Tingkat | Simpangan Antar Tingkat (%) |                |             |
|---------|-----------------------------|----------------|-------------|
|         | Gempa Bucharest             | Gempa Elcentro | Gempa Koyna |
| 1       | 0,15837                     | 0,04968        | 0,05106     |
| 2       | 0,09643                     | 0,02761        | 0,02703     |
| 3       | 0,08999                     | 0,02486        | 0,02170     |
| 4       | 0,09260                     | 0,01859        | 0,02257     |
| 5       | 0,08557                     | 0,01662        | 0,01947     |
| 6       | 0,07995                     | 0,01727        | 0,02233     |
| 7       | 0,11145                     | 0,03321        | 0,03219     |
| 8       | 0,10018                     | 0,03645        | 0,02711     |
| 9       | 0,08562                     | 0,03204        | 0,03062     |
| 10      | 0,07460                     | 0,03536        | 0,03626     |
| 11      | 0,04987                     | 0,02680        | 0,02515     |
| 12      | 0,02049                     | 0,01337        | 0,01177     |

**Tabel 5.19** Simpangan antar tingkat maksimum struktur 12 tingkat  
 $kh=2E+07$ ,  $kr=2E+08$

| <b>Tingkat</b> | <b>Simpangan Antar Tingkat (%)</b> |                       |                    |
|----------------|------------------------------------|-----------------------|--------------------|
|                | <b>Gempa Bucharest</b>             | <b>Gempa Elcentro</b> | <b>Gempa Koyna</b> |
| 1              | 0,08807                            | 0,04641               | 0,04400            |
| 2              | 0,05281                            | 0,02617               | 0,02279            |
| 3              | 0,04844                            | 0,02340               | 0,01807            |
| 4              | 0,04827                            | 0,01719               | 0,02144            |
| 5              | 0,04264                            | 0,01538               | 0,01823            |
| 6              | 0,04534                            | 0,01686               | 0,01823            |
| 7              | 0,06996                            | 0,02806               | 0,02675            |
| 8              | 0,06644                            | 0,03296               | 0,02245            |
| 9              | 0,05812                            | 0,03361               | 0,02824            |
| 10             | 0,05180                            | 0,03470               | 0,03431            |
| 11             | 0,03548                            | 0,02647               | 0,02398            |
| 12             | 0,01481                            | 0,01320               | 0,01143            |

**Tabel 5.20** Simpangan antar tingkat maksimum struktur 12 tingkat  
 $kh=1E+07$ ,  $kr=4E+08$

| <b>Tingkat</b> | <b>Simpangan Antar Tingkat (%)</b> |                       |                    |
|----------------|------------------------------------|-----------------------|--------------------|
|                | <b>Gempa Bucharest</b>             | <b>Gempa Elcentro</b> | <b>Gempa Koyna</b> |
| 1              | 0,15207                            | 0,03589               | 0,03948            |
| 2              | 0,09300                            | 0,02002               | 0,02159            |
| 3              | 0,08784                            | 0,01819               | 0,01865            |
| 4              | 0,09087                            | 0,01579               | 0,01968            |
| 5              | 0,08376                            | 0,01473               | 0,01742            |
| 6              | 0,07716                            | 0,01481               | 0,01985            |
| 7              | 0,10801                            | 0,02416               | 0,02799            |
| 8              | 0,09594                            | 0,02554               | 0,02253            |
| 9              | 0,07979                            | 0,02503               | 0,02061            |
| 10             | 0,06940                            | 0,02463               | 0,02550            |
| 11             | 0,04641                            | 0,02119               | 0,01758            |
| 12             | 0,01912                            | 0,01127               | 0,00909            |

Dari hasil grafik simpangan antar tingkat maksimum pada gambar 5.108 sampai dengan gambar 5.110 dan tabel 5.17 sampai dengan 5.20 maka,

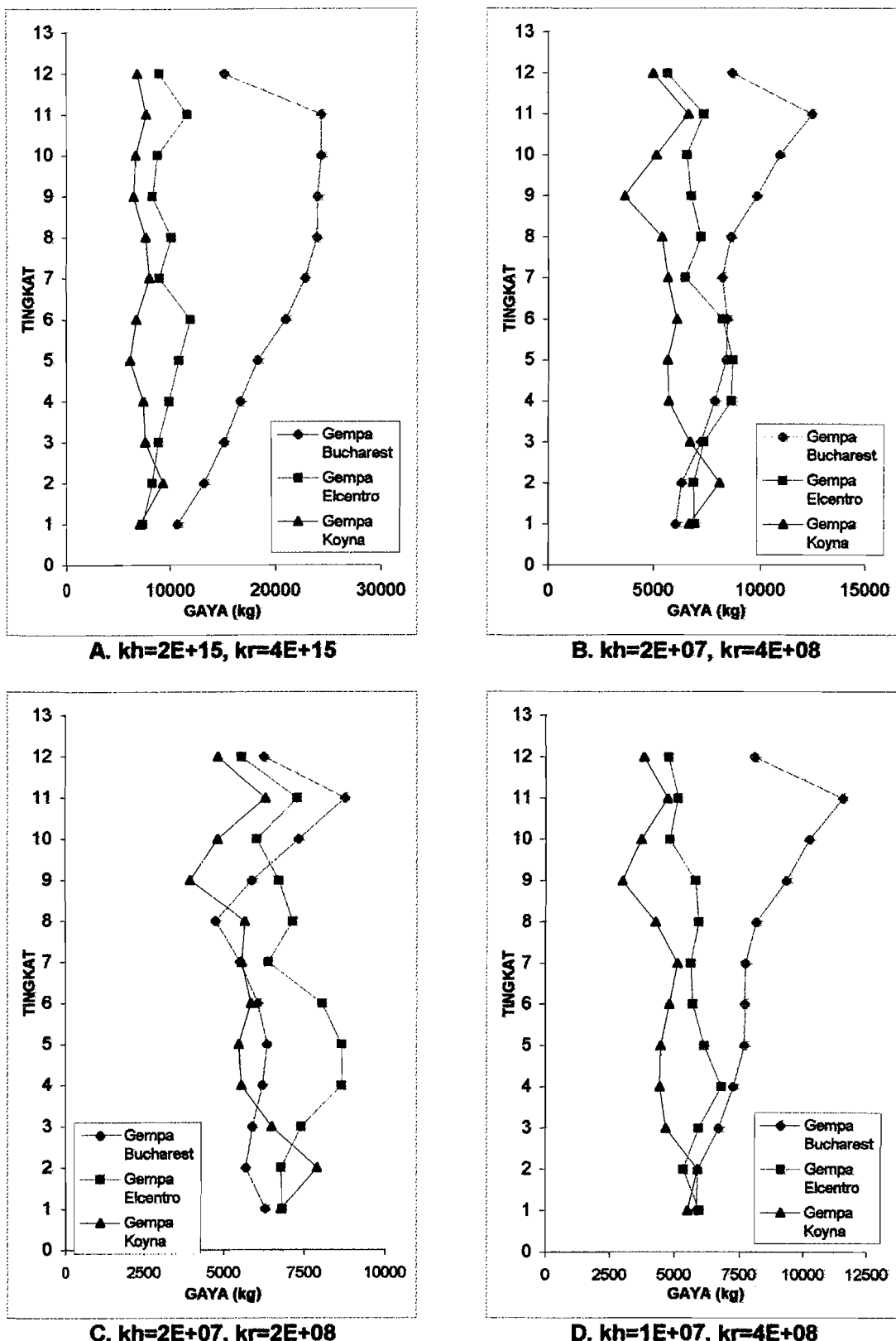
1. Simpangan antar tingkat akan bertambah besar sesuai dengan penurunan kekakuan yang terjadi, serta pada kekakuan yang

sama simpangan antar tingkat akan mengalami penurunan untuk tingkat yang lebih tinggi.

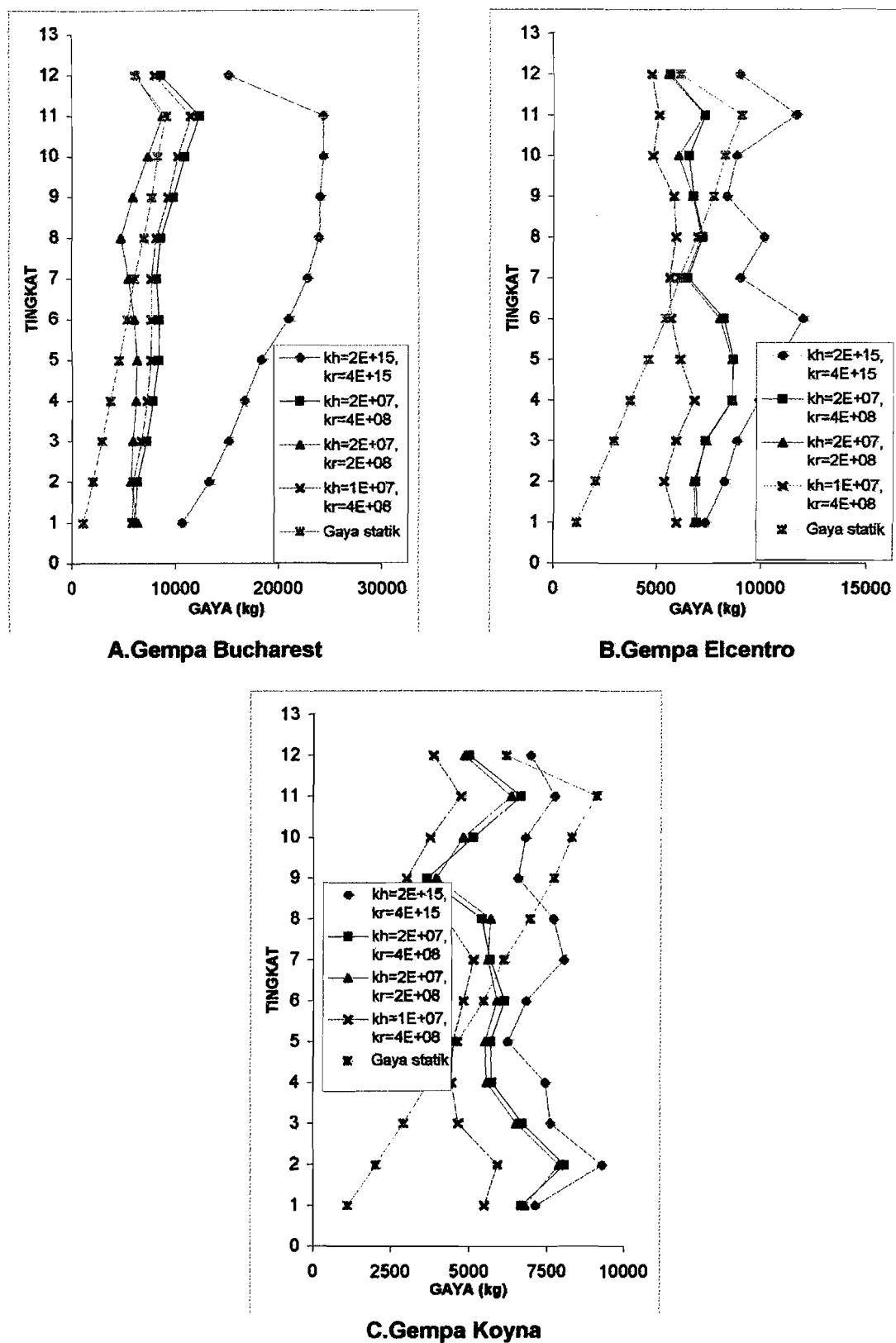
2. Simpangan antar tingkat pada kombinasi I (tanah jepit penuh), simpangan antar tingkat maksimum terjadi pada tingkat 1 berlaku untuk gempa frekuensi rendah, frekuensi sedang dan frekuensi tinggi.
3. Simpangan antar tingkat pada kondisi tanah jepit penuh (kombinasi I) lebih besar dibanding dengan simpangan antar tingkat apabila struktur mengalami rotasi.
4. Perubahan nilai kekakuan putar tanah ( $kr$ ) lebih besar mempengaruhi perubahan simpangan antar tingkat dibanding dengan perubahan nilai kekakuan horisontal tanah ( $kh$ ).

#### **5.5.6 Gaya Horisontal Tingkat**

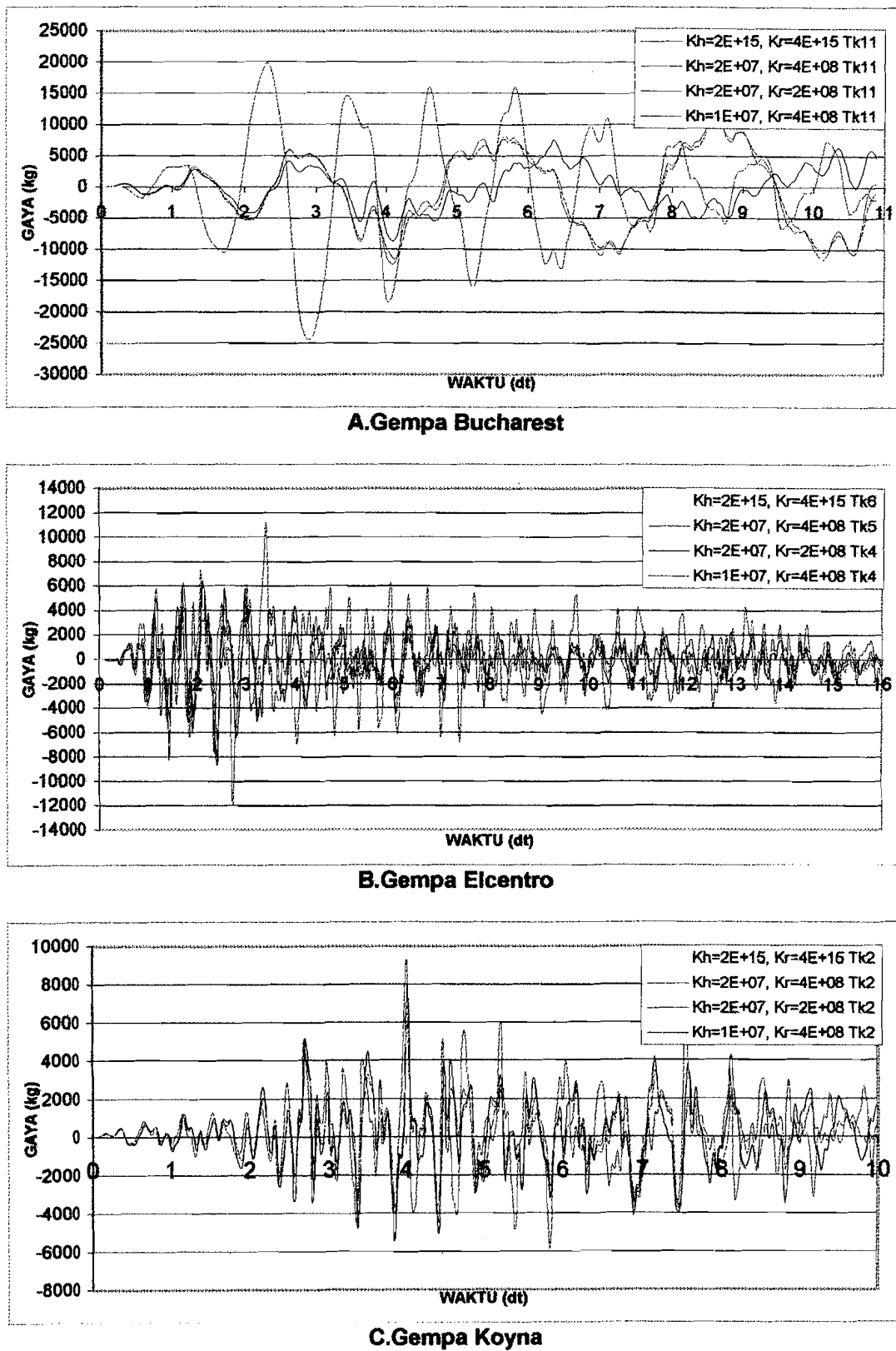
Pembahasan grafik gaya horisontal tingkat berdasarkan gambar 5.111 sampai dengan gambar 5.113 dan tabel 5.21 sampai dengan tabel 5.24 dengan 3 beban gempa dan 4 kombinasi kekakuan horisontal dan kekakuan putar tanah serta gaya horisontal akibat beban gempa statik (diambil dari tugas akhir Utama Sahala K. S) di bawah ini.



Gambar 5.111 Grafik gaya horisontal tingkat maksimum akibat 3 gempa



**Gambar 5.112** Grafik gaya horisontal tingkat maksimum dengan 4 kombinasi



**Gambar 5.113** Grafik gaya horisontal tk maks dengan 4 kombinasi lawan waktu

**Tabel 5.21** Gaya horisontal tingkat maksimum struktur 12 tingkat

kh=2E+15, kr=4E+15

| Tingkat | Gaya Horisontal Tingkat (Kg) |                |             |
|---------|------------------------------|----------------|-------------|
|         | Gempa Bucharest              | Gempa Elcentro | Gempa Koyna |
| 1       | 10658,78534                  | 7352,92950     | 7120,83356  |
| 2       | 13205,10759                  | 8265,81154     | 9287,00014  |
| 3       | 15156,84149                  | 8858,41985     | 7605,48688  |
| 4       | 16727,18122                  | 9903,52883     | 7432,21490  |
| 5       | 18390,24666                  | 10854,08677    | 6203,59611  |
| 6       | 20987,92462                  | 11985,72509    | 6796,79310  |
| 7       | 22822,09552                  | 9015,10768     | 8038,74197  |
| 8       | 23946,50016                  | 10154,65603    | 7683,62446  |
| 9       | 24017,78462                  | 8367,16006     | 6535,31495  |
| 10      | 24375,99729                  | 8835,37194     | 6776,38931  |
| 11      | 24375,99729                  | 11651,47840    | 7727,11162  |
| 12      | 15221,61238                  | 9003,73182     | 6920,44894  |

**Tabel 5.22** Gaya horisontal tingkat maksimum struktur 12 tingkat

kh=2E+07, kr=4E+08

| Tingkat | Gaya Horisontal Tingkat (Kg) |                |             |
|---------|------------------------------|----------------|-------------|
|         | Gempa Bucharest              | Gempa Elcentro | Gempa Koyna |
| 1       | 6028,97988                   | 6908,49082     | 6660,37351  |
| 2       | 6304,72929                   | 6874,00078     | 8066,02017  |
| 3       | 7198,97503                   | 7339,85063     | 6685,93734  |
| 4       | 7861,00145                   | 8637,75743     | 5701,16499  |
| 5       | 8392,24074                   | 8687,31942     | 5649,91037  |
| 6       | 8445,14513                   | 8228,30894     | 6093,93101  |
| 7       | 8191,75799                   | 6473,85788     | 5656,39094  |
| 8       | 8603,99170                   | 7186,24748     | 5389,84711  |
| 9       | 9810,85422                   | 6736,83067     | 3653,25098  |
| 10      | 10919,61074                  | 6539,62602     | 5119,70259  |
| 11      | 12417,37378                  | 7318,94839     | 6610,75091  |
| 12      | 8655,33470                   | 5648,53383     | 4972,78788  |

**Tabel 5.23** Gaya horisontal tingkat maksimum struktur 12 tingkat

kh=2E+07, kr=2E+08

| Tingkat | Gaya Horisontal Tingkat (Kg) |                |             |
|---------|------------------------------|----------------|-------------|
|         | Gempa Bucharest              | Gempa Elcentro | Gempa Koyna |
| 1       | 6307,84569                   | 6827,54871     | 6779,28996  |
| 2       | 5692,20246                   | 6784,70519     | 7888,21950  |
| 3       | 5890,35965                   | 7400,49128     | 6483,75197  |
| 4       | 6197,51676                   | 8652,90042     | 5553,24184  |
| 5       | 6343,18955                   | 8629,66103     | 5477,10914  |
| 6       | 6058,69242                   | 8049,47323     | 5852,36496  |
| 7       | 5518,53891                   | 6389,40972     | 5571,32181  |
| 8       | 4742,82050                   | 7127,82813     | 5667,63960  |
| 9       | 5877,43731                   | 6708,26485     | 3941,59332  |
| 10      | 7310,81301                   | 6038,97539     | 4804,43565  |
| 11      | 8743,40617                   | 7274,97490     | 6296,59139  |
| 12      | 6254,28410                   | 5575,83513     | 4826,94744  |

**Tabel 5.24** Gaya horisontal tingkat maksimum struktur 12 tingkat

kh=1E+07, kr=4E+08

| Tingkat | Gaya Horisontal Tingkat (Kg) |                |             |
|---------|------------------------------|----------------|-------------|
|         | Gempa Bucharest              | Gempa Elcentro | Gempa Koyna |
| 1       | 5834,26981                   | 5954,96104     | 5495,89335  |
| 2       | 5894,86127                   | 5353,33657     | 5897,14242  |
| 3       | 6699,14456                   | 5932,00899     | 4657,82004  |
| 4       | 7267,81148                   | 6806,95396     | 4435,79085  |
| 5       | 7676,41030                   | 6136,31510     | 4462,86314  |
| 6       | 7708,50790                   | 5694,76617     | 4797,43771  |
| 7       | 7723,15480                   | 5631,77426     | 5117,48853  |
| 8       | 8140,42555                   | 5924,07952     | 4269,24360  |
| 9       | 9313,97406                   | 5800,05132     | 3002,37533  |
| 10      | 10219,08726                  | 4817,93018     | 3750,61277  |
| 11      | 11526,83893                  | 5125,75956     | 4725,96860  |
| 12      | 8077,62474                   | 4760,77554     | 3839,78221  |

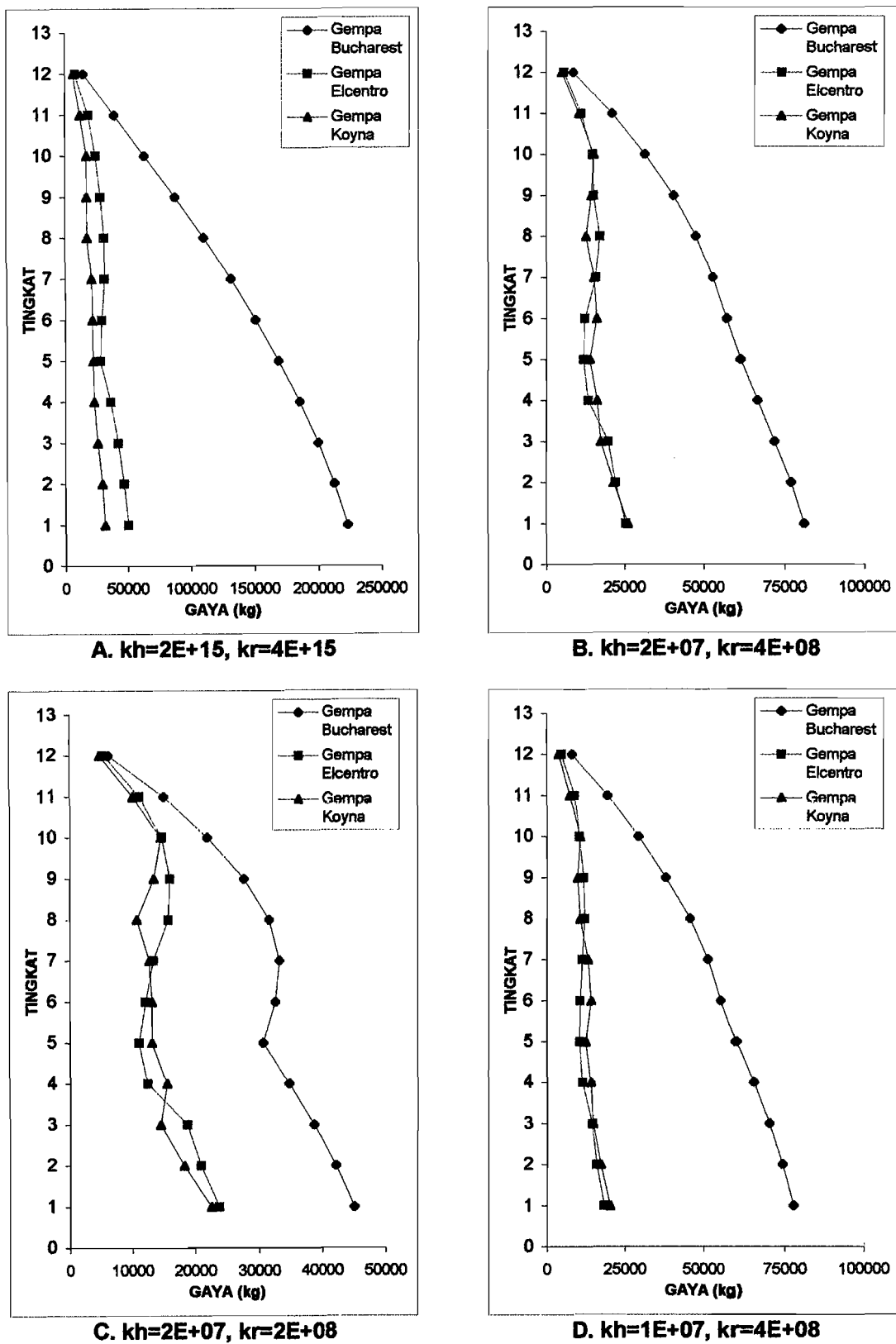
Dari hasil grafik gaya horisontal tingkat maksimum pada gambar 5.111 sampai dengan gambar 5.113 dan tabel 5.21 sampai dengan 5.24 maka,

1. Gaya horisontal tingkat akibat gempa Bucharest lebih besar dari gaya horisontal tingkat akibat gempa Elcentro dan gempa Koyna.

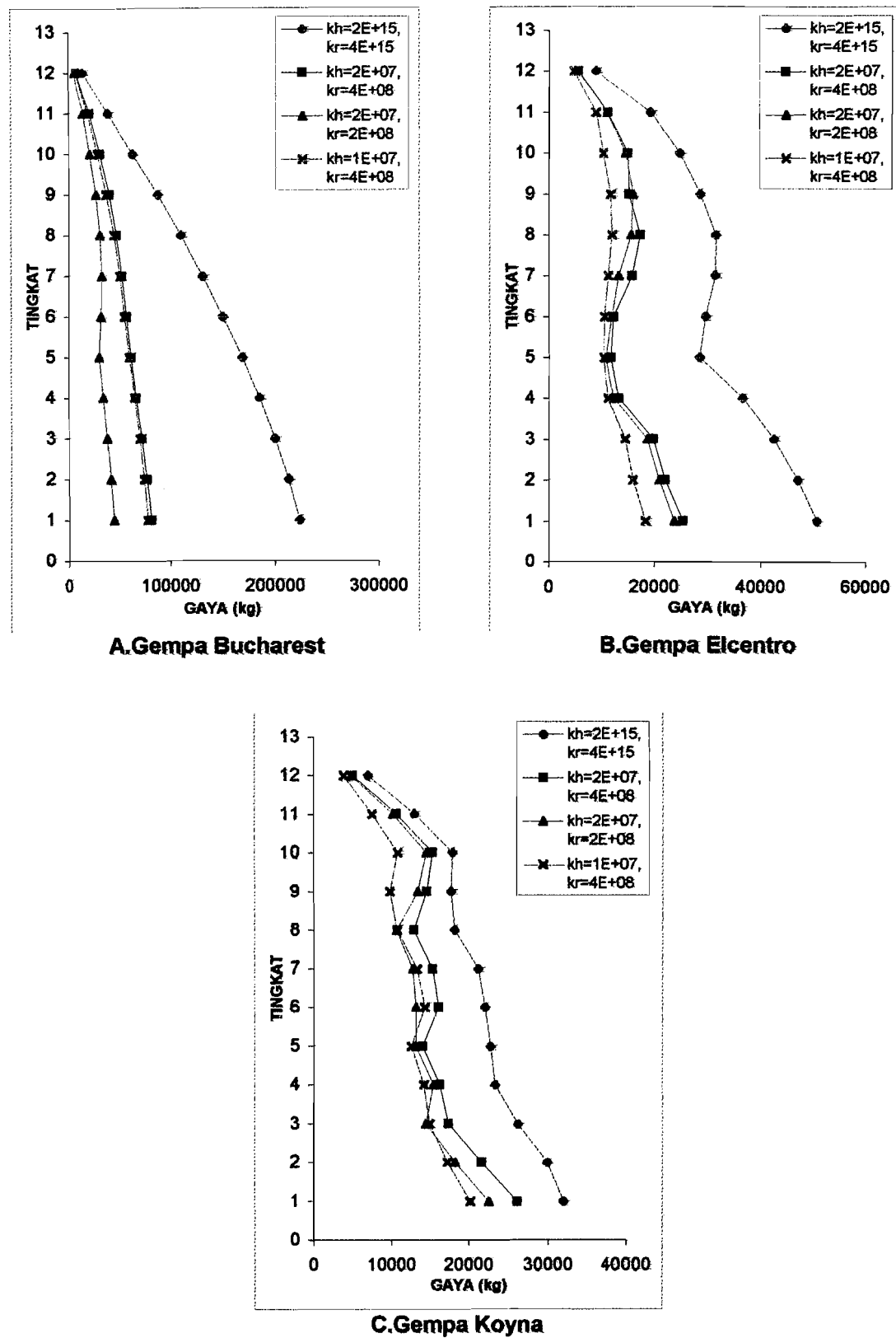
2. Pada kombinasi I (tanah jepit penuh, *fixed*) memberikan gaya horisontal tingkat lebih besar dibandingkan apabila struktur mengalami rotasi (kombinasi II, III dan IV).
3. Freukensi gempa semakin rendah maka gaya horisontal tingkat semakin besar.
4. Gaya horisontal akibat beban gempa statik pada saat perencanaan struktur mendekati sama dengan gaya horisontal dengan percepatan gempa pada kondisi *code level* untuk gempa frekuensi tinggi. Sedangkan untuk gempa frekuensi rendah dan frekuensi sedang, gaya horisontal akibat percepatan gempa pada kondisi *code level* jauh lebih besar dibanding dengan gaya horisontal akibat beban gempa statik.
5. Perubahan nilai kekakuan putar tanah (kr) memberikan gaya horisontal tingkat lebih besar dibanding dengan perubahan nilai kekakuan horisontal tanah (kh).

### 5.5.7 Gaya Geser Tingkat

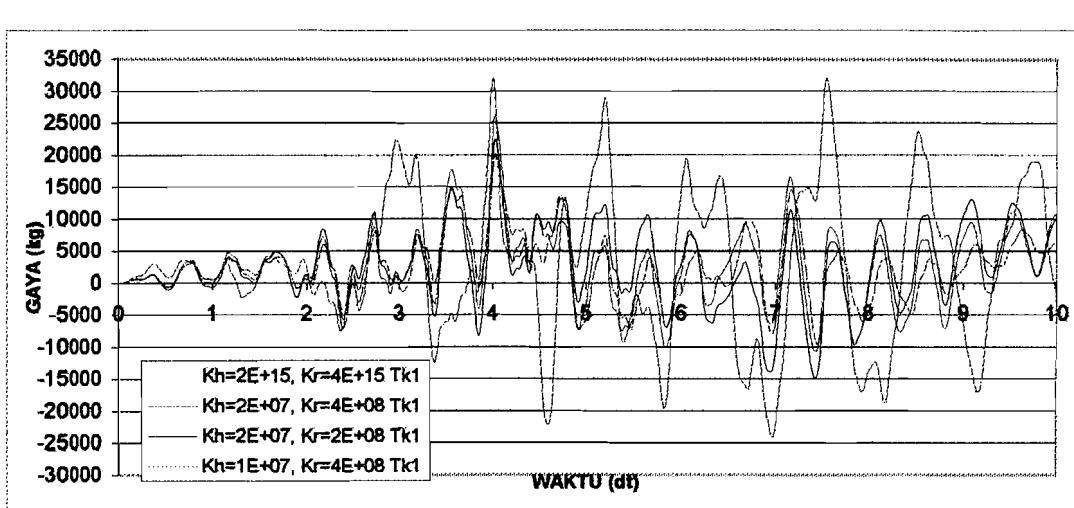
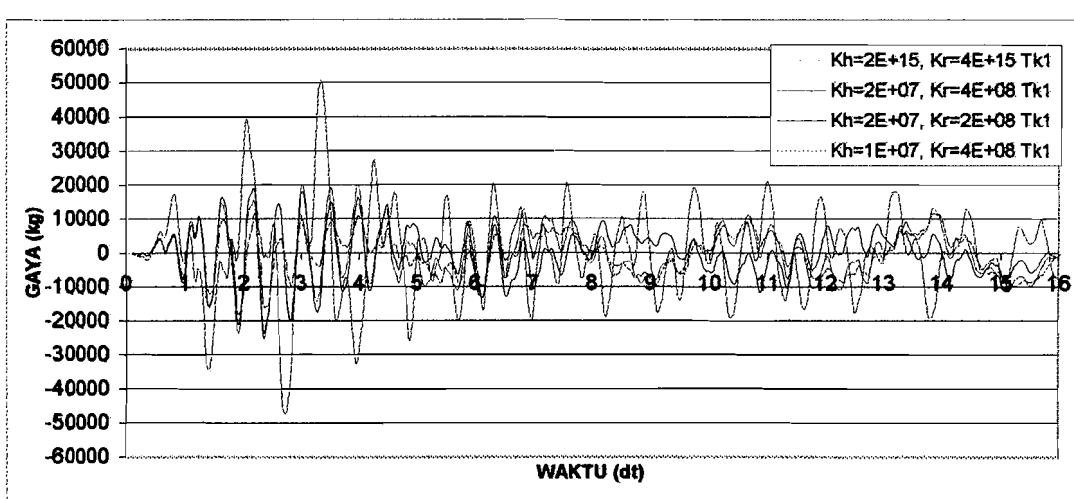
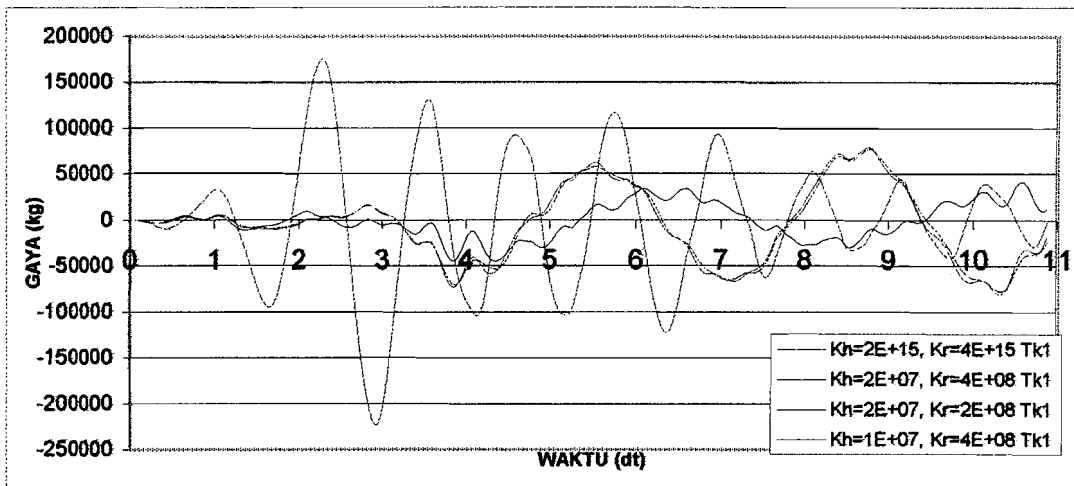
Pembahasan gaya geser tingkat berdasarkan gambar 5.114 sampai dengan gambar 5.116 dan tabel 5.25 sampai dengan tabel 5.28 dengan 3 beban gempa dan 4 kombinasi kekakuan horisontal tanah dan kekakuan putar tanah di bawah ini.



**Gambar 5.114** Grafik gaya geser tingkat maksimum akibat 3 gempa



Gambar 5.115 Grafik gaya geser tingkat maksimum dengan 4 kombinasi



Gambar 5.116 Grafik gaya geser tingkat maksimum dg 4 kombinasi lawan waktu

**Tabel 5.25** Gaya geser tingkat maksimum struktur 12 tingkat

kh=2E+15, kr=4E+15

| Tingkat | Gaya Geser tingkat (Kg) |                |             |
|---------|-------------------------|----------------|-------------|
|         | Gempa Bucharest         | Gempa Elcentro | Gempa Koyna |
| 1       | 223574,12985            | 50688,17722    | 31972,06700 |
| 2       | 213118,71101            | 47082,16014    | 29923,98727 |
| 3       | 200141,39333            | 42535,31742    | 26162,24876 |
| 4       | 185303,35407            | 36580,66559    | 23246,25017 |
| 5       | 168816,29246            | 28437,93421    | 22665,82914 |
| 6       | 150685,40980            | 29590,40928    | 22034,30053 |
| 7       | 131246,27986            | 31405,10442    | 21218,75235 |
| 8       | 110316,40438            | 31410,60928    | 18191,41493 |
| 9       | 87500,96155             | 28574,18207    | 17722,44220 |
| 10      | 63572,43777             | 24683,17959    | 17882,88717 |
| 11      | 39582,81285             | 19268,81443    | 12931,77303 |
| 12      | 15221,61238             | 9003,73182     | 6920,44894  |

**Tabel 5.26** Gaya geser tingkat maksimum struktur 12 tingkat

kh=2E+07, kr=4E+08

| Tingkat | Gaya Geser tingkat (Kg) |                |             |
|---------|-------------------------|----------------|-------------|
|         | Gempa Bucharest         | Gempa Elcentro | Gempa Koyna |
| 1       | 80976,51218             | 25400,05248    | 26106,03173 |
| 2       | 77040,70927             | 22058,13275    | 21597,50447 |
| 3       | 71894,96335             | 19858,77546    | 17339,69161 |
| 4       | 66583,25750             | 13365,48506    | 16229,92477 |
| 5       | 61524,39465             | 11949,51203    | 13998,23332 |
| 6       | 57485,50775             | 12417,19421    | 16058,94367 |
| 7       | 52956,19347             | 15782,22804    | 15297,90858 |
| 8       | 47604,70513             | 17322,21217    | 12881,82344 |
| 9       | 40682,84899             | 15226,79931    | 14548,42418 |
| 10      | 31510,93300             | 14936,86377    | 15316,35307 |
| 11      | 21063,62535             | 11318,49577    | 10622,64611 |
| 12      | 8655,33470              | 5648,53383     | 4972,78788  |

**Tabel 5.27** Gaya geser tingkat maksimum struktur 12 tingkat

kh=2E+07, kr=2E+08

| Tingkat | Gaya Geser tingkat (Kg) |                |             |
|---------|-------------------------|----------------|-------------|
|         | Gempa Bucharest         | Gempa Elcentro | Gempa Koyna |
| 1       | 45030,05916             | 23729,10772    | 22496,35176 |
| 2       | 42186,98138             | 20904,83063    | 18203,13668 |
| 3       | 38702,15501             | 18693,72140    | 14435,13772 |
| 4       | 34707,55691             | 12361,95428    | 15417,73662 |
| 5       | 30656,35130             | 11060,12836    | 13109,08649 |
| 6       | 32600,90042             | 12123,67263    | 13107,68651 |
| 7       | 33244,33688             | 13332,45362    | 12709,97672 |
| 8       | 31571,37889             | 15662,44433    | 10667,62973 |
| 9       | 27617,92958             | 15968,98367    | 13417,33654 |
| 10      | 21878,64378             | 14656,24630    | 14489,82369 |
| 11      | 14985,26609             | 11178,85794    | 10130,48384 |
| 12      | 6254,28410              | 5575,83513     | 4826,94744  |

**Tabel 5.28** Gaya geser tingkat maksimum struktur 12 tingkat

kh=1E+07, kr=4E+08

| Tingkat | Gaya Geser tingkat (Kg) |                |             |
|---------|-------------------------|----------------|-------------|
|         | Gempa Bucharest         | Gempa Elcentro | Gempa Koyna |
| 1       | 77755,52083             | 18353,11468    | 20186,69383 |
| 2       | 74300,08557             | 15997,55797    | 17247,40006 |
| 3       | 70178,82663             | 14531,25019    | 14898,25950 |
| 4       | 65339,20696             | 11355,75241    | 14147,85778 |
| 5       | 60224,46873             | 10591,15949    | 12527,79877 |
| 6       | 55478,33812             | 10650,05020    | 14268,93609 |
| 7       | 51324,85769             | 11479,32606    | 13298,30126 |
| 8       | 45590,18400             | 12133,61711    | 10707,94255 |
| 9       | 37915,14333             | 11892,01484    | 9795,36928  |
| 10      | 29312,32190             | 10402,24976    | 10769,07850 |
| 11      | 19604,46367             | 8948,87984     | 7424,06935  |
| 12      | 8077,62474              | 4760,77554     | 3839,78221  |

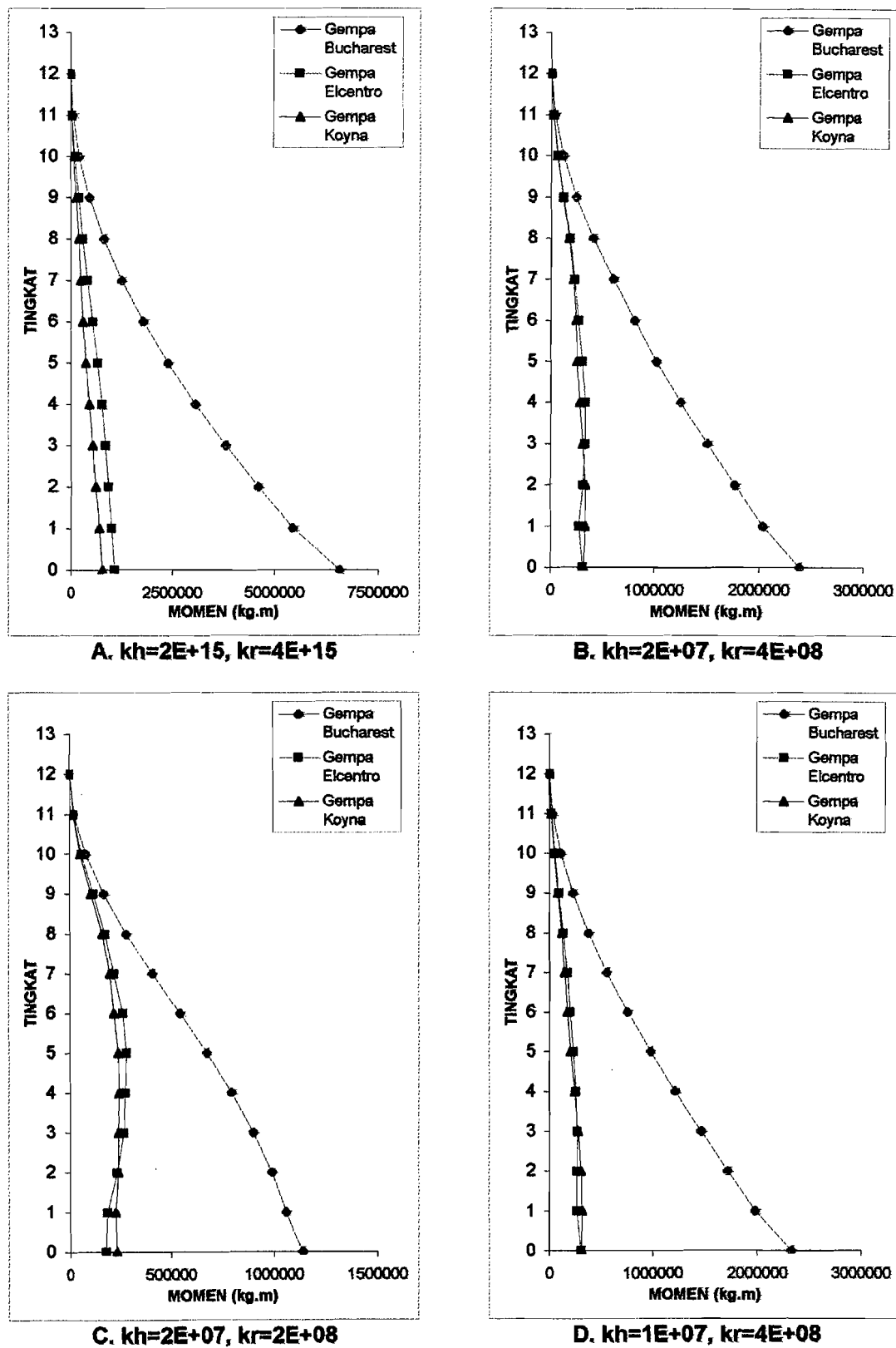
Dari hasil grafik gaya geser tingkat maksimum pada gambar 5.114 sampai dengan gambar 5.116 dan tabel 5.25 sampai dengan 5.28 maka,

1. Pola gaya geser tingkat untuk semua beban gempa relatif sama dimana gaya geser tingkat semakin besar pada tingkat yang lebih rendah karena gaya horizontal tingkat akan ditahan oleh tingkat dibawahnya.

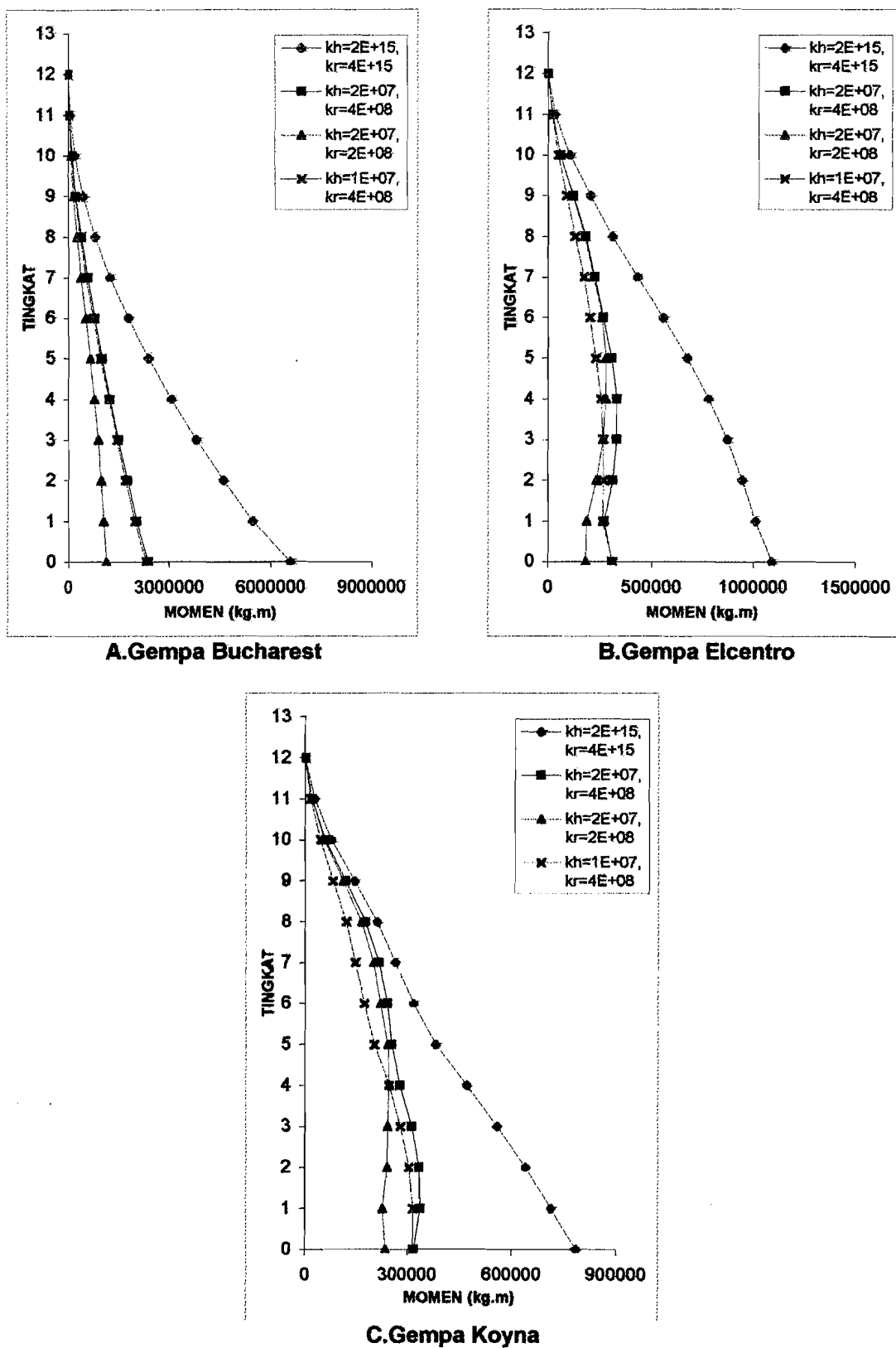
2. Gaya geser tingkat paling besar diakibatkan oleh gempa Bucharest.
3. Gaya geser tingkat pada kombinasi I (tanah jepit penuh, *fixed*) lebih besar dibanding dengan gaya geser tingkat apabila struktur mengalami rotasi.
4. Untuk gempa frekuensi rendah (gempa Bucharest), perubahan nilai kekakuan horisontal tanah (kh) memberikan gaya yang lebih besar dibanding dengan perubahan nilai kekakuan putar tanah (kr).
5. Untuk gempa frekuensi sedang (gempa Elcentro) dan gempa frekuensi tinggi (gempa Koyan), perubahan nilai kekakuan putar tanah (kr) memberikan gaya yang lebih besar dibanding dengan perubahan nilai kekakuan horisontal tanah (kh).
6. Perubahan nilai kekakuan putar tanah (kr) lebih besar mempengaruhi perubahan gaya geser tingkat dibanding dengan perubahan nilai kekakuan horisontal tanah (kh).

#### **5.5.8 Momen Guling**

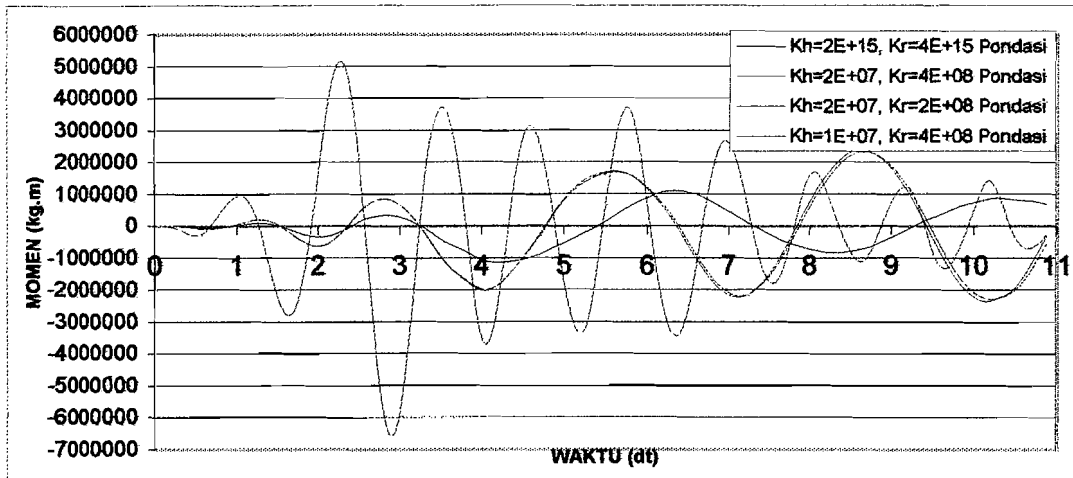
Pembahasan momen guling berdasarkan gambar 5.117 sampai dengan gambar 5.119 dan tabel 5.29 sampai dengan tabel 5.32 dengan 3 beban gempa dan 4 kombinasi kekakuan horisontal tanah dan kekakuan putar tanah di bawah ini.



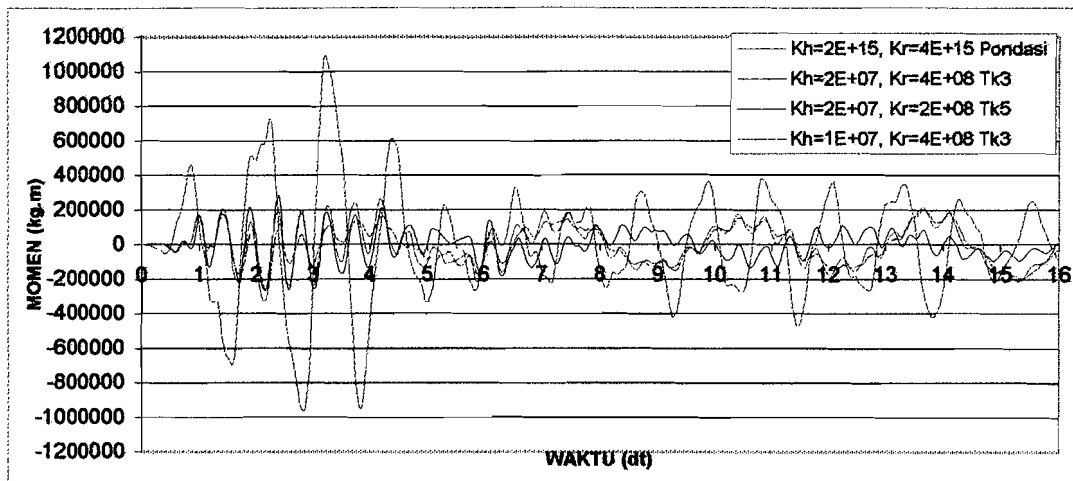
Gambar 5.117 Grafik momen guling maksimum akibat 3 gempa



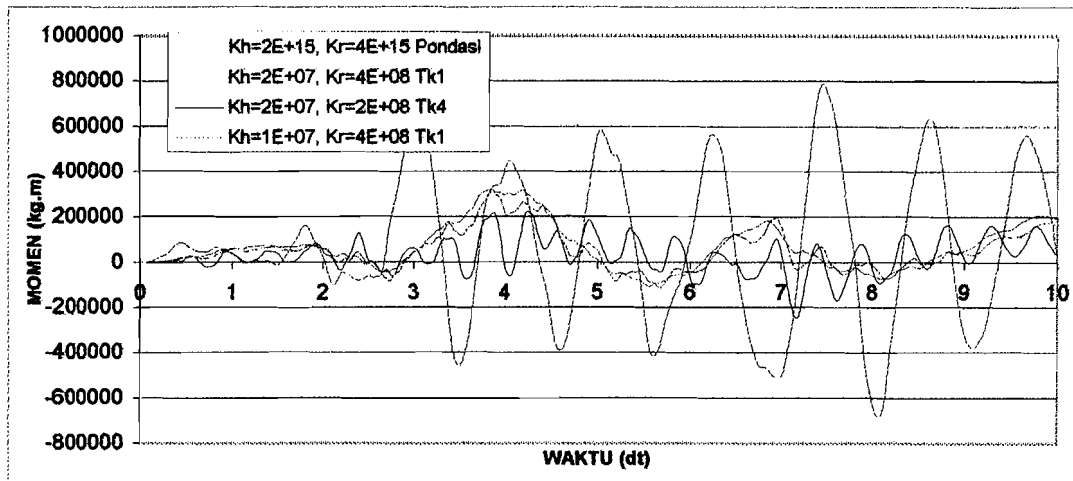
Gambar 5.118 Grafik momen guling maksimum dengan 4 kombinasi



A.Gempa Bucharest



B.Gempa Elcentro



C.Gempa Koyna

**Gambar 5.119** Grafik momen guling maks dengan 4 kombinasi lawan waktu

**Tabel 5.29** Momen guling maksimum struktur 12 tingkat kh=2E+15, kr=4E+15

| Tingkat | Momen Guling (Kg. m) |                |              |
|---------|----------------------|----------------|--------------|
|         | Gempa Bucharest      | Gempa Elcentro | Gempa Koyna  |
| 0       | 6573473,28031        | 1090806,14265  | 786947,70919 |
| 1       | 5457792,37337        | 1009487,99204  | 716132,88727 |
| 2       | 4606368,13424        | 943533,28933   | 642731,13668 |
| 3       | 3807638,36209        | 870143,35471   | 559201,97273 |
| 4       | 3067433,46397        | 778785,99369   | 471611,09668 |
| 5       | 2392417,87626        | 674483,08348   | 381549,21255 |
| 6       | 1789676,23707        | 557137,12523   | 317964,39661 |
| 7       | 1264691,11765        | 432612,00720   | 263855,88376 |
| 8       | 823425,50014         | 312759,14809   | 210533,27191 |
| 9       | 473448,26472         | 205534,92369   | 144629,95732 |
| 10      | 219194,58902         | 107544,60182   | 77737,75701  |
| 11      | 60886,44950          | 36014,92728    | 27681,79578  |
| 12      | 0,00000              | 0,00000        | 0,00000      |

**Tabel 5.30** Momen guling maksimum struktur 12 tingkat kh=2E+07, kr=4E+08

| Tingkat | Momen Guling (Kg. m) |                |              |
|---------|----------------------|----------------|--------------|
|         | Gempa Bucharest      | Gempa Elcentro | Gempa Koyna  |
| 0       | 2378910,27744        | 310263,29015   | 317978,59318 |
| 1       | 2034446,91748        | 273178,39281   | 337728,93487 |
| 2       | 1767464,17525        | 313061,24729   | 334892,01866 |
| 3       | 1505962,49719        | 333233,52189   | 312211,39580 |
| 4       | 1252119,75473        | 331374,89022   | 278125,67766 |
| 5       | 1016967,18989        | 307688,14413   | 253669,50184 |
| 6       | 803613,34072         | 267259,94692   | 242821,47833 |
| 7       | 597074,06873         | 225287,84099   | 216430,27690 |
| 8       | 406679,29399         | 183319,04554   | 176497,36081 |
| 9       | 244605,22332         | 124277,31979   | 118303,66410 |
| 10      | 118875,84023         | 64703,23021    | 59518,69466  |
| 11      | 34621,33881          | 22594,13531    | 19891,15150  |
| 12      | 0,00000              | 0,00000        | 0,00000      |

**Tabel 5.31** Momen guling maksimum struktur 12 tingkat kh=2E+07, kr=2E+08

| Tingkat | Momen Guling (Kg. m) |                |              |
|---------|----------------------|----------------|--------------|
|         | Gempa Bucharest      | Gempa Elcentro | Gempa Koyna  |
| 0       | 1140073,22680        | 183471,34435   | 235289,47495 |
| 1       | 1059963,34775        | 189179,32679   | 228283,10992 |
| 2       | 988913,19454         | 235552,80693   | 241598,16092 |
| 3       | 899267,78697         | 267640,16257   | 241765,57677 |
| 4       | 792388,87748         | 278133,74357   | 247809,94326 |
| 5       | 671418,34826         | 281086,83140   | 241870,15195 |
| 6       | 541019,00248         | 263777,23786   | 221240,62141 |
| 7       | 408352,00189         | 220609,64885   | 200903,24915 |
| 8       | 282375,77198         | 179611,10783   | 165757,08323 |
| 9       | 172423,07917         | 122165,98350   | 112106,37123 |
| 10      | 84920,60429          | 63540,99831    | 56974,02421  |
| 11      | 25017,13641          | 22303,34051    | 19307,78977  |
| 12      | 0,00000              | 0,00000        | 0,00000      |

**Tabel 5.32** Momen guling maksimum struktur 12 tingkat kh=1E+07, kr=4E+08

| Tingkat | Momen Guling (Kg. m) |                |              |
|---------|----------------------|----------------|--------------|
|         | Gempa Bucharest      | Gempa Elcentro | Gempa Koyna  |
| 0       | 2327885,55733        | 311489,01770   | 314683,59979 |
| 1       | 1982974,68072        | 265654,24753   | 316788,56594 |
| 2       | 1717287,88967        | 267343,46480   | 305056,89289 |
| 3       | 1460818,59996        | 268900,34511   | 280408,78122 |
| 4       | 1214325,98167        | 256382,12834   | 247336,48663 |
| 5       | 979084,93640         | 232483,88896   | 203522,58321 |
| 6       | 757239,07861         | 203010,69593   | 174080,99785 |
| 7       | 554920,79786         | 175569,85679   | 146949,15881 |
| 8       | 377796,60844         | 133966,76170   | 121135,56234 |
| 9       | 227977,64122         | 92133,00526    | 81974,22302  |
| 10      | 110728,35362         | 53817,62640    | 45055,40623  |
| 11      | 32310,49894          | 19043,10217    | 15359,12883  |
| 12      | 0,00000              | 0,00000        | 0,00000      |

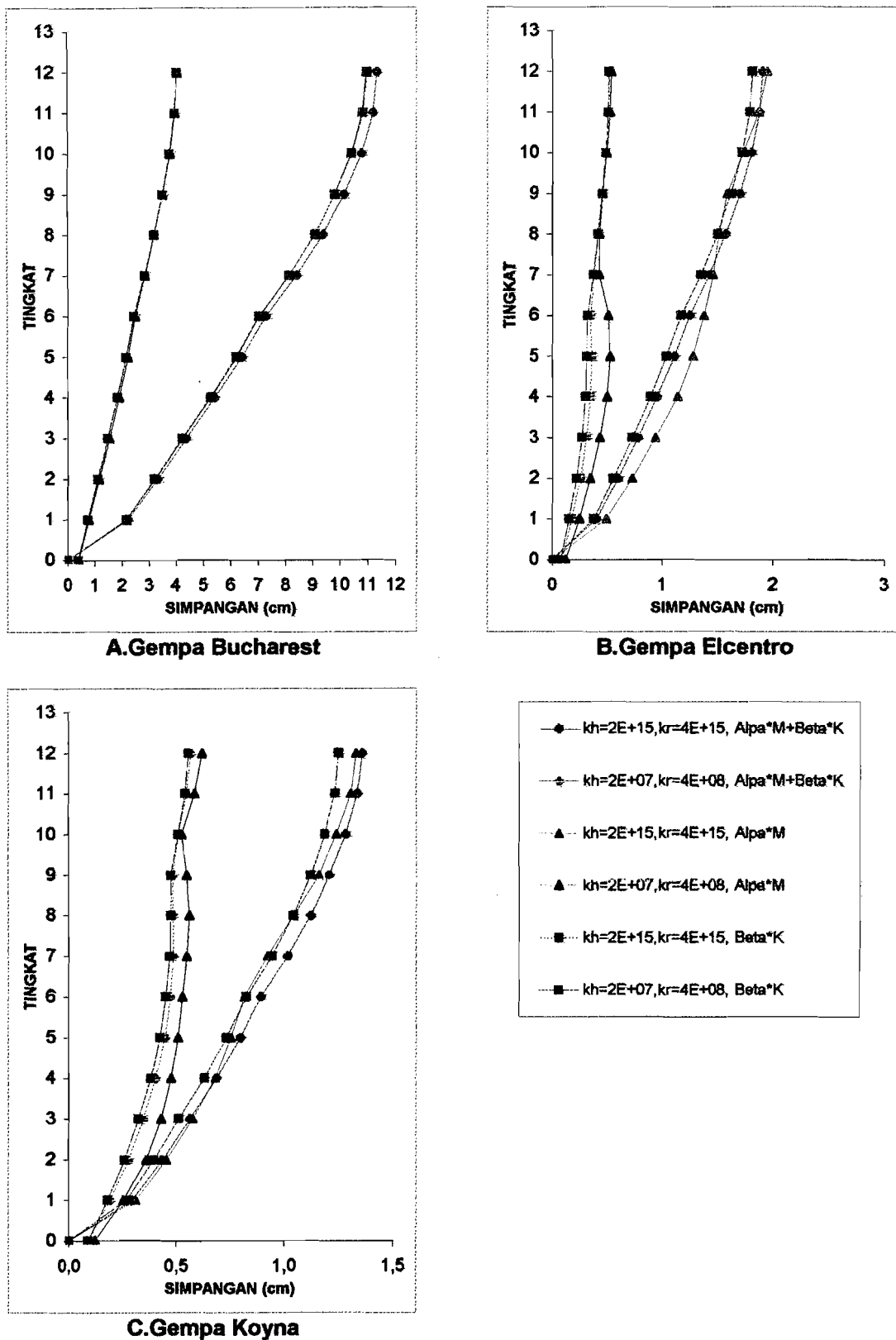
Dari hasil grafik momen guling maksimum pada gambar 5.117 sampai dengan gambar 5.119 dan tabel 5.29 sampai dengan 5.32 maka,

1. Momen guling dipengaruhi oleh gaya horisontal tingkat dan tinggi tingkat.

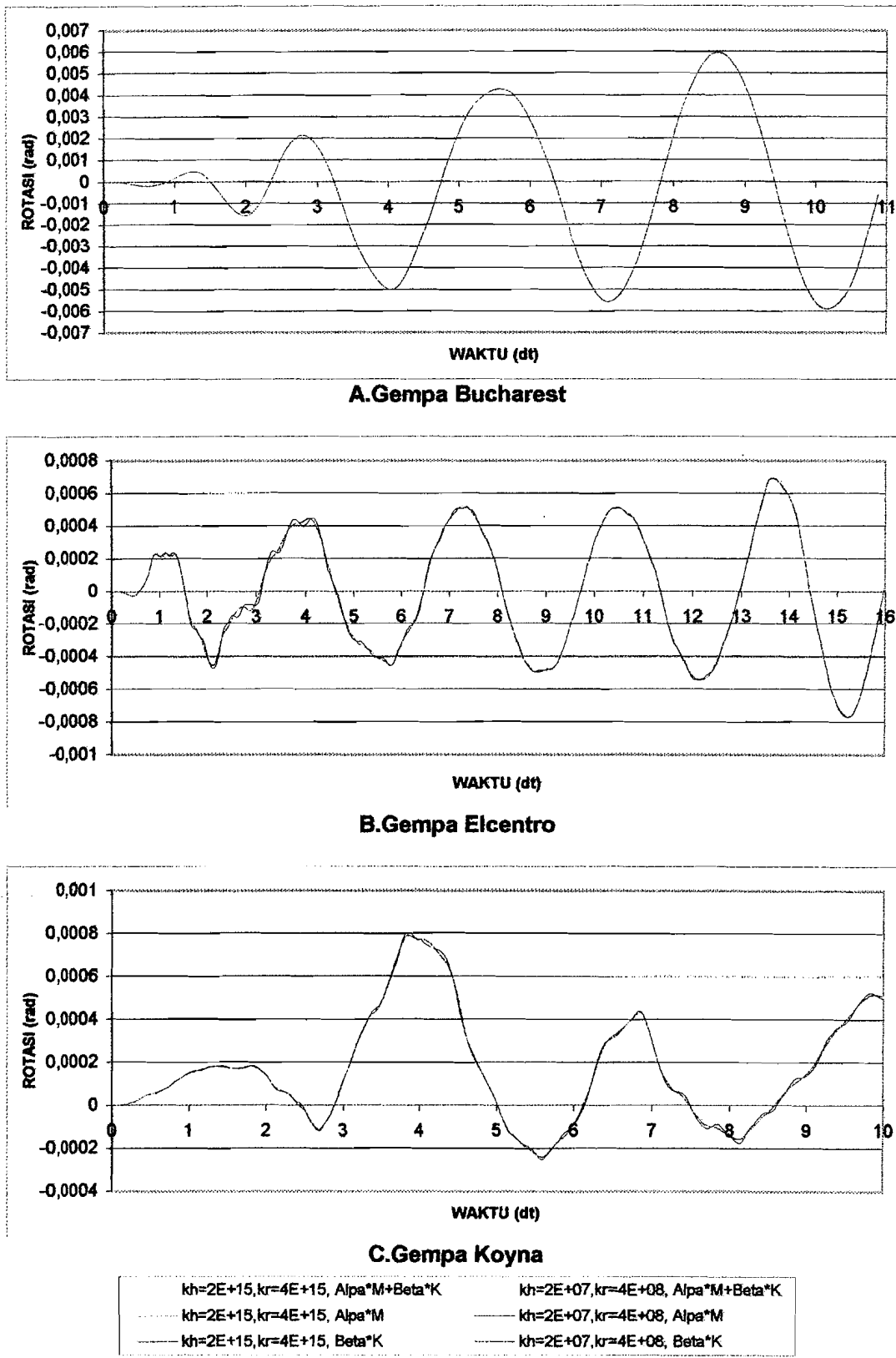
2. Momen guling akan mengalami nilai maksimum pada lantai dasar, sedangkan nilai minimum terjadi pada tingkat paling atas.
3. Pada kombinasi I (tanah jepit penuh, *fixed*), momen guling yang terjadi lebih besar dibandingkan dengan struktur yang mengalami rotasi.
4. Perubahan nilai kekakuan horisontal tanah (kh), memberikan momen guling yang lebih besar pada gempa frekuensi rendah, sedangkan untuk gempa dengan frekuensi sedang (gempa Elcentro) dan frekuensi tinggi (gempa Koyna) perubahan nilai kekakuan horisontal tanah (kh) memberikan momen guling yang lebih besar pada pondasi, tingkat 1 sampai dengan tingkat 3. sementara perubahan nilai kekakuan putar tanah (kr) memberikan momen guling yang lebih besar pada tingkat 4 sampai dengan 11.
5. Perubahan nilai kekakuan putar tanah (kr) lebih besar mempengaruhi perubahan momen guling dibanding dengan perubahan nilai kekakuan horisontal tanah (kh).

## 5.6 Perbandingan Penggunaan Nilai Redaman

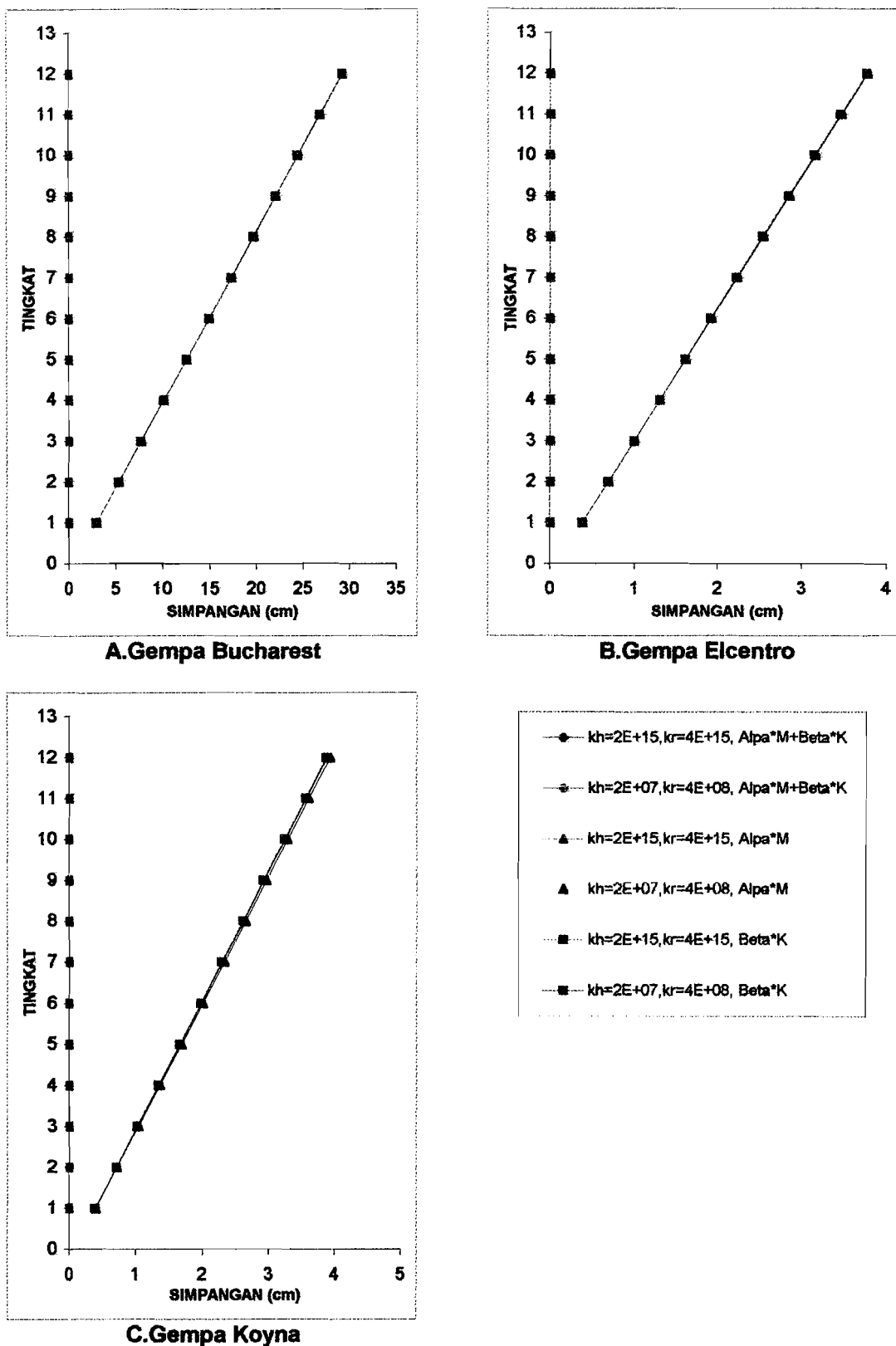
Dalam analisis ini membandingkan hasil respon struktur dengan menggunakan nilai redaman yang berbeda, yaitu redaman proposional dengan massa digunakan mode ke-1, redaman proposional dengan kekakuan digunakan mode ke-1 dan redaman proposional dengan massa (mode ke-1) dan kekakuan (mode ke-7). Hasil analisis diplotkan dalam grafik yang merupakan nilai-nilai maksimum dari respon struktur yang disajikan pada gambar 5.120 sampai dengan gambar 5.127 dibawah ini.



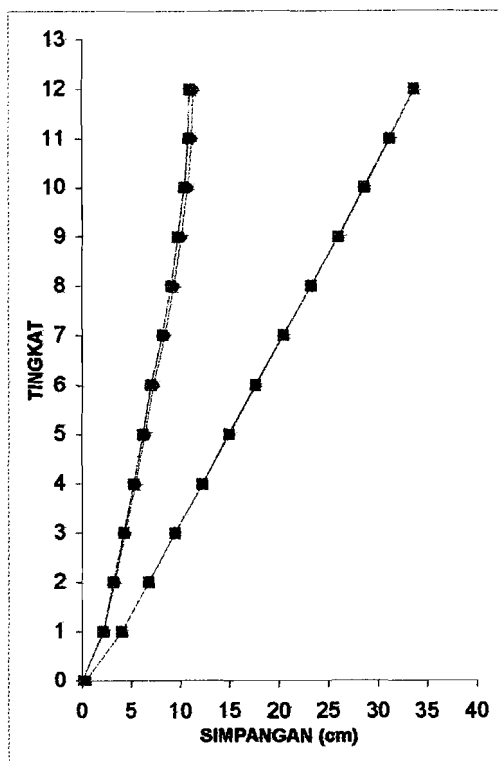
Gambar 5.120 Grafik simpangan netto dengan 3 kombinasi redaman



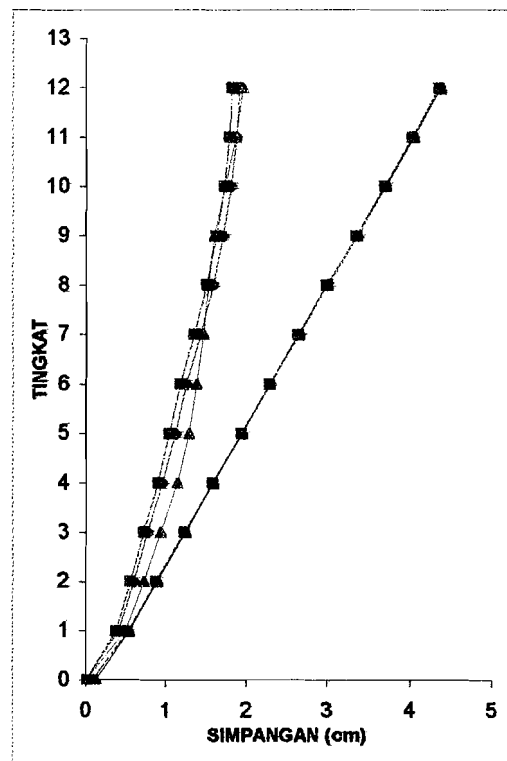
Gambar 5.121 Grafik rotasi dengan 3 kombinasi redaman



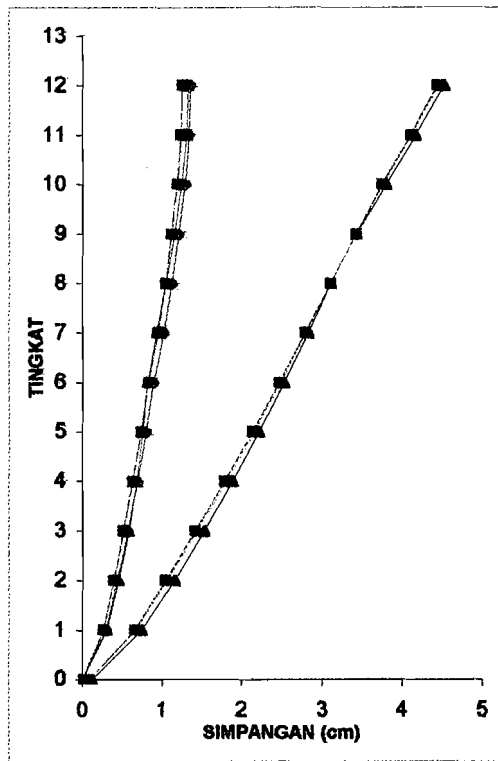
Gambar 5.122 Grafik simpangan rotasi dengan 3 kombinasi redaman



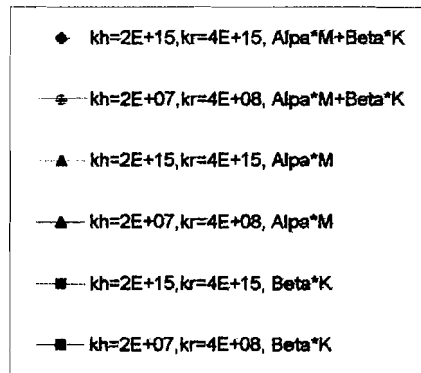
A.Gempa Bucharest



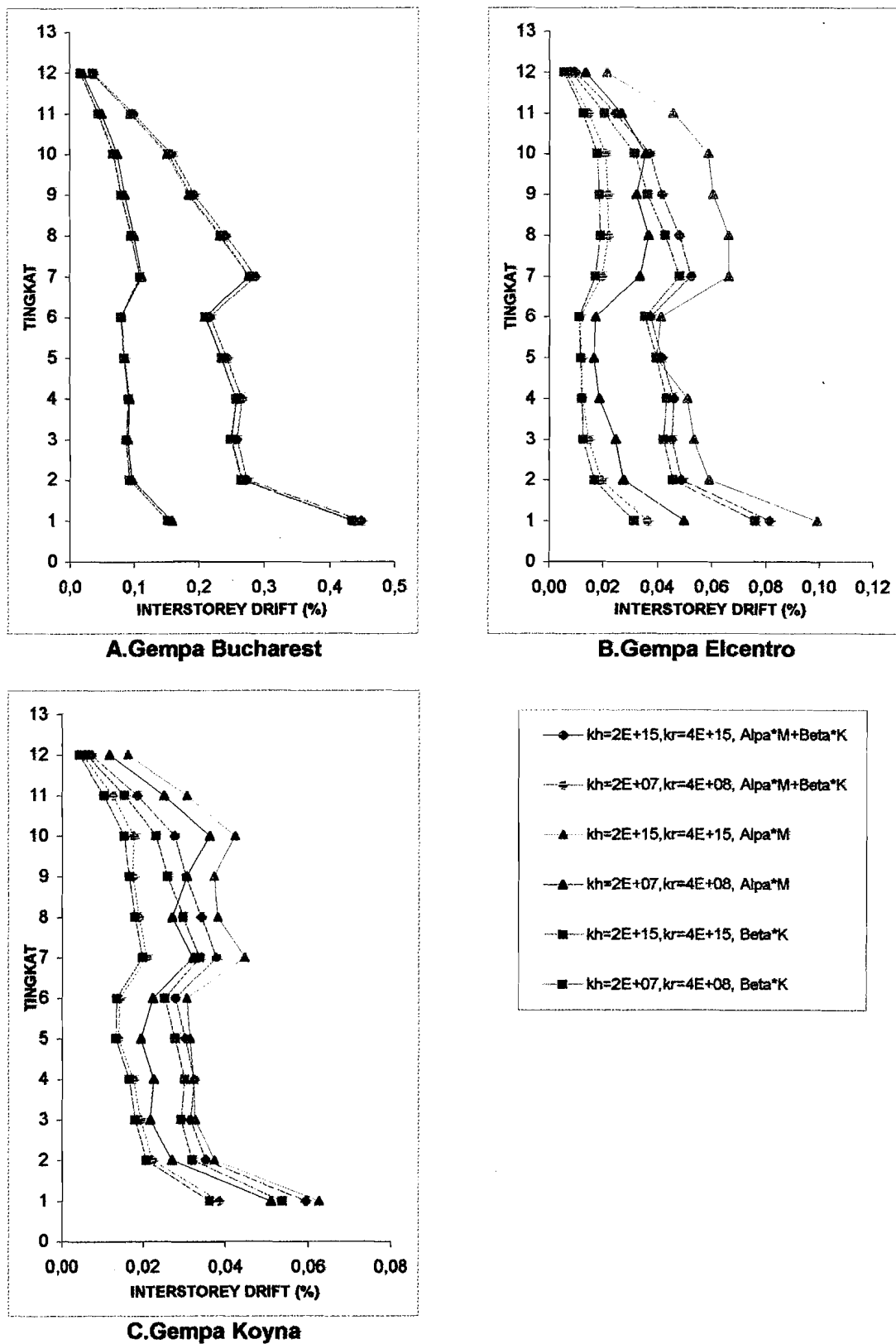
B.Gempa Elcentro



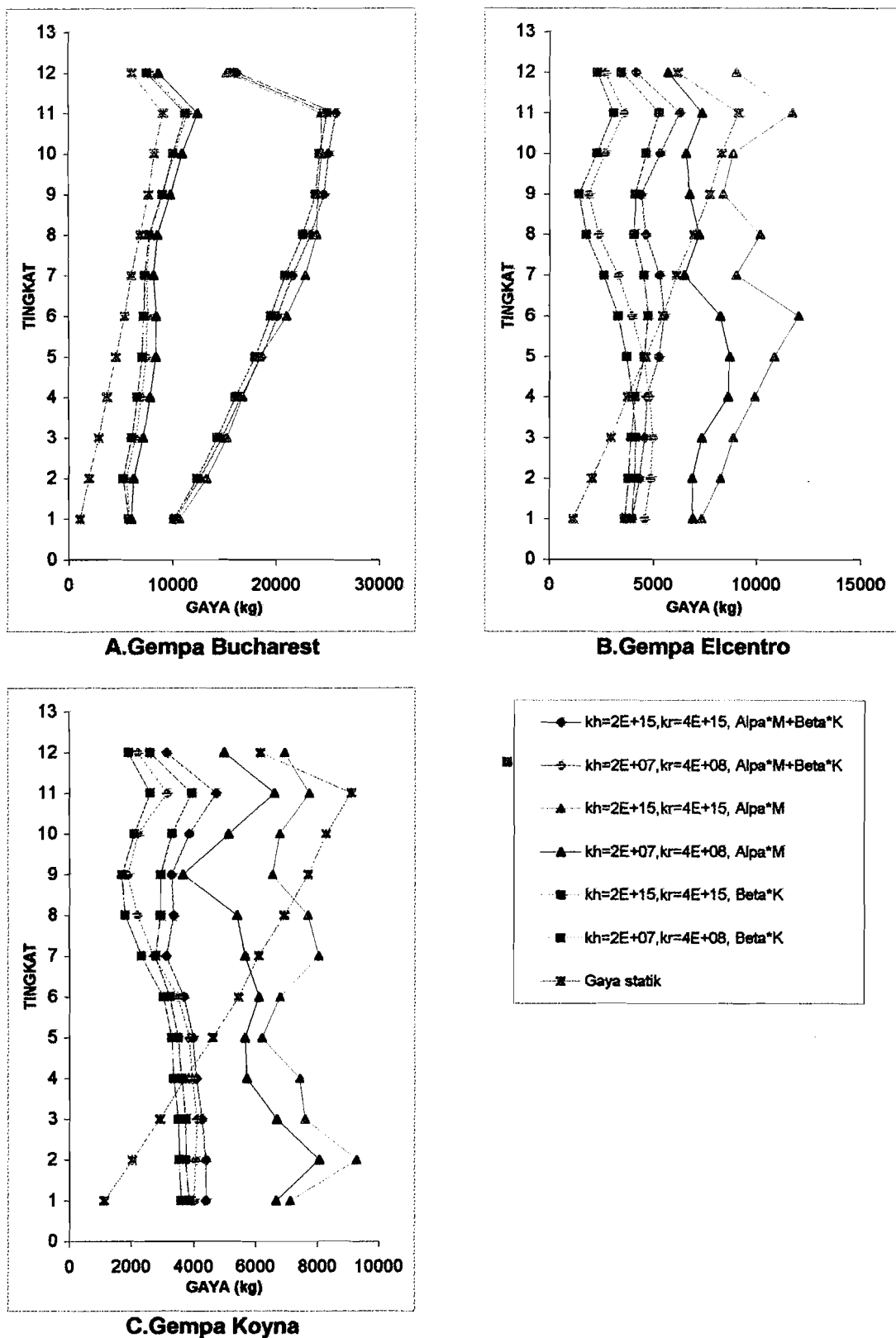
C.Gempa Koyna



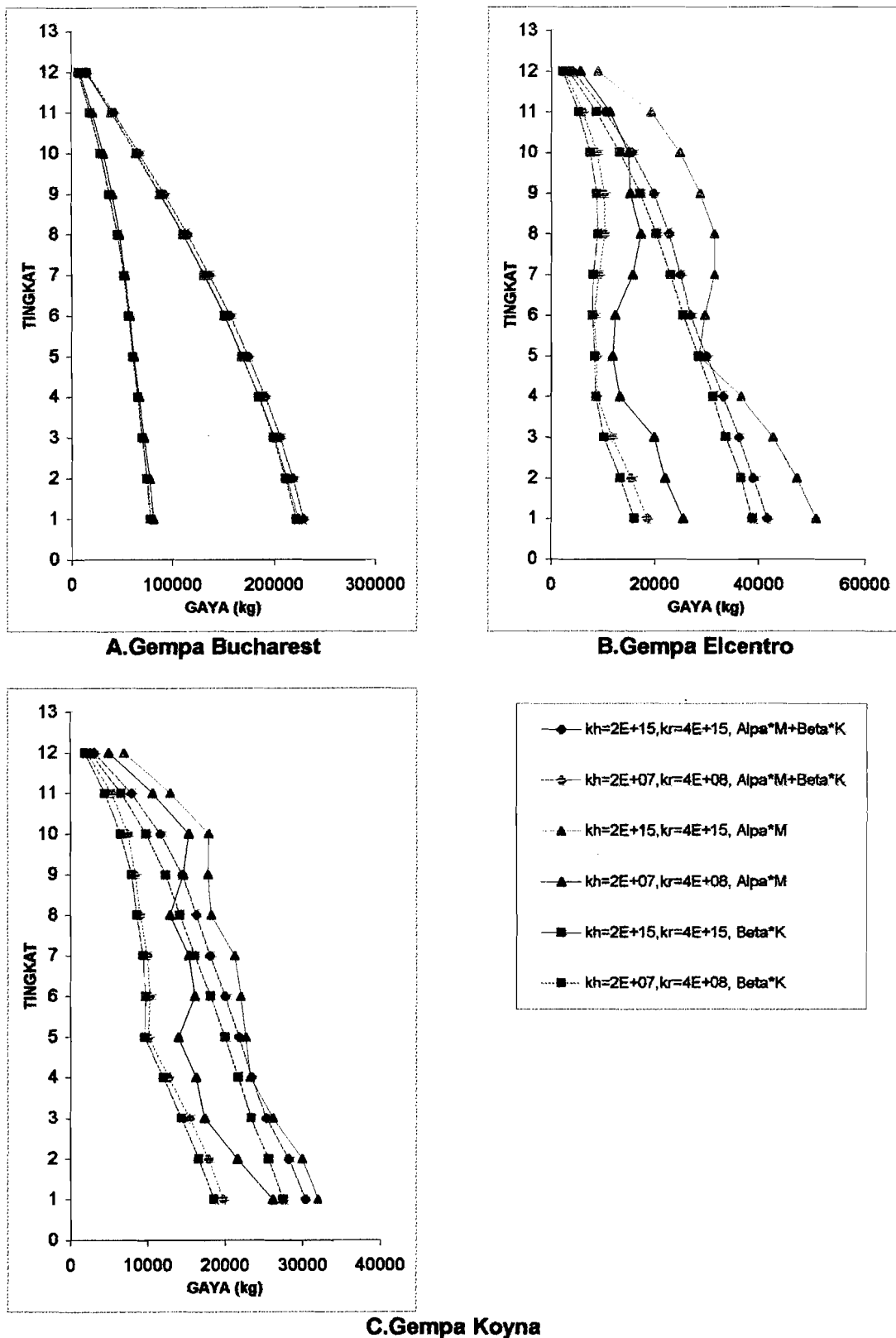
Gambar 5.123 Grafik simpangan total dengan 3 kombinasi redaman



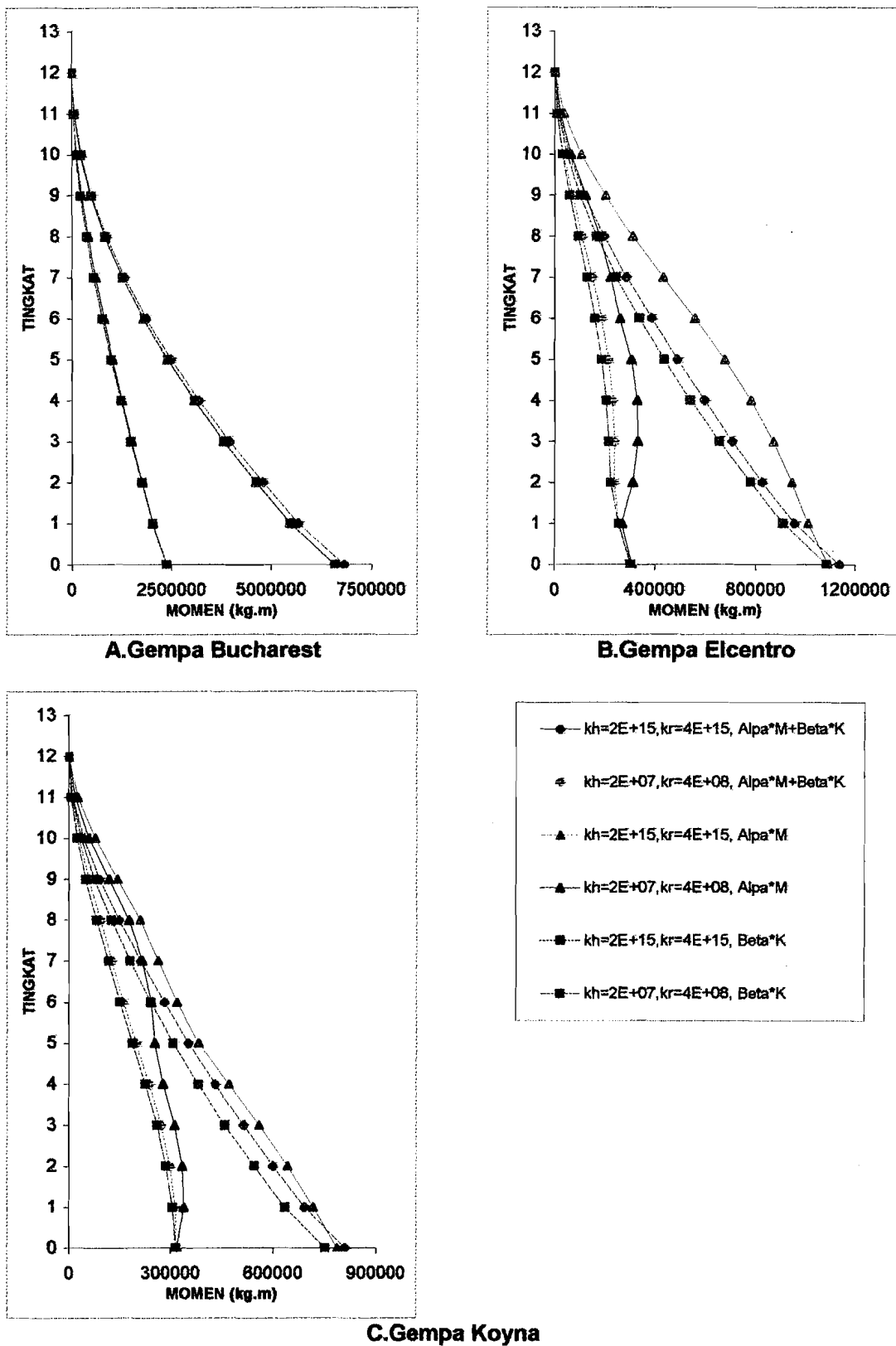
Gambar 5.124 Grafik simpangan antar tingkat dengan 3 kombinasi redaman



Gambar 5.125 Grafik gaya horisontal tingkat dengan 3 kombinasi redaman



**Gambar 5.126** Grafik gaya geser tingkat dengan 3 kombinasi redaman



Gambar 5.127 Grafik momen guling dengan 3 kombinasi redaman

Dari hasil grafik respon struktur dengan 3 beban gempa dan 2 kombinasi pada gambar 5.120 sampai dengan gambar 5.127 maka, redaman proposional dengan massa memberikan respon struktur yang lebih besar dari pada redaman proposional dengan kekakuan maupun redaman proposional dengan massa dan kekakuan. Karena rasio redaman berbanding terbalik dengan frekuensi sudut sehingga rasio redaman pada mode-mode yang lebih tinggi akan semakin kecil menyebabkan respon struktur yang lebih besar. Sedangkan untuk gempa frekuensi rendah (gempa Bucharest), redaman proposional dengan massa dan kekakuan memberikan nilai yang lebih besar dibanding redaman proposional dengan massa maupun redaman proposional dengan kekakuan.

## **BAB VI**

### **KESIMPULAN DAN SARAN**

#### **6.1 Kesimpulan**

Kesimpulan yang dapat diambil dari penelitian Respon Elastik Struktur MDOF Dengan Memperhitungkan Rotasi Pondasi adalah sebagai berikut:

1. Gempa dengan percepatan tanah maksimum tidak menyebabkan respon struktur menjadi maksimum pada waktu yang bersamaan. Seperti pada gempa Koyna dengan percepatan maksimum 548,79 cm/dt<sup>2</sup> respon struktur yang terjadi lebih kecil dibandingkan dengan respon struktur akibat gempa Bucharest dengan percepatan tanah maksimum 225,4 cm/dt<sup>2</sup>.
2. Gempa dengan durasi waktu yang lama (gempa Elcentro) tidak menyebabkan respon struktur menjadi maksimum.
3. Gempa dengan frekuensi rendah yaitu gempa Bucharest dengan A/V rasio 0,30595 g/m/dt cenderung menyebabkan respon struktur yang lebih besar dibandingkan dengan gempa frekuensi sedang (gempa Elcentro) dengan A/V rasio 1,04385 g/m/dt dan gempa frekuensi tinggi (gempa Koyna) dengan A/V rasio 3,46774 g/m/dt.
4. Kekakuan putar tanah (kr) lebih berpengaruh terhadap respon struktur dibanding dengan perubahan nilai kekakuan horisontal tanah (kh),

FM-UJI-AA-FPU-09  
**KARTU PESERTA TUGAS AKHIR**

| NO. | NAMA            | NO. MHS.   | BID. STUDI |
|-----|-----------------|------------|------------|
| 1   | RIEFQI ZUHDAN P | 95 310 020 | STRUKTUR   |
| 2   | BEBY KARMADY Y. | 95 310 240 | STRUKTUR   |

**JUDUL TUGAS AKHIR :**

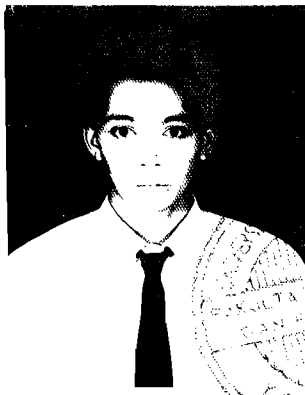
**RISPON ELASTIK STRUKTUR MDOF DENGAN MEMPERHITUNGKAN PENGARUH ROTASI FONDASI.**

**PERIODE I : SEPTEMBER – PEbruari**  
**TAHUN : 2000 / 2001**

| No. | Kegiatan                   | Bulan Ke: |      |      |      |      |      |
|-----|----------------------------|-----------|------|------|------|------|------|
|     |                            | Sept.     | Okt. | Nop. | Des. | Jan. | Peb. |
| 1.  | Pendaftaran                |           |      |      |      |      |      |
| 2.  | Penentuan Dosen Pembimbing |           |      |      |      |      |      |
| 3.  | Pembuatan Proposal         |           |      |      |      |      |      |
| 4.  | Seminar Preposal           |           |      |      |      |      |      |
| 5.  | Konsultasi Penyusunan TA.  |           |      |      |      |      |      |
| 6.  | Sidang-Sidang              |           |      |      |      |      |      |
| 7.  | Pendadaran                 |           |      |      |      |      |      |

DOSEN PEMBIMBING I : IR.H.WIDODO, MSCE, Ph.D

DOSEN PEMBIMBING II : IR.HELMI AKBAR BALE, MT



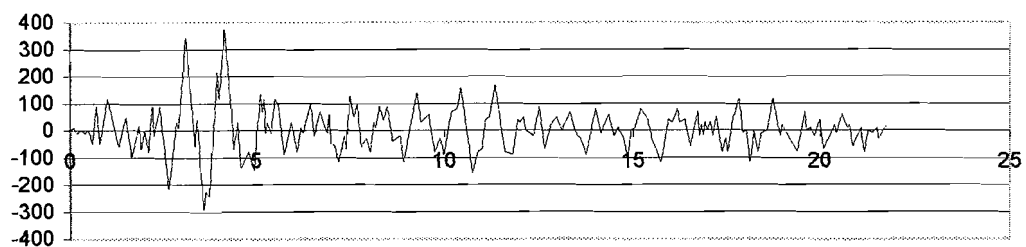
Yogyakarta, 14 Desember 2000  
 a.n. Nekan,

*Tajuddin*  
 IR. H. TAJUDDIN BM ARIS, MS

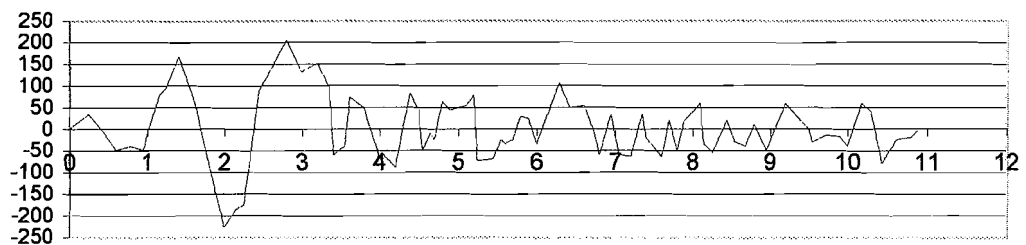
**Catatan :**

Seminar : 10 APRIL 2001  
 Sidang : 19 APRIL 2002  
 Pendadaran : 26 APRIL 2002

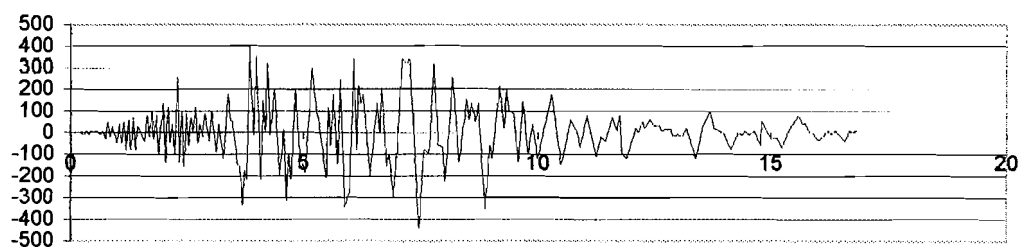
### BARMONTENEGRO



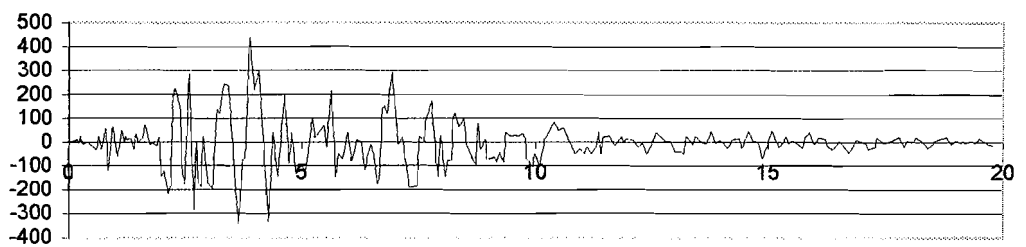
### BUCHAREST



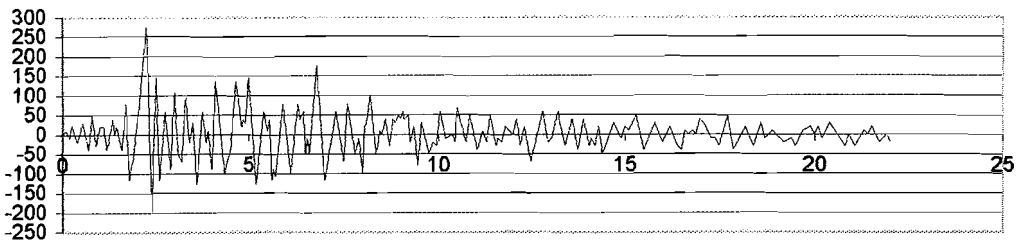
### COALINGGA



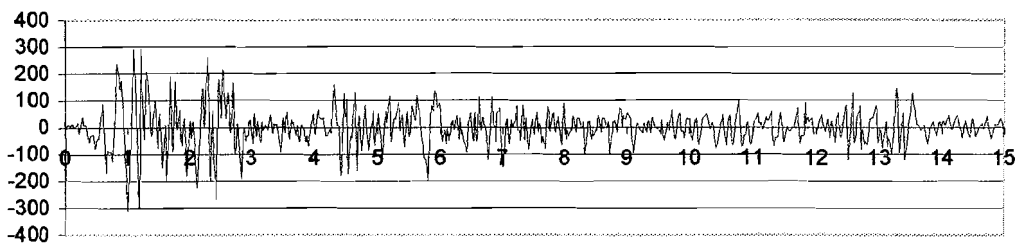
### CORALITOS



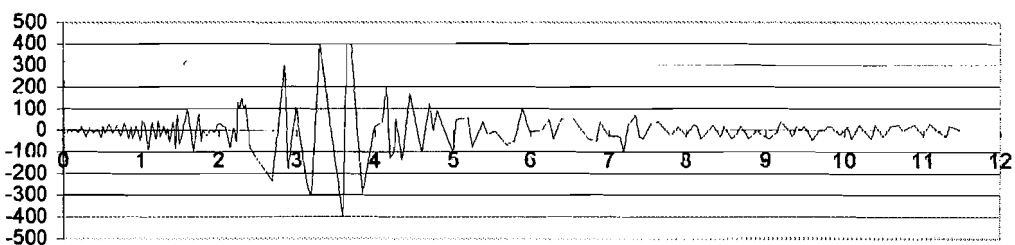
### CORINTH



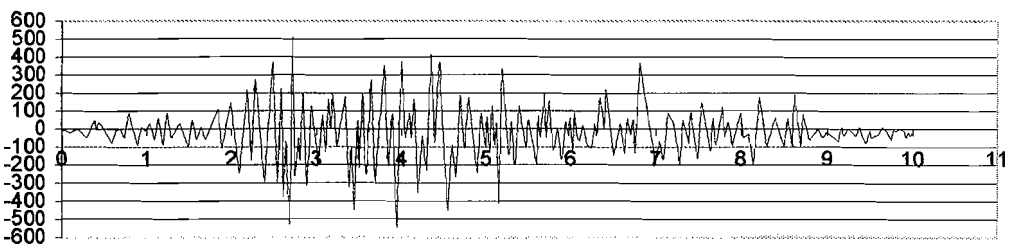
### ELCENTRO



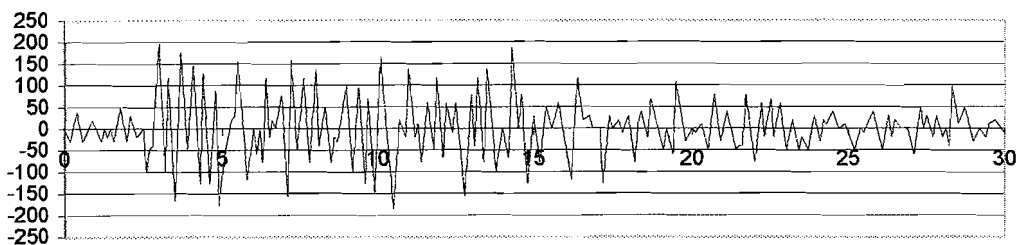
### GILROY



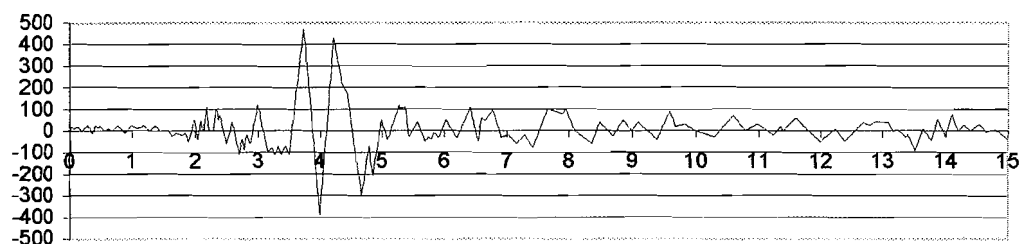
### KOYNA INDIA



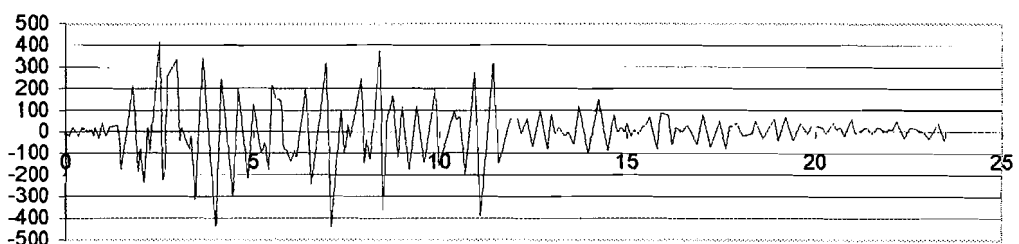
### MIYAGI



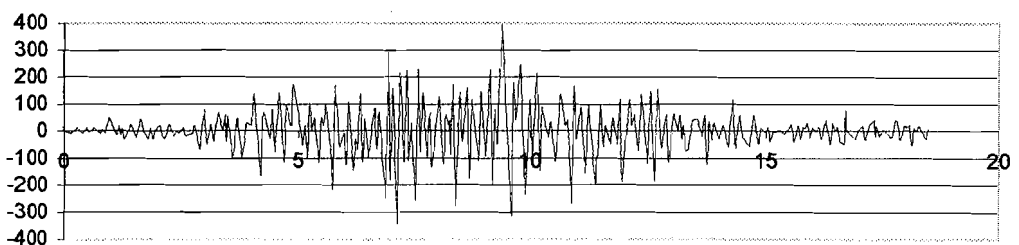
### PARKFIELD



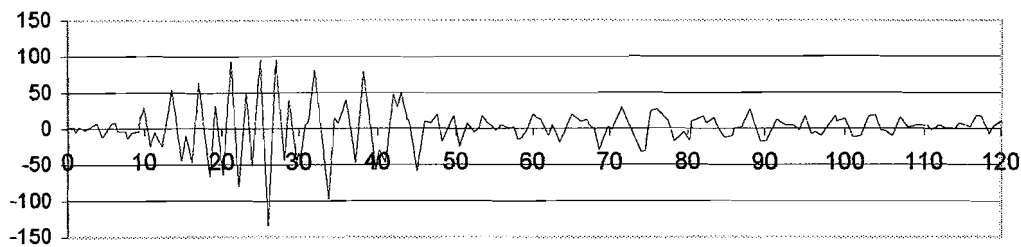
### PETROVAC



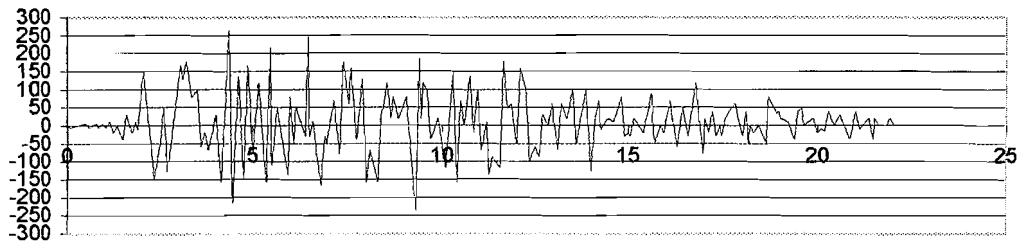
### SANTA CRUZ



### **TLAHUAC BOMBAS**



### **ULCINJ**



## **VERIFIKASI**

Untuk verifikasi struktur yang digunakan adalah struktur 3 tingkat dengan beban gempa t, dihitung dengan cara manual dan program PROGSIP 2002.

### **DATA STRUKTUR**

Struktur yang ditinjau merupakan suatu model *shear building* 3 tingkat dari struktur beton bertulang. Pembebanan pada perhitungan ini tidak kami hitung tetapi sudah ditentukan.

| Tingkat | Tinggi   | Massa | Kekakuan                     |
|---------|----------|-------|------------------------------|
| 0       | 0        | 0     | $Kh = 2E+07$<br>$Kr = 4E+08$ |
| 1       | $H1 = 4$ | 2     | 1800                         |
| 2       | $H2 = 4$ | 1,5   | 1200                         |
| 3       | $H3 = 4$ | 1     | 600                          |

### **PERHITUNGAN MANUAL**

Dalam perhitungan manual ini dalam mencari besarnya omega ( $\omega$ ) kami menggunakan metode Polinomial dan dukungan dianggap jepit penuh. Untuk mencari besarnya simpangan, simpangan antar tingkat, gaya horisontal tingkat, gaya horisontal tingkat komulatif dan momen guling kami menggunakan metode  $\beta$ -Newmark.

## PENYELESAIAN

- Mencari Eigen

$$M = \begin{bmatrix} m_1 & 0 & 0 \\ 0 & m_2 & 0 \\ 0 & 0 & m_3 \end{bmatrix} = \begin{bmatrix} 2 & 0 & 0 \\ 0 & 1,5 & 0 \\ 0 & 0 & 1 \end{bmatrix}$$

$$K = \begin{bmatrix} k_1 + k_2 & -k_2 & 0 \\ -k_2 & k_2 + k_3 & -k_3 \\ 0 & -k_1 & k_3 \end{bmatrix} = \begin{bmatrix} 1800 & -1200 & 0 \\ -1200 & 1800 & -600 \\ 0 & -600 & 600 \end{bmatrix}$$

Misal dipakai unit kekakuan  $k = 600 \text{ kg/m}$ , maka matrik K adalah

$$K = \begin{bmatrix} 5k & -2k & 0 \\ -2k & 3k & -k \\ 0 & -k & k \end{bmatrix}$$

Dengan memperhatikan matrik-matrik diatas maka persamaan *eigenproblem* yang dapat disusun adalah sebagai berikut,

$$\begin{bmatrix} 5k - 2\omega^2 m & -2k & 0 \\ -2k & 3k - 1,5\omega^2 m & -k \\ 0 & -k & k - \omega^2 m \end{bmatrix} \begin{Bmatrix} \phi_1 \\ \phi_2 \\ \phi_3 \end{Bmatrix} = \begin{Bmatrix} 0 \\ 0 \\ 0 \end{Bmatrix}$$

persaman tersebut dapat juga ditulis menjadi

$$\begin{bmatrix} 5 - 2\frac{\omega^2}{k/m} & -2 & 0 \\ -2 & 3 - 1,5\frac{\omega^2}{k/m} & -1 \\ 0 & -1 & 1 - \frac{\omega^2}{k/m} \end{bmatrix} \begin{Bmatrix} \phi_1 \\ \phi_2 \\ \phi_3 \end{Bmatrix} = \begin{Bmatrix} 0 \\ 0 \\ 0 \end{Bmatrix}$$

apabila diambil notasi bahwa  $\lambda = \frac{\omega^2}{k/m}$  maka persamaan tersebut akan menjadi:

$$\begin{bmatrix} 5-2\lambda & -2 & 0 \\ -2 & 3-1,5\lambda & -1 \\ 0 & -1 & 1-\lambda \end{bmatrix} \begin{Bmatrix} \phi_1 \\ \phi_2 \\ \phi_3 \end{Bmatrix} = \begin{Bmatrix} 0 \\ 0 \\ 0 \end{Bmatrix}$$

dan apabila persamaan tersebut disederhanakan akan diperoleh:

$$(5-2\lambda)\phi_1 - 2\phi_2 = 0$$

$$-2\phi_1 + (3-1,5\lambda)\phi_2 - \phi_3 = 0$$

$$-\phi_2 + (1-\lambda)\phi_3 = 0$$

dengan mengambil

$$\phi_1 = 1$$

dengan mensubstitusikan nilai tersebut pada persamaan diatas akan diperoleh

$$\phi_2 = (2,5 - \lambda)$$

selanjunya dengan mensubstitusi nilai-nilai tersebut, setelah disusun maka diperoleh,

$$1,5\lambda^3 - 8,25\lambda^2 + 11,25\lambda - 3 = 0$$

persamaan diatas adalah persamaan polinomial pangkat 3 dan nilai yang akan dicari adalah nilai-nilai  $\lambda$  yang merupakan akar-akar dari persamaan tersebut.

Maka diperoleh akar-akar persamaan diatas sebagai berikut:

$$\lambda_1 = 0,3515, \text{ maka } \varpi_1 = \sqrt{0,3515 \frac{600}{1}} = 14,5224 \text{ rad/det}$$

$$\lambda_2 = 1,6066, \text{ maka } \varpi_2 = \sqrt{1,6066 \frac{600}{1}} = 31,0500 \text{ rad/det}$$

$$\lambda_3 = 3,5419, \text{ maka } \varpi_3 = \sqrt{3,5419 \frac{600}{1}} = 46,0992 \text{ rad/det}$$

- **METODE  $\beta$ - NEWMARK**

Matrik massa dan matrik kekakuan dari struktur yang mengalami rotasi pondasi adalah sebagai berikut:

$$\begin{bmatrix} m_1 & 0 & 0 & m_1 & m_1 h_1 & \ddot{y}_1 \\ 0 & m_2 & 0 & m_2 & m_2 h_2 & \ddot{y}_2 \\ 0 & 0 & m_3 & m_3 & m_3 h_3 & \ddot{y}_3 \\ m_1 & m_2 & m_3 & m_0 + m_1 + m_2 + m_3 & m_1 h_1 + m_2 h_2 + m_3 h_3 & \ddot{y}_0 \\ m_1 h_1 & m_2 h_2 & m_3 h_3 & m_1 h_1 + m_2 h_2 + m_3 h_3 & I_G + m_1 h_1^2 + m_2 h_2^2 + m_3 h_3^2 & \ddot{\theta} \end{bmatrix} +$$

$$\begin{bmatrix} k_1 + k_2 & -k_2 & 0 & 0 & 0 \\ -k_2 & k_2 + k_3 & -k_3 & 0 & 0 \\ 0 & -k_3 & k_3 & 0 & 0 \\ 0 & 0 & 0 & k_h & 0 \\ 0 & 0 & 0 & 0 & k_r \end{bmatrix} \begin{Bmatrix} y_1 \\ y_2 \\ y_3 \\ y_0 \\ \theta \end{Bmatrix} = \begin{Bmatrix} m_1 \ddot{y}_b \\ m_2 \ddot{y}_b \\ m_3 \ddot{y}_b \\ (m_0 + m_1 + m_2 + m_3) \ddot{y}_b \\ (m_1 h_1 + m_2 h_2 + m_3 h_3) \ddot{y}_b \end{Bmatrix}$$

$$[M] = \begin{bmatrix} 2 & 0 & 0 & 2 & 8 \\ 0 & 1,5 & 0 & 1,5 & 12 \\ 0 & 0 & 1 & 1 & 12 \\ 2 & 1,5 & 1 & 4,5 & 32 \\ 8 & 12 & 12 & 32 & 272 \end{bmatrix}$$

$$[K] = \begin{bmatrix} 3000 & -1200 & 0 & 0 & 0 \\ -1200 & 1800 & -600 & 0 & 0 \\ 0 & -600 & 600 & 0 & 0 \\ 0 & 0 & 0 & 2E+07 & 0 \\ 0 & 0 & 0 & 0 & 4E+08 \end{bmatrix}$$

- **Mencari Matrik Redaman**

Untuk mencari redaman pada struktur atas digunakan alternatif pertama sehingga digunakan rumus sebagai berikut:

$$\alpha = 2\xi_i\omega_i = 2.0,05.14,5224 = 1,45224$$

$$[C] = \begin{bmatrix} \alpha.m1 & 0 & 0 & 0 & 0 \\ 0 & \alpha.m2 & 0 & 0 & 0 \\ 0 & 0 & \alpha.m3 & 0 & 0 \\ 0 & 0 & 0 & Ch & 0 \\ 0 & 0 & 0 & 0 & Cr \end{bmatrix} =$$

$$\begin{bmatrix} 2,90E+00 & 0 & 0 & 0 & 0 \\ 0 & 2,18E+00 & 0 & 0 & 0 \\ 0 & 0 & 1,45E+00 & 0 & 0 \\ 0 & 0 & 0 & 5,25E+05 & 0 \\ 0 & 0 & 0 & 0 & 9,93E+05 \end{bmatrix}$$

- **Mencari Kekakuan Efektif**

Dalam mencari nilai kekakuan efektif ditentukan dahulu nilai  $\gamma = 0,5$  dan  $\beta = 0,25$  baru kemudian menghitung nilai kekakuan efektif sebagai berikut:

$$k = [K] + \frac{\gamma}{\beta \cdot \Delta t} [C] + \frac{1}{\beta \cdot (\Delta t)^2} [M]$$

$$k = \begin{bmatrix} 3000 & -1200 & 0 & 0 & 0 \\ -1200 & 1800 & -600 & 0 & 0 \\ 0 & -600 & 600 & 0 & 0 \\ 0 & 0 & 0 & 2E+07 & 0 \\ 0 & 0 & 0 & 0 & 4E+08 \end{bmatrix} + \frac{0,5}{0,25 \cdot 0,01}$$

$$\begin{bmatrix} 2,90E+00 & 0 & 0 & 0 & 0 \\ 0 & 2,18E+00 & 0 & 0 & 0 \\ 0 & 0 & 1,45E+00 & 0 & 0 \\ 0 & 0 & 0 & 5,25E+05 & 0 \\ 0 & 0 & 0 & 0 & 9,93E+05 \end{bmatrix} +$$

$$\frac{1}{0,25 \cdot 0,01^2} \begin{bmatrix} 2 & 0 & 0 & 2 & 8 \\ 0 & 1,5 & 0 & 1,5 & 12 \\ 0 & 0 & 1 & 1 & 12 \\ 2 & 1,5 & 1 & 4,5 & 32 \\ 8 & 12 & 12 & 32 & 272 \end{bmatrix}$$

$$k = \begin{bmatrix} 8,35809E+04 & -1,20000E+03 & 0,00000E+00 & 8,00000E+04 & 3,20000E+05 \\ -1,20000E+03 & 6,22357E+04 & -6,00000E+02 & 6,00000E+04 & 4,80000E+05 \\ 0,00000E+00 & -6,00000E+02 & 4,08904E+04 & 4,00000E+04 & 4,80000E+05 \\ 8,00000E+04 & 6,00000E+04 & 4,00000E+04 & 1,25180E+08 & 1,28000E+06 \\ 3,20000E+05 & 4,80000E+05 & 4,80000E+05 & 1,28000E+06 & 6,09480E+08 \end{bmatrix}$$

- Mencari Konstanta "a"

$$a = \frac{1}{\beta \cdot \Delta t} [M] + \frac{\gamma}{\beta} [C]$$

$$a = \frac{1}{0,25 \cdot 0,01} \begin{bmatrix} 2 & 0 & 0 & 2 & 8 \\ 0 & 1,5 & 0 & 1,5 & 12 \\ 0 & 0 & 1 & 1 & 12 \\ 2 & 1,5 & 1 & 4,5 & 32 \\ 8 & 12 & 12 & 32 & 272 \end{bmatrix} + \frac{0,5}{0,25}$$

$$\begin{bmatrix} 2,90E+00 & 0 & 0 & 0 & 0 \\ 0 & 2,18E+00 & 0 & 0 & 0 \\ 0 & 0 & 1,45E+00 & 0 & 0 \\ 0 & 0 & 0 & 5,25E+05 & 0 \\ 0 & 0 & 0 & 0 & 9,93E+05 \end{bmatrix} =$$

$$\begin{bmatrix} 8,05809E+02 & 0,00000E+00 & 0,00000E+00 & 8,00000E+02 & 3,20000E+03 \\ 0,00000E+00 & 6,04357E+02 & 0,00000E+00 & 6,00000E+02 & 4,80000E+03 \\ 0,00000E+00 & 0,00000E+00 & 4,02904E+02 & 4,00000E+02 & 4,80000E+03 \\ 8,00000E+02 & 6,00000E+02 & 4,00000E+02 & 1,05180E+06 & 1,28000E+04 \\ 3,20000E+03 & 4,80000E+03 & 4,80000E+03 & 1,28000E+04 & 2,09480E+06 \end{bmatrix}$$

- Mencari Konstanta "b"

$$b = \frac{1}{2 \cdot \beta} [M] + \Delta t \left( \frac{\gamma}{2 \cdot \beta} - 1 \right) [C]$$

$$b = \frac{1}{2 \cdot 0,25} \begin{bmatrix} 2 & 0 & 0 & 2 & 8 \\ 0 & 1,5 & 0 & 1,5 & 12 \\ 0 & 0 & 1 & 1 & 12 \\ 2 & 1,5 & 1 & 4,5 & 32 \\ 8 & 12 & 12 & 32 & 272 \end{bmatrix} = \begin{bmatrix} 4 & 0 & 0 & 4 & 16 \\ 0 & 3 & 0 & 3 & 24 \\ 0 & 0 & 2 & 2 & 24 \\ 4 & 3 & 2 & 9 & 64 \\ 16 & 24 & 24 & 64 & 544 \end{bmatrix}$$

- Perhitungan Pembebanan

Perhitungan pembebanan menggunakan beban gempa Koyna dimana untuk percepatan gempa untuk selang waktu 0,01 detik sampai dengan 0,03 detik adalah sama yaitu sebesar  $-0,0196 \text{ m/dt}^2$ . Pada pembebanan ini massa M0 dan inersia polar momen  $I_G$  diabaikan karena pengaruhnya sebenarnya sangat kecil.

$$\Delta p_0 = \Delta p_1 = \Delta p_2 = -0,0196 \cdot \begin{bmatrix} 1 \\ 1 \\ 1 \\ 1 \\ 1 \end{bmatrix} \begin{Bmatrix} m_1 \\ m_2 \\ m_3 \\ m_1 + m_2 + m_3 \\ m_1 \cdot h_1 + m_2 \cdot h_2 + m_3 \cdot h_3 \end{Bmatrix}$$

$$\Delta p_0 = \Delta p_1 = \Delta p_2 = -0,0196 \cdot \begin{bmatrix} 1 \\ 1 \\ 1 \\ 1 \\ 1 \end{bmatrix} \begin{Bmatrix} 2 \\ 1,5 \\ 1 \\ 4,5 \\ 32 \end{Bmatrix} = \begin{Bmatrix} 3,9200E - 02 \\ 2,9400E - 02 \\ 1,9600E - 02 \\ 8,8200E - 02 \\ 6,2720E - 01 \end{Bmatrix}$$

#### • HITUNGAN UNTUK SETIAP SELANG WAKTU

Untuk perhitungan setiap selang waktu diperlukan mengetahui invers dari matriks k (kekakuan efektif). Besarnya invers kekakuan efektif adalah

$$k^{-1} = \begin{bmatrix} 1,20013E - 05 & 2,90532E - 07 & 8,91495E - 08 & -7,77019E - 09 & -6,58382E - 09 \\ 2,90532E - 07 & 1,61869E - 05 & 4,00220E - 07 & -7,93712E - 09 & -1,31991E - 08 \\ 8,91495E - 08 & 4,00220E - 07 & 2,47016E - 05 & -7,93951E - 09 & -1,97993E - 08 \\ -7,77019E - 09 & -7,93712E - 09 & -7,93951E - 09 & 7,99981E - 09 & -2,17412E - 13 \\ -6,58382E - 09 & -1,31991E - 08 & -1,97993E - 08 & -2,17412E - 13 & 1,67019E - 09 \end{bmatrix}$$

#### 1) Langkah 1 (saat 0,01 detik)

Untuk kondisi pertama diketahui bahwa  $y_0 = 0$ ;  $\dot{y}_0 = 0$ ;  $\ddot{y}_0 = 0$

##### a. Menghitung pertambahan pembebanan ( $\Delta p_0$ )

$$\Delta p_0 = \Delta p_0 + a \cdot y_0 + b \cdot \dot{y}_0 = \begin{Bmatrix} 3,9200E - 02 \\ 2,9400E - 02 \\ 1,9600E - 02 \\ 8,8200E - 02 \\ 6,2720E - 01 \end{Bmatrix}$$

##### b. Menghitung pertambahan simpangan ( $\Delta y_0$ )

$$k \cdot \Delta y_0 = \Delta p_0$$

$$\Delta y_0 = k^{-1} \cdot \Delta p_0$$

$$\Delta y_0 =$$

$$\begin{bmatrix} 1,20013E - 05 & 2,90532E - 07 & 8,91495E - 08 & - 7,77019E - 09 & - 6,58382E - 09 \\ 2,90532E - 07 & 1,61869E - 05 & 4,00220E - 07 & - 7,93712E - 09 & - 1,31991E - 08 \\ 8,91495E - 08 & 4,00220E - 07 & 2,47016E - 05 & - 7,93951E - 09 & - 1,97993E - 08 \\ - 7,77019E - 09 & - 7,93712E - 09 & - 7,93951E - 09 & 7,99981E - 09 & - 2,17412E - 13 \\ - 6,58382E - 09 & - 1,31991E - 08 & - 1,97993E - 08 & - 2,17412E - 13 & 1,67019E - 09 \end{bmatrix}$$

$$* \begin{bmatrix} 3,9200E - 02 \\ 2,9400E - 02 \\ 1,9600E - 02 \\ 8,8200E - 02 \\ 6,2720E - 01 \end{bmatrix} = \begin{bmatrix} 4,75924E - 07 \\ 4,86149E - 07 \\ 4,86295E - 07 \\ 1,18894E - 11 \\ 1,33165E - 11 \end{bmatrix}$$

c. Menghitung pertambahan kecepatan ( $\Delta \dot{y}_0$ )

$$\Delta \dot{y}_0 = \frac{\gamma}{\beta \cdot \Delta t} \Delta y_0 - \frac{\gamma}{\beta} \ddot{y}_0$$

$$\Delta \dot{y}_0 = \frac{0,5}{0,25 \cdot 0,01} \begin{bmatrix} 4,75924E - 07 \\ 4,86149E - 07 \\ 4,86295E - 07 \\ 1,18894E - 11 \\ 1,33165E - 11 \end{bmatrix} - \frac{0,5}{0,25} \begin{bmatrix} 0 \\ 0 \\ 0 \\ 0 \\ 0 \end{bmatrix} = \begin{bmatrix} 9,51848E - 05 \\ 9,72297E - 05 \\ 9,72590E - 05 \\ 2,37787E - 09 \\ 2,66330E - 09 \end{bmatrix}$$

d. Menghitung pertambahan percepatan ( $\Delta \ddot{y}_0$ )

$$\Delta \ddot{y}_0 = \frac{1}{\beta \cdot \Delta t^2} \Delta y_0 - \frac{1}{\beta \cdot \Delta t} \dot{y}_0 - \frac{1}{2 \cdot \beta} \ddot{y}_0$$

$$\Delta \ddot{y} 0 = \frac{1}{0,25 \cdot 0,01^2} \begin{Bmatrix} 4,75924E - 07 \\ 4,86149E - 07 \\ 4,86295E - 07 \\ 1,18894E - 11 \\ 1,33165E - 11 \end{Bmatrix} - \frac{1}{0,25 \cdot 0,01} \begin{Bmatrix} 0 \\ 0 \\ 0 \\ 0 \\ 0 \end{Bmatrix} - \frac{1}{2,0,25} \begin{Bmatrix} 0 \\ 0 \\ 0 \\ 0 \\ 0 \end{Bmatrix} =$$

$$\begin{Bmatrix} 1,90370E - 02 \\ 1,94459E - 02 \\ 1,94518E - 02 \\ 4,75575E - 07 \\ 5,32660E - 07 \end{Bmatrix}$$

e. Menghitung simpangan ( $\dot{y} 1$ )

$$y1 = y0 + \Delta y 0 = \begin{Bmatrix} 0 \\ 0 \\ 0 \\ 0 \\ 0 \end{Bmatrix} + \begin{Bmatrix} 4,75924E - 07 \\ 4,86149E - 07 \\ 4,86295E - 07 \\ 1,18894E - 11 \\ 1,33165E - 11 \end{Bmatrix} = \begin{Bmatrix} 4,75924E - 07 \\ 4,86149E - 07 \\ 4,86295E - 07 \\ 1,18894E - 11 \\ 1,33165E - 11 \end{Bmatrix}$$

f. Menghitung kecepatan ( $\dot{y} 1$ )

$$y1 = \ddot{y} 0 + \Delta \dot{y} 0 = \begin{Bmatrix} 0 \\ 0 \\ 0 \\ 0 \\ 0 \end{Bmatrix} + \begin{Bmatrix} 9,51848E - 05 \\ 9,72297E - 05 \\ 9,72590E - 05 \\ 2,37787E - 09 \\ 2,66330E - 09 \end{Bmatrix} = \begin{Bmatrix} 9,51848E - 05 \\ 9,72297E - 05 \\ 9,72590E - 05 \\ 2,37787E - 09 \\ 2,66330E - 09 \end{Bmatrix}$$

g. Menghitung percepatan ( $\ddot{y} 1$ )

$$\ddot{y} 1 = \ddot{y} 0 + \Delta \ddot{y} 0 = \begin{Bmatrix} 0 \\ 0 \\ 0 \\ 0 \\ 0 \end{Bmatrix} + \begin{Bmatrix} 1,90370E - 02 \\ 1,94459E - 02 \\ 1,94518E - 02 \\ 4,75575E - 07 \\ 5,32660E - 07 \end{Bmatrix} = \begin{Bmatrix} 1,90370E - 02 \\ 1,94459E - 02 \\ 1,94518E - 02 \\ 4,75575E - 07 \\ 5,32660E - 07 \end{Bmatrix}$$

h. Menghitung simpangan netto

Dapat dilihat pada perhitungan simpangan pada baris pertama hingga baris NDOF+1

$$\Rightarrow \text{Lantai 1}, y = 4,75924\text{E-}07 \text{ m} = 4,75924\text{E-}05 \text{ cm}$$

$$\Rightarrow \text{Lantai 2}, y = 4,86149\text{E-}07 \text{ m} = 4,86149\text{E-}05 \text{ cm}$$

$$\Rightarrow \text{Lantai 3}, y = 4,86295\text{E-}07 \text{ m} = 4,86295\text{E-}05 \text{ cm}$$

$$\Rightarrow \text{Pondasi}, y = 1,18894\text{E-}11 \text{ m} = 1,18894\text{E-}09 \text{ cm}$$

i. Menghitung sudut rotasi pondasi ( $\theta$ )

Sudut rotasi pondasi terletak pada  $\Delta y_0$  di baris NDOF+2 atau baris paling bawah.

$$\theta = 1,33165\text{E-}11 \text{ rad}$$

j. Menghitung simpangan rotasi

Simpangan rotasi dihitung dengan rumus sebagai berikut  $y = h * \tan(\theta)$

$$\Rightarrow \text{Lantai 1}, y = 4 * \tan(1,33165\text{E-}11) = 5,32660\text{E-}11 \text{ m}$$

$$= 5,32660\text{E-}09 \text{ cm}$$

$$\Rightarrow \text{Lantai 2}, y = 8 * \tan(1,33165\text{E-}11) = 1,06532\text{E-}10 \text{ m}$$

$$= 1,06532\text{E-}08 \text{ cm}$$

$$\Rightarrow \text{Lantai 3}, y = 12 * \tan(1,33165\text{E-}11) = 1,59798\text{E-}10 \text{ m}$$

$$= 1,59798\text{E-}08 \text{ cm}$$

k. Menghitung simpangan total

Simpangan total adalah jumlah dari simpangan netto ditambah simpangan rotasi.

$$\Rightarrow Tk\ 1,y = 4,75924E-05 + 5,32660E-09 + 1,18894E-09 = 4,75989E-05 \text{ cm}$$

$$\Rightarrow Tk\ 2,y = 4,86149E-05 + 1,06532E-08 + 1,18894E-09 = 4,86268E-05 \text{ cm}$$

$$\Rightarrow Tk\ 3,y = 4,86295E-05 + 1,59798E-08 + 1,18894E-09 = 4,86467E-05 \text{ cm}$$

$$\Rightarrow \text{Pondasi, } y = 1,18894E-09 \text{ cm}$$

l. Menghitung simpangan antar tingkat, yy (*interstorey drift*)

Simpangan antar tingkat dihitung dengan rumus sebagai berikut,

$$yy_j(t) = \frac{y_j(t) - y_{j-1}(t)}{h} * 100\%$$

$$\Rightarrow \text{Lantai 1, } yy_1 = \frac{Y_{netto\ lantai1}}{\text{tinggi\ tingkat1}} * 100\%$$

$$= \frac{4,75924E-07}{4} * 100\% = 1,18981E-5\%$$

$$\Rightarrow \text{Lantai 2, } yy_2 = \frac{Y_{netto\ lantai2} - Y_{netto\ lantai1}}{\text{tinggi\ tingkat2}} * 100\%$$

$$= \frac{4,86149E-07 - 4,75924E-07}{4} * 100\% = 2,55E-7\%$$

$$\Rightarrow \text{Lantai 3, } yy_3 = \frac{Y_{netto\ lantai3} - Y_{netto\ lantai2}}{\text{tinggi\ tingkat3}} * 100\%$$

$$= \frac{4,86295E-07 - 4,86149E-07}{4} * 100\% = 3,65E-7\%$$

m. Menghitung gaya horisontal tingkat (F)

Gaya horisontal tingkat dihitung dengan rumus sebagai berikut,

$$F_j(t) = y_j(t) * k_j$$

$$F = \begin{bmatrix} 3000 & -1200 & 0 \\ -1200 & 1800 & -600 \\ 0 & -600 & 600 \end{bmatrix} \begin{Bmatrix} 4,75924E-07 \\ 4,86149E-07 \\ 4,86295E-07 \end{Bmatrix} = \begin{Bmatrix} 8,44393E-04 \\ 1,21824E-05 \\ 8,76000E-08 \end{Bmatrix} \text{ kg}$$

n. Menghitung gaya horisontal tingkat komulatif (V)

Gaya horisontal tingkat komulatif adalah merupakan jumlah gaya horisontal tingkat pada tingkat yang ditinjau, dihitung dengan rumus

$$\text{sebagai berikut } V(t) = \sum_{j=1}^n F(t)$$

$$\Rightarrow \text{Lantai 1, } V_1 = F_1 + F_2 + F_3 = 8,56663E-04 \text{ kg}$$

$$\Rightarrow \text{Lantai 2, } V_2 = F_2 + F_3 = 1,22700E-05 \text{ kg}$$

$$\Rightarrow \text{Lantai 3, } V_3 = F_3 = 8,76000E-08 \text{ kg}$$

o. Menghitung moment guling ( $M_g$ )

Momen guling merupakan perkalian gaya horisontal tingkat dengan tinggi tingkat yang ditinjau, dihitung dengan rumus sebagai berikut,  $M_g = F_j(t) * H$

$$\begin{aligned} \Rightarrow \text{Dasar, } M_{g0} &= F1 * H1 + F2 * H2 + F3 * H3 \\ &= 8,44393E-04 * 4 + 1,21824E-05 * 8 + 8,76000E-08 * 12 \\ &= 3,47608E-03 \text{ kg.m} \end{aligned}$$

$$\Rightarrow \text{Lantai 1, } M_{g1} = F2 \cdot H2 + F3 \cdot H3$$

$$= 1,21824E-05 \cdot 4 + 8,76000E-08 \cdot 8$$

$$= 4,94304E-05 \text{ kg.m}$$

$$\Rightarrow \text{Lantai 2, } M_{g2} = F3 \cdot H3$$

$$= 8,76000E-08 \cdot 4 = 3,50400E-07 \text{ kg.m}$$

$$\Rightarrow \text{Lantai 3, } M_{g3} = 0 \text{ kg.m}$$

## 2) Langkah 2 (saat 0,02 detik)

a. Menghitung pertambahan pembebanan ( $\Delta p1$ )

$$\Delta p1 = \Delta p1 + a.y1 + b.y1 = \begin{bmatrix} 3,9200E - 02 \\ 2,9400E - 02 \\ 1,9600E - 02 \\ 8,8200E - 02 \\ 6,2720E - 01 \end{bmatrix} +$$

$$\begin{bmatrix} 8,05809E + 02 & 0,00000E + 00 & 0,00000E + 00 & 8,00000E + 02 & 3,20000E + 03 \\ 0,00000E + 00 & 6,04357E + 02 & 0,00000E + 00 & 6,00000E + 02 & 4,80000E + 03 \\ 0,00000E + 00 & 0,00000E + 00 & 4,02904E + 02 & 4,00000E + 02 & 4,80000E + 03 \\ 8,00000E + 02 & 6,00000E + 02 & 4,00000E + 02 & 1,05180E + 06 & 1,28000E + 04 \\ 3,20000E + 03 & 4,80000E + 03 & 4,80000E + 03 & 1,28000E + 04 & 2,09480E + 06 \end{bmatrix}$$

$$\begin{bmatrix} 9,51848E - 05 \\ 9,72297E - 05 \\ 9,72590E - 05 \\ 2,37787E - 09 \\ 2,66330E - 09 \end{bmatrix} + \begin{bmatrix} 4 & 0 & 0 & 4 & 16 \\ 0 & 3 & 0 & 3 & 24 \\ 0 & 0 & 2 & 2 & 24 \\ 4 & 3 & 2 & 9 & 64 \\ 16 & 24 & 24 & 64 & 544 \end{bmatrix} \begin{bmatrix} 1,90370E - 02 \\ 1,94459E - 02 \\ 1,94518E - 02 \\ 4,75575E - 07 \\ 5,32660E - 07 \end{bmatrix} = \begin{bmatrix} 1,92069E - 01 \\ 1,46528E - 01 \\ 9,77172E - 02 \\ 4,37552E - 01 \\ 3,10940E + 00 \end{bmatrix}$$

b. Menghitung pertambahan simpangan ( $\Delta y1$ )

$$k \cdot \Delta y1 = \Delta p1$$

$$\Delta y1 = k^{-1} \cdot \Delta p1$$

$$\Delta y_1 =$$

$$\begin{bmatrix} 1,20013E - 05 & 2,90532E - 07 & 8,91495E - 08 & - 7,77019E - 09 & - 6,58382E - 09 \\ 2,90532E - 07 & 1,61869E - 05 & 4,00220E - 07 & - 7,93712E - 09 & - 1,31991E - 08 \\ 8,91495E - 08 & 4,00220E - 07 & 2,47016E - 05 & - 7,93951E - 09 & - 1,97993E - 08 \\ - 7,77019E - 09 & - 7,93712E - 09 & - 7,93951E - 09 & 7,99981E - 09 & - 2,17412E - 13 \\ - 6,58382E - 09 & - 1,31991E - 08 & - 1,97993E - 08 & - 2,17412E - 13 & 1,67019E - 09 \end{bmatrix}$$

$$x \begin{Bmatrix} 1,92069E - 01 \\ 1,46528E - 01 \\ 9,77172E - 02 \\ 4,37552E - 01 \\ 3,10940E + 00 \end{Bmatrix} = \begin{Bmatrix} 2,33249E - 06 \\ 2,42222E - 06 \\ 2,42450E - 06 \\ 6,84052E - 11 \\ 5,98755E - 11 \end{Bmatrix}$$

c. Menghitung pertambahan kecepatan ( $\Delta y_1$ )

$$\Delta y_1 = \frac{\gamma}{\beta \cdot \Delta t} \Delta y_1 - \frac{\gamma}{\beta} y_1$$

$$\Delta y_1 = \frac{0,5}{0,25 \cdot 0,01} \begin{Bmatrix} 2,33249E - 06 \\ 2,42222E - 06 \\ 2,42450E - 06 \\ 6,84052E - 11 \\ 5,98755E - 11 \end{Bmatrix} - \frac{0,5}{0,25} \begin{Bmatrix} 9,51848E - 05 \\ 9,72297E - 05 \\ 9,72590E - 05 \\ 2,37787E - 09 \\ 2,66330E - 09 \end{Bmatrix} =$$

$$\begin{Bmatrix} 2,76128E - 04 \\ 2,89985E - 04 \\ 2,90383E - 04 \\ 8,92530E - 09 \\ 6,64849E - 09 \end{Bmatrix}$$

d. Menghitung pertambahan percepatan ( $\Delta y_1$ )

$$\Delta y_1 = \frac{1}{\beta \cdot \Delta t^2} \Delta y_1 - \frac{1}{\beta \cdot \Delta t} y_1 - \frac{1}{2 \cdot \beta} y_1$$

$$\Delta y_1 = \frac{1}{0,25 \cdot 0,01^2} \begin{Bmatrix} 2,33249E - 06 \\ 2,42222E - 06 \\ 2,42450E - 06 \\ 6,84052E - 11 \\ 5,98755E - 11 \end{Bmatrix} - \frac{1}{0,25 \cdot 0,01} \begin{Bmatrix} 9,51848E - 05 \\ 9,72297E - 05 \\ 9,72590E - 05 \\ 2,37787E - 09 \\ 2,66330E - 09 \end{Bmatrix} -$$

$$\frac{1}{2,025} \begin{Bmatrix} 1,90370E - 02 \\ 1,94459E - 02 \\ 1,94518E - 02 \\ 4,75575E - 07 \\ 5,32660E - 07 \end{Bmatrix} = \begin{Bmatrix} 1,71517E - 02 \\ 1,91051E - 02 \\ 1,91729E - 02 \\ 8,33910E - 07 \\ 2,64377E - 07 \end{Bmatrix}$$

e. Menghitung simpangan ( $y_2$ )

$$y_2 = y_1 + \Delta y_1 = \begin{Bmatrix} 4,75924E - 07 \\ 4,86149E - 07 \\ 4,86295E - 07 \\ 1,18894E - 11 \\ 1,33165E - 11 \end{Bmatrix} + \begin{Bmatrix} 2,33249E - 06 \\ 2,42222E - 06 \\ 2,42450E - 06 \\ 6,84052E - 11 \\ 5,98755E - 11 \end{Bmatrix} = \begin{Bmatrix} 2,80841E - 06 \\ 2,90837E - 06 \\ 2,91080E - 06 \\ 8,02946E - 11 \\ 7,31920E - 11 \end{Bmatrix}.$$

f. Menghitung kecepatan ( $\dot{y}_2$ )

$$y_2 = y_1 + \Delta y_1 = \begin{Bmatrix} 9,51848E - 05 \\ 9,72297E - 05 \\ 9,72590E - 05 \\ 2,37787E - 09 \\ 2,66330E - 09 \end{Bmatrix} + \begin{Bmatrix} 2,76128E - 04 \\ 2,89985E - 04 \\ 2,90383E - 04 \\ 8,92530E - 09 \\ 6,64849E - 09 \end{Bmatrix} = \begin{Bmatrix} 3,71313E - 04 \\ 3,87214E - 04 \\ 3,87642E - 04 \\ 1,13032E - 08 \\ 9,31179E - 09 \end{Bmatrix}$$

g. Menghitung percepatan ( $\ddot{y}_2$ )

$$\ddot{y}_2 = \ddot{y}_1 + \Delta \ddot{y}_1 = \begin{Bmatrix} 1,90370E - 02 \\ 1,94459E - 02 \\ 1,94518E - 02 \\ 4,75575E - 07 \\ 5,32660E - 07 \end{Bmatrix} + \begin{Bmatrix} 1,90370E - 02 \\ 1,94459E - 02 \\ 1,94518E - 02 \\ 4,75575E - 07 \\ 5,32660E - 07 \end{Bmatrix} = \begin{Bmatrix} 3,61887E - 02 \\ 3,85510E - 02 \\ 3,86247E - 02 \\ 1,30948E - 06 \\ 7,97037E - 07 \end{Bmatrix}$$

h. Menghitung simpangan netto

Dapat dilihat pada perhitungan simpangan pada baris pertama

hingga baris NDOF+1

$$\Rightarrow \text{Lantai 1, } y = 2,80841\text{E-06 m} = 2,80841\text{E-04 cm}$$

$$\Rightarrow \text{Lantai 2, } y = 2,90837\text{E-06 m} = 2,90837\text{E-04 cm}$$

$$\Rightarrow \text{Lantai 3, } y = 2,91080\text{E-06 m} = 2,91080\text{E-04 cm}$$

$$\Rightarrow \text{Pondasi, } y = 8,02946\text{E-11 m} = 8,02946\text{E-09 cm}$$

i. Menghitung sudut rotasi pondasi ( $\theta$ )

Sudut rotasi pondasi terletak pada  $\Delta y_0$  di baris NDOF+2 atau

baris paling bawah.

$$\theta = 7,31920\text{E-11 rad}$$

j. Menghitung simpangan rotasi

Simpangan rotasi dihitung dengan rumus sebagai berikut

$$y = h * \tan(\theta)$$

$$\Rightarrow \text{Lantai 1, } y = 4 * \tan(7,31920\text{E-11}) = 2,92768\text{E-10 m}$$

$$= 2,92768\text{E-08 cm}$$

$$\Rightarrow \text{Lantai 2, } y = 8 * \tan(7,31920\text{E-11}) = 5,85536\text{E-10 m}$$

$$= 5,85536\text{E-08 cm}$$

$$\Rightarrow \text{Lantai 3, } y = 12 * \tan(7,31920\text{E-11}) = 8,78304\text{E-10 m}$$

$$= 8,78304\text{E-08 cm}$$

k. Menghitung simpangan total

Simpangan total adalah jumlah dari simpangan netto ditambah simpangan rotasi.

$$\Rightarrow Tk\ 1,y = 2,80841E-04 + 2,92768E-08 + 8,02946E-09 = 2,80878E-04 \text{ cm}$$

$$\Rightarrow Tk\ 2,y = 2,90837E-04 + 5,85536E-08 + 8,02946E-09 = 2,90904E-04 \text{ cm}$$

$$\Rightarrow Tk\ 3,y = 2,91080E-04 + 8,78304E-08 + 8,02946E-09 = 2,91176E-04 \text{ cm}$$

$$\Rightarrow \text{Pondasi, } y = 8,02946E-09 \text{ cm}$$

l. Menghitung simpangan antar tingkat, yy (*interstorey drift*)

Simpangan antar tingkat dihitung dengan rumus sebagai berikut,

$$yy_j(t) = \frac{y_j(t) - y_{j-1}(t)}{h} * 100\%$$

$$\Rightarrow \text{Lantai 1, } yy_1 = \frac{Y_{\text{netto lantai}1}}{\text{tinggi tingkat}1} * 100\%$$

$$= \frac{2,80841E-06}{4} * 100\% = 7,021E-05\%$$

$$\Rightarrow \text{Lantai 2, } yy_2 = \frac{Y_{\text{netto lantai}2} - Y_{\text{netto lantai}1}}{\text{tinggi tingkat}2} * 100\%$$

$$= \frac{2,90837E-06 - 2,80841E-06}{4} * 100\% = 2,49E-06\%$$

$$\Rightarrow \text{Lantai 3, } yy_3 = \frac{Y_{\text{netto lantai}3} - Y_{\text{netto lantai}2}}{\text{tinggi tingkat}3} * 100\%$$

$$= \frac{2,91080E-06 - 2,90837E-06}{4} * 100\% = 6,075E-08\%$$

m. Menghitung gaya horisontal tingkat (F)

Gaya horisontal tingkat dihitung dengan rumus sebagai berikut,

$$F_j(t) = y_j(t) * k_j$$

$$F = \begin{bmatrix} 3000 & -1200 & 0 \\ -1200 & 1800 & -600 \\ 0 & -600 & 600 \end{bmatrix} \begin{bmatrix} 2,80841E - 06 \\ 2,90837E - 06 \\ 2,91080E - 06 \end{bmatrix} = \begin{bmatrix} 4,93519E - 03 \\ 1,18494E - 04 \\ 1,45800E - 06 \end{bmatrix} \text{ kg}$$

n. Menghitung gaya horisontal tingkat komulatif (V)

Gaya horisontal tingkat komulatif adalah merupakan jumlah gaya horisontal tingkat pada tingkat yang ditinjau, dihitung dengan rumus

$$\text{sebagai berikut } V(t) = \sum_{j=1}^n F(t)$$

$$\Rightarrow \text{Lantai 1, } V_1 = F_1 + F_2 + F_3 = 5,05514E-03 \text{ kg}$$

$$\Rightarrow \text{Lantai 2, } V_2 = F_2 + F_3 = 1,19952E-04 \text{ kg}$$

$$\Rightarrow \text{Lantai 3, } V_3 = F_3 = 1,45800E-06 \text{ kg}$$

o. Menghitung momen guling ( $M_g$ )

Momen guling merupakan perkalian gaya horisontal tingkat dengan tinggi tingkat yang ditinjau, dihitung dengan rumus sebagai berikut,  $M_g = F_j(t) * H$

$$\begin{aligned} \Rightarrow \text{Dasar, } M_{g0} &= F1 * H1 + F2 * H2 + F3 * H3 \\ &= 4,93519E-03 * 4 + 1,18494E-04 * 8 + 1,45800E-06 * 12 \\ &= 2,07062E-02 \text{ kg.m} \end{aligned}$$

$$\Rightarrow \text{Lantai 1, } M_{g1} = F2 * H2 + F3 * H3$$

$$= 1,18494E-04*4 + 1,45800E-06*8$$

$$= 4,85640E-04 \text{ kg.m}$$

$\Rightarrow$  Lantai 2,  $M_{g2} = F3 * H3$

$$= 1,45800E-06*4 = 5,83200E-06 \text{ kg.m}$$

$\Rightarrow$  Lantai 3,  $M_{g3} = 0 \text{ kg.m}$

### 3) Langkah 3 (saat 0,03 detik)

a. Menghitung pertambahan pembebanan ( $\Delta p_2$ )

$$\Delta p_2 = \Delta p_2 + a.y_2 + b.y_2 = \begin{bmatrix} 3,9200E - 02 \\ 2,9400E - 02 \\ 1,9600E - 02 \\ 8,8200E - 02 \\ 6,2720E - 01 \end{bmatrix} +$$

$$\begin{bmatrix} 8,05809E + 02 & 0,00000E + 00 & 0,00000E + 00 & 8,00000E + 02 & 3,20000E + 03 \\ 0,00000E + 00 & 6,04357E + 02 & 0,00000E + 00 & 6,00000E + 02 & 4,80000E + 03 \\ 0,00000E + 00 & 0,00000E + 00 & 4,02904E + 02 & 4,00000E + 02 & 4,80000E + 03 \\ 8,00000E + 02 & 6,00000E + 02 & 4,00000E + 02 & 1,05180E + 06 & 1,28000E + 04 \\ 3,20000E + 03 & 4,80000E + 03 & 4,80000E + 03 & 1,28000E + 04 & 2,09480E + 06 \end{bmatrix}$$

$$\begin{bmatrix} 3,71313E - 04 \\ 3,87214E - 04 \\ 3,87642E - 04 \\ 1,13032E - 08 \\ 9,31179E - 09 \end{bmatrix} + \begin{bmatrix} 4 & 0 & 0 & 4 & 16 \\ 0 & 3 & 0 & 3 & 24 \\ 0 & 0 & 2 & 2 & 24 \\ 4 & 3 & 2 & 9 & 64 \\ 16 & 24 & 24 & 64 & 544 \end{bmatrix} \begin{bmatrix} 3,61887E - 02 \\ 3,85510E - 02 \\ 3,86247E - 02 \\ 1,30948E - 06 \\ 7,97037E - 07 \end{bmatrix} = \begin{bmatrix} 4,83219E - 01 \\ 3,79143E - 01 \\ 2,53103E - 01 \\ 1,12236E + 00 \\ 7,98611E + 00 \end{bmatrix}$$

b. Menghitung pertambahan simpangan ( $\Delta y_2$ )

$$k.\Delta y_2 = \Delta p_2$$

$$\Delta y_2 = k^{-1} \cdot \Delta p_2$$

$$\Delta y^2 =$$

$$\begin{bmatrix} 1,20013E - 05 & 2,90532E - 07 & 8,91495E - 08 & -7,77019E - 09 & -6,58382E - 09 \\ 2,90532E - 07 & 1,61869E - 05 & 4,00220E - 07 & -7,93712E - 09 & -1,31991E - 08 \\ 8,91495E - 08 & 4,00220E - 07 & 2,47016E - 05 & -7,93951E - 09 & -1,97993E - 08 \\ -7,77019E - 09 & -7,93712E - 09 & -7,93951E - 09 & 7,99981E - 09 & -2,17412E - 13 \\ -6,58382E - 09 & -1,31991E - 08 & -1,97993E - 08 & -2,17412E - 13 & 1,67019E - 09 \end{bmatrix}$$

$$x \begin{bmatrix} 4,83219E - 01 \\ 3,79143E - 01 \\ 2,53103E - 01 \\ 1,12236E + 00 \\ 7,98611E + 00 \end{bmatrix} = \begin{bmatrix} 5,87066E - 06 \\ 6,26451E - 06 \\ 6,27985E - 06 \\ 2,03433E - 10 \\ 1,41025E - 10 \end{bmatrix}$$

c. Menghitung pertambahan kecepatan ( $\Delta \ddot{y}^2$ )

$$\Delta \ddot{y}^2 = \frac{\gamma}{\beta \cdot \Delta t} \Delta y^2 - \frac{\gamma}{\beta} \ddot{y}^2$$

$$\Delta \ddot{y}^2 = \frac{0,5}{0,25 \cdot 0,01} \begin{bmatrix} 5,87066E - 06 \\ 6,26451E - 06 \\ 6,27985E - 06 \\ 2,03433E - 10 \\ 1,41025E - 10 \end{bmatrix} - \frac{0,5}{0,25} \begin{bmatrix} 3,71313E - 04 \\ 3,87214E - 04 \\ 3,87642E - 04 \\ 1,13032E - 08 \\ 9,31179E - 09 \end{bmatrix} =$$

$$\begin{bmatrix} 4,31506E - 04 \\ 4,78473E - 04 \\ 4,80687E - 04 \\ 1,80803E - 08 \\ 9,58143E - 09 \end{bmatrix}$$

d. Menghitung pertambahan percepatan ( $\Delta \ddot{\ddot{y}}^2$ )

$$\Delta \ddot{\ddot{y}}^2 = \frac{1}{\beta \cdot \Delta t^2} \Delta y^2 - \frac{1}{\beta \cdot \Delta t} \ddot{y}^2 - \frac{1}{2 \cdot \beta} \ddot{\ddot{y}}^2$$

$$\Delta y_2 = \frac{1}{0,25 \cdot 0,01^2} \begin{pmatrix} 5,87066E - 06 \\ 6,26451E - 06 \\ 6,27985E - 06 \\ 2,03433E - 10 \\ 1,41025E - 10 \end{pmatrix} - \frac{1}{0,25 \cdot 0,01} \begin{pmatrix} 3,71313E - 04 \\ 3,87214E - 04 \\ 3,87642E - 04 \\ 1,13032E - 08 \\ 9,31179E - 09 \end{pmatrix} -$$

$$\frac{1}{2,025} \begin{pmatrix} 3,61887E - 02 \\ 3,85510E - 02 \\ 3,86247E - 02 \\ 1,30948E - 06 \\ 7,97037E - 07 \end{pmatrix} = \begin{pmatrix} 1,39238E - 02 \\ 1,85926E - 02 \\ 1,88879E - 02 \\ 9,97097E - 07 \\ 3,22212E - 07 \end{pmatrix}$$

e. Menghitung simpangan ( $y_3$ )

$$y_3 = y_2 + \Delta y_2 = \begin{pmatrix} 2,80841E - 06 \\ 2,90837E - 06 \\ 2,91080E - 06 \\ 8,02946E - 11 \\ 7,31920E - 11 \end{pmatrix} + \begin{pmatrix} 5,87066E - 06 \\ 6,26451E - 06 \\ 6,27985E - 06 \\ 2,03433E - 10 \\ 1,41025E - 10 \end{pmatrix} = \begin{pmatrix} 8,67907E - 06 \\ 9,17288E - 06 \\ 9,19065E - 06 \\ 2,83728E - 10 \\ 2,14217E - 10 \end{pmatrix}$$

f. Menghitung kecepatan ( $\dot{y}_3$ )

$$y_3 = y_2 + \Delta y_2 = \begin{pmatrix} 3,71313E - 04 \\ 3,87214E - 04 \\ 3,87642E - 04 \\ 1,13032E - 08 \\ 9,31179E - 09 \end{pmatrix} + \begin{pmatrix} 4,31506E - 04 \\ 4,78473E - 04 \\ 4,80687E - 04 \\ 1,80803E - 08 \\ 9,58143E - 09 \end{pmatrix} = \begin{pmatrix} 8,02819E - 04 \\ 8,65687E - 04 \\ 8,68328E - 04 \\ 2,93835E - 08 \\ 1,88932E - 08 \end{pmatrix}$$

g. Menghitung percepatan ( $\ddot{y}_3$ )

$$y_3 = y_2 + \Delta y_2 = \begin{pmatrix} 3,61887E - 02 \\ 3,85510E - 02 \\ 3,86247E - 02 \\ 1,30948E - 06 \\ 7,97037E - 07 \end{pmatrix} + \begin{pmatrix} 1,39238E - 02 \\ 1,85926E - 02 \\ 1,88879E - 02 \\ 9,97097E - 07 \\ 3,22212E - 07 \end{pmatrix} = \begin{pmatrix} 5,01125E - 02 \\ 5,71436E - 02 \\ 5,75126E - 02 \\ 2,30658E - 06 \\ 1,11925E - 06 \end{pmatrix}$$

h. Menghitung simpangan netto

Dapat dilihat pada perhitungan simpangan pada baris pertama hingga baris NDOF+1

$$\Rightarrow \text{Lantai 1}, y = 8,67907\text{E-}06 \text{ m} = 8,67907\text{E-}04 \text{ cm}$$

$$\Rightarrow \text{Lantai 2}, y = 9,17288\text{E-}06 \text{ m} = 9,17288\text{E-}04 \text{ cm}$$

$$\Rightarrow \text{Lantai 3}, y = 9,19065\text{E-}06 \text{ m} = 9,19065\text{E-}04 \text{ cm}$$

$$\Rightarrow \text{Pondasi}, y = 2,83728\text{E-}10 \text{ m} = 2,83728\text{E-}08 \text{ cm}$$

i. Menghitung sudut rotasi pondasi ( $\theta$ )

Sudut rotasi pondasi terletak pada  $\Delta y_0$  di baris NDOF+2 atau baris paling bawah.

$$\theta = 2,14217\text{E-}10 \text{ rad}$$

j. Menghitung simpangan rotasi

Simpangan rotasi dihitung dengan rumus sebagai berikut

$$y = h * \tan(\theta)$$

$$\Rightarrow \text{Lantai 1}, y = 4 * \tan(2,14217\text{E-}10) = 8,56868\text{E-}10 \text{ m} = 8,56868\text{E-}08 \text{ cm}$$

$$\Rightarrow \text{Lantai 2}, y = 8 * \tan(2,14217\text{E-}10) = 1,71374\text{E-}09 \text{ m} = 1,71374\text{E-}07 \text{ cm}$$

$$\Rightarrow \text{Lantai 3}, y = 12 * \tan(2,14217\text{E-}10) = 2,57060\text{E-}09 \text{ m} = 2,57060\text{E-}07 \text{ cm}$$

k. Menghitung simpangan total

Simpangan total adalah jumlah dari simpangan netto ditambah simpangan rotasi.

$$\Rightarrow \text{Tk 1}, y = 8,67907\text{E-}04 + 8,56868\text{E-}08 + 2,83728\text{E-}08 = 8,68021\text{E-}04 \text{ cm}$$

$$\Rightarrow \text{Tk 2}, y = 9,17288\text{E-}04 + 1,71374\text{E-}07 + 2,83728\text{E-}08 = 9,17487\text{E-}04 \text{ cm}$$

$$\Rightarrow Tk\ 3,y = 9,19073E-4 + 2,57060E-07 + 2,83728E-08 = 9,19350E-04 \text{ cm}$$

$$\Rightarrow \text{Pondasi}, y = 2,83728E-08 \text{ cm}$$

l. Menghitung simpangan antar tingkat,  $yy$  (*interstorey drift*)

Simpangan antar tingkat dihitung dengan rumus sebagai berikut,

$$yy_j(t) = \frac{y_j(t) - y_{j-1}(t)}{h} * 100\%$$

$$\Rightarrow \text{Lantai 1}, yy_1 = \frac{Y_{\text{netto lantai}1}}{\text{tinggi tingkat}1} * 100\%$$

$$= \frac{8,67907E-06}{4} * 100\% = 2,16977E-4\%$$

$$\Rightarrow \text{Lantai 2}, yy_2 = \frac{Y_{\text{netto lantai}2} - Y_{\text{netto lantai}1}}{\text{tinggi tingkat}2} * 100\%$$

$$= \frac{9,17288E-06 - 8,67907E-06}{4} * 100\% = 1,2345E-5\%$$

$$\Rightarrow \text{Lantai 3}, yy_3 = \frac{Y_{\text{netto lantai}3} - Y_{\text{netto lantai}2}}{\text{tinggi tingkat}3} * 100\%$$

$$= \frac{9,19065E-06 - 9,17288E-06}{4} * 100\% = 4,4425E-7\%$$

m. Menghitung gaya horisontal tingkat ( $F$ )

Gaya horisontal tingkat dihitung dengan rumus sebagai berikut,

$$F_j(t) = y_j(t) * k_j$$

$$F = \begin{bmatrix} 3000 & -1200 & 0 \\ -1200 & 1800 & -600 \\ 0 & -600 & 600 \end{bmatrix} \begin{Bmatrix} 8,67907E-06 \\ 9,17288E-06 \\ 9,19065E-06 \end{Bmatrix} = \begin{Bmatrix} 1,50298E-02 \\ 5,81910E-04 \\ 1,06620E-05 \end{Bmatrix} \text{ kg}$$

n. Menghitung gaya horisontal tingkat komulatif ( $V$ )

Gaya horisontal tingkat komulatif adalah merupakan jumlah gaya horisontal tingkat pada tingkat yang ditinjau, dihitung dengan rumus sebagai berikut  $V(t) = \sum_{j=1}^n F_j(t)$

$\Rightarrow$  Lantai 1,  $V_1 = F_1 + F_2 + F_3 = 1,56223E-02$  kg

$\Rightarrow$  Lantai 2,  $V_2 = F_2 + F_3 = 5,92572E-04$  kg

$\Rightarrow$  Lantai 3,  $V_3 = F_3 = 1,06620E-05$  kg

o. Menghitung moment guling ( $M_g$ )

Momen guling merupakan perkalian gaya horisontal tingkat dengan tinggi tingkat yang ditinjau, dihitung dengan rumus sebagai berikut,  $M_g = F_j(t) * H$

$\Rightarrow$  Dasar,  $M_{g0} = F1*H1 + F2*H2 + F3*H3$   
 $= 1,50298E-02*4 + 5,81910E-04*8 + 1,06620E-05*12$   
 $= 6,49022E-02$  kg.m

$\Rightarrow$  Lantai 1,  $M_{g1} = F2*H2 + F3*H3$   
 $= 5,81910E-04*4 + 1,06620E-05*8$   
 $= 2,41294E-03$  kg.m

$\Rightarrow$  Lantai 2,  $M_{g2} = F3*H3$   
 $= 1,06620E-05*4 = 4,26480E-05$  kg.m

$\Rightarrow$  Lantai 3,  $M_{g3} = 0$  kg.m

Hasil perbandingan antara perhitungan manual dan program PROGSIP 2002 disajikan dalam tabel-tabel berikut ini,

| Tingkat | Waktu | Simpangan Netto |             |                |
|---------|-------|-----------------|-------------|----------------|
|         |       | Manual          | Program     | Ketelitian (%) |
| Pondasi | 0,01  | 1,18894E-09     | 1,18891E-09 | 2,40199E-03    |
| 1       | 0,01  | 4,75924E-05     | 4,75924E-05 | -6,23816E-05   |
| 2       | 0,01  | 4,86149E-05     | 4,86149E-05 | 6,13664E-05    |
| 3       | 0,01  | 4,86295E-05     | 4,86295E-05 | -4,09379E-05   |
| Pondasi | 0,02  | 8,02946E-09     | 8,02932E-09 | 1,76298E-03    |
| 1       | 0,02  | 2,80841E-04     | 2,80841E-04 | -1,60967E-04   |
| 2       | 0,02  | 2,90837E-04     | 2,90837E-04 | -1,07583E-05   |
| 3       | 0,02  | 2,91080E-04     | 2,91080E-04 | 1,80016E-05    |
| Pondasi | 0,03  | 2,83728E-08     | 2,83724E-08 | 1,43956E-03    |
| 1       | 0,03  | 1,18894E-09     | 1,18891E-09 | 2,40199E-03    |
| 2       | 0,03  | 4,75924E-05     | 4,75924E-05 | -6,23816E-05   |
| 3       | 0,03  | 4,86149E-05     | 4,86149E-05 | 6,13664E-05    |

| Tingkat | Waktu | Rotasi Pondasi |             |                |
|---------|-------|----------------|-------------|----------------|
|         |       | Manual         | Program     | Ketelitian (%) |
| Pondasi | 0,01  | 1,33165E-11    | 1,33161E-11 | 2,72769E-03    |
|         | 0,02  | 7,31920E-11    | 7,31903E-11 | 2,37920E-03    |
|         | 0,03  | 2,14217E-10    | 2,14213E-10 | 1,89492E-03    |

| Tingkat | Waktu | Simpangan Rotasi |             |                |
|---------|-------|------------------|-------------|----------------|
|         |       | Manual           | Program     | Ketelitian (%) |
| 1       | 0,01  | 5,32660E-09      | 5,32645E-09 | 2,72769E-03    |
| 2       | 0,01  | 1,06532E-08      | 1,06529E-08 | 2,72769E-03    |
| 3       | 0,01  | 1,59798E-08      | 1,59794E-08 | 2,72769E-03    |
| 1       | 0,02  | 2,92768E-08      | 2,92761E-08 | 2,37920E-03    |
| 2       | 0,02  | 5,85536E-08      | 5,85522E-08 | 2,37920E-03    |
| 3       | 0,02  | 8,78304E-08      | 8,78283E-08 | 2,37920E-03    |
| 1       | 0,03  | 8,56868E-08      | 8,56852E-08 | 1,89492E-03    |
| 2       | 0,03  | 1,71374E-07      | 1,71370E-07 | 2,12832E-03    |
| 3       | 0,03  | 2,57060E-07      | 2,57056E-07 | 1,73932E-03    |

| Tingkat | Waktu | Simpangan Total |             |                |
|---------|-------|-----------------|-------------|----------------|
|         |       | Manual          | Program     | Ketelitian (%) |
| Pondasi | 0,01  | 1,18894E-09     | 1,18891E-09 | 2,52326E-03    |
| 1       | 0,01  | 4,75989E-05     | 4,75989E-05 | 0,00000E+00    |
| 2       | 0,01  | 4,86268E-05     | 4,86267E-05 | 2,05648E-04    |
| 3       | 0,01  | 4,86467E-05     | 4,86467E-05 | 0,00000E+00    |
| Pondasi | 0,02  | 8,02946E-09     | 8,02932E-09 | 1,74358E-03    |
| 1       | 0,02  | 2,80878E-04     | 2,80879E-04 | -3,56026E-04   |
| 2       | 0,02  | 2,90904E-04     | 2,90901E-04 | 1,03127E-03    |
| 3       | 0,02  | 2,91176E-04     | 2,91176E-04 | 0,00000E+00    |
| Pondasi | 0,03  | 2,83728E-08     | 2,83724E-08 | 1,40980E-03    |
| 1       | 0,03  | 8,68021E-04     | 8,68022E-04 | -1,15205E-04   |
| 2       | 0,03  | 9,17487E-04     | 9,17488E-04 | -1,08993E-04   |
| 3       | 0,03  | 9,19350E-04     | 9,19351E-04 | -1,08773E-04   |

| Tingkat | Waktu | Simpangan Antar tingkat |             |                |
|---------|-------|-------------------------|-------------|----------------|
|         |       | Manual                  | Program     | Ketelitian (%) |
| 1       | 0,01  | 1,18981E-05             | 1,18981E-05 | 0,00000        |
| 2       | 0,01  | 2,55000E-07             | 2,55610E-07 | -2,39263E-01   |
| 3       | 0,01  | 3,65000E-07             | 3,66244E-09 | 9,89966E+01    |
| 1       | 0,02  | 7,02100E-05             | 7,02104E-05 | 5,69719E-04    |
| 2       | 0,02  | 2,49000E-06             | 2,49889E-06 | -3,57221E-01   |
| 3       | 0,02  | 6,07500E-08             | 6,07291E-08 | 3,44396E-02    |
| 1       | 0,03  | 2,16977E-04             | 2,16977E-04 | 0,0000         |
| 2       | 0,03  | 1,23450E-05             | 1,23452E-05 | -1,46766E-03   |
| 3       | 0,03  | 4,44250E-07             | 4,44220E-07 | 6,72287E-03    |

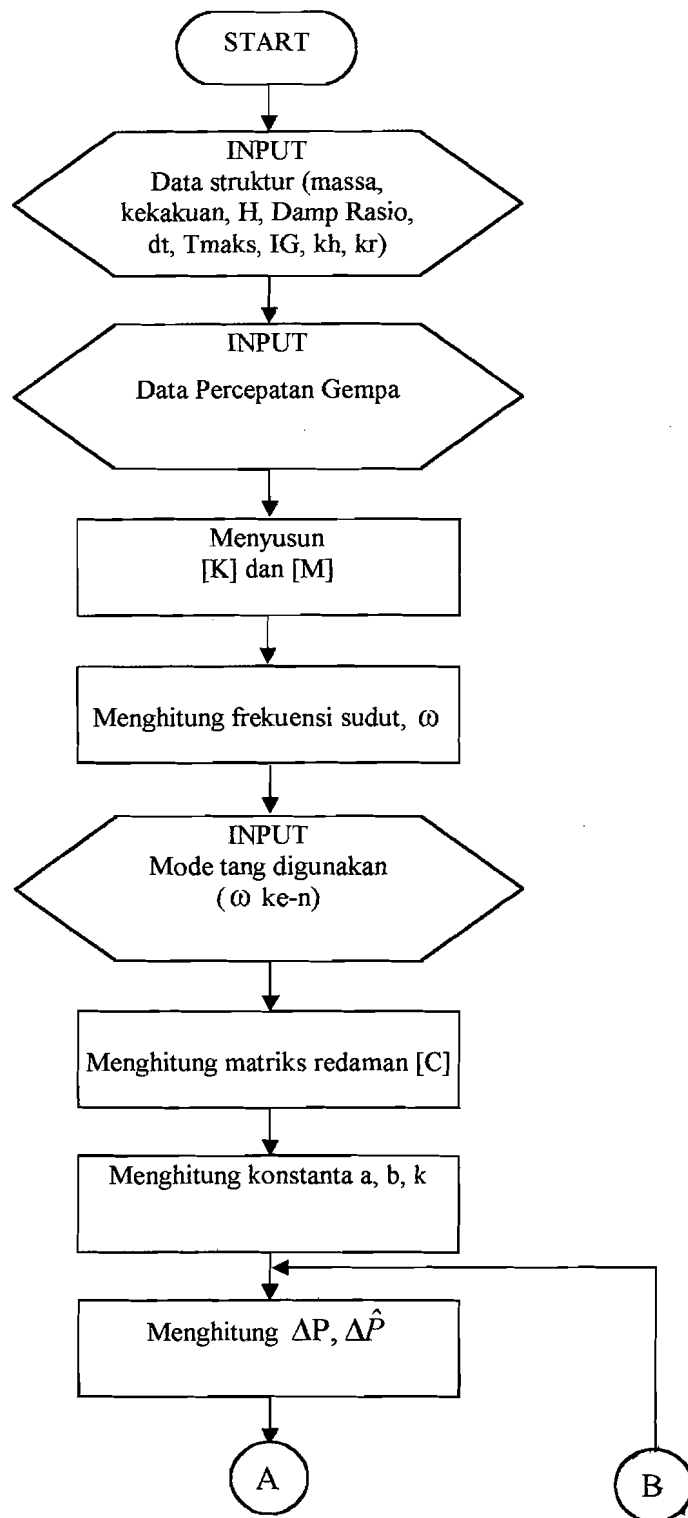
| Tingkat | Waktu | Gaya Horisontal Tingkat |             |                |
|---------|-------|-------------------------|-------------|----------------|
|         |       | Manual                  | Program     | Ketelitian (%) |
| 1       | 0,01  | 8,44393E-04             | 8,44394E-04 | -1,71563E-04   |
| 2       | 0,01  | 1,21824E-05             | 1,21814E-05 | 8,31291E-03    |
| 3       | 0,01  | 8,76000E-08             | 8,78984E-08 | -3,40692E-01   |
| 1       | 0,02  | 4,93519E-03             | 4,93520E-03 | -1,86140E-04   |
| 2       | 0,02  | 1,18494E-04             | 1,18489E-04 | 3,83744E-03    |
| 3       | 0,02  | 1,45800E-06             | 1,45750E-06 | 3,44396E-02    |
| 1       | 0,03  | 1,50298E-02             | 1,50298E-02 | 2,08607E-04    |
| 2       | 0,03  | 5,81910E-04             | 5,81907E-04 | 4,44475E-04    |
| 3       | 0,03  | 1,06620E-05             | 1,06613E-05 | 6,72287E-03    |

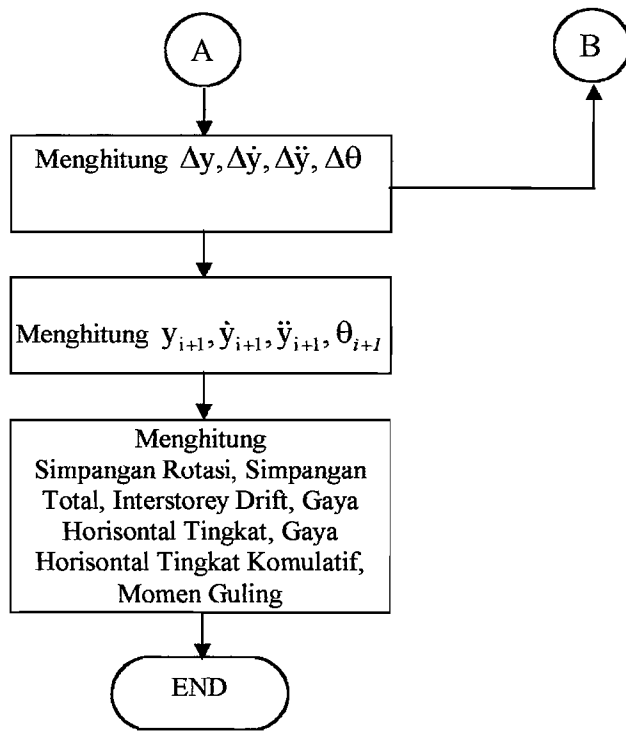
| Tingkat | Waktu | Gaya Horisontal Tingkat Komulatif |             |                |
|---------|-------|-----------------------------------|-------------|----------------|
|         |       | Manual                            | Program     | Ketelitian (%) |
| 1       | 0,01  | 8,56663E-04                       | 8,56664E-04 | -8,57280E-05   |
| 2       | 0,01  | 1,22700E-05                       | 1,22693E-05 | 5,82123E-03    |
| 3       | 0,01  | 8,76000E-08                       | 8,78984E-08 | -3,40692E-01   |
| 1       | 0,02  | 5,05514E-03                       | 5,05515E-03 | -1,21403E-04   |
| 2       | 0,02  | 1,19952E-04                       | 1,19947E-04 | 4,20941E-03    |
| 3       | 0,02  | 1,45800E-06                       | 1,45750E-06 | 3,44396E-02    |
| 1       | 0,03  | 1,56223E-02                       | 1,56223E-02 | -2,39040E-04   |
| 2       | 0,03  | 5,92572E-04                       | 5,92569E-04 | 5,57440E-04    |
| 3       | 0,03  | 1,06620E-05                       | 1,06613E-05 | 6,72287E-03    |

| Tingkat | Waktu | Momen Guling |             |                |
|---------|-------|--------------|-------------|----------------|
|         |       | Manual       | Program     | Ketelitian (%) |
| Dasar   | 0,01  | 3,47608E-03  | 3,47608E-03 | -1,05703E-04   |
| 1       | 0,01  | 4,94304E-05  | 4,94287E-05 | 3,36488E-03    |
| 2       | 0,01  | 3,50400E-07  | 3,51594E-07 | -3,40692E-01   |
| 3       | 0,01  | 0,00000E+00  | 0,00000E+00 | 0,00000E+00    |
| Dasar   | 0,02  | 2,07062E-02  | 2,07062E-02 | -1,13147E-05   |
| 1       | 0,02  | 4,85640E-04  | 4,85618E-04 | 4,57244E-03    |
| 2       | 0,02  | 5,83200E-06  | 5,82999E-06 | 3,44396E-02    |
| 3       | 0,02  | 0,00000E+00  | 0,00000E+00 | 0,00000E+00    |
| Dasar   | 0,03  | 6,49022E-02  | 6,49023E-02 | -1,06767E-04   |
| 1       | 0,03  | 2,41294E-03  | 2,41292E-03 | 8,32184E-04    |
| 2       | 0,03  | 4,26480E-05  | 4,26451E-05 | 6,72287E-03    |
| 3       | 0,03  | 0,00000E+00  | 0,00000E+00 | 0,00000E+00    |

## BAGAN ALIR DAN LISTING PROGSIP 2002

### 1. BAGAN ALIR





## 2. LISTING PROGRAM

EIGEN VALUE (METODE JAKOBI)

```

Sub Cari_Eigen(A() As Single, n As Integer,
Eigenvalue() As Single, Eigenvector() As Single)
CRLF = Chr$(13) + Chr$(10)
Static AIK() As Single: ReDim AIK(n)
ReDim Eigenvalue(n), Eigenvector(n, n)
SIGMA1 = 0
For I = 1 To n
    SIGMA1 = SIGMA1 + A(I, I) ^ 2
    Eigenvector(I, I) = 1
Next I
MaxIteration = 33
frmProgressBar.ProgressBar.Max = MaxIteration
For Iteration = 1 To MaxIteration
    frmProgressBar.ProgressBar.Value = Iteration
    For j = 1 To n - 1
        For K = j + 1 To n
            Q = Abs(A(j, j) - A(K, K))
            If (Q > TOLERANCE) Then
                If (Abs(A(j, K)) <= TOLERANCE) Then
                    GoTo ZeroOffDiagonalElement
                P = 2 * A(j, K) * Q / (A(j, j) - A(K, K))
                SPQ = Sqr(P ^ 2 + Q ^ 2)
                CosA = Sqr((1 + Q / SPQ) / 2)
                SinA = P / (2 * CosA * SPQ)
            Else
                CosA = 1 / Sqr(2)
                SinA = CosA
            End If
            For l = 1 To n
                EVKI = Eigenvector(l, j)
                Eigenvector(l, j) = EVKI * CosA +
Eigenvector(l, K) * SinA
                Eigenvector(l, K) = EVKI * SinA -
Eigenvector(l, K) * CosA
                If (l <= K) Then
                    AIK(l) = A(j, l)
                    A(j, l) = CosA * AIK(l) + SinA * A(l, K)
                    If (l = K) Then A(K, l) = SinA * AIK(l)
                    - CosA * A(K, l)
                Else
                    AIK1 = A(j, l)
                    A(j, l) = CosA * AIK1 + SinA * A(K, l)
                    A(K, l) = SinA * AIK1 - CosA * A(K, l)
                End If
            Next l
            AIK(K) = SinA * AIK(j) - CosA * AIK(K)
        For l = 1 To K
            If (l > j) Then
                A(l, K) = SinA * AIK(l) - CosA * A(l, K)
            Else
                AKI = A(l, j)
                A(l, j) = CosA * AKI + SinA * A(l, K)
                A(l, K) = SinA * AKI - CosA * A(l, K)
            End If
        Next l
    Next K
    Next j
ZeroOffDiagonalElement:

```

```

If K <= n Then A(j, K) = 0
SIGMA2 = 0
For j = 1 To n
    Eigenvalue(j) = A(j, j)
    SIGMA2 = SIGMA2 + Eigenvalue(j) ^ 2
Next j
If (1 - SIGMA1 / SIGMA2 < TOLERANCE)
Then
    Erase AIK
    Converged = True
    Exit Sub
End If
SIGMA1 = SIGMA2
Next Iteration
frmProgressBar.ProgressBar.Value = 0
Converged = False
End Sub
Sub EigenVector_Transformasi(CEigenVal() As
Single, Decomposed, Ndof As Integer, ModeShp()
As Single, U() As Single)
If Decomposed Then
    For I = 1 To Ndof
        If CEigenVal(I) < TOLERANCE Then
            CEigenVal(I) = 0
        Else
            CEigenVal(I) = Sqr(CEigenVal(I))
        End If
    Next I
Else
    For I = 1 To Ndof
        CEigenVal(I) = 1 / Sqr(CEigenVal(I))
    Next I
End If
For I = 1 To Ndof
    For j = 1 To Ndof
        Sum = 0
        For K = I To Ndof
            Sum = Sum + U(K, I) * ModeShp(K, j)
        Next K
        ModeShp(I, j) = Sum
    Next j
Next I
frmProgressBar.ProgressBar.Max = Ndof
For I = 1 To Ndof
    frmProgressBar.ProgressBar.Value = I
    BIG = 0
    For j = 1 To Ndof
        C1 = Abs(ModeShp(j, I))
        C2 = Abs(BIG)
        If (C1 > C2) Then BIG = C1
    Next j
    For j = 1 To Ndof
        ModeShp(j, I) = ModeShp(j, I) / BIG
    Next j
Next I
frmProgressBar.ProgressBar.Value = 0
End Sub

```

**(PROGSIP 2002)**  
Option Explicit

```

'JAKOBI
Option Base 0
Public bTestProgram As Boolean
Public bRiefqibTestProgram As Boolean
Public bRiefqiTampilkan As Boolean
Sub Proses_All()
Dim Y As Integer
Dim YN As Integer
Dim X As Integer
Dim I As Integer
Dim j As Integer
Dim U As Integer
Dim DiKolom As Single
Dim Ki_09_K As Double
Dim S As Single
Dim Vs As Double
Ndof = Ingnd
Clear_Dim ' deklarasi u/ redim
Clear_Var 'hapus variabel 1D
'-----
'rumus FORM MATRIK_MASSANYA
'-----
'hitungan u/ frmMatrik_Massa - 1
frmProgressBar.ProgressBar.Max = Ndof
For Y = 1 To Ndof
    frmProgressBar.ProgressBar.Value = Y
    For YN = 1 To Y
        DoEvents
        HKum(Y) = HKum(Y) + h(YN)
    Next YN
    Next Y
    frmProgressBar.ProgressBar.Value = 0
    'hitungan u/ frmMatrik_Massa - 2
    'beri nilai NOL
    For Y = 1 To Ndof + 2
        For YN = 1 To Ndof + 2
            DoEvents
            Matrik_MassaNya(Y, YN) = 0
        Next YN
    Next Y
    'beri nilai m1,m2,m3 miring
    For Y = 1 To Ndof
        For YN = 1 To Ndof
            DoEvents
            If (Y = YN) Then Matrik_MassaNya(Y, YN) =
                MaSs(YN)
            Next YN
        Next Y
        'beri nilai m1,m2,m3 horisontal
        For Y = Ndof + 1 To Ndof + 1
            For YN = 1 To Ndof
                DoEvents
                Matrik_MassaNya(Y, YN) = MaSs(YN)
            Next YN
        Next Y
        'beri nilai m1,m2,m3 vertikal
        For Y = Ndof + 1 To Ndof + 1
            For YN = 1 To Ndof
                DoEvents
                Matrik_MassaNya(YN, Y) = MaSs(YN)
            Next YN
        Next Y
    Next Y
    'beri nilai m1,m2,m3 horisontal paling bawah
    paling kiri m1h1,m2h2,m3xh3
    For Y = Ndof + 2 To Ndof + 2
        For YN = 1 To Ndof
            DoEvents
            Matrik_MassaNya(Y, YN) = MaSs(YN) *
                HKum(YN)
            Next YN
        Next Y
        'beri nilai m1,m2,m3 horisontal Mo+m1+m2+m3
        For Y = Ndof + 1 To Ndof + 1
            Vs = Mo
            For YN = 1 To Ndof
                DoEvents
                Vs = Vs + MaSs(YN)
            Matrik_MassaNya(Y, Ndof + 1) = Vs
            Next YN
        Next Y
        'beri nilai m1,m2,m3 horisontal paling bawah
        tengah m1h1+m2h2+m3h3
        For Y = Ndof + 1 To Ndof + 1
            Vs = 0
            For YN = 1 To Ndof
                DoEvents
                Vs = Vs + (MaSs(YN) * HKum(YN))
            Matrik_MassaNya(Ndof + 2, Ndof + 1) = Vs
            Next YN
        Next Y
        'beri nilai m1,m2,m3 horisontal paling kanan ke
        bawah sebanyak ndof+2 m1h1,m2h2,m3xh3
        For Y = Ndof + 2 To Ndof + 2
            For YN = 1 To Ndof
                DoEvents
                Matrik_MassaNya(YN, Y) = MaSs(YN) *
                    HKum(YN)
                Next YN
            Next Y
            'beri nilai m1,m2,m3 horisontal paling bawah
            tengah m1h1+m2h2+m3h3
            For Y = Ndof + 2 To Ndof + 2
                Vs = 0
                For YN = 1 To Ndof
                    DoEvents
                    Vs = Vs + (MaSs(YN) * HKum(YN))
                Matrik_MassaNya(Ndof + 1, Ndof + 2) = Vs
                Next YN
            Next Y
            'beri nilai m1,m2,m3 horisontal paling bawah
            tengah Ig+m1(h1^2)+m2(h2^2)+m3(h3^2)
            For Y = Ndof + 2 To Ndof + 2
                Vs = Ig
                For YN = 1 To Ndof
                    DoEvents
                    Vs = Vs + (MaSs(YN) * (HKum(YN) ^ 2))
                Matrik_MassaNya(Ndof + 2, Ndof + 2) = Vs
                Next YN
            Next Y
            'MATRIK KEKAKUAN
            'beri nilai NOL
            For Y = 1 To Ndof + 2
                For YN = 1 To Ndof + 2
                    DoEvents

```

```

        Matrik_Kekakuan(Y, YN) = 0
    Next YN
Next Y
' k1+k2 lalu diagonal kebawah k2+k3
For Y = 2 To Ndof
    For YN = 2 To Ndof
        DoEvents
        If Y - 1 = YN - 1 Then
            Matrik_Kekakuan(Y - 1, YN - 1) = KK(Y - 1)
            + KK(Y)
        End If
    Next YN
Next Y
Matrik_Kekakuan(Ndof, Ndof) = KK(Ndof)
Matrik_Kekakuan(Ndof + 1, Ndof + 1) = Kh
Matrik_Kekakuan(Ndof + 2, Ndof + 2) = Kr
    '-k2 diagonal ke kanan bawah -k3
U = 0
For Y = 2 To Ndof
    DoEvents
    U = U + 1
    Matrik_Kekakuan(U, Y) = -KK(Y)
    Matrik_Kekakuan(Y, Y - 1) = -KK(Y)
Next Y
'MATRIK REDAMAN
'hitungan u/ frmMatrik_Massa - 1
'cari Alpha
'frmInputOmega -> Untuk [C] proportional dengan
[M] dipakai mode ke=
-----
'SEBELUM perintah dibawah ini, JANGAN ada
redim CEigenVal(ndof)
Select Case ComboCMK
Case 0
    Alpha1 = 2 * Dampratio *
CEigenVal(ComboCM)
    'rumus Matrik_C = Alpha * Matrik_Massa
    For Y = 1 To Ndof + 2
        For X = 1 To Ndof + 2
            DoEvents
            Matrik_C(Y, X) = Alpha1 *
Matrik_MassaNya(Y, X)
        Next X
    Next Y
Case 1
    Beta1 = (2 * Dampratio) /
CEigenVal(ComboCM)
    'rumus Matrik_C = Beta1 * Matrik_Kekakuan
    For Y = 1 To Ndof + 2
        For X = 1 To Ndof + 2
            DoEvents
            Matrik_C(Y, X) = Beta1 *
Matrik_Kekakuan(Y, X)
        Next X
    Next Y
Case 2
    If CEigenValMaks = CEigenValMin Then
        Beta2 = 0
        Debug.Print Dampratio, CEigenValMaks,
CEigenValMaks ^ 2, CEigenValMin, CEigenValMin
        ^ 2
        'Debug.Print Dampratio * CEigenValMaks -
        Dampratio * CEigenValMin
        'Debug.Print (2 * (Dampratio *
CEigenValMaks - Dampratio * CEigenValMin))
        'Debug.Print ((CEigenValMaks ^ 2) -
CEigenValMin ^ 2)
        'Debug.Print
        Else
            Beta2 = (2 * (Dampratio * CEigenValMaks -
Dampratio * CEigenValMin)) / ((CEigenValMaks ^
2) - CEigenValMin ^ 2)
        End If
        Alpha2 = 2 * Dampratio * CEigenValMaks -
Beta2 * (CEigenValMaks ^ 2)
        'rumus Matrik_C = (Alpha2 * Matrik_Massa) +
(Beta2 * Matrik_Kekakuan)
        For Y = 1 To Ndof + 2
            For X = 1 To Ndof + 2
                DoEvents
                Matrik_C(Y, X) = (Alpha2 *
Matrik_MassaNya(Y, X)) + (Beta2 *
Matrik_Kekakuan(Y, X))
            Next X
        Next Y
    End Select
    'cari Matrik_K
    Beta = 0.25
    Gamma = 0.5
    For Y = 1 To Ndof + 2
        For X = 1 To Ndof + 2
            DoEvents
            Matrik_K(Y, X) = Matrik_Kekakuan(Y, X) +
(Gamma / (Beta * Dt)) * Matrik_C(Y, X) + (1 /
(Beta * (Dt ^ 2))) * Matrik_MassaNya(Y, X)
        Next X
    Next Y
    'cari Matrik_A
    For Y = 1 To Ndof + 2
        For X = 1 To Ndof + 2
            DoEvents
            Matrik_A(Y, X) = (1 / (Beta * Dt)) *
Matrik_MassaNya(Y, X) + (Gamma / Beta) *
Matrik_C(Y, X)
        Next X
    Next Y
    'cari Matrik_B
    For Y = 1 To Ndof + 2
        For X = 1 To Ndof + 2
            DoEvents
            Matrik_B(Y, X) = (1 / (2 * Beta)) *
Matrik_MassaNya(Y, X) + (Dt * (Gamma / (2 *
Beta) - 1)) * Matrik_C(Y, X)
        Next X
    Next Y
    'end rumus FORM MATRIK MASSA
    'cari pengurangan next - prev
    For I = 1 To Sebanyak_N
        DoEvents
        If I = 1 Then
            PerVNextMinPrev(I) = (Pt(I) - 0) / 100
        Else
            PerVNextMinPrev(I) = (Pt(I) - Pt(I - 1)) / 100

```



```

DoEvents
DeltaPAks1Dim(Y) = DeltaPRiefPakai(I, Y) +
MA_Kali_VAks(I, Y) + MB_Kali_VDoubleAks(I,
Y)
Next Y
MergerMatrik Matrik_K(), DeltaPAks1Dim(),
MatMerger2Dim(), Ndof + 2, I
BuatDuaDimensi DeltaPAks1Dim(),
DeltaPAks(), I, Ndof + 2
GaussJourdan MatMerger2Dim(),
DeltaV1Dim(), Ndof + 2, True, Sebanyak_N
BuatTigaDimensi MatMerger2Dim(),
MatMerger(), I, Ndof + 2
BuatDuaDimensi DeltaV1Dim(), DeltaV(), I,
Ndof + 2
For Y = 1 To Ndof + 2
DoEvents
'DeltaVAks(i, y) = (Gamma / (Beta * Dt) *
DeltaV(i, y)) - (Gamma / Beta) * VAks(i, y) + Dt *
(1 - (Gamma / (2 * Beta))) * VDoubleAks(i, y)
A = Gamma / (Beta * Dt) '**
B = DeltaV(I, Y) '-*
C = Gamma / Beta '**
DH = VAks(I, Y) '+*
F = Dt * (1 - (Gamma / (2 * Beta))) ''*
G = VDoubleAks(I, Y)
DeltaVAks(I, Y) = A * B - C * DH + F * G
A = 0: B = 0: C = 0: DH = 0: E = 0: F = 0: G = 0
'DeltaVDoubleAks(i, y) = 1 / (Beta * (Dt ^ 2))
* DeltaV(i, y) - (1 / (Beta * Dt)) * VAks(i, y) - (1 /
(2 * Beta)) * VDoubleAks(i, y)
A = 1 / (Beta * (Dt ^ 2)) '**
B = DeltaV(I, Y) '-*
C = 1 / (Beta * Dt) ''*
DH = VAks(I, Y) '-*
E = 1 / (2 * Beta) '**
F = VDoubleAks(I, Y)
DeltaVDoubleAks(I, Y) = A * B - C * DH - E * F
A = 0: B = 0: C = 0: DH = 0: E = 0: F = 0: G = 0
DoEvents
V_IniLho(I + 1, Y) = V_IniLho(I, Y) +
DeltaV(I, Y)
VAks(I + 1, Y) = VAks(I, Y) + DeltaVAks(I, Y)
VDoubleAks(I + 1, Y) = VDoubleAks(I, Y) +
DeltaVDoubleAks(I, Y)
Next Y
Next I
'Simpangan Rotasi
Dim RadianRief As Double
Const PI = 3.14159265
For Y = 1 To Sebanyak_N
For X = 1 To Ndof
DoEvents
RadianRief = V_IniLho(Y, Ndof + 2)
SimRot(Y, X) = HKum(X) *
Tan(RadianRief) * 100
Next X
Next Y
'Simpangan Total
For Y = 1 To Sebanyak_N
For X = Ndof + 1 To Ndof + 1
SimTOT(Y, X) = V_IniLho(Y, Ndof + 1) * 100
Next X
Next Y
For Y = 1 To Sebanyak_N
For X = 1 To Ndof
DoEvents
SimTOT(Y, X) = (V_IniLho(Y, X) * 100) +
SimRot(Y, X)
Next X
Next Y
'InterstoreyDrift Netto
ReDim Ide(Sebanyak_N + 2, Ndof + 2)
For I = 1 To Sebanyak_N
U = 1
YN = 1
For Y = 1 To 1
DoEvents
uji = (V_IniLho(I, Y) - V_IniLho(I, Ndof + 1))
Ide(I, YN) = (uji / h(U)) * 100
Next Y
Next I
For I = 1 To Sebanyak_N
U = 2
For Y = 2 To Ndof + 1
DoEvents
uji = (V_IniLho(I, Y) - V_IniLho(I, Y - 1))
Ide(I, Y) = (uji / h(U)) * 100
Next Y
U = U + 1
If U > Ndof Then U = 1
Next I
'rumbus tambahan gaya horisontal tingkat Netto
ReDim Ft(Sebanyak_N + 2, Ndof + 2)
M = Ndof
For I = 2 To Sebanyak_N 'Angka ini memang
DUA to ...
'Rumbus : Ft = Matrik_K * V_IniLho
'-----proses perkalian
IKolom = I
For X = 1 To Ndof
Ft(IKolom, X) = 0
For K = 1 To M
DoEvents
Ft(IKolom, X) = Ft(IKolom, X) +
((Matrik_Kekakuan(X, K) / 100) *
V_IniLho(IKolom, K)) * 100 '* SimTOT(IKolom,
K))
Next K
Next X
'-----proses perkalian
Next I
'rumbus tambahan gaya geser komulatif tingkat
'Rumbus: jumlah Ft(IKolom, X) ditambah lantai
sebelumnya sesuai tingkatnya
ReDim FtKom(Sebanyak_N + 2, Ndof + 4)
For I = 1 To Sebanyak_N
For Y = 2 To Ndof - 2
For YN = Y To Ndof
DoEvents
FtKom(I, Y) = FtKom(I, Y) + Ft(I, YN)
Next YN
Next Y
Next I

```

```

For I = 1 To Sebanyak_N
  For Y = Ndof To Ndof
    DoEvents
    FtKom(I, Y) = Ft(I, Y)
  Next Y
Next I
For I = 1 To Sebanyak_N
  DoEvents
  Vs = 0
  Vs = Ft(I, Ndof - 1) + Ft(I, Ndof)
  FtKom(I, Ndof - 1) = Vs
Next I
DiKolom = 1
For I = 1 To Sebanyak_N
  Vs = 0
  For YN = 1 To Ndof
    DoEvents
    Vs = Vs + Ft(I, YN)
  Next YN
  FtKom(I, DiKolom) = Vs
Next I
' operkan nilai dari Ft ke FtBaru
ReDim FtBaru(Sebanyak_N + 2, Ndof + 2)
DiKolom = 1
For I = 1 To Sebanyak_N
  DoEvents
  FtBaru(I, DiKolom) = Ft(I, Ndof + 1)
Next I
For I = 1 To Sebanyak_N
  For YN = 1 To Ndof
    DoEvents
    FtBaru(I, YN + 1) = Ft(I, YN)
  Next YN
Next I
'rumus tambahan Moment Guling
'Rumus: Mg = (ft ke N) dikalikan (hkum ke n)
  ReDim Mg(Sebanyak_N + 2, Ndof + 2)
  Vs = 0
  For Y = 2 To Sebanyak_N
    U = 2
    Q = 1
    Tambah = False
    Awal = 1
    For X = 1 To Ndof + 1
      If Tambah Then
        Awal = Awal + 1
        U = Awal + 1
        Tambah = False
      End If
    For YN = Awal To Ndof
      -----
      DoEvents
      Vs = Vs + h(U - 1)
      Mg(Y, X) = Mg(Y, X) + (FtBaru(Y, U) *
Vs)
      -----
      Q = Q + 1
      U = U + 1
    Next YN
    U = 2
    Q = 1
    Tambah = True
  Next Y
Vs = 0
Next X
Next Y
' konversikan u/ meter dari cm
For I = 1 To Sebanyak_N
  For Y = 1 To Ndof + 1
    DoEvents
    V_IniLho(I, Y) = V_IniLho(I, Y) * 100
  Next Y
Next I
'BAGIAN TULIS KE FILE
TulisFile_All
Sub Clear_Dim()
  Ndof = Ingnd
  ReDim MHkw(Ndof)
  'matrik kekakuan
  ReDim Matrik_Kekakuan(Ndof + 2, Ndof + 2)
  'matrik redaman
  ReDim Matrik_C(Ndof + 2, Ndof + 2)
  ReDim Matrik_K(Ndof + 2, Ndof + 2) 'ReDim
  Matrik_K(Ndof + 3, Ndof + 3)
  ReDim Matrik_A(Ndof + 2, Ndof + 2)
  ReDim Matrik_B(Ndof + 2, Ndof + 2)
  'frmSiklus
  ReDim PerVNextMinPrev(Sebanyak_N)
  ReDim V_IniLho(Sebanyak_N + 2, Ndof + 2)
  ReDim VAks(Sebanyak_N + 2, Ndof + 2)
  ReDim VDoubleAks(Sebanyak_N + 2, Ndof + 3)
  ReDim DeltaPAks1Dim(Ndof + 2)
  ReDim DeltaPAks(Sebanyak_N, Ndof + 2)
  ReDim DeltaVDoubleAks(Sebanyak_N, Ndof + 2)
  ReDim DeltaV1Dim(Ndof + 2)
  ReDim DeltaV_wess(Sebanyak_N + 10, Ndof + 2)
  ReDim DeltaV(Sebanyak_N, Ndof + 2)
  ReDim DeltaVAks(Sebanyak_N + 2, Ndof + 2)
  ReDim DeltaPRief(Sebanyak_N, Ndof + 2)
  ReDim MA_Kali_VAks(Sebanyak_N, Ndof + 2)
  ReDim MB_Kali_VDoubleAks(Sebanyak_N,
Ndof + 2)
  ReDim TotalRif(Sebanyak_N)
  ReDim MatMerger2Dim(Sebanyak_N + 2, Ndof +
3)
  ReDim MatMerger(Sebanyak_N + 2, Ndof + 2,
Ndof + 3) '3D
  ReDim MaTrIkKaKs(Ndof + 2, Ndof + 2)
  ReDim Ide(Sebanyak_N + 2, Ndof + 2)
  ReDim Ft(Sebanyak_N + 2, Ndof + 2)
  ReDim FtKom(Sebanyak_N + 2, Ndof + 4)
  ReDim Ggd(Sebanyak_N + 2)
  ReDim UntukMg(Sebanyak_N + 2, Ndof + 2)
  ReDim HMinH(Ndof + 4)
  ReDim HPlusH(Ndof + 4)
  ReDim Mg(Sebanyak_N + 2, Ndof + 2)
  ReDim MatHasil3D(Sebanyak_N + 2, Ndof + 2,
Ndof + 2)
  ReDim SimRot(Sebanyak_N, Ndof + 1)
  ReDim SimTOT(Sebanyak_N, Ndof + 2)
  ReDim DeltaPRiefPakai(Sebanyak_N, Ndof + 2)
  ReDim Matrik_MassaNya(Ndof + 2, Ndof + 2)
End Sub
'Rifqi-Bas, frmMatrik_Massa
KumpulMHkw = 0

```

```

End Sub
Sub TulisFile_All()
Dim Y As Integer
Dim YN As Integer
Dim X As Integer
Dim I As Integer
Dim j As Integer
Dim U As Integer
Dim DiKolom As Single
Dim Ki_09_K As Single
Dim S As Single
Dim Vs As Single
Dim sf As String
Dim Spasi As String
Dim wess$
Dim Filenumber As Integer
Dim Jarak As Integer
' -----
bRiefqiTampilan = True
bRiefqibTestProgram = False
Dim NilaiPlus As Double
Dim NilaiMin As Double
' -----
Jarak = 10
Ndof = Ingnd
If bRiefqiTampilan Then
    sf =
"#####0.#####0.#####0"
    wess$ = "V_IniLho"
    Filenumber = FreeFile
    Open frmSave.Text2 & "\" & wess$ & ".Txt"
For Output As #Filenumber
    Print #Filenumber, App.Title & " (Dapat
dilihat pada file *.Txt)"
    Print #Filenumber,
    Print #Filenumber, "Data Struktur : " &
FileName
    Print #Filenumber, "Data Percepatan: " &
FileName2
    Print #Filenumber, "TMax      :" & TMax
    Print #Filenumber, "Dt       :" & Dt
    Print #Filenumber, "Sebanyak_N  :" &
TMax / Dt
    Print #Filenumber,
    Print #Filenumber, "Table V_IniLho"
    Print #Filenumber, GarisF(Len("Table
V_IniLho"))
        For I = 1 To Sebanyak_N
            For Y = 1 To Ndof + 2
                If (Y = 1) Then
                    Jarak = 1
                Else
                    Jarak = 35
                End If
                'Print #Filenumber, Tab(Jarak * (y - 1)); i
& "," & y; " "; Format(V_IniLho(i, y), sf);
                Print #Filenumber, Tab(Jarak * (Y - 1)); I
& "," & Y; " "; V_IniLho(I, Y);
            Next Y
        Next I
    Print #Filenumber,
    Print #Filenumber, GarisF((Jarak * Ndof) +
Jarak + 13)
    CariMinMaksAbs 1, Ndof + 2, 1,
    Sebanyak_N, V_IniLho()
        For X = 1 To Ndof + 2
            Print #Filenumber, Tab(Jarak * (X - 1));
            "Maks="; Maks(X);
            Next X
        For X = 1 To Ndof + 2
            Print #Filenumber, Tab(Jarak * (X - 1));
            "Min="; Min(X);
            Next X
        For X = 1 To Ndof + 2
            Print #Filenumber, Tab(Jarak * (X - 1));
            "AbsNya="; AbsNya(X);
            Next X
        Print #Filenumber,
        Print #Filenumber,
        Print #Filenumber,
        Close #Filenumber
    End If
    If bRiefqiTampilan Then
        sf =
"#####0.#####0.#####0.#####0"
        wess$ = "VAks"
        Filenumber = FreeFile
        Open frmSave.Text2 & "\" & wess$ & ".Txt"
For Output As #Filenumber
    Print #Filenumber, App.Title & " (Dapat
dilihat pada file *.Txt)"
    Print #Filenumber,
    Print #Filenumber, "Data Struktur : " &
FileName
    Print #Filenumber, "Data Percepatan: " &
FileName2
    Print #Filenumber, "TMax      :" & TMax
    Print #Filenumber, "Dt       :" & Dt
    Print #Filenumber, "Sebanyak_N  :" &
TMax / Dt
    Print #Filenumber,
    Print #Filenumber, "Table VAks"
    Print #Filenumber, GarisF(Len("Table
VAks"))
        For I = 1 To Sebanyak_N
            For Y = 1 To Ndof + 2
                If (Y = 1) Then
                    Jarak = 1
                Else
                    Jarak = 35
                End If
                Print #Filenumber, I & "," & Y; " ";
VAks(I, Y)
            Next Y
        Next I
    Print #Filenumber,
    Close #Filenumber
    End If
    If bRiefqiTampilan Then
        sf =
"#####0.#####0.#####0.#####0"
        wess$ = "VDoubleAks"

```



```

Filenumber = FreeFile
Open frmSave.Text2 & "\" & wess$ & ".Txt"
For Output As #Filenumber
    Print #Filenumber, App.Title & " (Dapat
dilihat pada file *.Txt)"
    Print #Filenumber,
    Print #Filenumber, "Data Struktur : " &
FileName
    Print #Filenumber, "Data Percepatan: " &
FileName2
    Print #Filenumber, "TMax      : " & TMax
    Print #Filenumber, "Dt       : " & Dt
    Print #Filenumber, "Sebanyak_N : " &
TMax / Dt
    Print #Filenumber,
    Print #Filenumber, "Table VDoubleAks"
    Print #Filenumber, GarisF(Len("Table
VDoubleAks"))
        ' mencari nilai u/ Jarak, yg sesuai bagi
semua kolom
        Spasinya = 15
        U = Ndof + 1
        For I = 1 To Sebanyak_N
            For Y = 1 To Ndof
                If Len(Format(VDoubleAks(I, Y), sf))
> Jarak Then
                    SelisihJarak =
Len(Format(VDoubleAks(I, Y), sf)) - Jarak
                    Jarak = Jarak + SelisihJarak +
Spasinya
                End If
                Next Y
            Next I
            SimJarak = Jarak
            For I = 1 To Sebanyak_N
                For Y = 1 To Ndof + 2
                    If (Y = 1) Then
                        Jarak = 1
                    Else
                        Jarak = SimJarak
                        Jarak = 35
                    End If
                    Print #Filenumber, Tab(Jarak * (Y - 1)); I
& ", " & Y; " ", VDoubleAks(I, Y);
                    'Print #Filenumber, i & ", " & y; " ";
VDoubleAks(i, y)
                Next Y
            Next I
            Print #Filenumber,
            Close #Filenumber
        End If
        If bRiefqiTampilkan Then
            sf =
"#####0.#####0.#####0.#####0.#####0.#####0."
            wess$ = "Matrik_A"
            Filenumber = FreeFile
            Open frmSave.Text2 & "\" & wess$ & ".Txt"
For Output As #Filenumber
    Print #Filenumber, App.Title & " (Dapat
dilihat pada file *.Txt)"
    Print #Filenumber,
    Print #Filenumber, "Data Struktur : " &
FileName
    Print #Filenumber, "Data Percepatan: " &
FileName2
    Print #Filenumber, "TMax      : " & TMax
    Print #Filenumber, "Dt       : " & Dt
    Print #Filenumber, "Sebanyak_N : " &
TMax / Dt
    Print #Filenumber,
    Print #Filenumber, "Table Matrik_A"
    Print #Filenumber, GarisF(Len("Table
Matrik_A"))
        For I = 1 To Ndof + 2
            For Y = 1 To Ndof + 2
                If (Y = 1) Then
                    Jarak = 1
                Else
                    Jarak = 35
                End If
                'Print #Filenumber, Tab(Jarak * (y - 1)); i
& ", " & y; " "; Format(Matrik_A(i, y), sf);
                Print #Filenumber, Tab(Jarak * (Y - 1)); I
& ", " & Y; " "; Matrik_A(I, Y);
            Next Y
        Next I
        Print #Filenumber,
        Print #Filenumber,
        Close #Filenumber
    End If
    If bRiefqiTampilkan Then
        sf =
"#####0.#####0.#####0.#####0.#####0.#####0."
        wess$ = "Matrik_B"
        Filenumber = FreeFile
        Open frmSave.Text2 & "\" & wess$ & ".Txt"
For Output As #Filenumber
    Print #Filenumber, App.Title & " (Dapat
dilihat pada file *.Txt)"
    Print #Filenumber,
    Print #Filenumber, "Data Struktur : " &
FileName
    Print #Filenumber, "Data Percepatan: " &
FileName2
    Print #Filenumber, "TMax      : " & TMax
    Print #Filenumber, "Dt       : " & Dt
    Print #Filenumber, "Sebanyak_N : " &
TMax / Dt
    Print #Filenumber,
    Print #Filenumber, "Table Matrik_B"
    Print #Filenumber, GarisF(Len("Table
Matrik_B"))
        For I = 1 To Ndof + 2
            For Y = 1 To Ndof + 2
                If (Y = 1) Then
                    Jarak = 1
                Else
                    Jarak = 35
                End If
                'Print #Filenumber, Tab(Jarak * (y - 1)); i
& ", " & y; " "; Format(Matrik_B(i, y), sf);
                Print #Filenumber, Tab(Jarak * (Y - 1)); I
& ", " & Y; " "; Matrik_B(I, Y);

```

```

        Next Y
        Next I
        Print #Filenumber,
        Print #Filenumber,
        Close #Filenumber
    End If
    If bRiefqiTampilkan Then
        sf =
"#####0.#####0.#####0.#####0.#####0.#####0."
        wess$ = "Matrik_C"
        Filenumber = FreeFile
        Open frmSave.Text2 & "\" & wess$ & ".Txt"
    For Output As #Filenumber
        Print #Filenumber, App.Title & " (Dapat
dilihat pada file *.Txt)"
        Print #Filenumber,
        Print #Filenumber, "Data Struktur : " &
FileName
        Print #Filenumber, "Data Percepatan: " &
FileName2
        Print #Filenumber, "TMax : " & TMax
        Print #Filenumber, "Dt : " & Dt
        Print #Filenumber, "Sebanyak N : " &
TMax / Dt
        Print #Filenumber,
        Print #Filenumber, "Table Matrik_C"
        Print #Filenumber, GarisF(Len("Table
Matrik_C"))
        For I = 1 To Ndof + 2
            For Y = 1 To Ndof + 2
                If (Y = 1) Then
                    Jarak = 1
                Else
                    Jarak = 35
                End If
                'Print #Filenumber, Tab(Jarak * (y - 1)); i
& "," & y; " "; Format(Matrik_C(i, y), sf);
                Print #Filenumber, Tab(Jarak * (Y - 1)); I
& "," & Y; " "; Matrik_C(I, Y);
                Next Y
            Next I
            Print #Filenumber,
            Print #Filenumber,
            Close #Filenumber
        End If
        If bRiefqiTampilkan Then
            sf =
"#####0.#####0.#####0.#####0.#####0.#####0."
            wess$ = "Matrik_Kekakuan"
            Filenumber = FreeFile
            Open frmSave.Text2 & "\" & wess$ & ".Txt"
    For Output As #Filenumber
        Print #Filenumber, App.Title & " (Dapat
dilihat pada file *.Txt)"
        Print #Filenumber,
        Print #Filenumber, "Data Struktur : " &
FileName
        Print #Filenumber, "Data Percepatan: " &
FileName2
        Print #Filenumber, "TMax : " & TMax
        Print #Filenumber, "Dt : " & Dt
        Print #Filenumber, "Sebanyak N : " &
TMax / Dt
        Print #Filenumber,
        Print #Filenumber, "Table Matrik_Kekakuan"
        Print #Filenumber, GarisF(Len("Table
Matrik_Kekakuan"))
        For I = 1 To Ndof + 2
            For Y = 1 To Ndof + 2
                If (Y = 1) Then
                    Jarak = 1
                Else
                    Jarak = 35
                End If
                'Print #Filenumber, Tab(Jarak * (y - 1)); i
& "," & y; " "; Format(Matrik_Kekakuan(i, y), sf);
                Print #Filenumber, Tab(Jarak * (Y - 1)); I
& "," & Y; " "; Matrik_Kekakuan(I, Y);
                Next Y
            Next I
            Print #Filenumber,
            Print #Filenumber,
            Close #Filenumber
        End If
        If bRiefqiTampilkan Then
            sf =
"#####0.#####0.#####0.#####0.#####0.#####0."

```

```

wess$ = "CEigenVal"
Filenumber = FreeFile
Open frmSave.Text2 & "\" & wess$ & ".Txt"
For Output As #Filenumber
    Print #Filenumber, App.Title & " (Dapat
dilihat pada file *.Txt)"
    Print #Filenumber,
    Print #Filenumber, "Data Struktur : " &
FileName
    Print #Filenumber, "Data Percepatan: " &
FileName2
    Print #Filenumber, "TMax : " & TMax
    Print #Filenumber, "Dt : " & Dt
    Print #Filenumber, "Sebanyak_N : " &
TMax / Dt
    Print #Filenumber,
    Print #Filenumber, "Table CEigenVal"
    Print #Filenumber, GarisF(Len("Table
CEigenVal"))
    For Y = 1 To Ndof
        Print #Filenumber, Y; " ";
Format(CEigenVal(Y), sf)
        Next Y
        Print #Filenumber,
        Close #Filenumber
    End If
    If bRiefqiTampilkan Then
        sf =
"#####0#####0#####0#####0#####0#####0"
        wess$ = "Ide"
        Filenumber = FrecFile
        Open frmSave.Text2 & "\" & wess$ & ".Txt"
    For Output As #Filenumber
        Print #Filenumber, App.Title & " (Dapat
dilihat pada file *.Txt)"
        Print #Filenumber,
        Print #Filenumber, "Data Struktur : " &
FileName
        Print #Filenumber, "Data Percepatan: " &
FileName2
        Print #Filenumber, "TMax : " & TMax
        Print #Filenumber, "Dt : " & Dt
        Print #Filenumber, "Sebanyak_N : " &
TMax / Dt
        Print #Filenumber,
        Print #Filenumber, "Table Ide - Simpangan
Antar Tingkat"
        Print #Filenumber, GarisF(Len("Table Ide -
Simpangan Antar Tingkat"))
        For I = 1 To Sebanyak_N
            For Y = 1 To Ndof' +
                If (Y = 1) Then
                    Jarak = 1
                Else
                    Jarak = 35
                End If
                Print #Filenumber, Tab(Jarak * (Y - 1)); I
                & "," & Y; " "; Ide(I, Y);
                Next Y
            Next I
            Print #Filenumber,
Print #Filenumber, GarisF((Jarak * Ndof) +
Jarak + 13)
            CariMinMaksAbs 1, Ndof + 1, 1,
Sebanyak_N, Ide()
            For X = 1 To Ndof' +
                Print #Filenumber, Tab(Jarak * (X - 1));
                "Maks="; Maks(X);
                Next X
            For X = 1 To Ndof' +
                Print #Filenumber, Tab(Jarak * (X - 1));
                "Min="; Min(X);
                Next X
            For X = 1 To Ndof' +
                Print #Filenumber, Tab(Jarak * (X - 1));
                "AbsNya="; AbsNya(X);
                Next X
            Print #Filenumber,
            Print #Filenumber,
            Print #Filenumber,
            Close #Filenumber
        End If
        If bRiefqiTampilkan Then
            sf =
"#####0#####0#####0#####0#####0#####0"
            wess$ = "Ft"
            Filenumber = FreeFile
            Open frmSave.Text2 & "\" & wess$ & ".Txt"
        For Output As #Filenumber
            Print #Filenumber, App.Title & " (Dapat
dilihat pada file *.Txt)"
            Print #Filenumber,
            Print #Filenumber, "Data Struktur : " &
FileName
            Print #Filenumber, "Data Percepatan: " &
FileName2
            Print #Filenumber, "TMax : " & TMax
            Print #Filenumber, "Dt : " & Dt
            Print #Filenumber, "Sebanyak_N : " &
TMax / Dt
            Print #Filenumber,
            Print #Filenumber, "Table Ft - Gaya
Horisontal Tingkat Ft"
            Print #Filenumber, GarisF(Len("Table Ft -
Gaya Horisontal Tingkat Ft"))
            For l = 1 To Sebanyak_N
                For Y = 1 To Ndof + 2
                    If (Y = 1) Then
                        Jarak = 1
                    Else
                        Jarak = 35
                    End If
                    Print #Filenumber, Tab(Jarak * (Y - 1)); I
                    & "," & Y; " "; Ft(l, Y);
                    Next Y
                Next l
                Print #Filenumber,
                Print #Filenumber, GarisF((Jarak * Ndof) +
Jarak + 13)
                CariMinMaksAbs 1, Ndof + 2, 1,
Sebanyak_N, Ft()
                For X = 1 To Ndof + 2

```

```

        Print #Filenumber, Tab(Jarak * (X - 1));
"Maxs="; Maks(X);
        Next X
        For X = 1 To Ndof + 2
            Print #Filenumber, Tab(Jarak * (X - 1));
"Min="; Min(X);
        Next X
        For X = 1 To Ndof + 2
            Print #Filenumber, Tab(Jarak * (X - 1));
"AbsNya="; AbsNya(X);
        Next X
        Print #Filenumber,
        Print #Filenumber,
        Print #Filenumber,
        Close #Filenumber
End If
If bRiefqiTampilkan Then
    sf =
"#####0.#####0.#####0.#####0.#####0"
    wess$ = "FtKom"
    Filenumber = FreeFile
    Open frmSave.Text2 & "\" & wess$ & ".Txt"
For Output As #Filenumber
    Print #Filenumber, App.Title & " (Dapat
dilihat pada file *.Txt)"
    Print #Filenumber,
    Print #Filenumber, "Data Struktur : " &
FileName
    Print #Filenumber, "Data Percepatan: " &
FileName2
    Print #Filenumber, "TMax : " & TMax
    Print #Filenumber, "Dt : " & Dt
    Print #Filenumber, "Sebanyak_N : " &
TMax / Dt
    Print #Filenumber,
    Print #Filenumber, "Table FtKom - Gaya
Geser Komulatif Tingkat"
    Print #Filenumber, GarisF(Len("Table FtKom
- Gaya Geser Komulatif Tingkat"))
    For I = 1 To Sebanyak_N
        For Y = 1 To Ndof + 1
            If (Y = 1) Then
                Jarak = 1
            Else
                Jarak = 35
            End If
            Print #Filenumber, Tab(Jarak * (Y - 1)); I
& "," & Y; "; FtKom(I, Y);
        Next Y
        Next I
        Print #Filenumber,
        Print #Filenumber, GarisF((Jarak * Ndof) +
Jarak + 13)
        CariMinMaksAbs 1, Ndof + 1, 1,
Sebanyak_N, FtKom()
        For X = 1 To Ndof + 1
            Print #Filenumber, Tab(Jarak * (X - 1));
"Maxs="; Maks(X);
        Next X
        For X = 1 To Ndof + 1
            Print #Filenumber, Tab(Jarak * (X - 1));
"Min="; Min(X);
        Next X
        Print #Filenumber, Tab(Jarak * (X - 1));
"AbsNya="; AbsNya(X);
        Next X
        Print #Filenumber,
Next X
For X = 1 To Ndof + 1
    Print #Filenumber, Tab(Jarak * (X - 1));
"AbsNya="; AbsNya(X);
        Next X
        Print #Filenumber,
        Print #Filenumber,
        Print #Filenumber,
        Close #Filenumber
End If
If bRiefqiTampilkan Then
    sf =
"#####0.#####0.#####0.#####0.#####0"
    wess$ = "MG"
    Filenumber = FreeFile
    Open frmSave.Text2 & "\" & wess$ & ".Txt"
For Output As #Filenumber
    Print #Filenumber, App.Title & " (Dapat
dilihat pada file *.Txt)"
    Print #Filenumber,
    Print #Filenumber, "Data Struktur : " &
FileName
    Print #Filenumber, "Data Percepatan: " &
FileName2
    Print #Filenumber, "TMax : " & TMax
    Print #Filenumber, "Dt : " & Dt
    Print #Filenumber, "Sebanyak_N : " &
TMax / Dt
    Print #Filenumber,
    Print #Filenumber, "Table MG - Moment
Guling"
    Print #Filenumber, GarisF(Len("Table MG -
Moment Guling"))
    For I = 1 To Sebanyak_N
        For Y = 1 To Ndof + 1
            If (Y = 1) Then
                Jarak = 1
            Else
                Jarak = 35
            End If
            Print #Filenumber, Tab(Jarak * (Y - 1)); I
& "," & Y; "; Mg(I, Y);
        Next Y
        Next I
        Print #Filenumber,
        Print #Filenumber, GarisF((Jarak * Ndof) +
Jarak + 13)
        CariMinMaksAbs 1, Ndof + 1, 1,
Sebanyak_N, Mg()
        For X = 1 To Ndof + 1
            Print #Filenumber, Tab(Jarak * (X - 1));
"Maxs="; Maks(X);
        Next X
        For X = 1 To Ndof + 1
            Print #Filenumber, Tab(Jarak * (X - 1));
"Min="; Min(X);
        Next X
        For X = 1 To Ndof + 1
            Print #Filenumber, Tab(Jarak * (X - 1));
"AbsNya="; AbsNya(X);
        Next X
        Print #Filenumber,

```

```

Print #Filenumber,
Print #Filenumber,
Close #Filenumber
End If
If bRiefqiTampilkan Then
  sf =
"#####0.#####0#####
  wess$ = "SimRot"
  Filenumber = FreeFile
  Open frmSave.Text2 & "\" & wess$ & ".Txt"
For Output As #Filenumber
  Print #Filenumber, App.Title & " (Dapat
dilihat pada file *.Txt)"
  Print #Filenumber, "Table SIMRot -
Simpangan Rotasi"
  Print #Filenumber, GarisF(Len("Table
SIMRot - Simpangan Rotasi"))
  For I = 1 To Sebanyak_N
    For Y = 1 To Ndof
      Print #Filenumber, Tab(Jarak * (Y - 1)); I
& "," & Y; "; SimRot(I, Y);
    Next Y
    Next I
    Print #Filenumber,
    Print #Filenumber, GarisF((Jarak * Ndof) +
Jarak + 13)
    CariMinMaksAbs 1, Ndof, 1,
    Sebanyak_N, SimRot()
    For X = 1 To Ndof
      Print #Filenumber, Tab(Jarak * (X - 1));
    "Maks="; Maks(X);
    Next X
    For X = 1 To Ndof
      Print #Filenumber, Tab(Jarak * (X - 1));
    "Maks="; Maks(X);
    Next X
    For X = 1 To Ndof
      Print #Filenumber, Tab(Jarak * (X - 1));
    "Min="; Min(X);
    Next X
    For X = 1 To Ndof
      Print #Filenumber, Tab(Jarak * (X - 1));
    "AbsNya="; AbsNya(X);
    Next X
    Print #Filenumber,
    Print #Filenumber,
    Print #Filenumber,
    Close #Filenumber
End If
If bRiefqiTampilkan Then
  sf =
"#####0.#####0#####
  wess$ = "Matrik_MassaNya"
  Filenumber = FreeFile
  Open frmSave.Text2 & "\" & wess$ & ".Txt"
For Output As #Filenumber
  Print #Filenumber, App.Title & " (Dapat
dilihat pada file *.Txt)"
  Print #Filenumber,
  Print #Filenumber, "Data Struktur : " &
FileName
  Print #Filenumber, "Data Percepatan: " &
FileName2
  Print #Filenumber, "TMax : " & TMax
  Print #Filenumber, "Dt : " & Dt
  Print #Filenumber, "Sebanyak_N : " &
TMax / Dt
  Print #Filenumber,
  Print #Filenumber, "Table
Matrik_MassuNyu"
  Print #Filenumber, GarisF(Len("Table
Matrik_MassaNya"))
  For I = 1 To Ndof + 2
    For Y = 1 To Ndof + 2
      If (Y = 1) Then
        Jarak = 1
      Else
        Jarak = 50
      End If
      'Matrik_MassaNya(I, Y)
      Print #Filenumber, Tab(Jarak * (Y - 1)); I
& "," & Y; "; Format(Matrik_MassaNya(I, Y), sf);
    Next Y
    Next I
    Print #Filenumber,
    Print #Filenumber,
    Close #Filenumber
Next Y
Next I
Print #Filenumber,
Print #Filenumber, GarisF((Jarak * Ndof) +
Jarak + 13)
CariMinMaksAbs 1, Ndof + 1, 1,
Sebanyak_N, SimTOT()
For X = 1 To Ndof + 1
  Print #Filenumber, Tab(Jarak * (X - 1));
"Min="; Min(X);
Next X
For X = 1 To Ndof + 1
  Print #Filenumber, Tab(Jarak * (X - 1));
"AbsNya="; AbsNya(X);
Next X
Print #Filenumber,
Print #Filenumber,
Print #Filenumber,
Close #Filenumber
End If
If bRiefqiTampilkan Then
  sf =
"#####0.#####0#####
  wess$ = "SimTOT"
  Filenumber = FreeFile
  Open frmSave.Text2 & "\" & wess$ & ".Txt"
For Output As #Filenumber
  Print #Filenumber, App.Title & " (Dapat
dilihat pada file *.Txt)"
  Print #Filenumber, "Table SimTOT -
Simpangan Total"
  Print #Filenumber, GarisF(Len("Table
SimTOT - Simpangan Total"))
  For I = 1 To Sebanyak_N
    For Y = 1 To Ndof + 1
      Print #Filenumber, Tab(Jarak * (Y - 1)); I
& "," & Y; "; SimTOT(I, Y);
    Next Y
    Next I
    Print #Filenumber,
    Print #Filenumber,
    Close #Filenumber

```

```

        End If
    End Sub
    Private Sub CariMinMaksAbs(iAwal1 As Integer,
iNdof As Integer, iAwal2 As Integer, iSebanyak_N
As Integer, iVar() As Double)
        Dim Y As Integer
        Dim X As Integer
        Dim NilaiPlus As Double
        Dim NilaiMin As Double
        ReDim Maks(Ndof + 5)
        ReDim Min(Ndof + 5)
        ReDim AbsNya(Ndof + 5)
        For X = iAwal1 To iNdof
            NilaiMin = 0
            NilaiPlus = 0
            If iVar(iAwal2, X) < 0 Then NilaiMin =
iVar(iAwal2, X)
            If iVar(iAwal2, X) > 0 Then NilaiPlus =
iVar(iAwal2, X)
            For Y = iAwal2 + 1 To iSebanyak_N
                DoEvents
                If iVar(Y, X) < 0 Then If iVar(Y, X)
                < NilaiMin Then NilaiMin = iVar(Y, X)
                If iVar(Y, X) > 0 Then If iVar(Y, X)
                > NilaiPlus Then NilaiPlus = iVar(Y, X)
                If Abs(NilaiMin) > Abs(NilaiPlus)
                    Then
                        AbsNya(X) = NilaiMin
                    Else
                        AbsNya(X) = NilaiPlus
                    End If
                    Min(X) = NilaiMin
                    Maks(X) = NilaiPlus
                Next Y
            Next X
        End Sub
        ' form frmProgSIP
        ' OpenFile FileName, Ndof, Dampratio, Dt, TMax,
Mo, IG, Kr, Kh
        Public Mo As Single
        Public Ig As Single
        Public Kr As Single
        Public Kh As Single
        Public FileName2 As String
        Public ComboCM As Integer
        Public ComboCK As Integer
        Public ComboCMK As Integer
        Public HKum() As Single
        Public MHkw() As Single
        Public KumpulMHkw As Single
        Public IgKumpulMHkw As Single
        'matrik kekakuan
        Public Matrik_Kekakuan() As Single 'matrik
kekakuan
        Public CEigenVal() As Single
        Public Alpha As Single
        'matrik redaman
        Public Matrik_C() As Double
        Public Matrik_K() As Double
        Public Matrik_A() As Double
        Public Matrik_B() As Double
        Public Beta As Double
        Public Gamma As Double
        'frmSiklus
        Public DeltaP() As Double
        Public Massa() As Double
        Public Sebanyak_N As Integer
        Public PerVNextMinPrev() As Double
        Public V_IniLho() As Double
        Public VAks() As Double
        Public VDoubleAks() As Double
        Public DeltaPAks1Dim() As Double
        Public DeltaPAks() As Double
        Public DeltaV1Dim() As Double
        Public DeltaV() As Double
        Public DeltaV_wess() As Double
        Public DeltaVAks() As Double
        Public DeltaVDoubleAks() As Double
        Public MA_Kali_VAks() As Double
        Public MB_Kali_VDoubleAks() As Double
        Public DeltaPRief() As Double
        Public TotalRif() As Double
        Public MatTrIkKaKs() As Double
        Public MatMerger2Dim() As Double
        Public MatMerger() As Double
        Public Ide() As Double
        Public Ft() As Double
        Public FtKom() As Double
        Public Ggd() As Double
        Public UntukMg() As Double
        Public HPlusH() As Double
        Public HMinH() As Double
        Public Mg() As Double
        Public Maks() As Double
        Public Min() As Double
        Public AbsNya() As Double
        Public MatHasil3D() As Double
        Public CEigenValMaks As Single
        Public CEigenValMin As Single
        Public Alpha1 As Single
        Public Alpha2 As Single
        Public Beta1 As Single
        Public Beta2 As Single
        'Public EQS As Single
        Public SimRot() As Double
        Public SimTOT() As Double
        Public DeltaPRicfPakai() As Double
        Public Matrik_MassaNya() As Single
        Public FtBaru() As Double
        Sub GaussJourdan(MatKP() As Double,
MatDeltaV() As Double, N_Dof As Integer, Rubah
As Boolean, JumN As Integer)
            Dim IP As Integer
            Dim I As Integer
            Dim j As Integer
            Dim OP As Double
            Dim N_DofPlus1 As Integer
            Dim Simpan() As Double
            METODE GAUSS JORDAN
            'ReDim Simpan(N_Dof, N_Dof) 'cek jenis MatKP
            ADALAH ReDim MatMerger2Dim(Sebanyak_N +
2, Ndof + 3)
            ReDim Simpan(JumN, N_Dof)
            For I = 1 To N_Dof

```

```

For j = 1 To N_Dof
    Simpan(I, j) = MatKP(I, j)
Next j
Next I
'start GaussJourdan -----
N_DofPlus1 = N_Dof + 1
'cari MatKP()
For IP = 1 To N_Dof
    For I = 1 To N_Dof
        If (I = IP) Then GoTo Makan
        OP = -MatKP(I, IP) / MatKP(IP, IP)
    For j = IP To N_DofPlus1
        MatKP(I, j) = MatKP(I, j) + OP * MatKP(IP, j)
    Next j
Makan:
    Next I
    Next IP
    'cari MatDeltaV()
    For I = 1 To N_Dof
        MatDeltaV(I) = MatKP(I, N_DofPlus1) /
        MatKP(I, I)
    Next I
    'end GaussJourdan -----
    If Rubah Then
        For I = 1 To N_Dof
            For j = 1 To N_Dof
                MatKP(I, j) = Simpan(I, j)
            Next j
        Next I
    End If
    End Sub
Sub MergerMatrik(MatKecil() As Double,
    MatDeltaV() As Double, MatHasil() As Double,
    N_Dof As Integer, PosNow As Integer)
    Dim I As Integer
    Dim j As Integer
    Dim X As Integer
    Dim Y As Integer
    For I = 1 To N_Dof
        Y = Y + 1
        For j = 1 To N_Dof
            MatHasil(I, j) = MatKecil(I, j)
            X = j
        Next j
        MatHasil(I, X + 1) = MatDeltaV(Y)
        'jangan di NOL-kan akan di pakai
        BuatDuaDimensi MatDeltaV(y) = 0
    Next I
End Sub
Sub BuatDuaDimensi(MatrikAsli() As Double,
    MatHasil() As Double, PosNow As Integer, N_Dof
    As Integer)
    Dim I As Integer
    Dim j As Integer
    'For i = PosNow To PosNow
    '    For j = 1 To N_Dof
    '        MatHasil(i, j) = MatrikAsli(j) 'asli
    '        'jangan di NOL-kan akan di pakai MatrikAsli(j)
    = 0 'asli
    '    Next j
    'Next i
    For j = 1 To N_Dof
        MatHasil(PosNow, j) = MatrikAsli(j) 'asli
        'jangan di NOL-kan akan di pakai MatrikAsli(j)
        = 0 'asli
    Next j
End Sub
Sub BuatTigaDimensi(MatrikAsli() As Double,
    MatHasil() As Double, PosNow As Integer, N_Dof
    As Integer)
    Dim I As Integer
    Dim j As Integer
    Dim X As Integer
    Dim Y As Integer
    For I = PosNow To PosNow
        For Y = 1 To N_Dof 'baris=ndof+2, N_Dof harus
        diisi ndof+2
            For X = 1 To N_Dof + 1 'kolom=ndof+3, N_Dof
            harus diisi ndof+2
                MatHasil(I, Y, X) = MatrikAsli(Y, X)
                'sudah ada yaitu MatMerger()
                'MatHasil3D(I, Y, X) = MatrikAsli(Y, X)
            Next X
        Next Y
    Next I
End Sub
Sub TambahkaN(MatrikAsli() As Double,
    MatHasil() As Double, PosNow As Integer, N_Dof
    As Integer)
    Dim I As Integer
    Dim j As Integer
    For j = 1 To N_Dof
        'MatHasil(PosNow + j) = MatrikAsli(j) 'asli
        'MatHasil(PosNow + j) = MatrikAsli(j) +
        13'ReDim DeltaV_wess(Sebanyak_N + 10)
        'MatHasil(PosNow, j) = MatrikAsli(j) + 13
        'ReDim DeltaV_wess(Sebanyak_N + 10, Ndof + 2)
        MatHasil(PosNow, j) = MatrikAsli(j) 'ReDim
        DeltaV_wess(Sebanyak_N + 10, Ndof + 2)
        'jangan di NOL-kan akan di pakai MatrikAsli(j)
        = 0 'asli
    Next j
End Sub

```

**KARTU PESERTA TUGAS AKHIR**

| NO. | N A M A         | NO. MHS.   | BID. STUDI |
|-----|-----------------|------------|------------|
| 1   | RIEFQI ZUHDAN P | 95 310 020 | STRUKTUR   |
| 2   | BEBY KARMADY Y. | 95 310 240 | STRUKTUR   |

**JUDUL TUGAS AKHIR :**

**RISPON ELASTIK STRUKTUR MDOF DENGAN MEMPERHITUNGKAN PENGARUH ROTASI FONDASI.**

**PERIODE I : SEPTEMBER – PEbruari**

**TAHUN : 2000 / 2001**

| No. | Kegiatan                   | Bulan Ke: |      |      |      |      |      |
|-----|----------------------------|-----------|------|------|------|------|------|
|     |                            | Sept.     | Okt. | Nop. | Des. | Jan. | Peb. |
| 1.  | Pendaftaran                |           |      |      |      |      |      |
| 2.  | Penentuan Dosen Pembimbing |           |      |      |      |      |      |
| 3.  | Pembuatan Proposal         |           |      |      |      |      |      |
| 4.  | Seminar Proposal           |           |      |      |      |      |      |
| 5.  | Konsultasi Penyusunan TA.  |           |      |      |      |      |      |
| 6.  | Sidang-Sidang              |           |      |      |      |      |      |
| 7.  | Pendadaran                 |           |      |      |      |      |      |

DOSEN PEMBIMBING I : IR.H.WIDODO, MSCE, Ph.D

DOSEN PEMBIMBING II : IR.HELMI AKBAR BALE, MT



Yogyakarta, 14 Desember 2000  
a.n. Nekan,

IR. H. TADJUDDIN BM ARIS, MS

**Catatan :**

Seminar : 10 APRIL 2001  
 Sidang : 19 APRIL 2002  
 Pendadaran : 26 APRIL 2002